

Číslo zakázky: 24090087000

Číslo dokumentu: 1

Číslo výtisku:

**II/523 Jihlava – most ev. č. 523-000a,
diagnostický průzkum**Diagnostický průzkum nosné konstrukce mostu
ev. č. 523-000a

červen 2024

Číslo zakázky: 24090087000
Číslo dokumentu: 1

Zakázka: II/523 Jihlava – most ev. č. 523-000a, diagnostický průzkum
Dokument: Diagnostický průzkum nosné konstrukce mostu ev. č. 523-000a
Objednatel: Kraj Vysočina
Zhotovitel: INSET s.r.o., Divize Brno, Vinohrady 40, 639 00 Brno
Tel.: +420 541 217 454, e-mail: brno09@inset.com

Odpovědný řešitel: Ing. Petr Tkadleček

Ředitel divize: Ing. David Rupp

Dokument vypracovali: Ing. Petr Tkadleček
Ing. Jan Haloun
Ing. David Laifr

Terénní práce provedli: Ing. Petr Tkadleček
Ing. Jan Haloun
Vojtěch Dlapka
Pavel Prudík
Pavel Vecheta

Výstupní kontrola: BcA. Magda Dubová, DiS

Rozdělovník: 1-3 Kraj Vysočina
0 spisovna INSET s.r.o.

OBSAH:

| | |
|--|----|
| 1. ÚVOD..... | 5 |
| 1.1. Identifikační údaje | 5 |
| 1.2. Podklady pro vypracování zprávy..... | 5 |
| 1.3. Rozsah průzkumu | 6 |
| 1.4. Údaje o konstrukci..... | 6 |
| 2. METODIKA PRACÍ..... | 11 |
| 2.1. Pevnost betonu v tlaku na jádrových vývrtech | 11 |
| 2.2. Stanovení míry karbonatace | 11 |
| 2.3. Laboratorní stanovení obsahu chloridů | 11 |
| 2.4. Stanovení nasákavosti | 12 |
| 2.5. Ověření odolnosti betonu vůči účinkům CHRL..... | 12 |
| 2.6. Diagnostika betonářské a předpínací výztuže nedestruktivně..... | 12 |
| 2.7. Diagnostika betonářské výztuže destruktivní sondou..... | 13 |
| 2.8. Diagnostika předpínací výztuže destruktivní sondou..... | 13 |
| 2.9. Diagnostický průzkum mostních závěrů (MZ) | 13 |
| 2.10. Korozní potenciálová mapa dle ASTM | 13 |
| 2.11. Výpočet zatížitelnosti mostu | 13 |
| 3. PROVEDENÉ PRÁCE..... | 14 |
| 3.1. Prohlídka nosné konstrukce mostu | 14 |
| 3.2. Průzkum mostních závěrů..... | 16 |
| 3.3. Pevnost betonu v tlaku na odebraných jádrových vývrtech..... | 18 |
| 3.4. Diagnostika betonářské a předpínací výztuže..... | 20 |
| 3.4.1. Radarové skeny | 20 |
| 3.4.2. Destruktivní sondy k předpínací výztuži | 21 |
| 3.4.3. Destruktivní sondy k betonářské výztuži | 45 |
| 3.5. Stanovení míry karbonatace | 46 |
| 3.6. Stanovení nasákavosti | 48 |
| 3.7. Ověření odolnosti betonu vůči účinkům CHRL..... | 49 |
| 3.8. Stanovení obsahu chloridů..... | 49 |
| 3.9. Korozní potenciálová mapa dle ASTM | 53 |
| 3.10. Výpočet zatížitelnosti mostu | 60 |
| 4. ZÁVĚR | 61 |

PŘÍLOHOVÁ ČÁST

- Příloha 1 – Schéma rozmístění sond
- Příloha 2 – Schéma závad a poruch konstrukce
- Příloha 3 – Protokol z mimořádné prohlídky mostu
- Příloha 4 – Protokol z prohlídky mostních závěrů
- Příloha 5 – Sondy k předpínací výztuži (souhrnný popis zjištění)
- Příloha 6 – Statický výpočet
- Příloha 7 – Doporučení na rekonstrukci
- Příloha 8 – Protokoly z laboratorních zkoušek betonu, Zkušební laboratoře CDV v.v.i.
- Příloha 9 – Radarové skeny
- Příloha 10 – Oprávnění MD k provádění průzkumných a diagnostických prací č. 560/2023, Ing. Petr Tkadleček
Oprávnění MD k výkonu hlavních a mimořádných prohlídek mostních objektů pozemních komunikací č. 262/2021 Ing. Petr Tkadleček
- Příloha 11 – Digitalizace zprávy a kompletní fotodokumentace pořízená při diagnostickém průzkumu. Datový disk – volně vložená příloha (pouze v paré 1)

1. ÚVOD

1.1. Identifikační údaje

| | |
|---------------------------|--|
| Objednatel: | Kraj Vysočina, Žižkova 1882/57, 586 01 Jihlava IČO: 70890749 |
| Zhotovitel: | INSET s.r.o., Lucemburská 1170/7, 130 00 Praha 3 IČO: 03579727, DIČ: CZ03579727 divize Brno, Vinohrady 40, 639 00 Brno |
| Prováděcí smlouva: | číslo smlouvy objednatele: 167102 číslo smlouvy zhotovitele: 24090087000-01 |
| Předmět smlouvy: | Provedení podrobného diagnostického průzkumu mostu ev. č. 523-000a na silnici II/523 v k. ú. Jihlava |
| Předmět zprávy: | Diagnostický průzkum nosné konstrukce mostu ev. č. 523-000a |

1.2. Podklady pro vypracování zprávy

Místní šetření

Mostní list mostu ev. č. mostu 523-000a

Protokol z MPM 523-000a z roku 2023 (Ing. Vladimír Junek, Pontex, s.r.o.)

Protokol z HPM 523-000a z roku 2021 (Ing. Jan Tomek, DIVYP Brno s.r.o.)

Diagnostický průzkum podpěr z roku 2023 (Ing. Vladimír Junek, Pontex, s.r.o.)

Archivní dokumentace mostu uložená v Okresním archivu Jihlava

Archivní dokumentace rekonstrukce mostu z roku 2001 – výměna mostního svršku

ČSN 73 6200 Mosty – terminologie a třídění

ČSN 73 6221 Prohlídky mostů pozemních komunikací

ČSN EN 12390-3 Zkoušení ztvrdlého betonu – Část 3: Pevnost v tlaku zkušebních těles

ČSN EN 13791: Posuzování pevnosti betonu v tlaku v konstrukcích a v prefabrikovaných betonových dílcích

ČSN EN 12504-1: Zkoušení betonu v konstrukcích – Část 1: Vývrty – odběr, vyšetření a zkoušení v tlaku

ČSN EN 206+A2 (73 2403): Beton - Specifikace, vlastnosti, výroba a shoda

ČSN 73 2401 Provádění a kontrola konstrukcí z předpjatého betonu

ČSN EN 14629 Výrobky a systémy pro ochranu a opravy betonových konstrukcí – Zkušební metody – Stanovení obsahu chloridů v zatvrdlém cementu

TKP kapitola 18: Betonové konstrukce a mosty

TP 72 MD CR Diagnostický průzkum mostů PK

TP 86 MD ČR Mostní závěry

TP 120 MD ČR Údržba, opravy a rekonstrukce betonových mostů PK

TP 201 MD ČR Měření a dlouhodobé sledování trhlin v betonových konstrukcích a další předpisy související.

1.3. Rozsah průzkumu

Předmětem prováděných prací je diagnostika nosné konstrukce mostu ev. č. 523-000a. Průzkum navazuje na MPM mostu a diagnostiku podpěr z roku 2023 (Pontex, s.r.o.). V rámci mimořádné prohlídky byl zjištěn havarijní stav krajních ložisek mostu. Dále byly na nosné konstrukci zjištěny trhliny s výkvěty kopírující trajektorii přepínacích kabelů. Vystala tedy obava o stav přepínací výztuže. Z těchto důvodů byla zadána diagnostika nosné konstrukce mostu včetně návrhu řešení rekonstrukce (případně nahrazení NK). Rozsah průzkumu dle zadání je následující:

- Odběr jádrových vývrtů za účelem stavení pevnosti betonu v tlaku a nasákavosti
- Odběr jádrových vývrtů za účelem stanovení odolnosti betonu vůči CHRL
- Zjištění obsahu chloridových iontů v betonu
- Stanovení hloubky karbonatace betonu
- Zmapování jednotlivých poruch betonové konstrukce
- Korozní potenciálová mapa betonářské i předpínací výztuže dle ASTM
- Destruktivní ověření stavu betonářské výztuže
- Destruktivní ověření stavu předpínací výztuže
- Zjištění polohy betonářské a předpínací výztuže nedestruktivně (radar)
- Diagnostický průzkum povrchových mostních závěrů
- Na základě výsledků průzkum přepočítání zatížitelnosti mostu
- Posouzení celkové konstrukce mostu z hlediska možnosti rekonstrukce, návrh řešení stavu ve třech variantách

1.4. Údaje o konstrukci

Předmětem prováděných prací je diagnostika nosné konstrukce mostu ev. č. 523-000a – Most přes Koželužský potok ve městě Jihlava. Most je též znám pod názvem „Znojemský most“. Most zajišťuje přemostění silnice II/523 (ulice Znojemská) přes údolí Koželužského potoka v blízkosti centra města. Jedná se o kolmý most o 3 polích.

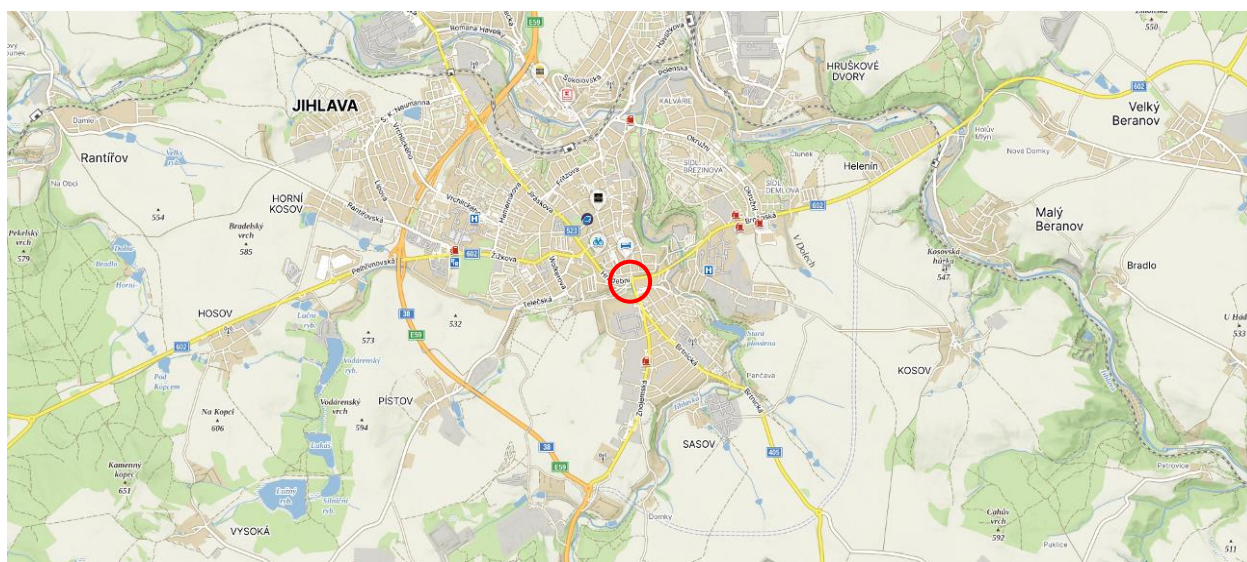
Nosnou konstrukci tvoří trámový rošt z 6 ks předpjatých nosníků tvaru písmene I v každém poli. Nosníky jsou vzájemně spojeny železobetonovými příčníky. Každý z příčníků má zárodek, který je součástí prefabrikovaného nosníku a střední monolitickou část. Celková výška nosníku je 1770 mm. Nad nosníky je provedena spřahující ŽB deska. Na spodní stavbu je NK uložena litinovými ložisky. Pod každým nosníkem je na každé podpěře jedno ložisko. Celkem je na mostě osazeno 36 ks ložisek.

Spodní stavbu tvoří dvě krajní opěry a dva mezilehlé pilíře. Opěry jsou ze ŽB s kamenným zdivem na líci. Výška obou opěr je cca 8 m. Křídla opěr jsou rovnoběžná z kamenného zdiva. Mezilehlé pilíře ze ŽB na bocích s kamenným zdivem. Výška pilířů je cca 10 m a od spodu nahoru se zužují.

Vozovka na mostě je živičná s jednostranným příčným sklonem. Vozovka je v mírném směrovém oblouku. Římsy jsou železobetonové, ukončené kamenným obrubníkem. Zábradlí je betonové s ocelovým madlem. V podélném směru vozovka klesá od Znojma do centra Jihlavy.

Most byl zbudován v 50. letech jako jedna z prvních přepjatých konstrukcí. Původně měla být nosná konstrukce ze ŽB, ale těsně před stavbou byla změněna na konstrukci z předpjatého betonu. Autorem projektu mostu byl Ondřej Hurych. V okresním archivu Jihlava je uložena archivní dokumentace **původního návrhu mostu** (železobetonová konstrukce). Dokumentace skutečně realizovaného mostu byla nalezena v archivu společnosti Rušar Mosty, která projektovala roce 2001 rekonstrukci mostního svršku.

Staničení na mostě je v dostupných podkladech uvažováno různě. V prohlídkách uložených v systému BMS je staničení uvažováno od Znojma do centra Jihlavy. V nákresech v mostním listu, archivní dokumentaci a zprávě z průzkumu spodní stavby je naopak uvažováno staničení od centra Jihlavy na Znojmo. V rámci této zprávy **je staničení uvažováno z centra Jihlavy na Znojmo** (v návaznosti na průzkum SS z roku 2023).

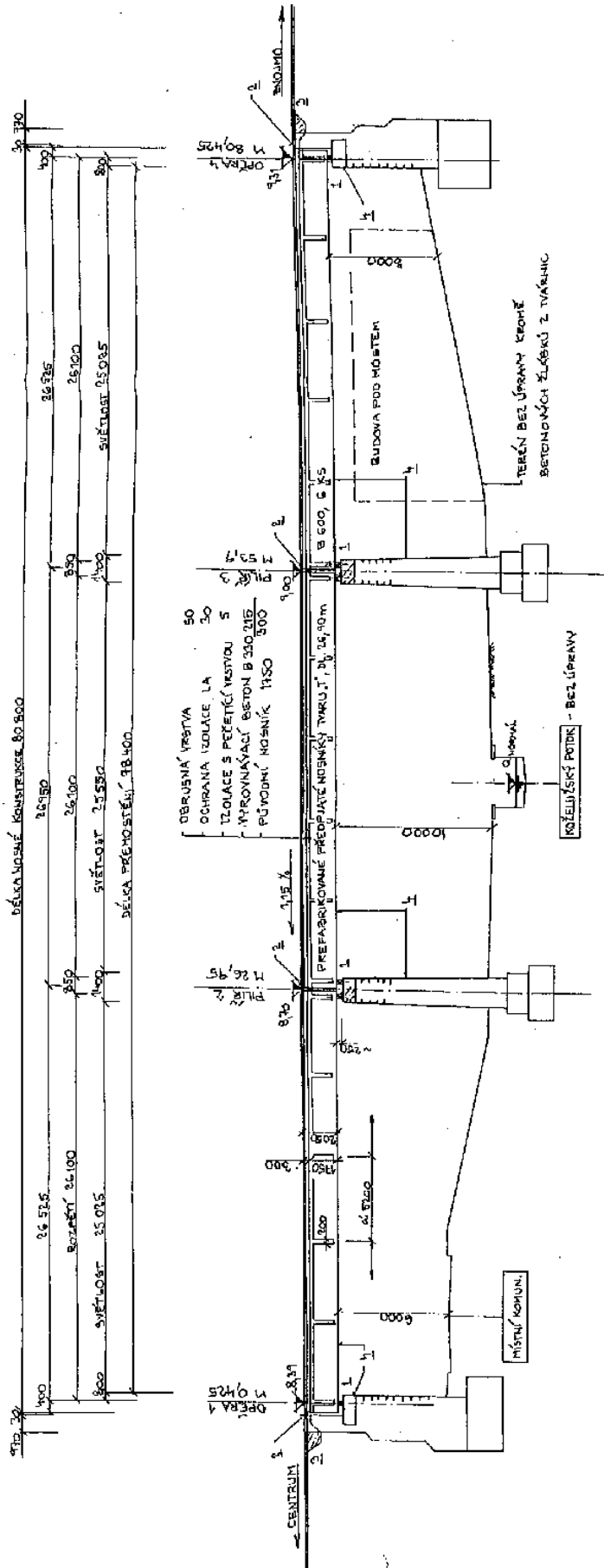


Obr. 1. 1: Zeměpisná poloha mostu ev. č. 523-000a

Základní údaje o mostu (dle ML):

| | |
|------------------------------|---|
| Délka NK mostu: 80,80 m | Délka mostu: 97,10 m |
| Celková šířka mostu: 15,30 m | Šířka mezi obrubami: 10,00 m |
| Délka přemostění: 78,40 m | Volná šířka: 14,50 m |
| Výška nad terénem 12,05 m | Šikmost: 100 g (kolmý most) |
| Celkový počet polí: 3 | Rok postavení: 1952 |
| Rozpětí polí: 26,10 m | Přemostovaná překážka: terén, silnice a vodoteč |

PODÉLNÝ ŘEZ - NOVÝ STAV 1:250



- 1 - SVAŘOVANÁ KOTVENÁ Z KOTEVNÍK. X, OČISTĚNA A NAKONIZOVÁNA VATELÁKOU S GRARTEM
- 2 - PODPÍROUČNÉ DÍLAT. ZKÝRKY TYPU „FIBRESCREENED“ ŠÍŘE 400, TL. 85
- 3 - DOBĚTO NOVÝMI BĚV. ZBÍ. BETONEM B 300, DOBĚTO NOVÝMI PŘECHODOVÝMI KLÍNY B 80
- 4 - SNAŽE BETONOVÝCH K-ČÍ DLE TYPŮ 1-4 + SLEDOUJÍCÍ NÁTĚR

Obr. 1. 3: Schéma podélného řezu mostu, převzatý z ML

2. METODIKA PRACÍ

2.1. Pevnost betonu v tlaku na jádrových vývrtech

Pro stanovení pevnosti betonu v tlaku se z konstrukce vrtáčkou s jádrovým vrtákem, který je během vrtání chlazen vodou, odeberou vývrty o průměru cca 100 mm, v případě velmi hustého vyztužení průměru cca 50–80 mm. Místa odběru jsou předem vytipována tak, aby konstrukční výztuž nebyla zasažena vůbec, resp. co možná nejméně. Vývrty se ihned po skončení vrtání označí a prohlédnou. Před vlastním zkoušením v laboratoři se znovu provede vizuální vyšetření pro zjištění případných odchylek, změří se průměr a délka a vývrt se upraví broušením a koncováním. Poté se provede zkouška ve zkušebním lisu a následné stanovení krychelné pevnosti betonu v tlaku.

Odběr, vyšetření a zkoušení jádrových vývrtů je popsáno v normě ČSN EN 12504-1. Vyhodnocení se provádí dle norem ČSN EN 12390-3 a ČSN EN 13791.

2.2. Stanovení míry karbonatace

Hloubka karbonatace se zjišťuje potřením betonu 1% roztokem fenolftaleinu v 60 % etanolu. Pokud je beton zkarbonatovaný, místo je bez reakce. Pokud je beton nezkarbonatovaný, potřené místo zfaloví.

Tato zkouška se provádí na odebraných jádrových vývrtech, v místech odhalení betonářské či předpínací výztuže, případně na prachových vzorcích, odebraných z betonu.

2.3. Laboratorní stanovení obsahu chloridů

Pro stanovení obsahu chloridů v betonu se z konstrukce odeberou vzorky do hloubky 50 - 60 mm (běžné krytí výztuže), a to buď jako betonový prach nebo vývrty, které se namelou na jemný prášek. Vzorky jsou odeslány do laboratoře, kde jsou podrobeny rozboru. Obsah chloridů je stanoven spektrofotometrickou metodou. Princip metody je založen na reakci chloridů s thiokyanatanem rtuťnatým za vzniku málo disociovaného chloridu rtuťnatého. Uvolněné thiokyanatanové ionty reagují s Fe(III) ve směsném činidle za vzniku červeně zbarveného komplexu. Absorbance komplexu, která je úměrná koncentraci chloridů se měří fotometricky, s využitím spektrofotometru Spectroquant® Prove 300, za vlnové délky v intervalu 440-480 nm. Metoda vychází z ČSN 75 7422 Kvalita vod – Stanovení chloridů – Absorpční fotometrická metoda s thiokyanatanem rtuťnatým – Metoda ve zkumavkách.

2.4. Stanovení nasákavosti

Zkušební vzorky jsou nejprve zváženy, poté se uloží na ležato tak, aby měly co nejmenší výšku. Vzorky se ponoří tak, aby byly ponořeny 30 mm, a poté se každou hodinu dolévá voda tak, aby po 6 hodinách byly vzorky zcela potopené s hladinou 10 mm nad horním povrchem vzorku. V předem určených časových intervalech jsou vzorky z vody vyjmuty, osušeny vlhkým hadrem a zváženy. Po nasakování se vzorky vysuší na ustálenou hmotnost při 110 ± 5 °C. Následně je vypočtena nasákavost betonu.

2.5. Ověření odolnosti betonu vůči účinkům CHRL

Pro zjištění odolnosti betonu vůči chemickým rozmrazovacím látkám (CHRL) se postupuje dle normy ČSN 731326: Stanovení odolnosti povrchu cementového betonu proti působení vody a chemických rozmrazovacích látek. Z konstrukce se odeberou jádrové vývrty o průměru 150 mm. Místa jsou vytipována tak, aby pokud možno nebyla zasažena konstrukční výztuž. V laboratoři jsou pak z vývrťů vyrobena zkušební tělesa. Základním zkušebním tělesem je 50 mm tlustý odřez horního povrchu betonu. Po aplikaci rozmrazovací látky je vzorek vystaven zkušebním cyklům (zmrazení – rozmrazení) a vždy po dvaceti pěti cyklech se stanovuje hmotnost uvolněných částic a zkouška obvykle obsahuje 75 či 100 cyklů a hmotnost uvolněných částic se sleduje po 25, 50, 75 a 100 zmrazovacích cyklech. Zjištěná hodnota hmotnosti uvolněných částic se porovná s mezní hodnotou dle tabulky 18-6 v TKP 18.

2.6. Diagnostika betonářské a předpínací výztuže nedestruktivně

V rámci nedestruktivního průzkumu výztuže je ověřeno množství, poloha a krytí jednotlivých prutů. K tomu je využito měřicí zařízení firmy HILTI:

PS 1000 X-Scan (HILTI) CPR – Concrete Pulse Radar se používá především k detekci kovových konstrukčních prvků – výztuže. Patří mezi nedestruktivní diagnostické metody. Měření je možno využít i pro sledování změn vlastností betonu a k detekci případných defektů (jako štěrková hnízda, trhliny apod.). Metoda pracuje na principu vysílání vysokofrekvenčních elektromagnetických impulzů do prostředí s následnou registrací odraženého signálu vracejícího se zpět k měřenému povrchu.



Obr. 2.1: Radar Hilti PS1000 X-Scan

2.7. Diagnostika betonářské výztuže destruktivní sondou

Pro zjištění míry koroze, průměru a druhu betonářské výztuže je nutno nedestruktivní metodu doplnit destruktivní sondou. Poté co je profometrem/radarem detekována poloha výztuže se krycí betonová vrstva odstraní bouracím kladivem. V případě velkého krytí je část krycí vrstvy odstraněna velmi opatrně provedeným jádrovým vývrtem. Následně se pomocí posuvného měřidla ověří průměr prutu výztuže a krytí. Vizualně se stanoví druh výztuže a stupeň koroze. V místě sondy je také ověřena hloubka karbonatace betonu.

2.8. Diagnostika předpínací výztuže destruktivní sondou

Pro zjištění míry koroze předpínací výztuže a kontroly zainjektovanosti kabelových kanálků je nutno nedestruktivní metodu doplnit destruktivní sondou. Poté co je radarem detekována poloha výztuže, se krycí betonová vrstva odstraní bouracím kladivem. V případě velkého krytí je část krycí vrstvy odstraněna velmi opatrně provedeným jádrovým vývrtem. Pomocí bouracího kladiva je pak otevřen kanálek. Vizualně se zhodnotí míra zainjektovanosti kabelového kanálku a stav injektátu. Poté je odkryta předpínací výztuž. Následně se pomocí posuvného měřidla ověří průměr předpínacích drátů a krytí. Vizualně se zhodnotí druh výztuže, stupeň koroze. Z hlediska koroze se také zhodnotí stav chráničky. V místě sondy je také ověřena hloubka karbonatace betonu.

2.9. Diagnostický průzkum mostních závěrů (MZ)

Průzkum mostního závěru se provádí dle zásad TP 86, kapitola 7 (Prohlídka, údržba a opravy mostních závěrů). Průzkum zahrnuje vizuální prohlídku, pořízení fotodokumentace a měření hlavních parametrů pro posouzení mostního závěru.

Vizuální prohlídka zahrnuje prohlídku mostního závěru a jeho okolí (vozovka, nosná konstrukce, závěrná zídka), před prohlídkou musí být závěry vyčištěny. Je zaměřena na kontrolu funkčnosti mostního závěru a stav jeho dílčích konstrukčních částí (koroze ocelových prvků, těsnost pryžových profilů...)

Ve středu každého jízdního pruhu se měří rozevření mezi jednotlivými lamelami – měří se posuvným měřidlem s přesností na 0,1 mm. Dále jsou měřeny výškové nerovnosti lamel oproti okolní vozovce – měří se v jízdních stopách každého jízdního pruhu. Nerovnosti jsou měřeny pomocí 4 m dlouhé latě – postup dle ČSN 73 6175 Měření a hodnocení nerovnosti povrchů vozovek.

2.10. Korozní potenciálová mapa dle ASTM

Pro posouzení rozsahu koroze napadené výztuže lze využít tzv. „půlčlánková metoda“ – měření korozních potenciálů. Při korozi ocelové výztuže v betonu vznikají elektrochemické procesy, které se projevují změnami potenciálového pole na povrchu betonové plochy. Měří se potenciál výztuže v betonu proti přenosné Cu/CuSO₄ elektrodě na povrchu konstrukce.

Posouzení výsledků bylo provedeno v souladu s normou ASTM C 876-09 - *Standard Test Method for Corrosion Potentials of Uncoated Reinforcing Steel in Concrete*.

2.11. Výpočet zatížitelnosti mostu

Na základě provedené diagnostiky je proveden statický výpočet dle ČSN 73 6222 a následně je vzhledem k celkovému stavu mostu určena současná zatížitelnost.

3. PROVEDENÉ PRÁCE

Terénní práce provedli pracovníci společnosti INSET s.r.o. Obhlídka mostu byla provedena dne 18. března 2024, podrobná prohlídka mostu a diagnostické práce pak proběhly v dubnu roku 2024. Veškeré diagnostické práce byly provedeny z montážní plošiny.



Obr. 3. 1: Veškeré práce na nosné konstrukci byly provedeny z montážní plošiny, pole 3.



Obr. 3. 2: Veškeré práce na nosné konstrukci byly provedeny z montážní plošiny, pole 2.

Laboratorní zkoušky byly provedeny v akreditované zkušební laboratoři Centrum dopravního výzkumu, v.v.i. (pevnost betonu v tlaku, nasákavost betonu, odolnost betonu vůči CHRL, obsah chloridů). Při popisování konstrukce bylo vycházeno z dostupných podkladů. Staničení byla uvažováno ve směru od centra Jihlavy na Znojmo.

Všechny odebrané vzorky byly řádně popsány a poloha jejich odběru je zakreslena v příloženém půdorysném schématu.

3.1. Prohlídka nosné konstrukce mostu

V rámci prohlídky mostu bylo dokumentováno poměrně **velké množství trhlin s vápennými výluhy, které kopírovaly dráhu předpínacích lan**. V těchto místech byly následně také provedeny sondy k předpínací výztuži (viz další kapitoly). Tyto poruchy se vyskytovaly především **na levých dvou krajních nosnících**, místy také na pravém krajním nosníku.

Stav vnitřních nosníků je celkově dobrý – nebyly zjištěny žádné významné poruchy. V místě dobetonávek mezi nosníky je místy lokálně odprýsklá krycí vrstva a odhalená betonářská výztuž.

Vzhledem ke zjištěným poruchám lze konstatovat, že izolace v levé části mostu je již strávená, dochází k průsakům vody do nosné konstrukce. Dochází i k zatékání na konce nosníků skrze netěsné mostní závěry.

Ložiska na mostě napadena pokročilou korozí a jsou celkově ve špatném stavu. Krajní ložiska ve stavu havarijním, momentálně provizorně podepřená výdřevou (opatření na základě prohlídky z roku 2023).



Obr. 3. 3: Levý krajní nosník ve 3. poli – trhliny s výluhy kopírující průběh předpínacích lan – typická porucha pro dva levé krajní nosníky.



Obr. 3. 4: Levý krajní nosník ve 3. poli – trhliny s výluhy kopírující průběh předpínacích lan – detail.



Obr. 3. 5: Odpadlá krycí vrstva v místě dobetonávky mezi nosníky a korodující betonářská výztuž – lokální porucha.



Obr. 3. 6: Levý krajní nosník ve 3. poli z vnější strany – trhliny s výluhy kopírující průběh předpínacích lan – typická porucha pro dva levé krajní nosníky.



Obr. 3. 7: Levý krajní nosník ve 2. poli – samovolně odseparované krytí, lokální porucha.



Obr. 3. 8: Levý krajní nosník ve 3. poli – průsaky s výluhy – lokální porucha

3.2. Průzkum mostních závěrů

Nosnou konstrukci tvoří ze statického hlediska 3 prostá pole. Nad každou podpěrou je pak tedy umístěn povrchový mostní závěr s jednoduchým těsněním spáry.

Mostní závěry jsou značně zanesené, jinak jsou však celkově v dobrém stavu, při prohlídce povrchu závažné poruchy nezjištěny. Nicméně při prohlídce NK nad podpěrami **zjištěny stopy po zatékání, mostní závěry jsou tedy netěsné**. Problém bude nejspíše v napojení izolace na samotnou konstrukce mostního závěru. Nelze vyloučit ani poškození pryžového těsnícího profilu, vzhledem k usazeným nánosům nelze zkontrolovat.

Vozovka na mostě je celkově značně nerovná, je zde řada vysprávek, vyjeté koleje a trhliny. Mostní závěry jsou oproti okolní vozovce mírně vystouplé. Most je nicméně v intravilánu hned u křižovatky, provoz na mostě je tedy pomalý. Mostní závěry jsou tiché, nedochází ke vnášení dynamických rázů do konstrukce mostu.

V rámci diagnostického průzkumu byla provedena prohlídka povrchových mostních závěrů včetně měření nerovnosti vozovky v okolí mostních závěrů. Prohlídka mostního závěru byla provedena dne 10.4. 2024. Protokoly z prohlídky i měření deformací jsou součástí přílohy 4.



Obr. 3. 9: Mostní závěr MZ1

3.3. Pevnost betonu v tlaku na odebraných jádrových vývrtech

Za účelem stanovení nasákavosti a pevnosti betonu v tlaku NK byly z konstrukce odebrány celkem 4 jádrové vývrty. Jejich rozmístění je zřejmé ze schématu v příloze č. 1. Přehled odebraných vývrťů je v tabulce 3.1.



Obr. 3. 10: Odběr jádrového vývrťu z NK

Tabulka 3.1: Přehled odebraných jádrových vývrťů

| Označení | Průměr [mm] | Délka [mm] | Místo odběru | Provedené zkoušky |
|----------|-------------|------------|----------------------|----------------------|
| V1 | 100 | 180 | pole 1 - N1, cca L/2 | pevnost + nasákavost |
| V2 | 100 | 160 | pole 2 - N4, cca L/2 | pevnost + nasákavost |
| V3 | 100 | 160 | pole 2 - N2, cca L/2 | pevnost + nasákavost |
| V4 | 100 | 170 | pole 1 - N4, cca L/2 | pevnost + nasákavost |

K odběru jádrových vývrťů pro stanovení pevnosti betonu v tlaku byly použity pevně ukotvené vrtačky Hilti DD 150-U 230V a DD 120 230V s vodním výplachem a diamantovou korunkou Ø 100 mm. Před odebráním vzorku byla vždy pomocí radaru Hilti PS1000 ověřena poloha betonářské a předpínací výztuže, aby nedošlo k jejímu převrtání či poškození.

Na odebrané vývrty byl in-situ aplikován roztok fenolftaleinu pro zjištění hloubky karbonatce, která je souhrnně sepsána v kapitole 3.5. Vzorky byly následně odeslány do laboratoře, kde byla z vývrťů vyrobena zkušební válcová tělesa a určena pevnost betonu v tlaku

rozdrcením těles. Na odebraných vývrtech byla také stanovena objemová hmotnost. Všechny odvrtky byly na místě zapraveny sanační hmotnou na bázi cementu (ARDEX B14).

Příprava vzorků, provádění zkoušek i jejich vyhodnocení byly v souladu s předpisy příslušných státních norem (především ČSN EN 12390-3). Výsledky a vyhodnocení zkoušek jsou v příloze této zprávy, výpis v tabulce 3.2.

Tabulka 3.2: Pevnosti a objemové hmotnosti betonu zjištěné na jádrových vývrtech

| Označení vzorku | Místo odběru | Objemová hmotnost [kg/m ³] | Pevnost betonu v tlaku na vývrstu $f_{c,core}$ [MPa] | Průměrná objemová hmotnost [kg/m ³] | Průměrná pevnost [MPa] |
|-----------------|----------------------|--|--|---|------------------------|
| trámy | | | | | |
| V1 | pole 1 - N1, cca L/2 | 2410 | 112,2 | 2420 | 109,4 |
| V2 | pole 2 - N4, cca L/2 | 2390 | 100,9 | | |
| V3 | pole 2 - N2, cca L/2 | 2430 | 116,7 | | |
| V4 | pole 1 - N4, cca L/2 | 2430 | 107,9 | | |

Vzhledem k poměru délky k průměru zkušebních těles $L/d=1$ lze získanou pevnost v tlaku brát jako krychelnou, bez přepočtu. Krychelné pevnosti betonu zjištěné na vývrtech z nosné konstrukce byly použity pro výpočet odhadu charakteristické pevnosti v tlaku dle ČSN EN 13 791. V případě, že je k dispozici méně než 15 výsledků se odhad charakteristické pevnosti určuje dle následujícího vztahu:

$$f_{ck,is} = \min \{f_{mn,is}-k; f_{is,min} + 4\}$$

kde $f_{mn,is}$ = průměrná hodnota zjištěných pevností

$k = 7$ (pro $n = 3-6$)

$f_{is,min}$ = minimální hodnota zjištěných pevností

Trámy:

$$f_{ck,is, NK} = \min \{102,4; 104,9\}$$

$$f_{ck,is, NK} = 102,4 \text{ MPa} \rightarrow \text{C50/60}$$

Průměrná obj. hmotnost: 2420 kg/m³

Dle normy ČSN EN 13 791 byl beton nosné konstrukce zařazen do pevnostní třídy C50/60 (tedy nejvyšší třída, se kterou daná norma uvažuje). Reálná pevnost betonu je však vyšší – všechny zjištěné hodnoty pevnosti přesáhly 100 MPa! **Beton, tak reálně odpovídá pevnostní třídě C80/95.**

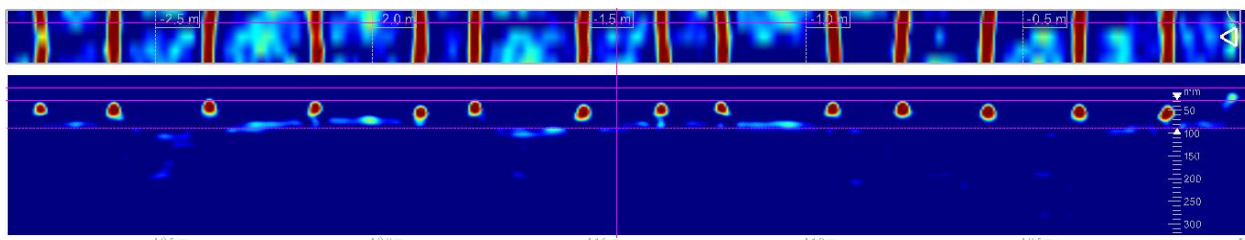
3.4. Diagnostika betonářské a předpínací výztuže

3.4.1. Radarové skeny

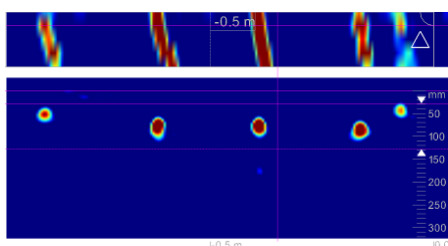
Při diagnostice předpínací a betonářské výztuže v konstrukci byl pro určení polohy výztuže použit radar HILTI PS 1000 X-Scan, položka 413222, výrobní číslo 330190009.

Grafický výstup z radaru HILTI PS 1000 na následujících obrázcích znázorňující polohu předpínací a betonářské výztuže sestává vždy ze dvou částí – nahoře je zobrazen kolmý pohled na skenovanou plochu a dole příčný řez. Z toho je možno identifikovat polohu i krytí výztuže. V případě plošného skenu je pak kromě pohledu na skenovanou plochu zobrazen příčný i podélný řez.

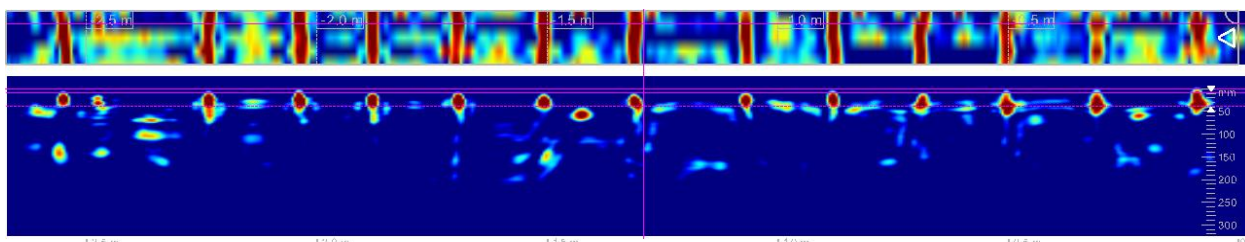
Z důvodu značné podobnosti jsou zde uvedeny pouze vybrané charakteristické skeny. Zbytek skenů v přílohové části.



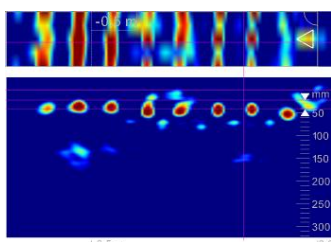
Obr. 3. 11: Radarový sken č. 782 vedený vodorovně na stojně nosníku N1 v poli 1. Detekovány svislé pruty betonářské výztuže, rozteče 130-260 mm, krytí cca 25-40 mm.



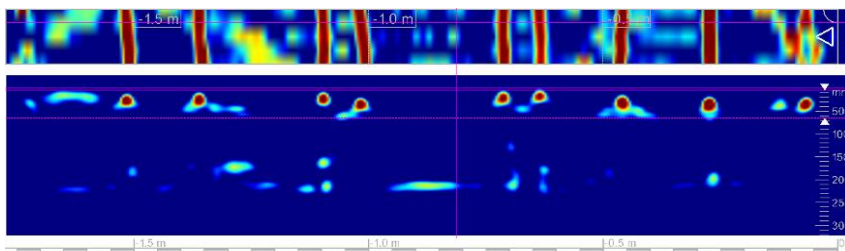
Obr. 3. 12: Radarový sken č. 783 vedený svisle vzhůru na stojně nosníku N1 v poli 1. Detekovány zvedané svazky předpínací výztuže, rozteče cca 230 mm, krytí cca 55-65 mm.



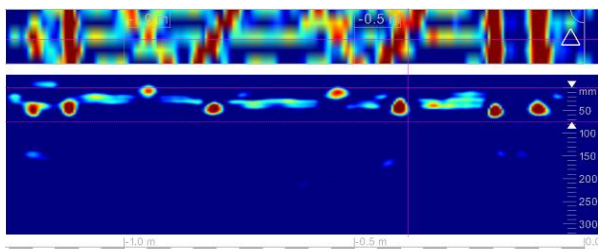
Obr. 3. 13: Radarový sken č. 776 vedený podélně na spodním líci nosníku N1 v poli 1. Detekovány příčné pruty betonářské výztuže, rozteče 155-230 mm, krytí cca 10 mm.



Obr. 3. 14: Radarový sken č. 777 vedený příčně na spodním líci nosníku N1 v poli 1. Detekováno 8 svazků předpínací výztuže, rozteče cca 75 mm, krytí cca 20-40 mm.



Obr. 3. 15: Radarový sken č. 781 vedený vodorovně na svislém líci 3. příčnicku mezi nosníky N1 a N2 v poli 1. Detekovány svislé pruty betonářské výztuže. Výztuž seskupena do dvojic s roztečí ve dvojici cca 75 mm, mezi dvojicemi cca 300 mm, krytí cca 5-20 mm.



Obr. 3. 16: Radarový sken č. 780 svisle vzhůru na 3. příčnicku mezi nosníky N1 a N2 v poli 1. Ve střední části detekovány šikmé pruty betonářské výztuže. Při okrajích zachyceny dvojice příčné předpínací výztuže. Krytí cca 0-30 mm.

Shrnutí: Radarové skeny potvrdily, že **vyztužení nosníků odpovídá dostupné archivní dokumentaci**.

3.4.2. Destruktivní sondy k předpínací výztuži

Pro zjištění míry koroze výztuže a zainjektovanosti kanálků bylo provedeno celkem 23 sekaných sond k předpínací výztuži, sondy označeny P1 – P23. Většina sond byla provedena na stojinách nosníků, celkem 11 sond, na spodním líci nosníků 7 sond a na příčnicích celkem 5 sond. Místa provedení byla vybírána s ohledem na zvýšené riziko koroze předpínací výztuže. Tedy místa s trhlinami, výluhy, zamáčením nebo odseparovaným krytím či jinými defekty.

Odhalování kabelů bylo prováděno po jejich lokalizaci radarem HILTI PS1000 s následným odstranění krycí vrstvy betonu pomocí bouracího kladiva. Po zhodnocení stavu předpínací výztuže byly všechny odhalené kabely zapraveny nesmrštivou sanační cementovou směsí ARDEX B14.

Kompletní pořízená fotodokumentace je na přiloženém datovém disku, níže na obrázcích pouze výběr. Vždy bylo pořízeno foto otevřeného kanálku a odhalených předpínacích drátů spolu se zkouškou hloubky karbonatace betonu. Popis sond je taktéž shrnutý v přehledné tabulce, která je součástí přílohy č. 5. V rámci popisu jsou nosníky číslovány zleva doprava (N1 – N6) při pohledu po směru staničení (od centra Jihlavy na Znojmo).

destruktivní sonda P1

Obr. 3. 17: Sonda provedena ve stojně nosníku N1 v poli 1 přibližně v polovině délky v místě s výluhy zvýrazněnou trhlinou kopírující průběh kabelu. Předpínací dráty v ocelové chráničce.



Obr. 3. 18: Detail po otevření kanálku – kabel nezainjektovaný, plný vody – po otevření chráničky vytekla voda. Předpínací dráty s hrubým povrchem, při zkoušce páčením se dráty jevíly volné. Krytí po dráty cca 75 mm.



Obr. 3. 19: Detail po zkoušce karbonatace roztokem fenolftaleinu – karbonatce betonu 0 mm.

destruktivní sonda P2

Obr. 3. 20: Sonda provedena na spodním líci nosníku N1 v poli 1 přibližně v polovině délky v s odseparovaným krytím. Předpínací dráty původně v ocelové chráničce. Ta je nyní zcela strávená korozí.



Obr. 3. 21: Detail po otevření kanálku – kabel zainjektovaný, v místě sondy však injektát vypadaný. V sondě minimálně 5 drátů přerušených korozí, zbytek s úbytkem 30 %. Krytí po dráty cca 30 mm.



Obr. 3. 22: Detail po zkoušce karbonatce roztokem fenolftaleinu – karbonatce betonu cca 20 mm.

destruktivní sonda P3

Obr. 3. 23: Sonda provedena na spodním líci nosníku N1 v poli 1 přibližně v polovině délky v s odseparovaným krytím. Předpínací dráty v ocelové chrániče s povrchovou korozí.



Obr. 3. 24: Detail po otevření kanálku – kabel zainjektovaný, v místě sondy však injektát vypadaný. Dráty s povrchovou korozí bez úbytku. Krytí po dráty cca 35 mm.



Obr. 3. 25: Detail po zkoušce karbonatace roztokem fenolftaleinu – karbonatace betonu cca 20 mm.

destruktivní sonda P4

Obr. 3. 26: Sonda provedena na spodní části stěny 3. příčnicku mezi nosníky N1 a N2. Místo s výluhy na povrchu. Předpínací dráty v ocelové chrániče bez koroze.



Obr. 3. 27: Detail po otevření kanálku – kabel plně zainjektovaný, injektát však vlhký. Dráty s povrchovou korozí bez úbytku. Krytí po dráty cca 45 mm.



Obr. 3. 28: Detail po zkoušce karbonatce roztokem fenolftaleinu – karbonatace betonu cca 0-5 mm.

destruktivní sonda P5

Obr. 3. 29: Sonda provedena ve stojně nosníku N1 v poli 1 ve druhé pětině jeho délky v místě výluhů. Předpínací dráty v ocelové chráničce. Chránička lokálně s povrchovou korozí.



Obr. 3. 30: Detail po otevření kanálku – kabel nezainjektovaný, v chráničce mokro. Dráty s korozí zhrublým povrchem. Krytí po dráty cca 70 mm.



Obr. 3. 31: Detail po zkoušce karbonatce roztokem fenolftaleinu – karbonatce betonu 0 mm.

destruktivní sonda P6

Obr. 3. 32: Sonda provedena ve stojně nosníku N1 v poli 1 ve druhé pětině jeho délky v místě výluhů. Předpínací dráty v ocelové chráničce. Chránička lokálně s povrchovou korozí.



Obr. 3. 33: Detail po otevření kanálku – kabel plně zainjektovaný, injektát však mokrý. Dráty s povrchovou korozí. Krytí po dráty cca 75 mm.



Obr. 3. 34: Detail po zkoušce karbonatce roztokem fenolftaleinu – karbonatce betonu 0 mm.

destruktivní sonda P7



Obr. 3. 35: Sonda provedena ve stojně nosníku N1 v poli 1 ve druhé pětině jeho délky v místě výluhů. Předpínací dráty v ocelové chráničce. Chránička lokálně s povrchovou korozí.



Obr. 3. 36: Detail po otevření kanálku – kabel nezainjektovaný, dráty mokré a při zkoušce páčením se jevíly volné. Dráty s korozí zhrublým povrchem. Krytí po dráty cca 80 mm.



Obr. 3. 37: Detail po zkoušce karbonatace roztokem fenolftaleinu – karbonatace betonu 0 mm.

destruktivní sonda P8

Obr. 3. 38: Sonda provedena na levém boku stojiny nosníku N1 v poli 1 ve druhé pětíně jeho délky v místě trhliny s výluhy. Předpínací dráty v ocelové chráničce. Chránička lokálně s povrchovou korozí.



Obr. 3. 39: Detail po otevření kanálku – kabel plně zainjektovaný, injektát však mokrý. Dráty s povrchovou korozí, bez úbytku. Krytí po dráty cca 85 mm.



Obr. 3. 40: Detail po zkoušce karbonatce roztokem fenolftaleinu – karbonatce betonu cca 0-5 mm.

destruktivní sonda P9

Obr. 3. 41: Sonda provedena na pravém boku stojiny nosníku N1 v poli 1 v páté pětině jeho délky v místě trhliny s výluhy. Předpínací dráty v ocelové chráničce. Chránička lokálně s povrchovou korozí.



Obr. 3. 42: Detail po otevření kanálku – kabel částečně zainjektovaný, injektát se jevil suchý. Dráty s povrchovou korozí, bez úbytku. Krytí po dráty cca 85 mm.



Obr. 3. 43: Detail po zkoušce karbonatce roztokem fenolftaleinu – karbonatce betonu 0 mm.

destruktivní sonda P10

Obr. 3. 44: Sonda provedena na horním povrchu spodní pásnice nosníku N1 v poli 1 ve čtvrté pětině jeho délky v místě samovolně odseparovaného krytí pod průsakem. Předpínací dráty původně v ocelové chráničce. Chránička již zcela strávená korozi.



Obr. 3. 45: Detail separace krytí v místě sondy.



Obr. 3. 46: Detail po obnažení předpínacích drátů – kabel původně zainjektovaný, nyní injektát vypadaný. Předpínací dráty korozi téměř zcela strávené.

destruktivní sonda P11

Obr. 3. 47: Sonda provedena na spodním líci nosníku N2 ve druhé pětině jeho délky v místě podélné trhliny s výluhy. Sondou odhalen 3. kabel zleva. Předpínací dráty v ocelové chráničce. Chránička lokálně s povrchovou korozí.



Obr. 3. 48: Detail po otevření kanálku – kabel plně zainjektovaný, injektát se jevil suchý. Dráty bez koroze. Krytí po dráty cca 40 mm.



Obr. 3. 49: Detail po zkoušce karbonatce roztokem fenolftaleinu – karbonatace betonu 0 mm.

destruktivní sonda P12

Obr. 3. 50: Sonda provedena na spodním líci nosníku N2 v poli 2 pod 3. příčnickem v místě podélné trhliny s výluhy. Sondou odhalen 2. kabel zleva. Předpínací dráty v ocelové chráničce. Chránička lokálně s povrchovou korozí.



Obr. 3. 51: Detail po otevření kanálku – kabel plně zainjektovaný, injektát se jevil suchý. Dráty bez koroze. Krytí po dráty cca 35 mm.



Obr. 3. 52: Detail po zkoušce karbonatce roztokem fenolftaleinu – karbonatace betonu 0 mm.

destruktivní sonda P13

Obr. 3. 53: Sonda provedena na spodním líci nosníku N2 v poli 2 pod 3. příčnickem v místě podélné trhliny s výluhy. Sondou odhalen 1. kabel zleva. Předpínací dráty v ocelové chráničce. Chránička lokálně s povrchovou korozí.



Obr. 3. 54: Detail po otevření kanálku – kabel plně zainjektovaný, injektát však mokvý. Dráty s hrubým povrchem – oslabení <5 %. Krytí po dráty cca 40 mm.



Obr. 3. 55: Detail po zkoušce karbonatice roztokem fenolftaleinu – karbonatice betonu 0 mm.

destruktivní sonda P14

Obr. 3. 56: Sonda provedena na spodní části 2. příčnicku mezi nosníky N1 a N2 v poli 2. Místo s trhlinou a výluhy. Předpínací dráty původně v ocelové chráničce. Chránička korozí zcela strávená.



Obr. 3. 57: Detail po otevření kanálku – kabel částečně zainjektovaný, injektát silně zamokřený. Předpínací dráty značně korodované – korozní úbytek <10 %. Krytí po dráty cca 50 mm.



Obr. 3. 58: Detail po zkoušce karbonatce roztokem fenolftaleinu – karbonatce betonu <5 mm.

destruktivní sonda P15

Obr. 3. 59: Sonda provedena na spodní části 2. příčnicku mezi nosníky N1 a N2 v poli 2. Místo s výluhy. Předpínací dráty v ocelové chráničce. Chránička bez koroze.



Obr. 3. 60: Detail po otevření kanálku – kabel částečně zainjektovaný, injektát se jevil suchý. Předpínací dráty s korozi zhrublým povrchem. Krytí po dráty cca 50 mm.



Obr. 3. 61: Detail po zkoušce karbonatce roztokem fenolftaleinu – karbonatce betonu <5 mm.

destruktivní sonda P16

Obr. 3. 62: Sonda provedena na spodním líci nosníku N1 v poli 2 pod 2. příčnickem v místě podélné trhliny s výluhy. Sondou odhalen 2. kabel zleva. Předpínací dráty v ocelové chráničce. Chránička bez koroze.



Obr. 3. 63: Detail po otevření kanálku – kabel nezainjektovaný. Předpínací dráty s korozi zhrublým povrchem. Zkouškou páčením se dráty jevíly volné. Krytí po dráty cca 45 mm.



Obr. 3. 64: Detail po zkoušce karbonatce roztokem fenolftaleinu – karbonatce betonu 0 mm.

destruktivní sonda P17

Obr. 3. 65: Sonda provedena na spodní části 3. příčnicku mezi nosníky N1 a N2 v poli 2. Místo s výluhy. Předpínací dráty původně v ocelové chráničce. Chránička již zcela strávená korozí.



Obr. 3. 66: Detail po otevření kanálku – kabel nezainjektovaný. Předpínací dráty silně korodované – úbytek lokálně <50 %. Krytí po dráty cca 50 mm.



Obr. 3. 67: Detail po zkoušce karbonatace roztokem fenolftaleinu – z důvodu mokrého povrchu nebylo možné odstranit prach – zkouška neprovedena.

destruktivní sonda P18

Obr. 3. 68: Sonda provedena na spodní části 3. příčnicku mezi nosníky N1 a N2 v poli 2. Místo s výluhy. Předpínací dráty původně v ocelové chráničce. Chránička již zcela strávená korozí.



Obr. 3. 69: Detail po otevření kanálku – kabel nezainjektovaný. Předpínací dráty silně korodované – úbytek lokálně <30 %. Krytí po dráty cca 50 mm.



Obr. 3. 70: Detail po zkoušce karbonatace roztokem fenolftaleinu – z důvodu mokrého povrchu nebylo možné odstranit prach – zkouška neprovedena.

destruktivní sonda P19

Obr. 3. 71: Sonda provedena na horním povrchu spodní pásnice nosníku N1 v poli 2 v druhé pětině jeho délky v místě samovolně odseparovaného krytí. Předpínací dráty původně v ocelové chráničce. Chránička již zcela strávená korozí.



Obr. 3. 72: Detail po obnažení předpínacích drátů – kabel původně zainjektovaný, nyní injektát v místě sondy vypadaný. Předpínací dráty korozí zcela strávené.

destruktivní sonda P20

Obr. 3. 73: Sonda provedena na levém boku stojiny nosníku N6 v poli 2 v L/2 v místě trhliny s výluhy. Předpínací dráty v ocelové chráničce. Chránička lokálně s povrchovou korozí.



Obr. 3. 74: Detail po otevření kanálku – kabel částečně zainjektovaný, v chráničce vlhko. Předpínací dráty korodované – úbytek lokálně <5 %. Krytí po dráty cca 95 mm.



Obr. 3. 75: Detail po zkoušce karbonatice roztokem fenolftaleinu. Hloubka karbonatice 0 mm.

destruktivní sonda P21

Obr. 3. 76: Sonda provedena na pravém boku stojiny nosníku N1 v poli 3 v první pětíně v místě trhliny s výluhy. Předpínací dráty v ocelové chráničce. Chránička lokálně s povrchovou korozí.



Obr. 3. 77: Detail po otevření kanálku – kabel plně zainjektovaný, v chráničce sucho. Předpínací dráty s povrchovou korozí – bez oslabení. Krytí po dráty cca 95 mm.



Obr. 3. 78: Detail po zkoušce karbonatice roztokem fenolftaleinu. Hloubka karbonatice 0 mm.

destruktivní sonda P22

Obr. 3. 79: Sonda provedena na pravém boku stojiny nosníku N1 v poli 3 ve druhé pětíně v místě trhliny s výluhy. Předpínací dráty v ocelové chráničce. Chránička lokálně s povrchovou korozí.



Obr. 3. 80: Detail po otevření kanálku – kabel plně zainjektovaný, v chráničce sucho. Předpínací dráty bez koroze. Krytí po dráty cca 60 mm.



Obr. 3. 81: Detail po zkoušce karbonatace roztokem fenolftaleinu. Hloubka karbonatace 0 mm.

destruktivní sonda P23

Obr. 3. 82: Sonda provedena na spodním líci nosníku N1 v poli 3 ve druhé pětině jeho délky v místě podélné trhliny s výluhy. Sondou odhalen 3. kabel zprava. Předpínací dráty v ocelové chráničce. Chránička s povrchovou korozí.



Obr. 3. 83: Detail po otevření kanálku – kabel plně zainjektovaný, v chráničce sucho. Předpínací dráty lokálně s povrchovou korozí bez oslabení. Krytí po dráty cca 70 mm.



Obr. 3. 84: Detail po zkoušce karbonatice roztokem fenolftaleinu. Hloubka karbonatice 0 mm.

Shrnutí: Za účelem ověření stavu předpínací výztuže bylo na nosné konstrukci provedeno celkem 23 destruktivních sond. 18 sond bylo provedeno v nosných trámech, 5 sond pak v příčnicích. Sondy byly umístovány do míst se zvýšeným rizikem koroze předpínací výztuže jako jsou trhliny nebo místa s výluhy případně odseparované krytí. V tomto případě se jednalo zejména o trhliny s výluhy nebo skvrny výluhů. Většina z nich byla ve všech polích na nosnících N1 a N2. Z tohoto důvodu byla většina sond provedena právě na těchto nosnících.

V šesti případech (P1, P5, P7, P16, P17, P18) **nebyla chránička vůbec zainjektovaná, dráty v nich byli volné, někdy i mokré a s korozním úbytkem až 50 %**. Jednalo se o kabely jak při spodních lících, tak ve stojinách nosníků i příčnicích. Čtyři kabely byly zainjektovány pouze částečně, z toho ve třech byl injektát mokrý. Zbytek sond (13) byl plně zainjektován, ale ve čtyřech případech byl injektát opět vlhký. V případě sondy P1 začala dokonce po otevření chráničky vytékat voda. **U sondy P2, P10, P19 byla část předpínacích drátů koroze zcela strávená**. Podrobný popis všech sond k předpínací výztuži je v příloze č. 5

U třech sond z pěti provedených v příčnicích byla zjištěna silná koroze příčné předpínací výztuže. Lze tedy předpokládat, že příčné předpětí je již pouze omezeně funkční.

3.4.3. Destruktivní sondy k betonářské výztuži

Pro zjištění stavu betonářské výztuže byly provedeny celkem 4 sondy, sondy označeny K1 – K4. Sondy prováděny v rámci sond k předpínací výztuži. Krycí vrstva byla odstraněna bouracím kladivem.

destruktivní sonda K1



Obr. 3. 85: Sonda provedena na 2. příčniku v poli 1 mezi nosníky N1 a N2 ve skvrně výluhů v rámci sondy k předpínací výztuži P4. Sondou odhalena svislá a vodorovná výztuž příčniku. Obě typu ROXOR průměru 16. Krytí svislé 20 mm, vodorovné 40 mm. Obě bez koroze, karbonatace betonu 0-5 mm.

destruktivní sonda K2



Obr. 3. 86: Sonda provedena na nosníku N1 ve druhé pětině jeho délky v poli 1 v rámci sondy k předpínací výztuži P7. Sondou odhalen prut svislé betonářské výztuže typu ROXOR průměru 16, krytí 40 mm, prut bez koroze.

destruktivní sonda K3



Obr. 3. 87: Sonda provedena na nosníku N1 v poli 1 mezi nosníky N1 a N2 ve skvrně výluhů v rámci sondy k předpínací výztuži P6. Sondou odhalena svislá betonářská výztuž nosníku. Výztuž typu ROXOR průměru 16 mm, krytí 45 mm, bez koroze, karbonatace betonu 0 mm.

destruktivní sonda K4



Obr. 3. 88: Sonda provedena na spodním líci nosníku N2 pod třetím příčným v rámci sondy k předpínací výztuži P12. Sondou odhalen prut podélné betonářské výztuže typu ROXOR průměru 10 mm, krytí 5 mm. Korozí zhrublý povrch, karbonatace betonu 0 mm.

Shrnutí: Betonářská výztuž odhalená v rámci sond do nosné konstrukce byla bez korozního oslabení, pouze u prutů s nízkým krytím lokálně výskyt povrchové koroze. Svislou betonářskou výztuž nosníků tvoří pruty typu ROXOR průměru 16 mm s krytím 40-45 mm. Pruty bez koroze. Sondou K4 byl odhalen podélný prut nejspíše konstrukční výztuže typu ROXOR průměru 10 mm s krytím 5 mm a korozí zhrublým povrchem.

Příčnky jsou taktéž vyztuženy pruty ROXOR průměru 16 mm, pruty bez koroze.

3.5. Stanovení míry karbonatace

Pro zjištění míry karbonatace byl aplikován 1% roztok fenolftaleinu.

Hloubka karbonatace byla ověřována na odebraných jádrových vývrtech a při sekaných sondách k předpínací výztuži. Fotodokumentace vývrťů po aplikaci fenolftaleinu je nahraná na přiloženém datovém disku. Výsledky zkoušek při sekaných sondách k předpětí jsou shrnuty v tabulce, která je součástí přílohy 5.

Tabulka 3.3: Hloubka karbonatce

| Způsob | Označení | Místo odběru | Hloubka karbonatce [mm] |
|--------------------|----------|--|----------------------------------|
| vývrty | V1 | pole 1 - N1, cca L/2 | 0 |
| | V2 | pole 2 - N4, cca L/2 | 0 |
| | V3 | pole 2 - N2, cca L/2 | 0 |
| | V4 | pole 1 - N4, cca L/2 | 0 |
| destruktivní sondy | P1 | N1 - pole 1; stojina cca v L/2, v místě trhliny s výluhy | 0 |
| | P2 | N1 - pole 1; spodní líc cca v L/2, místo s odseparovaným krytím a inkrustacemi | 20 |
| | P3 | N1 - pole 1; spodní líc cca v L/2, místo s odseparovaným krytím a inkrustacemi | 20 |
| | P4 | 3. příčník v poli 1 mezi N1/N2 v místě výluhů; prefabrikovaná část příčniku | 0-5 |
| | P5 | N1 - pole 1; pravý bok ve druhé pětina délky nosníku; místo s výluhy | 0 |
| | P6 | N1 - pole 1; pravý bok ve druhé pětina délky nosníku; místo s výluhy | 0 |
| | P7 | N1 - pole 1; pravý bok ve druhé pětina délky nosníku; místo s výluhy | 0 |
| | P8 | N1 - pole 1; levý bok ve druhé pětina délky nosníku; v místě trhliny s výluhy | 0-5 |
| | P9 | N1 - pole 1; pravý bok v páté pětina; místo s trhlinou a výluhy | 0 |
| | P10 | N1 - pole 1; horní povrch levé pásnice N1; v místě samovolně odseparovaného krytí | - |
| | P11 | N2 - pole 2; spodní líc ve druhé pětina délky nosníku; místo s trhlinou a výluhy; 3. kabel zleva | 0 |
| | P12 | N2 - pole 2; spodní líc pod třetím příčníkem; místo v trhlina s výluhy; 2. kabel zprava | 0 |
| | P13 | N2 - pole 2; spodní líc pod třetím příčníkem; místo v trhlina s výluhy; 1. kabel zleva | 0 |
| | P14 | spodní líc 2. příčniku mezi N1/N2; pole 2; místo s trhlinou a výluhy | <5 |
| | P15 | spodní líc 2. příčniku mezi N1/N2; pole 2; místo s výluhy | <5 |
| | P16 | N1 - pole 2; spodní líc pod druhým příčníkem; místo s trhlinou a výluhy; odhalen 2. kabel zleva | 0 |
| | P17 | třetí příčník v poli 2 mezi N1/N2; spodní líc; místo s výluhy | mokrý povrch znemožnil stanovení |
| | P18 | třetí příčník v poli 2 mezi N1/N2; spodní líc; místo s výluhy | mokrý povrch znemožnil stanovení |
| | P19 | N1 - pole 2; levý horní povrch pásnice v druhé pětina délky nosníku | - |
| | P20 | N6 - pole 2; levý bok stojiny v L/2; místo s výluhy | 0 |
| | P21 | N1 - pole 3; pravý bok v první pětina; místo s trhlinou a výluhy | 0 |
| | P22 | N1 - pole 3; pravý bok ve druhé pětina délky nosníku; místo s trhlinou a výluhy | 0 |
| | P23 | N1 - pole 3; spodní líc ve druhé pětina délky nosníku; místo s výluhy; 3. kabel zprava | 0 |

Shrnutí: Hloubka karbonatace betonu nosníků byla téměř ve všech případech 0 mm. Největší hloubka karbonatace (20 mm) byla naměřena v místě se samovolně odseparovaným krytím, a to na nosníku N1 v poli 1. Vzhledem ke krycí vrstvě nosníků lze konstatovat, že se veškerá výztuž nachází ve zdravém nezkarbonatovaném betonu.

Karbonatace betonu příčníků byla stanovena na 0-5 mm. Krycí vrstva betonářské výztuže byla však dle radaru místy v rozmezí 0-30 mm. Na základě toho lze usuzovat, že část betonářské výztuže příčníků se může nacházet v již zkarbonatovaném betonu.

3.6. Stanovení nasákavosti

Nasákavost betonu byla stanovena na všech odebraných jádrových vývrtech, na kterých se prováděla i zkouška pevnosti v tlaku. Zjištěné nasákavosti jsou shrnuty v následující tabulce:

Tabulka 3.4: Nasákavost na odebraných jádrových vývrtech

| Označení vývrtu | Průměr [mm] | Část konstrukce | Zjištěná nasákavost [%] | Průměrná nasákavost [%] |
|-----------------|-------------|----------------------|-------------------------|-------------------------|
| V1 | 100 | pole 1 - N1, cca L/2 | 4,2 | 4,1 |
| V2 | 100 | pole 2 - N4, cca L/2 | 3,9 | |
| V3 | 100 | pole 2 - N2, cca L/2 | 3,9 | |
| V4 | 100 | pole 1 - N4, cca L/2 | 4,2 | |

Průměrná hodnota nasákavosti betonu nosné konstrukce byla stanovena na 4,1 %.

3.7. Ověření odolnosti betonu vůči účinkům CHRL

Pro zkoušku odolnosti povrchu betonu proti působení vody, CHRL a mrazu byly z nosné konstrukce odebrány jádrové vývrtky Ø 150 mm. Přehled odebraných vývrtů je v následující tabulce:

Tabulka 3.5: Přehled odebraných vývrtů pro zkoušku odolnosti vůči CHRL

| Označení | Průměr [mm] | Délka [mm] | Místo odběru | Provedené zkoušky |
|----------|-------------|------------|----------------------|-------------------------------|
| CHRL1 | 150 | 210 | pole 1 - N1, cca L/2 | odolnost vůči CHRL - metoda C |
| CHRL2 | 150 | 110 | pole 2 - N3, cca L/2 | odolnost vůči CHRL - metoda C |
| CHRL3 | 150 | 155 | pole 2 - N1, cca L/2 | odolnost vůči CHRL - metoda C |
| CHRL4 | 150 | 135 | pole 1 - N3, cca L/2 | odolnost vůči CHRL - metoda C |

Vlastní laboratorní zkouška byla provedena v akreditované zkušební laboratoři metodou automatického cyklování I (metoda „C“) dle ČSN 73 1326 Změna Z1 a TKP 18 přílohy 3. V průběhu zkoušky je po 25, 50 a 75 cyklech provedeno vážení a vizuální posouzení porušení povrchu vzorku. Výsledky zkoušky odolnosti jsou vyhodnoceny dle TKP 18. Získané výsledky jsou porovnány s kritériem odolnosti povrchu betonu proti působení vody, mrazu a roztoku CHRL, pro danou konstrukci a použitou metodu C – odpad 1000 g/m² po 75 cyklech.

Tabulka 3.6: Výpis průběhu zkoušky na odolnost vůči účinkům CHRL [g/m²]

| Vzorek | 25 cyklů | 50 cyklů | 75 cyklů | Vyhodnocení | |
|--------|----------|----------|----------|--------------------------|----------|
| CHRL 1 | 190 | 590 | 810 | <1000 g/m ² → | Vyhovuje |
| CHRL 2 | 30 | 120 | 350 | <1000 g/m ² → | Vyhovuje |
| CHRL 3 | 20 | 80 | 210 | <1000 g/m ² → | Vyhovuje |
| CHRL 4 | 30 | 150 | 470 | <1000 g/m ² → | Vyhovuje |

Odolnost betonu NK vůči účinkům CHRL je na základě provedených zkoušek hodnocena jako **vyhovující**.

3.8. Stanovení obsahu chloridů

Obsah chloridových iontů v betonu byl zjišťován laboratorně. Pro zjištění obsahu chloridů byly z konstrukce mostu v místech stop po zatékání příklepovou vrtačkou s vrtákem průměru 14 mm odebrány prachové vzorky. Na každém zkušebním místě tři vzorky z hloubky 0-20 mm, 20-40 mm a 40-60 mm. Zkušební místa byla označena CH1 – CH20. Dále bylo odebráno 6 vzorků injektátu z předpínacích kanálků, označeny PX. Rozmístění zkušebních míst je zřejmé z nákresu v příloze 1.

Obsah chloridů byl určen v akreditované zkušební laboratoři Centrum dopravního výzkumu, v.v.i. Stanovení chloridů bylo provedeno reagenčním testem Spectroquant.

Výstupní hodnotou je procentuální obsah chloridových iontů v hmotnosti betonu (% Cl⁻ / m_b), která se přepočítá na množství cementu (% Cl⁻ / m_c) za odhadnutého předpokladu, že v betonu je cca 350 kg cementu/ m³ při objemové hmotnosti betonu 2300 kg/m³.

Zjištěný obsah chloridů porovnáváme s limity uváděnými v ČSN EN 206-1, které platí pro čerstvý beton, resp. jeho složky. Pro železobeton je to 0,4 % chloridových iontů k hmotnosti cementu a pro předpjatý beton 0,2 % k hmotnosti cementu. Tyto hodnoty interpretujeme jako dolní mez intervalu, ve kterém začínají chloridy přispívat ke spuštění a urychlení koroze výztuže a nad těmito hodnotami označujeme beton za kontaminovaný.

Tabulka 3.7: Výsledky analytické zkoušky obsahu chloridů na NK

| Část konstrukce | Označení vzorku | Hloubka [mm] | Koncentrace chloridových iontů | | Posouzení |
|--|-----------------|--------------|--------------------------------|----------------------|------------|
| | | | v betonu | v cementu | |
| | | | % Cl /m _b | % Cl /m _c | |
| N1 - pole 1; stojina cca v L/2, v místě trhliny s výluhy | CH1-1 | 0 - 20 | 0,009 | 0,057 | Vyhovuje |
| | CH1-2 | 20 - 40 | 0,003 | 0,016 | Vyhovuje |
| | CH1-3 | 40 - 60 | 0,006 | 0,040 | Vyhovuje |
| N1 - pole 1; spodní líc cca v L/2, místo s odseparovaným krytím a inkrustacemi | CH2-1 | 0 - 20 | 0,083 | 0,544 | Nevyhovuje |
| | CH2-2 | 20 - 40 | 0,039 | 0,256 | Nevyhovuje |
| | CH2-3 | 40 - 60 | 0,025 | 0,161 | Vyhovuje |
| 3. příčník v poli 1 mezi N1/N2 v místě výluhů; prefabrikovaná část příčníku | CH3-1 | 0 - 20 | 0,007 | 0,049 | Vyhovuje |
| | CH3-2 | 20 - 40 | 0,016 | 0,102 | Vyhovuje |
| | CH3-3 | 40 - 60 | 0,030 | 0,195 | Vyhovuje |
| N1 - pole 1; pravý bok ve druhé pětina délky nosníku; místo s výluhy | CH4-1 | 0 - 20 | 0,003 | 0,016 | Vyhovuje |
| | CH4-2 | 20 - 40 | 0,003 | 0,016 | Vyhovuje |
| | CH4-3 | 40 - 60 | 0,003 | 0,022 | Vyhovuje |
| spřahující deska mezi N1 a N2 v poli 1 cca v L/2; místo s výluhy | CH5-1 | 0 - 20 | 0,344 | 2,261 | Nevyhovuje |
| | CH5-2 | 20 - 40 | 0,012 | 0,080 | Vyhovuje |
| | CH5-3 | 40 - 60 | 0,007 | 0,045 | Vyhovuje |
| N1 - pole 1; levý bok ve druhé pětina délky nosníku; v místě trhliny s výluhy | CH6-1 | 0 - 20 | 0,003 | 0,018 | Vyhovuje |
| | CH6-2 | 20 - 40 | 0,003 | 0,016 | Vyhovuje |
| | CH6-3 | 40 - 60 | 0,003 | 0,016 | Vyhovuje |
| N1 - pole 1; pravý bok v páté pětina; místo s trhlinou a výluhy | CH7-1 | 0 - 20 | 0,003 | 0,016 | Vyhovuje |
| | CH7-2 | 20 - 40 | 0,003 | 0,016 | Vyhovuje |
| | CH7-3 | 40 - 60 | 0,003 | 0,016 | Vyhovuje |
| N1 - pole 1; pravý bok ve druhé pětina délky nosníku; místo s výluhy | CH8-1 | 0 - 20 | 0,002 | 0,014 | Vyhovuje |
| | CH8-2 | 20 - 40 | 0,014 | 0,094 | Vyhovuje |
| | CH8-3 | 40 - 60 | 0,006 | 0,042 | Vyhovuje |

| Část konstrukce | Označení vzorku | Hloubka [mm] | Koncentrace chloridových iontů | | Posouzení |
|---|-----------------|--------------|-----------------------------------|-----------------------------------|-----------|
| | | | v betonu | v cementu | |
| | | | % Cl ⁻ /m _b | % Cl ⁻ /m _c | |
| N1 - pole 1; stojina cca v L/2, v místě trhliny s výluhy | CH9-1 | 0 - 20 | 0,003 | 0,016 | Vyhovuje |
| | CH9-2 | 20 - 40 | 0,009 | 0,058 | Vyhovuje |
| | CH9-3 | 40 - 60 | 0,007 | 0,047 | Vyhovuje |
| N1 - pole 1; spodní líc cca v L/2, místo s odseparovaným krytím a inkrustacemi | CH10-1 | 0 - 20 | 0,003 | 0,020 | Vyhovuje |
| | CH10-2 | 20 - 40 | 0,009 | 0,058 | Vyhovuje |
| | CH10-3 | 40 - 60 | 0,007 | 0,047 | Vyhovuje |
| 3. příčník v poli 1 mezi N1/N2 v místě výluhů; prefabrikovaná část příčníku | CH11-1 | 0 - 20 | 0,003 | 0,020 | Vyhovuje |
| | CH11-2 | 20 - 40 | 0,003 | 0,016 | Vyhovuje |
| | CH11-3 | 40 - 60 | 0,003 | 0,016 | Vyhovuje |
| N1 - pole 1; pravý bok ve druhé pětina délky nosníku; místo s výluhy | CH12-1 | 0 - 20 | 0,015 | 0,098 | Vyhovuje |
| | CH12-2 | 20 - 40 | 0,003 | 0,022 | Vyhovuje |
| | CH12-3 | 40 - 60 | 0,010 | 0,066 | Vyhovuje |
| spřahující deska mezi N1 a N2 v poli 1 cca v L/2; místo s výluhy | CH13-1 | 0 - 20 | 0,003 | 0,016 | Vyhovuje |
| | CH13-2 | 20 - 40 | 0,003 | 0,016 | Vyhovuje |
| | CH13-3 | 40 - 60 | 0,005 | 0,031 | Vyhovuje |
| N1 - pole 1; levý bok ve druhé pětina délky nosníku; v místě trhliny s výluhy | CH14-1 | 0 - 20 | 0,004 | 0,025 | Vyhovuje |
| | CH14-2 | 20 - 40 | 0,003 | 0,016 | Vyhovuje |
| | CH14-3 | 40 - 60 | 0,003 | 0,016 | Vyhovuje |
| N1 - pole 1; pravý bok v páté pětina; místo s trhlinou a výluhy | CH15-1 | 0 - 20 | 0,003 | 0,016 | Vyhovuje |
| | CH15-2 | 20 - 40 | 0,003 | 0,016 | Vyhovuje |
| | CH15-3 | 40 - 60 | 0,003 | 0,016 | Vyhovuje |
| N1 - pole 1; pravý bok ve druhé pětina délky nosníku; místo s výluhy | CH16-1 | 0 - 20 | 0,006 | 0,037 | Vyhovuje |
| | CH16-2 | 20 - 40 | 0,003 | 0,016 | Vyhovuje |
| | CH16-3 | 40 - 60 | 0,003 | 0,016 | Vyhovuje |
| N1 - pole 3, první pětina délky nosníku; místo s výluhy | CH17-1 | 0 - 20 | 0,017 | 0,110 | Vyhovuje |
| | CH17-2 | 20 - 40 | 0,005 | 0,035 | Vyhovuje |
| | CH17-3 | 40 - 60 | 0,003 | 0,016 | Vyhovuje |
| spřahující deska mezi N1 a N2 v poli 3 v první pětina délky nosníku; místo s výluhy | CH18-1 | 0 - 20 | 0,005 | 0,033 | Vyhovuje |
| | CH18-2 | 20 - 40 | 0,003 | 0,016 | Vyhovuje |
| | CH18-3 | 40 - 60 | 0,004 | 0,023 | Vyhovuje |

| Část konstrukce | Označení vzorku | Hloubka [mm] | Koncentrace chloridových iontů | | Posouzení |
|---|-----------------|--------------|--------------------------------|----------------------|------------|
| | | | v betonu | v cementu | |
| | | | % Cl /m _b | % Cl /m _c | |
| 2. příčník mezi N2 a N3 v poli 3, v místě s výluhy | CH19-1 | 0 - 20 | 0,004 | 0,029 | Vyhovuje |
| | CH19-2 | 20 - 40 | 0,004 | 0,024 | Vyhovuje |
| | CH19-3 | 40 - 60 | 0,003 | 0,016 | Vyhovuje |
| 2. příčník mezi N2 a N3 v poli 3, v místě s výluhy | CH20-1 | 0 - 20 | 0,006 | 0,037 | Vyhovuje |
| | CH20-2 | 20 - 40 | 0,003 | 0,016 | Vyhovuje |
| | CH20-3 | 40 - 60 | 0,003 | 0,016 | Vyhovuje |
| N1 - pole 1; spodní líc cca v L/2, místo s odseparovaným krytím a inkrustacemi | P3 | 35 | 0,072 | 0,470 | Nevyhovuje |
| 3. příčník v poli 1 mezi N1/N2 v místě výluhů; prefabrikovaná část příčníku | P4 | 45 | 0,076 | 0,499 | Nevyhovuje |
| N1 - pole 1; pravý bok ve druhé pětina délky nosníku; místo s výluhy | P6 | 75 | 0,003 | 0,016 | Vyhovuje |
| N2 - pole 2; spodní líc pod třetím příčníkem; místo v trhlíně s výluhy; 2. kabel zprava | P12 | 35 | 0,003 | 0,016 | Vyhovuje |
| N6 - pole 2; levý bok stojiny v L/2; místo s výluhy | P20 | 95 | 0,133 | 0,874 | Nevyhovuje |
| N1 - pole 3; pravý bok v první pětina; místo s trhlínou a výluhy | P21 | 95 | 0,184 | 1,209 | Nevyhovuje |

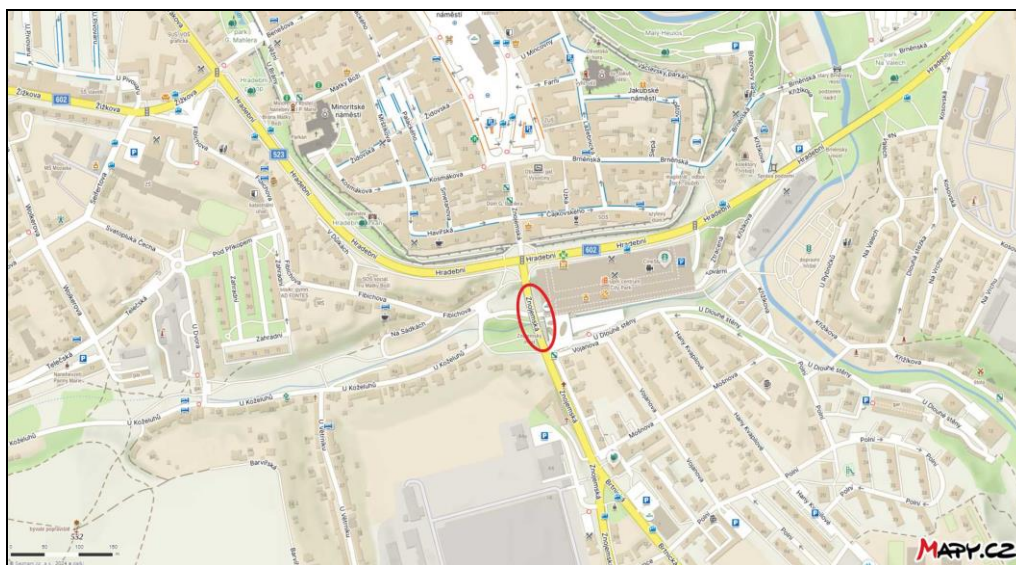
Vzorky pro stanovení obsahu chloridových iontů v betonu NK byly odebírány zejména v okolí prováděných destruktivních sond k předpětí případně v místech se zvýšeným rizikem koroze předpínací výztuže jako jsou trhliny a místa s výluhy. V rámci sond k předpětí byly také odebírány vzorky injektátu. Nadlimitní obsah chloridových iontů 0,2 % byl zjištěn u 7 vzorků z 26. Byly to vzorky betonu z pole 1 – místo s odseparovaným krytím a okolí odpadní trouby ve spřahující desce a 4 vzorky injektátu, konkrétně ze sondy P3 (N1-pole 1), P4 (příčník-pole 1), P20 (N6-pole 2) a P21 (N1-pole 3).

Sedm nadlimitních výskytů chloridových iontů se ze statistického hlediska nemusí zdát jako úplná katastrofa. Je však nutné podotknout, že v případech jako je tento, kdy jsou na povrchu prokresleny kabelové dráhy trhlinami s výluhy, **dochází k šíření vody samotnými kabelovými kanálky**. Ta se následně vzniknutými trhlinami dostává na povrch a šíří chloridy do okolního betonu. **Jejich nejvyšší koncentrace je tedy uvnitř kanálku předpětí a ne v betonu**. Nadlimitní přítomnost chloridových iontů může být tak ve všech kabelech, jejichž trasa je prokreslena trhlinou s výluhy, ačkoliv v jejich okolním betonu nadlimitní obsah chloridů zjištěn nebyl.

3.9. Korozní potenciálová mapa dle ASTM

Součástí diagnostického průzkumu nosné konstrukce mostu přes Koželužský potok ev. č. 523-000a v Jihlavě (Znojemska ulice) bylo posouzení aktuální koroze výztuže půlčlávkovou metodou. Posouzení výsledků bylo provedeno v souladu s normou ASTM C 876-09 - *Standard Test Method for Corrosion Potentials of Uncoated Reinforcing Steel in Concrete*.

Pro posouzení rozsahu koroze napadené výztuže byla použita tzv. „půlčlávková metoda“ – měření korozních potenciálů. Při korozi ocelové výztuže v betonu vznikají elektrochemické procesy, které se projevují změnami potenciálového pole na povrchu betonové plochy. Měří se potenciál výztuže v betonu proti přenosné Cu/CuSO₄ elektrodě na povrchu konstrukce.

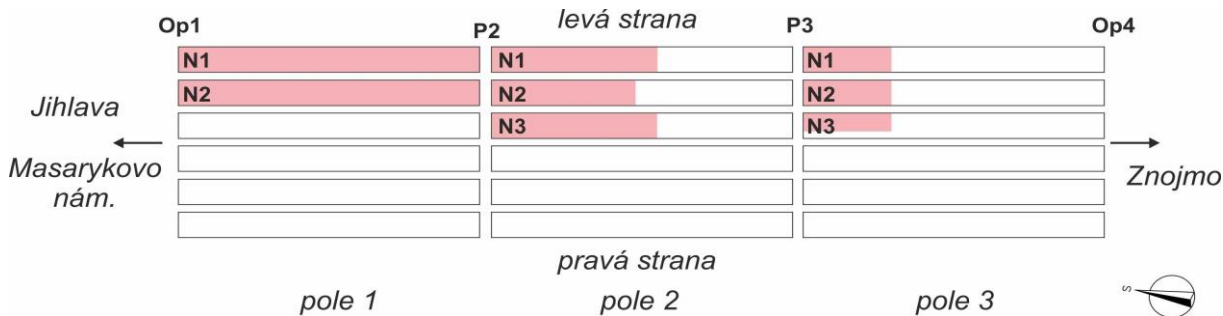


Most přes Koželužský potok ve měst Jihlava ev. č. 523-000a (www.mapy.cz – upraveno).

3.9.1. Provedená korozní měření

Terénní měření se uskutečnilo v úterý 9. a středu 10. dubna 2024. Teplota vzduchu se pohybovala mezi 15 a 23°C. Počasí bylo slunečné. Průzkum provedl a zpracoval Ing. David Laifr, zaměstnanec firmy INSET.

Posuzovaný most má 3 prostá pole, délka nosné konstrukce je 80,80 m. Každé pole je tvořeno 6 ks předpjatých betonových nosníků se spráženou žb deskou. Délka každého nosníku je 26,9 m.



Schematické značení prvků mostu, barevně zvýrazněny jsou proměřené části NK.

Při mimořádné mostní prohlídce v listopadu 2023 byl zjištěn horší stav nosníků na levé straně mostu. Průzkum půlčlankovou metou byl zaměřen na tuto stranu mostu. Celkově je na mostě použito cca 484 m nosníků (26,9 m x 6 ks x 3 poole). Průzkum byl proveden na bocích a dolním líci 121 m nosníku. Prosouzeno tak bylo cca 25 % nosníků.

3.9.2. Přípravné práce

Spodní strana nosníků byla nejprve rozměřena, s krokem 1 m byly na nosnících vytvořeny křídlové značky. Staničení 0 m každého mostního pole bylo zvoleno v místě severního mostního závěru a rostlo ve směru Znojmo.

Na měřených nosnících bylo s krokem 0,5 m provedeno 8 diskretních odečtů potenciálů. Pro přístup k nosníkům bylo využito montážní plošiny na automobilovém podvozku.

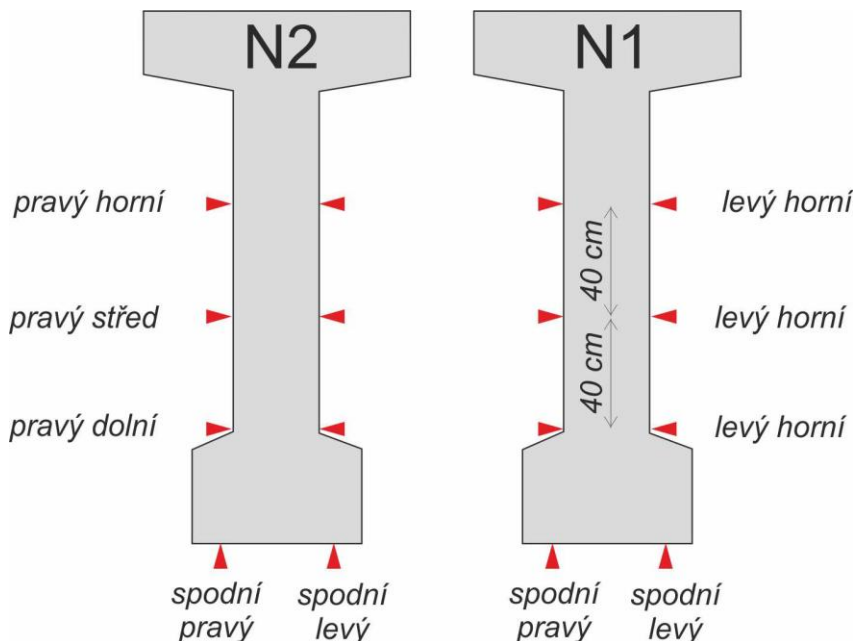


Schéma pozic kontaktních míst odečtu potenciálů (červené značky) a jejich značení.

3.9.3. Měření korozních potenciálů – půlčláneková metoda

K měření bylo použito analyzátoru koroze CANIN+ švýcarského výrobce PROCEQ. Jedná se o digitální milivoltmetr s vnitřní pamětí, který uchovává změřené hodnoty s definovaným místem měření a tyto údaje lze exportovat do počítače k následnému vyhodnocení. Přístroj umožňuje diskrétní nebo kontinuální měření.

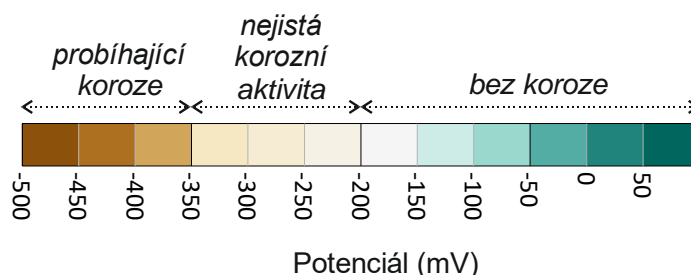
Předpokladem pro správnou kategorizaci naměřených údajů je vodivé propojení výztuže jednotlivých částí spodní stavby, anebo alespoň obdobná úroveň potenciálu výztuže, pokud jsou el. odděleny.

Čím je zvolená síť měření hustší, tím „jemněji“ je posuzovaná konstrukce prozkoumána, za cenu vyšší časové náročnosti. Zvolené části nosníků byly prověřeny přibližně v rastru 0,5 m x 0,5 m. Celkem na dílčích částech NK mostu ev. č. 523-000a bylo provedeno téměř 1900 diskrétních odečtů potenciálových rozdílů.

3.9.4. Zpracování dat, potenciálová mapa

Obecně pro betony a použitou nepolarizovatelnou Cu/CuSO₄ elektrodu lze použít následující klasifikaci, která je shodná s normou ASTM C 876-09 a také s doporučením výrobce analyzátoru koroze fy Proceq:

| Hodnota E (mV) | Klasifikace |
|---------------------|---|
| E > - 200 | Pravděpodobnost, že ke korozi nedochází je větší než 90 %. |
| - 200 > E > - 350 | Korozní aktivita je neurčitá |
| - 350 > E | Pravděpodobnost, že ke korozi dochází je větší než 90 %. |



Použitá barevná škála pro interpretaci potenciálových rozdílů.

Všechny změřené hodnoty korozních potenciálů byly plošně zobrazeny pomocí programového vybavení Surfer do podoby potenciálových map a jsou obsahem následujících stran. Hodnoty potenciálů kladnějších než - 200 mV, kde ke korozi zakryté výztuže nedošlo, byly zobrazeny barevnou škálou od bílé po zelenomodrou. Pás neurčité korozní agresivity (-200 mV až -350 mV) od bílé po béžovou. Hodnoty zápornější než -350 mV s postupně sytějšími

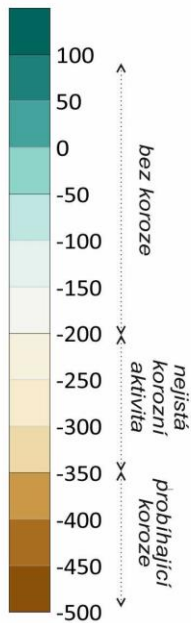
hnědými barvami, které by měly připomínat barvu rzi, ukazují místa pravděpodobného korozního poškození výztuže.

Zpracované plošné potenciálové mapy jsou na dalších stránkách. Slovní hodnocení je obsahem následující tabulky. **Zvýrazněné údaje náleží potenciálům zápornějším než - 350 mV.**

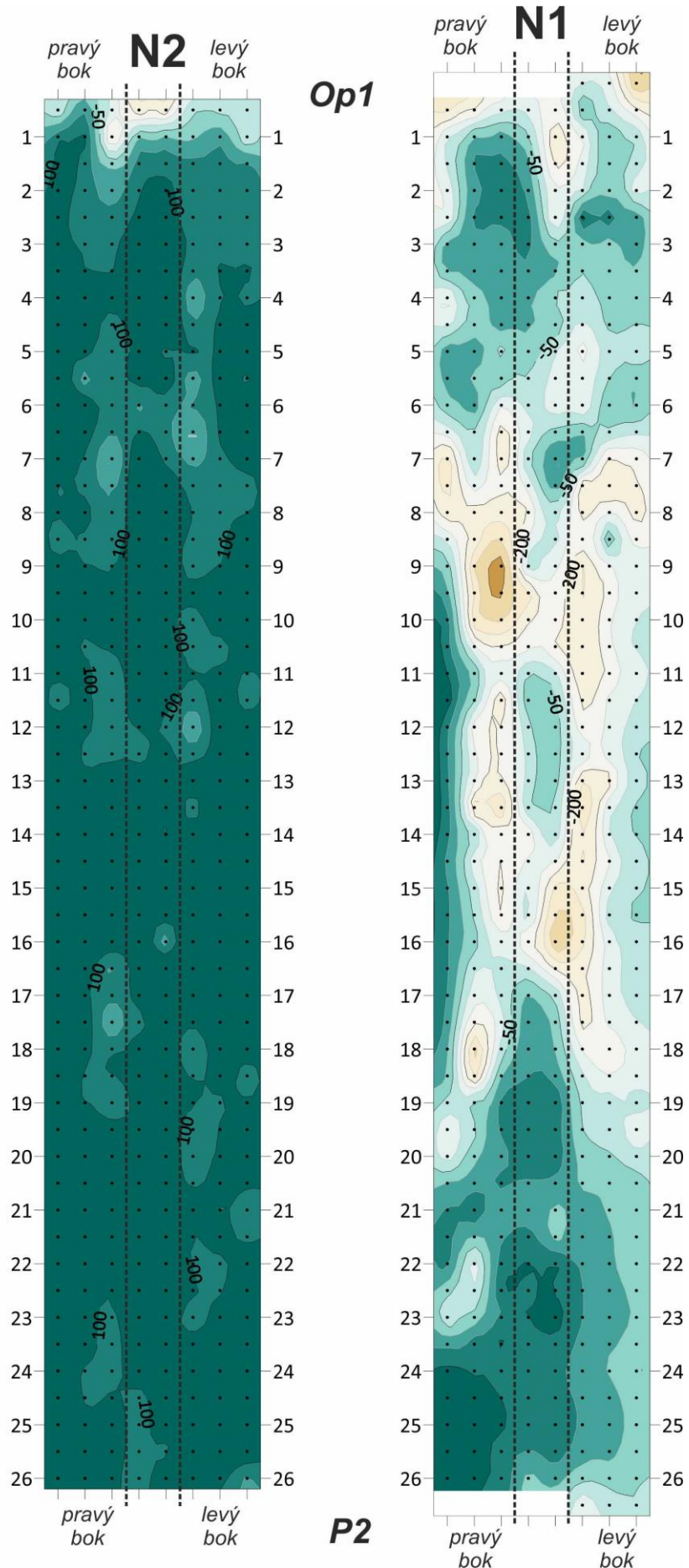
| Pole | Nosník (zleva) | Pozice nálezu | Vzdálenost od MZ (m) | Plocha (m ²) |
|------|---------------------|---|----------------------|--------------------------|
| 1 | N1 | pravý bok dole | 9.0 – 9.5 | 0.2 |
| | | levý bok horní | 0.0 – 0.5 | 0.3 |
| | | pravý bok dole a uprostřed | 0.4 – 0.8 | 0.2 |
| | | spodní strana vlevo | 0.8 – 1.5 | 0.2 |
| | | na obou bocích, více v dolní části | 6.5 – 11.5 | 3.5 |
| | | spodní líc, více vpravo | 9.2 – 10.5 | 0.8 |
| | | pravý bok dole | 11.5 – 14.0 | 0.5 |
| | | levý bok dole | 12.8 – 17.5 | 1.5 |
| | pravý bok uprostřed | 17.5 – 18.5 | 0.4 | |
| | N2 | spodní líc | 0.0 – 0.6 | 0.3 |
| 2 | N1 | levý bok | 0.0 – 0.2 | 0.2 |
| | | spodní líc s přesahem do obou boků dole | 5.3 – 6.0 | 0.8 |
| | N2 | pravý bok dole | 5.5 – 6.8 | 0.2 |
| | | levý bok dole | 6.0 – 8.2 | 0.3 |
| | | pravý bok dole a spodní líc | 7.5 – 11.0 | 1.5 |
| N3 | - | - | - | |
| 3 | N1 | - | - | - |
| | N2 | - | - | - |
| | N3 | - | - | - |

Jihlava
most ev. č. 523-000a

pole 1

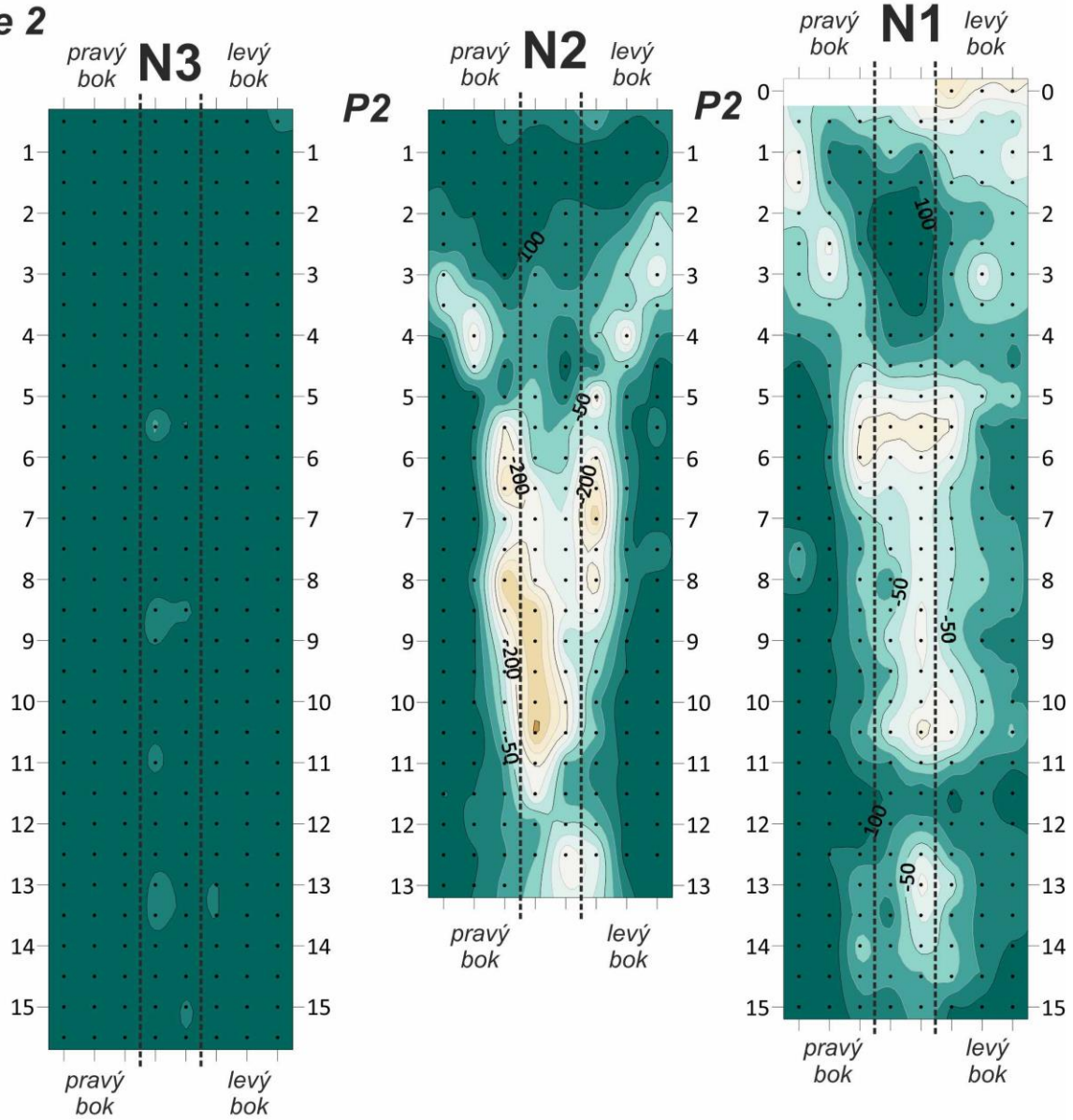


stav v dubnu 2024



Jihlava
most ev. č. 523-000a

pole 2

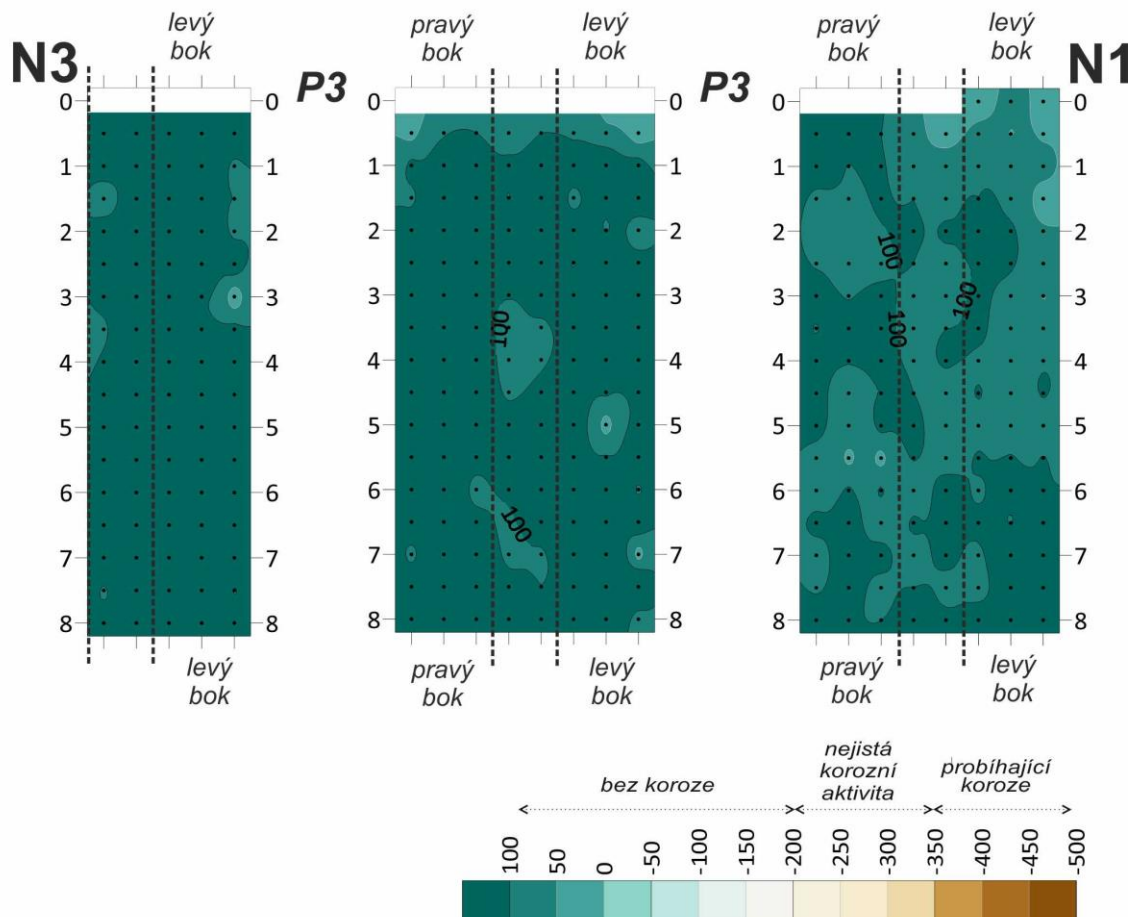


stav v dubnu 2024

Jihlava
most ev. č. 523-000a

pole 3

N2



stav v dubnu 2024

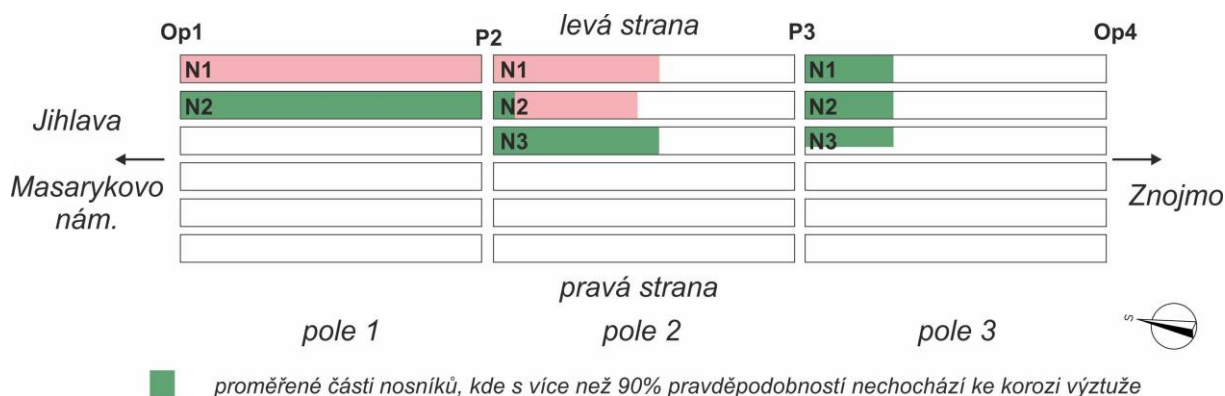
3.9.5. Závěr korozního měření

Součástí diagnostického průzkumu mostu přes Koželužský potok s ev. č. 523-000a ve městě Jihlava bylo posouzení koroze výztuže „půlčlankovou metodou“. Pro měření bylo použito analyzátoru koroze CANIN švýcarského výrobce PROCEQ. Naměřené hodnoty byly kvalifikovány podle normy ASTM C 876-09, a také podle doporučení výrobce analyzátoru.

Z celkové proměřené délky nosníků 121 m (což je cca 25 %) byla pouze v ploše cca 0.2 m² zjištěna úroveň potenciálu zápornější než -350 mV a podle normy ASTM C 876-09 zde s více než 90 % pravděpodobností dochází ke korozi výztuže. Toto místo se nachází na pravém boku dole nosníku N1 v poli 1.

Nejistá korozní aktivita s potenciály z intervalu -350 až -200 mV byla zaznamenána na cca 11 m², což činí téměř 6 % proměřované plochy. Rozsahem největší oblast byla zjištěna v poli 1 nosníku N1 (první zleva) ve vzdálenosti 6,5 – 11 m od mostního závěru nad Op1. Nosníky N1 v poli 3 a N2 v poli 2 mají na svém povrchu nejvíce zón s lokálním snížením potenciálu do oblastí s nejistou korozní aktivitou.

S více než 90% pravděpodobností neprobíhá koroze výztuže v proměřené části nosníků N2 v poli 1, N3 v poli 2 a N1, N2 a N3 v poli 3.



3.10. Výpočet zatížitelnosti mostu

Statický výpočet je v plném rozsahu uveden v příloze této zprávy. Tento výpočet provedla společnost Rušar mosty, s.r.o.

Výsledná zatížitelnost mostu se zohledněním výsledků diagnostického průzkumu:

| | |
|-------------------------|-----------------|
| Zatížitelnost normální | $V_n = 23$ tun |
| Zatížitelnost výhradní | $V_r = 37$ tun |
| Zatížitelnost výjimečná | $V_e = 137$ tun |

Zatížitelnost je stanovena z únosnosti nosníků a ve statickém výpočtu již byly zahrnuty poruchy předpětí. Proto již zatížitelnosti stanovenou z únosnosti nosníků nebude dále redukována součinitelem alfa.

4. ZÁVĚR

Obsahem této zprávy jsou výsledky diagnostických prací provedených na **nosné konstrukci mostu ev. č. 523-000a**, Most přes Koželužský potok ve městě Jihlava.

Zjištěné skutečnosti:

Nosná konstrukce

V rámci prohlídky mostu bylo dokumentováno poměrně **velké množství trhlin s vápennými výluhy, které kopírovaly dráhu předpínacích lan**. V těchto místech byly následně také provedeny sondy k předpínací výztuži (viz další kapitoly). Tyto poruchy se vyskytovaly především **na levých dvou krajních nosnících**, místy také na pravém krajním nosníku.

Stav vnitřních nosníků je celkově dobrý – nebyly zjištěny žádné významné poruchy. V místě dobetonávek mezi nosníky je místy lokálně odprýsklá krycí vrstva a odhalená betonářská výztuž.

Vzhledem ke zjištěným poruchám lze konstatovat, že izolace v levé části mostu je již strávená, dochází k průsakům vody do nosné konstrukce. Dochází i k zatékání na konce nosníků skrze netěsné mostní závěry.

Nosnou konstrukci tvoří ze statického hlediska 3 prostá pole. Nad každou podpěrou je umístěn povrchový mostní závěr s jednoduchým těsněním spáry. Mostní závěry jsou celkově značně zanesené, jinak jsou však celkově v dobrém stavu, při prohlídce povrchu závažné poruchy nezjištěny. Nicméně při prohlídce NK nad podpěrami byly **zjištěny stopy po zatékání, mostní závěry jsou tedy netěsné**. Problém bude nejspíše v napojení izolace na samotnou konstrukce mostního závěru. Nelze vyloučit ani poškození pryžového těsnícího profilu, vzhledem k usazeným nánosům nebylo možné zkontrolovat.

Vozovka na mostě je celkově značně nerovná, je zde řada vysprávek, vyjeté koleje a trhliny. Mostní závěry jsou oproti okolní vozovce mírně vystouplé. Most je nicméně v intravilánu hned u křižovatky, provoz na mostě je tedy pomalý. Mostní závěry jsou tiché, nedochází ke vnášení dynamických rázů do konstrukce mostu.

Dle normy ČSN EN 13 791 byl beton nosné konstrukce zařazen do pevnostní třídy C50/60 (tedy nejvyšší třída, se kterou daná norma uvažuje). Reálná pevnost betonu je však vyšší – všechny zjištěné hodnoty pevnosti přesáhly 100 MPa! **Beton tak reálně odpovídá pevnostní třídě C80/95.**

Průměrná hodnota nasákavosti betonu nosné konstrukce byla stanovena na 4,1 %.

Odolnost betonu NK vůči účinkům CHRL je na základě provedených zkoušek hodnocena jako vyhovující.

Radarové skeny potvrdily, že **vyztužení nosníků odpovídá dostupné archivní dokumentaci.**

Za účelem ověření stavu předpínací výztuže bylo na nosné konstrukci provedeno celkem 23 destruktivních sond. 18 sond bylo provedeno v nosných trámech, 5 sond pak v příčnicích. Sondy byly umístovány do míst se zvýšeným rizikem koroze předpínací výztuže jako jsou trhliny nebo místa s výluhy případně odseparované krytí. V tomto případě se jednalo zejména o trhliny s výluhy nebo skvrny výluhů. Většina z nich byla ve všech polích na nosnících N1 a N2. Z tohoto důvodu byla většina sond provedena právě na těchto nosnících.

V šesti případech (P1, P5, P7, P16, P17, P18) **nebyla chránička vůbec zainjektovaná, dráty v nich byli volné, někdy i mokré a s korozním úbytkem až 50 %**. Jednalo se o kabely jak při spodních lících, tak ve stojinách nosníků i příčnicích. Čtyři kabely byly zainjektovány pouze částečně, z toho ve třech byl injektát mokrý. Zbytek sond (13) byl plně zainjektován, ale ve čtyřech případech byl injektát opět vlhký. V případě sondy P1 začala dokonce po otevření chráničky vytékat voda. **U sondy P2, P10, P19 byla část předpínacích drátů koroze zcela strávená**. Podrobný popis všech sond k předpínací výztuži je v příloze 5.

U třech sond z pěti provedených v příčnicích byla zjištěna silná koroze příčné předpínací výztuže. Lze tedy předpokládat, že příčné předpětí je již pouze omezeně funkční.

U 6 sond byl proveden odběr injektátu pro zkoušku obsahu chloridových iontů. **Ve 4 případech pak byl zjištěný nadlimitní obsah chloridových iontů**. Je tedy zřejmé, že se slaná voda dostává do kabelových kanálků, které tak kontaminuje chloridovými ionty. **Lze tedy předpokládat, že koroze předpínací výztuže bude dále pokračovat.**

V betonu byl zjištěn zvýšený obsah chloridových iontů pouze ve 3 případech ze dvaceti. To je způsobeno nejspíše tím, že se slaná voda šíří primárně kabelovými kanálky a teprve následně skrze trhliny kontaminuje chloridy okolní beton. Nadlimitní přítomnost chloridových iontů může být tak ve všech kabelech, jejichž trasa je prokreslena trhlinou s výluhy, ačkoliv v jejich okolním betonu nadlimitní obsah chloridů zjištěn nebyl.

Betonářská výztuž odhalená v rámci sond do nosné konstrukce byla bez korozního oslabení, pouze u prutů s nízkým krytím lokálně výskyt povrchové koroze. Svislou betonářskou výztuž nosníků tvoří pruty typu ROXOR průměru 16 mm s krytím 40-45 mm. Pruty bez koroze. Sondou K4 byl odhalen podélný prut nejspíše konstrukční výztuže typu ROXOR průměru 10 mm s krytím 5 mm a koroze zhrublým povrchem. Příčníky jsou taktéž vyztuženy pruty ROXOR průměru 16 mm, pruty bez koroze.

Hloubka karbonatace betonu nosníků byla téměř ve všech případech 0 mm. Největší hloubka karbonatace (20 mm) byla naměřena v místě se samovolně odseparovaným krytím, a to na nosníku N1 v poli 1. Vzhledem ke krycí vrstvě nosníků lze konstatovat, že se veškerá výztuž nachází ve zdravém nezkarbonatovaném betonu.

Karbonatace betonu příčníků byla stanovena na 0-5 mm. Krycí vrstva betonářské výztuže byla však dle radaru místy v rozmezí 0-30 mm. Na základě toho lze usuzovat, že část betonářské výztuže příčníků se může nacházet v již zkarbonatovaném betonu.

Z celkové proměřené délky nosníků 121 m (což je cca 25 %) byla pouze v ploše cca 0,2 m² zjištěna úroveň potenciálu zápornější než -350 mV a podle normy ASTM C 876-09 zde s více než 90 % pravděpodobností dochází ke korozi výztuže. Toto místo se nachází na pravém boku dole nosníku N1 v poli 1. Nejistá korozní aktivita s potenciály z intervalu -350 až -200 mV byla zaznamenána na cca 11 m², což činí téměř 6 % proměřované plochy. Rozsahem největší

oblast byla zjištěna v poli 1 nosníku N1 (první zleva) ve vzdálenosti 6,5 – 11 m od mostního závěru nad Op1. Nosníky N1 v poli 3 a N2 v poli 2 mají na svém povrchu nejvíce zón s lokálním snížením potenciálu do oblastí s nejistou korozní aktivitou. S více než 90 % pravděpodobností neprobíhá koroze výztuže v proměřené části nosníků N2 v poli 1, N3 v poli 2 a N1, N2 a N3 v poli 3.

Zatížitelnost

Výsledná zatížitelnost mostu se zohledněním výsledků diagnostického průzkumu:

| | |
|-------------------------|-----------------|
| Zatížitelnost normální | $V_n = 23$ tun |
| Zatížitelnost výhradní | $V_r = 37$ tun |
| Zatížitelnost výjimečná | $V_e = 137$ tun |

Zatížitelnost je stanovena z únosnosti nosníků a ve statickém výpočtu již byly zahrnuty poruchy předpětí. Proto již hodnoty zatížitelnosti stanovené z únosnosti nosníků nebudou dále redukovány součinitelem alfa.

Je třeba zdůraznit, že daný **výpočet platí pro stavebně-technický stav mostu k dubnu 2024, kdy byl proveden diagnostický průzkum mostu**. Vzhledem ke zjištěným skutečnostem (koroze předpětí, chloridové ionty v kanálcích, nedostatečný či chybějící injektát v části kanálků) lze však předpokládat, že **stavebně-technický stav mostu se bude postupně zhoršovat (pokračující koroze předpínací výztuže)**. Vývoj koroze předpínací výztuže v této fázi může být progresivní a může tak během relativně krátké doby (např. 5 let) dojít k dalšímu výraznému snížení zatížitelnosti. Proto **doporučujeme na stranu bezpečnou ponechat do doby rekonstrukce mostu stávající dopravní značení**, které zamezuje vjezd na most všem vozidlům s hmotností větší než 12 t.

Doporučení:

S ohledem na **zjištěný špatný stav předpínací výztuže je nutné provést rekonstrukci mostu**. Nabízí se 3 varianty řešení.

První variantou je zesílení stávající konstrukce dodatečným systémem příčného podélného předpětí. Dále provést výměnu izolace a mostního svršku. Toto řešení však přinese pouze omezené prodloužení životnosti mostu a s ohledem na vysokou náročnost takovéto rekonstrukce (technickou i finanční) považujeme toto řešení za neekonomické.

Druhou variantou je **výměna nosné konstrukce mostu včetně výměny ložisek**. Spodní stavbu je možno zachovat. Tato varianta zajistí životnost mostu na dalších 100 let. Výhodou je možnost zbudování spojitě nosné konstrukce, čímž dojde k eliminaci stávajících problematických detailů (mostní závěry nad pilíři mostu). Tato varianta se nám jeví z ekonomického hlediska jako nejvhodnější.

Třetí variantou je výstavba zcela nového mostu. Tato varianta je finančně nejvíce nákladná. Nabízí však zcela nové možnosti řešení mostu (např. jednopolový most s volným mostním otvorem bez pilířů).

V každém případě je nutné ihned zahájit vypracování PD na rekonstrukci mostu.

Skutečnosti uvedené v této zprávě popisují zjištění k 04/2024.

V Brně dne 24. 6. 2024

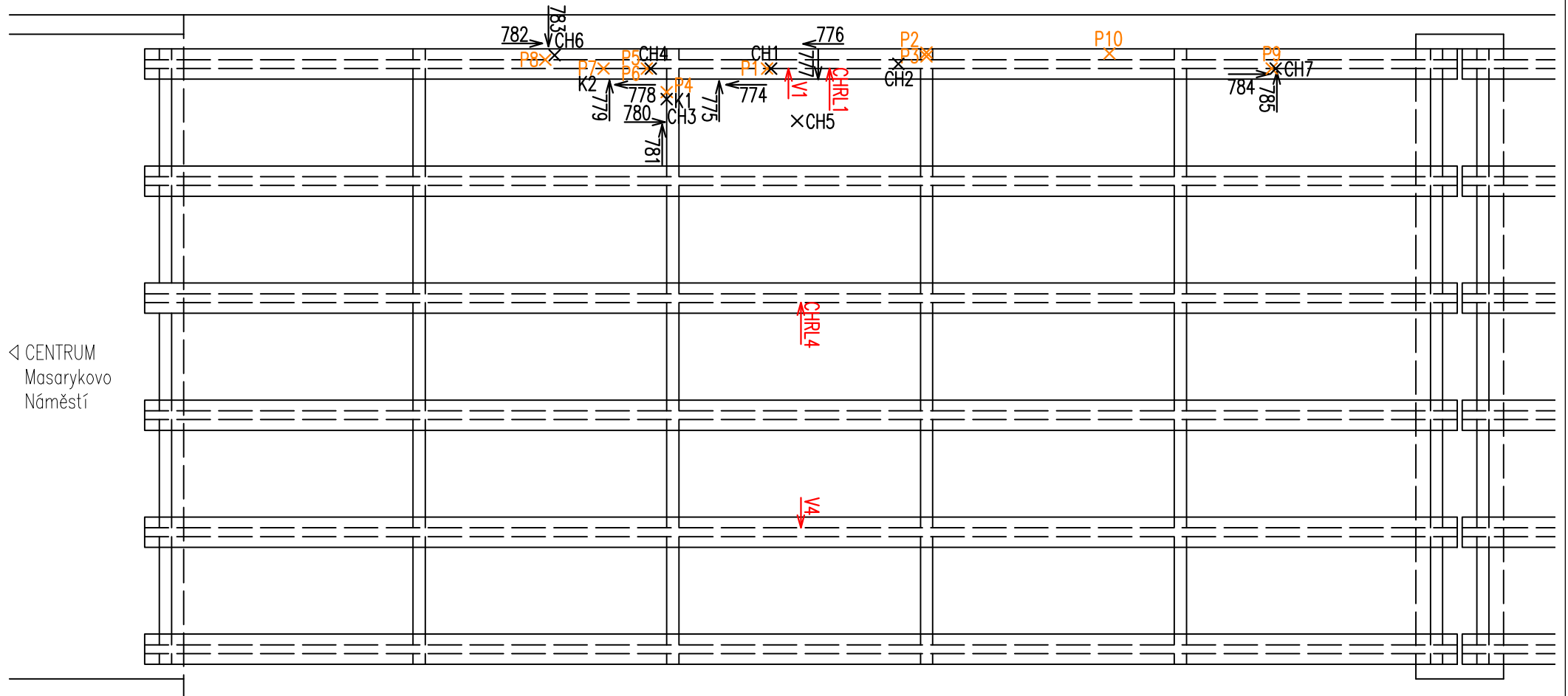
Ing. Petr Tkadleček

NC CITYPARK

OPĚRA 01

POLE 1

PODPĚRA P2



◁ CENTRUM
Masarykovo
Náměstí

LEGENDA:

- V ODEBRANÝ JÁDROVÝ VÝRT
- × CH CHLORIDY
- × P SEKANÁ SONDA K PŘEDPÍNAČÍ VÝZTUŽI
- × K SEKANÁ SONDA K BETONÁŘSKÉ VÝZTUŽI
- XXX → RADAROVÉ SKENY

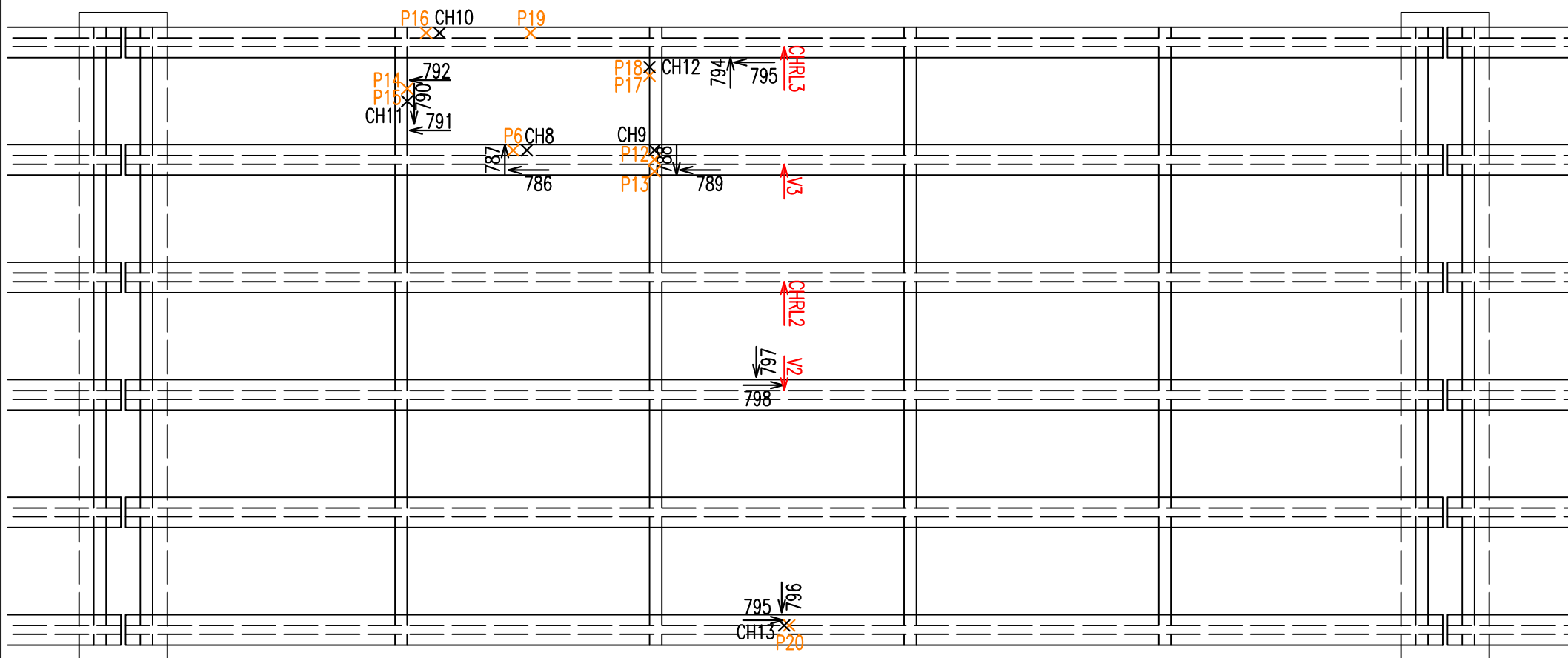
NC CITYPARK

LEVÁ STRANA

PODPĚRA P2

POLE 2

PODPĚRA P3



LEGENDA:

- V ODEBRANÝ JÁDROVÝ VÝRT
- × CH CHLORIDY
- × P SEKANÁ SONDA K PŘEDPÍNAČÍ VÝZTUŽI
- × K SEKANÁ SONDA K BETONÁŘSKÉ VÝZTUŽI
- XXX→ RADAROVÉ SKENY

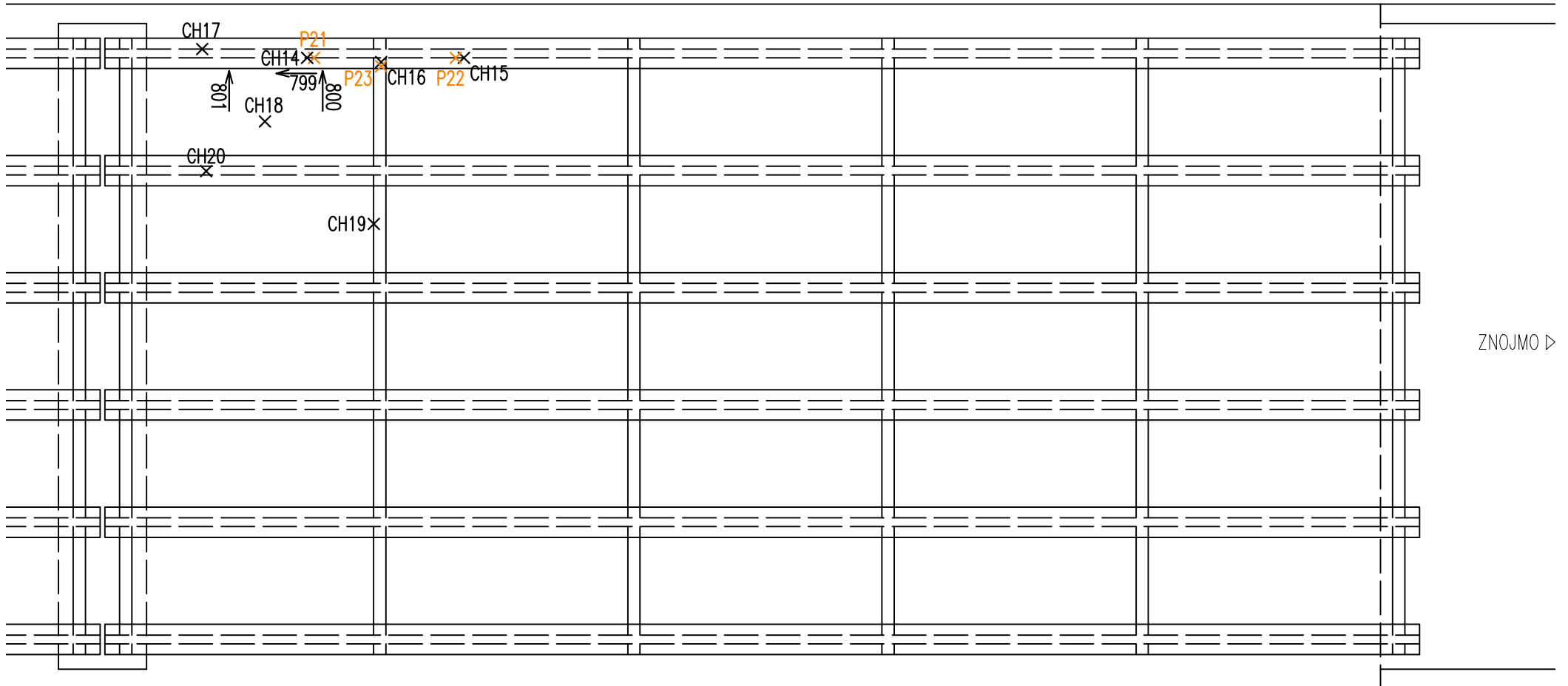
PRAVÁ STRANA

NC CITYPARK

PODPĚRA P3

POLE 3

OPĚRA 04



LEGENDA:

- V ODEBRANÝ JÁDROVÝ VÝRT
- × CH CHLORIDY
- × P SEKANÁ SONDA K PŘEDPÍNAČÍ VÝZTUŽI
- × K SEKANÁ SONDA K BETONÁŘSKÉ VÝZTUŽI
- XXX RADAROVÉ SKENY

NC CITYPARK

OPĚRA 01

POLE 1

PODPĚRA P2



◁ CENTRUM
Masarykovo
Náměstí

LEGENDA:

- (XXX) POHLED
- (XXX) TRHLINA
- (XXX) VÝLUHY
- (XXX) TRHLINA S VÝLUHY
- (XXX) ODSEPAROVANÉ KRYTÍ

(XXX) ODSEPAROVANÉ KRYTÍ S VÝLUHY

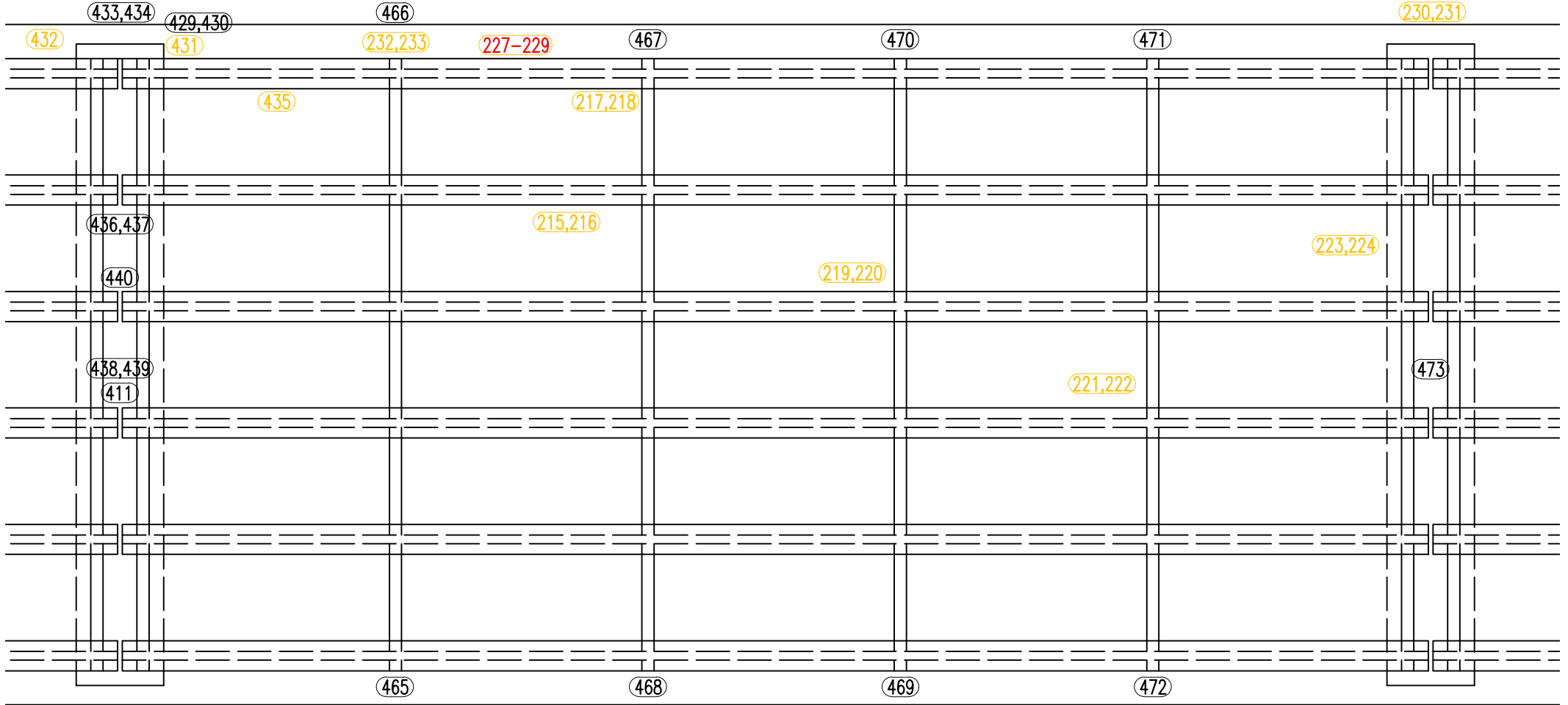
NC CITYPARK

LEVÁ STRANA

PODPĚRA P2

POLE 2

PODPĚRA P3



LEGENDA:

- (XXX) POHLED
- (XXX) TRHLINA
- (XXX) VÝLUHY
- (XXX) TRHLINA S VÝLUHY
- (XXX) ODSEPAROVANÉ KRYTÍ

(XXX) ODSEPAROVANÉ KRYTÍ S VÝLUHY

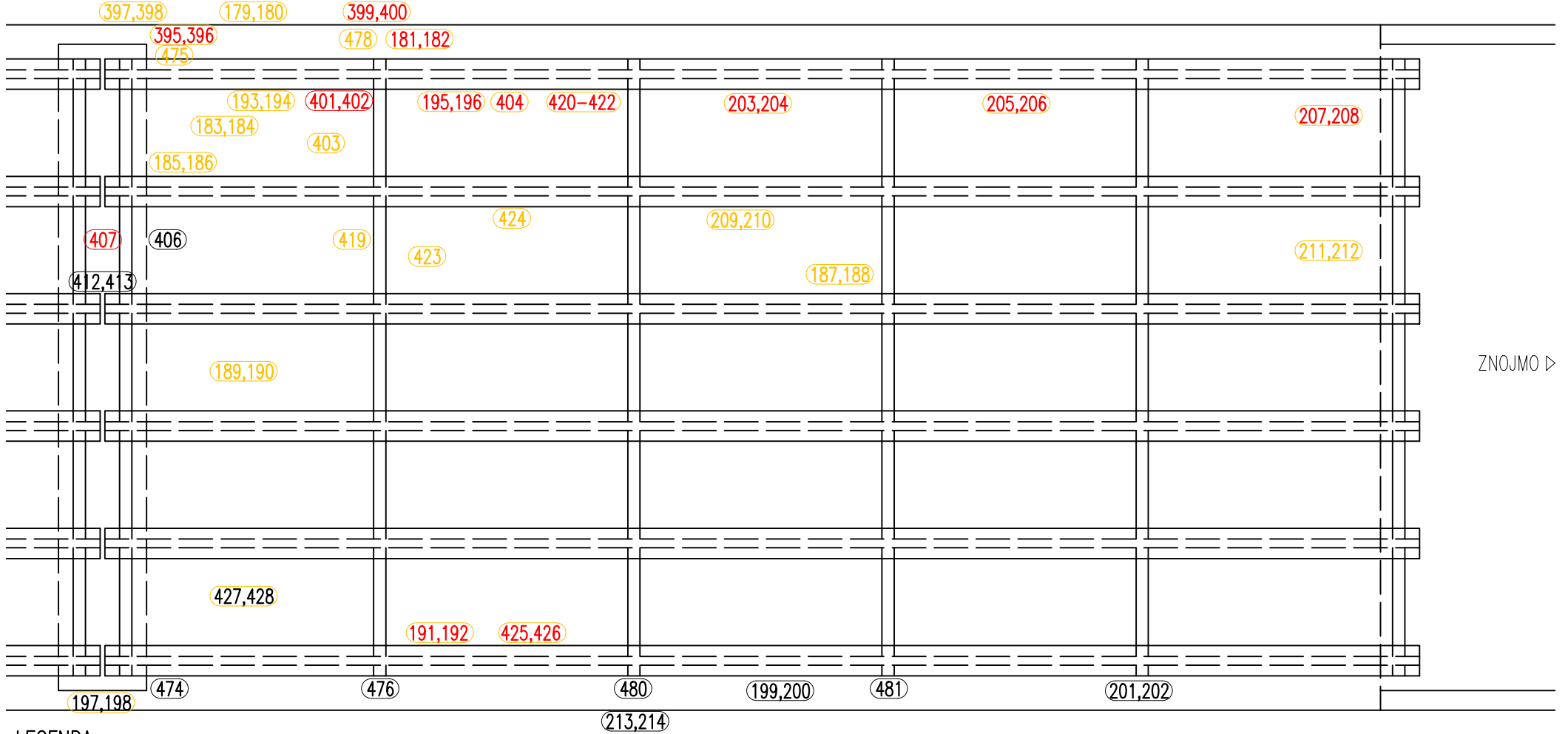
PRAVÁ STRANA

NC CITYPARK

PODPĚRA P3

POLE 3

OPĚRA 04



ZNOJMO ▷

LEGENDA:

- (XXX) POHLED
- (XXX) TRHLINA
- (XXX) VÝLUHY
- (XXX) TRHLINA S VÝLUHY
- (XXX) ODSEPAROVANÉ KRYTÍ
- (XXX) ODSEPAROVANÉ KRYTÍ S VÝLUHY

Most 523-000a

Most přes Koželužský potok ve městě Jihlava

MIMOŘÁDNÁ PROHLÍDKA

Objekt: Most ev.č. 523-000a (Most přes Koželužský potok ve městě Jihlava)

Okres: Jihlava

Prohlídku provedl: Tkadleček Petr, Ing.

Inset s.r.o.

Datum provedení prohlídky: 3.4.2024

Poznámka:

Prohlídku provedl Ing. Petr Tkadleček (držitel Oprávnění č. 262/2021), zaměstnanec firmy INSET s.r.o. ve spolupráci s Ing. Janem Halounem. Prohlídka byla provedena v rámci diagnostického průzkumu nosné konstrukce a je zaměřena pouze na stav NK. Součástí diagnostického průzkumu byl i přepočítání zatížitelnosti. Terénní práce probíhaly od 3.4. do 10.4. 2024. Objednatel průzkumu je Kraj Vysočina, zástupce pro věci technické Ing. Irena Šedová. Prohlídka i diagnostika konzultovány též se zástupci KSÚSV p.o. Jihlava, zástupce Ing. Jan Matoušek. Výstupy z průzkumu včetně statického výpočtu předány objednateli. Staničení je v prohlídce uvažováno stejně jako při průzkumu z centra Jihlavy na Znojmo. Vychází z nákresů v ML a z průzkumu SS z roku 2023. POZOR - v předchozích prohlídkách uvažován směr staničení opačný!

Počasí v době provádění prohlídky:

polojasno

Způsob zpřístupnění:

Veškeré práce na prohlídce i diagnostickém průzkumu NK provedeny z montážní plošiny.

Teplota vzduchu: 10.0°C

Teplota NK:

A. ZÁKLADNÍ ÚDAJE

Číslo komunikace: 523

Staničení km: 2.147km

Ev.č.mostu: 523-000a

Název objektu: **Most přes Koželužský potok ve městě Jihlava**

Staničení ve směru: centrum Jihlavy - Znojmo

B. POPIS ČÁSTÍ MOSTU**1. Spodní stavba**

- | | | | |
|-------|-----|-----------------------------------|--|
| [1.1] | 1.1 | Základy mostních podpěr a křídel | Most o 3 polích je založen plošně. |
| [1.2] | 1.2 | Mostní podpěry křídla a čelní zdi | Spodní stavba mostu je železobetonová, krajní opěry jsou doplněny kamenným obkladem. Opěra OP1 má křídla rovnoběžná, opěra OP4 svahová. Mezilehlé pilíře jsou plnostěnné, kónické, na návodní i povodní hraně obložené kamenem. Úložné prahy byly vybetonovány samostatně. |

2. Nosná konstrukce mostu (horní stavba)

- | | | | |
|-------|-----|------------------|---|
| [2.1] | 2.1 | Nosná konstrukce | Nosná konstrukce je vyskládána z předpjatých betonových nosníků I (Baraba). Nosníky jsou vzájemně provázány příčnickami - každý z nich má monolitickou dobetonávku a zárodky příčnicků jsou součástmi jednotlivých prefabrikovaných dílců. Nosná konstrukce má 3 prostá pole. |
| [2.2] | 2.2 | Ložiska, klouby | Každý z trámů je uložen na litinové ložisko. Na opěře OP4 (Znojemská) jsou osazena pohyblivá ložiska, na pilíři P3 pevná ložiska, na pilíři P2 pohyblivá ložiska a na opěře OP1 (Jihlavská) pevná ložiska. |

[2.3] 2.3 Mostní závěry Závěry jsou povrchové, ocelové s jednoduchým těsněním dilatační spáry u všech 4 podpěr.

3. svršek

[3.1] 3.1 Vozovka Vozovka na mostě je živičná - v jednostranném sklonu v mírném směrovém oblouku.

[3.2] 3.2 Chodníky Chodníky jsou betonové s povrchem z epoxidové pryskyřice, ukončené kamennými obrubníky.

[3.3] 3.3 Římsy, obrubníky, zálivky Římsy na mostě jsou železobetonové monolitické s žulovou obrubou.

[3.4] 3.5 Izolační systém NK Na mostě je vanová izolace.

4. Vybavení

[4.1] 4.8 Odvodnění Odvodnění vozovky zajišťují 4 ks odvodňovačů, odvodnění izolace je řešeno běžnými odvodňovacími trubičkami. Původní odvodnění mostu bylo zaslepeno při opravě mostu.

[4.2] 4.2 Zábradlí Zábradlí je betonové, masivní, nadstavené ocelovým madlem.

[4.3] 4.3 Dopravní značení, označení objektu Tabulky s evidenčním číslem mostu jsou osazeny po obou stranách mostu. Na obou stranách mostu je osazeno dopravní značení, zamezující vjezd na most vozidlům s hmotností větší než 12 t.

[4.4] 4.6 Území pod mostem a přístup cesty Pod mostem ve 3. poli teče Koželužský potok v upraveném dlážděném korytě, souběžně s ním cyklostezka. Pod mostem ve 2. poli je situována místní komunikace, využívaná pro parkování aut a pod mostem v 1. poli zůstává volné prostranství. V těsném sousedství mostu na pravé straně je vystavěn City Park.

[4.5] 4.7 Cizí zařízení Na mostě jsou stožáry veřejného osvětlení a trolejové vedení.

C. STAV A ZÁVADY ČÁSTÍ MOSTU

1. Spodní stavba

[1.1] 1.2 Mostní podpěry křídla a čelní zdi SS nebyla součástí průzkumu.

2. Nosná konstrukce mostu (horní stavba)

[2.1] 2.1 Nosná konstrukce U levých dvou krajních nosníků četný výskyt trhlin s výkvěty kopírující dráhu předpětí. Stav obdobný jako při loňské prohlídce. V daných místech byly provedeny sondy k předpínací výtuzi.

V rámci diagnostického průzkumu zjištěna koroze předpínací výztuže. Celkem provedeno 23 sond. U šesti sond předpětí s korozním úbytkem až 50 %, část drátů volných, chybějící injektáž, dráty mokré. U dalších 3 sond část drátů korozi zcela strávená. U zbývajících sond byla injektáž, v některých případech však injektát vlhký. 5 sond provedeno k příčnému předpětí - z toho u 3 sond zjištěna silná koroze předpínací výztuže - příčné předpětí již pouze omezeně funkční.

Na obou koncích nosné konstrukce nad opěrou OP1 a opěrou OP4 byly zjištěny zbytky vyteklého betonu do dilatační spáry částečně omezující dilatační pohyby nosné konstrukce.

- [2.2] 2.2 Ložiska, klouby
Ložiska silně korodují. Stav ložisek obdobný jako u prohlídky v roce 2023. Krajiní nosníky provizorně podepřeny dřevěnými trámkami (dle opatření z poslední MPM).
- [2.3] 2.3 Mostní závěry
Mostní závěry jsou celkově značně zanesené, jinak jsou však celkově v dobrém stavu, při prohlídce povrchu závažné poruchy nezjištěny. Nicméně při prohlídce NK nad podpěrami **zjištěny stopy po zatékání, mostní závěry jsou tedy netěsné**. Problém bude nejspíše v napojení izolace na samotnou konstrukci mostního závěru. Nelze vyloučit ani poškození pryžového těsnicího profilu, vzhledem k usazeným nánosům nelze zkontrolovat.

3. svršek

- [3.1] 3.1 Vozovka
Vozovka značně nerovná - po celé délce mostu vyjeté koleje, výskyt trhlin, četné vysprávkování. V blízkosti mostních závěrů výskyt výtluků, některé již zapravené. Vzhledem k havarijnímu stavu krajiních ložisek vozovka vlevo zúžená pomocí provizorních svodidel typu Vario
- [3.2] 3.2 Chodníky
Povrch chodníků je mírně nerovný.
- [3.3] 3.3 Římsy, obrubníky, zálivky
Římsy zejména v oblasti mostních závěrů povrchově degradují.
- [3.4] 3.5 Izolační systém NK
Izolační systém již pouze omezeně funkční. V levé (východní) části mostu dochází k průsakům vody na NK.

4. Vybavení

- [4.1] 4.8 Odvodnění
Svody odvodnění jsou v průchodu deskou mostovky netěsné, netěsnými svody zatéká na úložný práh podpěr. Ocelové svody místy korodují.
- [4.2] 4.2 Zábradlí
Betonové sloupky jsou místy porušeny svislými trhlinami, u některých sloupků jsou trhliny již široce otevřené.

D. HODNOCENÍ PÉČE O MOST, VÝKONU BĚŽNÝCH PROHLÍDEK, KVALITY

ÚDRŽBOVÝCH PRACÍ A PROVÁDĚNÝCH OPRAV, ZÁVADY MOSTNÍ EVIDENCE

Údržba se provádí v rozsahu možností správce. Mostní objekt je v takovém stavu, kdy provádění běžné údržby nemůže prodloužit jeho životnost, resp. zvýšit zatížitelnost. Most je nutno zásadně rekonstruovat bez jakékoliv prodlevy.

E. OPATŘENÍ NA ZKVALITNĚNÍ SPRÁVY MOSTU, NÁVRH NA ODSTRANĚNÍ ZJIŠTĚNÝCH ZÁVAD

6.periodicky

- | | | |
|---------|-----------------|---|
| [1] 2.2 | Ložiska, klouby | Stav ložisek sledovat v rámci běžných a hlavních prohlídek. Doporučujeme min. 1x ročně provést prohlídku ložisek i nosné konstrukce z montážní plošiny, kdy je zaručena prohlídka "na dosah ruky" |
|---------|-----------------|---|

5.odstranění nutno provést ihned

- | | | |
|---------|------------------|---|
| [2] 2.1 | Nosná konstrukce | Zahájit projekční práce na rekonstrukci mostu |
|---------|------------------|---|

2.odstranění nutno do 5 let

- | | | |
|---------|------------------|--|
| [3] 2.1 | Nosná konstrukce | S ohledem na zjištěný špatný stav předpínací výztuže doporučujeme provést výměnu nosné konstrukce mostu včetně výměny ložisek. |
|---------|------------------|--|

F. ZÁZNAM O PROJEDNÁNÍ OPATŘENÍ SE SPRÁVCEM MOSTU, STANOVENÍ DRUHU ÚDRŽBY A OPRAV, STANOVENÍ ZPŮSOBU A TERMÍNU ODSTRANĚNÍ ZÁVAD, PŘÍPADNÉ NAŘÍZENÍ ZATĚŽOVACÍ ZKOUŠKY, STANOVENÍ PŘEDBĚŽNÉ CENY PRACÍ

Datum projednání: 18.6.2024

Číslo jednací:

Poznámka:

Výstupy z diagnostiky a prohlídky mostu byly projednány se zástupci Objednatele průzkumu - Kraj Vysočina. Jednání se účastnili Ing. Irena Šedová a Ing. Stanislav Juránek.

G. ROZHODNUTÍ O ZMĚNĚ ZATÍŽITELNOSTI A KLASIFIKAČNÍHO STUPNĚ STAVU NOSNÉ KONSTRUKCE A SPODNÍ STAVBY MOSTU

Stavební stav

Spodní stavba

Stavební stav:

III - Dobrý (koefic. $a=1.0$)

Nosná konstrukce

Stavební stav:

VII - Havarijní (koefic. $a=0.2$)

Zatížitelnost

Způsob zjištění zatížitelnosti:

V – CZEN (Zatížitelnost stanovená podrobným statickým výpočtem)

$V_n = 23.0t$

$V_r = 37t$

$V_e = 137t$

Max nápravný tlak =

Použitelnost: IV - Omezeně použitelné

ΠΙΝΑΚΑΣ ΠΑΡΑΓΩΓΗΣ

Poznámka ke stavu a použitelnosti

Stav mostu je VII - Havarijní z důvodu havarijního stavu krajních ložisek. Stav zbývajících ložisek a nosné konstrukce je velmi špatný. S ohledem na realizovaná opatření (omezení provozu, podepření krajních ložisek dřevěnými podkladky) je možno zatím provoz na mostě zachovat ve stávajícím režimu.

Poznámka k zatížitelnosti

Zatížitelnost je stanovena podrobným statickým výpočtem se zohledněním výsledků diagnostického průzkumu. Zatížitelnost je stanovena z únosnosti nosníků a ve statickém výpočtu již byly zahrnuty poruchy předpětí. Proto již hodnoty zatížitelnosti nebudou dále redukovány součinitelem alfa. Je třeba zdůraznit, že daný výpočet platí pro stavebně-technický stav mostu k dubnu 2024, kdy byl proveden diagnostický průzkum mostu. Vzhledem ke zjištěným skutečnostem (koroze předpětí, chloridové ionty v kanálcích, nedostatečný či chybějící injektát v části kanálků) lze však předpokládat, že stavebně-technický stav mostu se bude postupně zhoršovat (pokračující koroze předpínací výztuže). Vývoj koroze předpínací výztuže v této fázi může být progresivní a může tak během relativně krátké doby (např. 5 let) dojít k dalšímu výraznému snížení zatížitelnosti. Proto doporučujeme na stranu bezpečnou ponechat do doby rekonstrukce mostu stávající dopravní značení, které zamezuje vjezd na most všem vozidlům s hmotností větší než 12 t.

Stanovený termín další hlavní prohlídky: 2026

V souladu s článkem 5.3.1 ČSN 73 6221 - Prohlídky mostů pozemních komunikací, případně první hlavní prohlídku po provedení rekonstrukce mostu.

J. OBRAZOVÉ PŘÍLOHY



Pohled na most zprava



Most po směru staničení



Most proti směru staničení



Podhled NK v poli 1 - pohled k O1



Podhled NK v poli 1 - pohled k P2



Levý krajní nosník v 1. poli poblíž P2

2.1 Nosná konstrukce

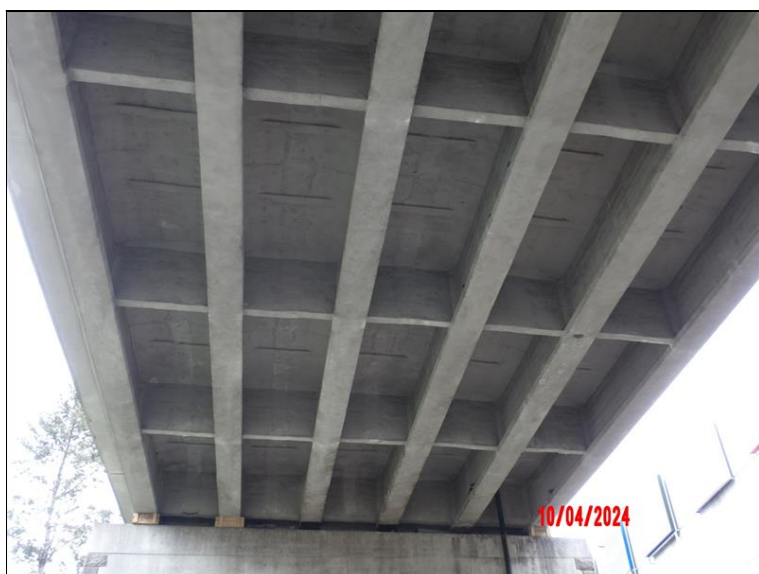
U levých dvou krajních nosníků četný výskyt trhlin s výkvěty kopírující dráhu předpětí. Stav obdobný jako při ložské prohlídce. V daných místech byly provedeny sondy k předpinací výtuzi.



Podhled NK v 1. poli u pilře P2



Podhled NK ve 2. poli - pohled k P3



Podhled NK ve 2. poli - pohled k P2



Dolní příruba levého krajního nosníku v poli 2.
Po odstranění krycí vrstvy zde zjištěna silná
korozí předpínací výztuže.



3. příčník v poli 2 u levého krajního trámu. Po
odstranění krycí vrstvy zjištěna korozí příčné
předpínací výztuže.



Podhled NK ve 2. poli - 2. trám zleva. Na
podhledu trámu trhliny kopírující průběh
předpětí.



Podhled NK ve 3. poli - pohled k O4



Podhled NK ve 3. poli - pohled k P3



Levý krajní trám v poli 3 poblíž P3. Trhliny kopírující průběh předpětí.

2.1 Nosná konstrukce

U levých dvou krajních nosníků četný výskyt trhlin s výkvěty kopírující dráhu předpětí. Stav obdobný jako při ložské prohlídce. V daných místech byly provedeny sondy k předpínací výztuži.



Levý krajní trám v poli 3 mezi 2. a 3. příčným.
Trhliny kopírující průběh předpětí.

2.1 Nosná konstrukce

U levých dvou krajních nosníků četný výskyt trhlin s výkvěty kopírující dráhu předpětí. Stav obdobný jako při ložské prohlídce. V daných místech byly provedeny sondy k předpínací výztuži.



Pravý krajní trám ve 3. poli - trhliny kopírující průběh předpětí

2.1 Nosná konstrukce

U levých dvou krajních nosníků četný výskyt trhlin s výkvěty kopírující dráhu předpětí. Stav obdobný jako při ložské prohlídce. V daných místech byly provedeny sondy k předpínací výztuži.



Sonda k předpětí P1

2.1 Nosná konstrukce

V rámci diagnostického průzkumu zjištěna koroze předpínací výztuže. Celkem provedeno 23 sond. U šesti sond předpětí s korozním úbytkem až 50 %, část drátů volných, chybějící injektáž, dráty mokré. U dalších 3 sond část drátů korozi zcela strávená. U zbývajících sond byla injektáž, v některých případech však injektát vlhký. 5 sond provedeno k příčnému předpětí - z toho u 3 sond zjištěna silná koroze předpínací výztuže - příčné předpětí již pouze omezeně funkční.



Sonda k předpětí P2

2.1 Nosná konstrukce

V rámci diagnostického průzkumu zjištěna koroze předpínací výztuže. Celkem provedeno 23 sond. U šesti sond předpětí s korozním úbytkem až 50 %, část drátů volných, chybějící injektáž, dráty mokré. U dalších 3 sond část drátů korozi zcela strávená. U zbývajících sond byla injektáž, v některých případech však injektát vlhký. 5 sond provedeno k příčnému předpětí - z toho u 3 sond zjištěna silná koroze předpínací výztuže - příčné předpětí již pouze omezeně funkční.



Sonda k předpětí P3

2.1 Nosná konstrukce

V rámci diagnostického průzkumu zjištěna koroze předpínací výztuže. Celkem provedeno 23 sond. U šesti sond předpětí s korozním úbytkem až 50 %, část drátů volných, chybějící injektáž, dráty mokré. U dalších 3 sond část drátů korozi zcela strávená. U zbývajících sond byla injektáž, v některých případech však injektát vlhký. 5 sond provedeno k příčnému předpětí - z toho u 3 sond zjištěna silná koroze předpínací výztuže - příčné předpětí již pouze omezeně funkční.



Sonda k předpětí P7

2.1 Nosná konstrukce

V rámci diagnostického průzkumu zjištěna koroze předpínací výztuže. Celkem provedeno 23 sond. U šesti sond předpětí s korozním úbytkem až 50 %, část drátů volných, chybějící injektáž, dráty mokré. U dalších 3 sond část drátů korozi zcela strávená. U zbývajících sond byla injektáž, v některých případech však injektát vlhký. 5 sond provedeno k příčnému předpětí - z toho u 3 sond zjištěna silná koroze předpínací výztuže - příčné předpětí již pouze omezeně funkční.



Sonda k předpětí P10

2.1 Nosná konstrukce

V rámci diagnostického průzkumu zjištěna korozní předpínací výztuže. Celkem provedeno 23 sond. U šesti sond předpětí s korozním úbytkem až 50 %, část drátů volných, chybějící injektáž, dráty mokré. U dalších 3 sond část drátů korozí zcela stravená. U zbývajících sond byla injektáž, v některých případech však injektát vlhký. 5 sond provedeno k příčnému předpětí - z toho u 3 sond zjištěna silná korozní předpínací výztuže - příčné předpětí již pouze omezeně funkční.



Sonda k předpětí P13

2.1 Nosná konstrukce

V rámci diagnostického průzkumu zjištěna korozní předpínací výztuže. Celkem provedeno 23 sond. U šesti sond předpětí s korozním úbytkem až 50 %, část drátů volných, chybějící injektáž, dráty mokré. U dalších 3 sond část drátů korozí zcela stravená. U zbývajících sond byla injektáž, v některých případech však injektát vlhký. 5 sond provedeno k příčnému předpětí - z toho u 3 sond zjištěna silná korozní předpínací výztuže - příčné předpětí již pouze omezeně funkční.



Provizorně podepřená ložiska na pilíři P2 vlevo

2.2 Ložiska, klouby


Ložiska silně korodují. Stav ložisek obdobný jako u prohlídky v roce 2023. Krajní nosníky provizorně podepřeny dřevěnými trámky (dle opatření z poslední MPM).



Most proti směru staničení - dopravní značení, které zamezuje vjezd na most vozidlům s hmotností větší než 12 t.



Most po směru staničení - dopravní značení, které zamezuje vjezd na most vozidlům s hmotností větší než 12 t.

| DRUH | PROTOKOL Z HLAVNÍ PROHLÍDKY MZ | |  |
|---|---|--|--|
| 4 | MZ S JEDNODUCHÝM TĚSNĚNÍM SPÁRY NOSING EXPANSION JOINT | | ev. č. 523-000a |
| 1.1 Typ Mostní závěr s jednoduchým těsněním spáry (MZ-D80, 3W-80J) | | | |
| 1.2 Tvar přímý, kolmý | | | |
| 2. Výrobce - | | | |
| 3. Evidenční číslo výrobku - | | | |
| 4. Číslo komunikace 523, ulice Znojemská | | | |
| 5. Typ nosné konstrukce NK o třech polích z předpjatých betonových nosníků tvaru T spřažené ŽB deskou, délka nosníků 26,9 m, 3 prostá pole, nosníky vzájemně spojeny ŽB příčníky - NK tvoří ŽB rošt | | | |
| 6. Poloha MZ na mostní konstrukci, včetně krabic roznášecího mechanismu Opěra O1 (Jihlavská) | | | |
| 7. Majetkový správce mostu, organizace pověřená údržbou: Kraj Vysočina, Krajská správa a údržba silnic Vysočiny, KSÚSV Jihlava, cestmistrovství Jihlava | | | |
| 8. Popis funkce MZ u opěry V dilataci vyhřezlý beton | | | |
| 9. Šířka mezery mezi nosnou konstrukcí a závěrnou zídka 30-40 mm | | | |
| 10. Stav údržby Zanesený, ojetá PKO. | | | |
| 11. Stav vozovky Výtluky, nerovnosti, trhliny | | | |
| 12. Hlučnost MZ Zmírně zvýšená, pomalý průjezd. | | | |
| 13. Znamky poruch prvků Počínající koroze lamel. | | | |
| 14. Vodotěsnost MZ Netěsný - stopy zamáčení na SS. | | | |
| 15. Stav kabelových chrániček - | | | |
| 16. Teplota při prohlídce, počasí Zataženo, 12 °C | | | |
| 17. Opravy během životnosti, stav - | | | |
| 18. Stav krajových a mezilehlých profilů, koroze prvků Koroze u krajnice. | | | |
| 19. Měření rozevření mezi hlavami lamel a krajovým profilem Levý pruh 24 mm, střední 23 mm, pravý 25 mm | | | |
| 20. Stav krycích plechů chodníku - | | | |
| 21. Pokyny pro opravu, zjištěné vady bránící provozu - | | | |
| 22. Existují doklady o MZ u správce mostu, uveď jaké - | | | |
| 23. Stav těsnících zálivek podél krajních profilů V pořádku. | | | |



MZ1 - pohled zprava



MZ1 - detail vysrávek



Protokol měření nerovnosti vozovky

dle ČSN 73 6175 čl. 8 - Měření podélné nerovnosti povrchu vozovky latí

Most: 523-000a

Závěr: nad O1

Správce: KSÚSV Jihlava

Datum: 10. 4. 2024

Teplota: 12 °C

Prohlídku provedl: Tkadleček, Haloun

Směr: Znojmo

Počasí: zataženo

Druh vrstvy: živičná



| Měření: | Levý pruh | | Střední (odbočovací) pruh | | Pravý pruh | |
|--------------------|------------|-------------|---------------------------|-------------|-------------------|-------------|
| | Levá stopa | Pravá stopa | Levá stopa | Pravá stopa | Levá stopa | Pravá stopa |
| Lamela Znojmo | 0 | 0 | 0 | 0 | 0 | 0 |
| Lamela Jihlava | 0 | 0 | 0 | 0 | 0 | 0 |
| Další nerovnosti: | | | | | 5 mm u obou lamel | |
| | | | | | Znojmo 20 (0,5 m) | |
| | | | | | Jihlava 60 (2 m) | |
| Rozevřenost lamel: | 24 | | 23 | | 25 | |

Foto: 491-495; 521, 522

Vzdálenost NK-ZZ: 30-40 mm


Hlučnost: zvýšená hlučnost přejezdu závěru - původcem hluku nejsou ocelové lamely, ale příčné spáry asfaltové vysprávký cca 0,5 m od lamel na obě strany

Poznámky:

Pokud není uvedeno jinak, tak jsou všechny uvedné hodnoty v mm

Měření deformací pod 4 m dlouhou latí dle ČSN 73 6175 čl. 8

Další nerovnosti - měřeno pod latí v okolí MZ v místě největší mezery mezi latí a povrchem vozovky
v závorce za naměřenou hodnotou uvedena vzdálenost v m od osy MZ

| DRUH | PROTOKOL Z HLAVNÍ PROHLÍDKY MZ | |  |
|---|---------------------------------|--|--|
| 4 | MZ S JEDNODUCHÝM TĚSNĚNÍM SPÁRY | | ev. č. 523-000a |
| | NOSING EXPANSION JOINT | | |
| 1.1 Typ Mostní závěr s jednoduchým těsněním spáry (MZ-D80, 3W-80J) | | | |
| 1.2 Tvar ve vozovce přímý, kolmý, v chodníku zalomený | | | |
| 2. Výrobce - | | | |
| 3. Evidenční číslo výrobku - | | | |
| 4. Číslo komunikace 523, ulice Znojemská | | | |
| 5. Typ nosné konstrukce NK o třech polích z předpjatých betonových nosníků tvaru T spřažené ŽB deskou, délka nosníků 26,9 m, 3 prostá pole, nosníky vzájemně spojeny ŽB příčníky - NK tvoří ŽB rošt | | | |
| 6. Poloha MZ na mostní konstrukci, včetně krabic roznášecího mechanismu Pilíř P2 | | | |
| 7. Majetkový správce mostu, organizace pověřená údržbou: Kraj Vysočina, Krajská správa a údržba silnic Vysočiny, KSÚSV Jihlava, cestmistrovství Jihlava | | | |
| 8. Popis funkce MZ u opěry Bez omezení. | | | |
| 9. Šířka mezery mezi nosníky 40-45 mm | | | |
| 10. Stav údržby Zanesený, ojetá PKO. | | | |
| 11. Stav vozovky Výtluky, nerovnosti, trhliny | | | |
| 12. Hlučnost MZ Zmírně zvýšená, pomalý průjezd. | | | |
| 13. Znamky poruch prvků Nejsou. | | | |
| 14. Vodotěsnost MZ Netěsný - stopy zamáčení na SS. | | | |
| 15. Stav kabelových chrániček - | | | |
| 16. Teplota při prohlídce, počasí Zataženo, 12 °C | | | |
| 17. Opravy během životnosti, stav - | | | |
| 18. Stav krajových a mezilehlých profilů, koroze prvků Mírná koroze lamel u krajnic. | | | |
| 19. Měření rozevření mezi hlavami lamel a krajovým profilem Levý pruh 31 mm, střední 28 mm, pravý 32 mm | | | |
| 20. Stav krycích plechů chodníku - | | | |
| 21. Pokyny pro opravu, zjištěné vady bránící provozu - | | | |
| 22. Existují doklady o MZ u správce mostu, uveď jaké - | | | |
| 23. Stav těsnících zálivek podél krajních profilů | | | |



MZ2 - pohled zprava



Protokol měření nerovnosti vozovky

dle ČSN 73 6175 čl. 8 - Měření podélné nerovnosti povrchu vozovky latí

Most: 523-000a

Závěr: nad P2

Správce: KSÚSV Jihlava

Datum: 10. 4. 2024

Teplota: 12 °C

Prohlídku provedl: Tkadleček, Haloun

Směr: Znojmo

Počasí: zataženo

Druh vrstvy: živičná



| Měření: | Levý pruh | | Střední (odbočovací) pruh | | Pravý pruh | |
|--------------------|------------|-------------|---------------------------|-------------|------------|-------------|
| | Levá stopa | Pravá stopa | Levá stopa | Pravá stopa | Levá stopa | Pravá stopa |
| Lamela Znojmo | 0 | 0 | 0 | 0 | 6 | 4 |
| Lamela Jihlava | 0 | 0 | 0 | 0 | 4 | 2 |
| Další nerovnosti: | | | | | | |
| | | | | | | |
| Rozevřenost lamel: | 31 | | 28 | | 32 | |

Foto: 496-500; 519, 520

Vzdálenost NK-ZZ: 40-45 mm


Hlučnost: zvýšená hlučnost přejezdu závěru - původcem hluku nejsou ocelové lamely, ale příčné spáry asfaltové vysprávký cca 0,5 m od lamel na obě strany

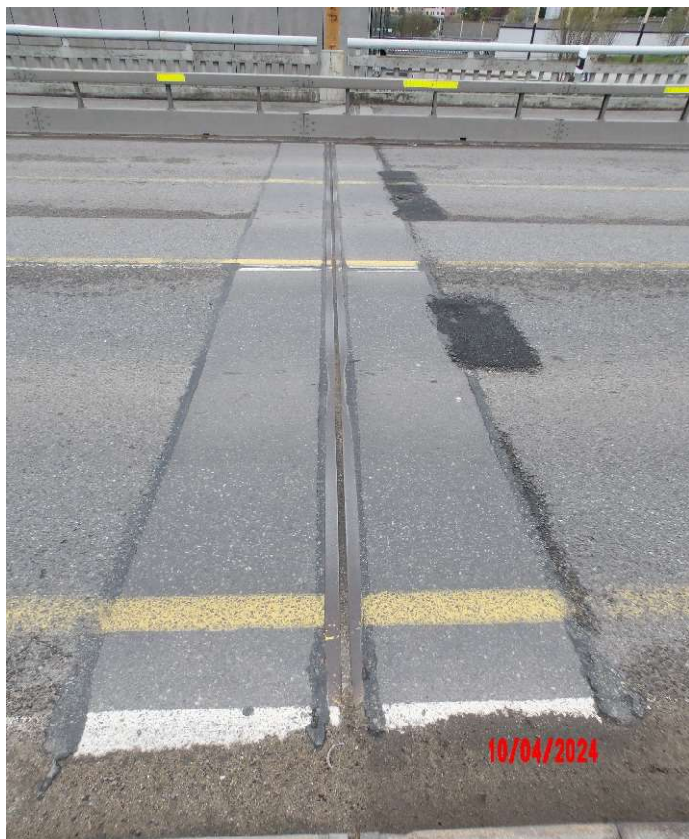
Poznámky:

Pokud není uvedeno jinak, tak jsou všechny uvedné hodnoty v mm

Měření deformací pod 4 m dlouhou latí dle ČSN 73 6175 čl. 8

Další nerovnosti - měřeno pod latí v okolí MZ v místě největší mezery mezi latí a povrchem vozovky v závorce za naměřenou hodnotou uvedena vzdálenost v m od osy MZ

| DRUH | PROTOKOL Z HLAVNÍ PROHLÍDKY MZ | |  |
|---|---------------------------------|--|--|
| 4 | MZ S JEDNODUCHÝM TĚSNĚNÍM SPÁRY | | ev. č. 523-000a |
| | NOSING EXPANSION JOINT | | |
| 1.1 Typ Mostní závěr s jednoduchým těsněním spáry (MZ-D80, 3W-80J) | | | |
| 1.2 Tvar ve vozovce přímý, kolmý, v chodníku zalomený | | | |
| 2. Výrobce - | | | |
| 3. Evidenční číslo výrobku - | | | |
| 4. Číslo komunikace 523, ulice Znojemská | | | |
| 5. Typ nosné konstrukce NK o třech polích z předpjatých betonových nosníků tvaru T spřažené ŽB deskou, délka nosníků 26,9 m, 3 prostá pole, nosníky vzájemně spojeny ŽB příčníky - NK tvoří ŽB rošt | | | |
| 6. Poloha MZ na mostní konstrukci, včetně krabic roznášecího mechanismu Pilíř P3 | | | |
| 7. Majetkový správce mostu, organizace pověřená údržbou: Kraj Vysočina, Krajská správa a údržba silnic Vysočiny, KSÚSV Jihlava, cestmistrovství Jihlava | | | |
| 8. Popis funkce MZ u opěry Bez omezení. | | | |
| 9. Šířka mezery mezi nosnou konstrukcí a závěrnou zídou 40 mm. | | | |
| 10. Stav údržby Zanesený. | | | |
| 11. Stav vozovky Výtluky, nerovnosti, trhliny | | | |
| 12. Hlučnost MZ Mírně zvýšená. | | | |
| 13. Znamky poruch prvků - | | | |
| 14. Vodotěsnost MZ Netěsný - stopy zamáčení na SS. | | | |
| 15. Stav kabelových chrániček - | | | |
| 16. Teplota při prohlídce, počasí Zataženo, 12 °C | | | |
| 17. Opravy během životnosti, stav - | | | |
| 18. Stav krajových a mezilehlých profilů, koroze prvků Koroze lamel u krajnice. | | | |
| 19. Měření rozevření mezi hlavami lamel a krajovým profilem Levý pruh 24 mm, střední 25 mm, pravý 26 mm | | | |
| 20. Stav krycích plechů chodníku - | | | |
| 21. Pokyny pro opravu, zjištěné vady bránící provozu - | | | |
| 22. Existují doklady o MZ u správce mostu, uveď jaké - | | | |
| 23. Stav těsnících zálivek podél krajních profilů | | | |



MZ3 - pohled zprava



MZ3 - detail vysprávek



Protokol měření nerovnosti vozovky

dle ČSN 73 6175 čl. 8 - Měření podélné nerovnosti povrchu vozovky latí

Most: 523-000a

Závěr: nad P3

Správce: KSÚSV Jihlava

Datum: 10. 4. 2024

Teplota: 12 °C

Prohlídku provedl: Tkadleček, Haloun

Směr: Znojmo

Počasí: zataženo

Druh vrstvy: živičná



| Měření: | Levý pruh | | Střední (odbočovací) pruh | | Pravý pruh | |
|--------------------|------------|-------------|---------------------------|-------------|------------|-------------|
| | Levá stopa | Pravá stopa | Levá stopa | Pravá stopa | Levá stopa | Pravá stopa |
| Lamela Znojmo | 0 | 0 | 0 | 0 | 5 | 4 |
| Lamela Jihlava | 0 | 0 | 0 | 0 | 5 | 5 |
| Další nerovnosti: | | | | | | |
| | | | | | | |
| Rozevřenost lamel: | 24 | | 25 | | 26 | |

Foto: 501-506; 517, 518

Vzdálenost NK-ZZ: 40 mm


Hlučnost: zvýšená hlučnost přejezdu závěru - původcem hluku nejsou ocelové lamely, ale příčné spáry asfaltové vysprávký cca 0,5 m od lamel na obě strany

Poznámky:

Pokud není uvedeno jinak, tak jsou všechny uvedné hodnoty v mm

Měření deformací pod 4 m dlouhou latí dle ČSN 73 6175 čl. 8

Další nerovnosti - měřeno pod latí v okolí MZ v místě největší mezery mezi latí a povrchem vozovky v závorce za naměřenou hodnotou uvedena vzdálenost v m od osy MZ

| DRUH | PROTOKOL Z HLAVNÍ PROHLÍDKY MZ | |  ev. č. 523-000a |
|---|---|--|---|
| 4 | MZ S JEDNODUCHÝM TĚSNĚNÍM SPÁRY NOSING EXPANSION JOINT | | |
| 1.1 Typ Mostní závěr s jednoduchým těsněním spáry (MZ-D80, 3W-80J) | | | |
| 1.2 Tvar přímý, kolmý | | | |
| 2. Výrobce - | | | |
| 3. Evidenční číslo výrobku - | | | |
| 4. Číslo komunikace 523, ulice Znojemská | | | |
| 5. Typ nosné konstrukce NK o třech polích z předpjatých betonových nosníků tvaru T spřažené ŽB deskou, délka nosníků 26,9 m, 3 prostá pole, nosníky vzájemně spojeny ŽB příčníky - NK tvoří ŽB rošt | | | |
| 6. Poloha MZ na mostní konstrukci, včetně krabic roznášecího mechanismu Opěra O4 (Znojemská) | | | |
| 7. Majetkový správce mostu, organizace pověřená údržbou: Kraj Vysočina, Krajská správa a údržba silnic Vysočiny, KSÚSV Jihlava, cestmistrovství Jihlava | | | |
| 8. Popis funkce MZ u opěry Bez omezení. | | | |
| 9. Šířka mezery mezi nosnou konstrukcí a závěrnou zídou Nepřístupné. | | | |
| 10. Stav údržby Zanesený. | | | |
| 11. Stav vozovky Výtluky, nerovnosti, trhliny | | | |
| 12. Hlučnost MZ Mírně zvýšená. | | | |
| 13. Znamky poruch prvků - | | | |
| 14. Vodotěsnost MZ Netěsný - stopy zamáčení na SS. | | | |
| 15. Stav kabelových chrániček - | | | |
| 16. Teplota při prohlídce, počasí Zataženo, 12 °C | | | |
| 17. Opravy během životnosti, stav - | | | |
| 18. Stav krajových a mezilehlých profilů, koroze prvků Koroze lamel u krajnice. | | | |
| 19. Měření rozevření mezi hlavami lamel a krajovým profilem Levý pruh 23 mm, střední 23 mm, pravý 24 mm | | | |
| 20. Stav krycích plechů chodníku - | | | |
| 21. Pokyny pro opravu, zjištěné vady bránící provozu - | | | |
| 22. Existují doklady o MZ u správce mostu, uveď jaké - | | | |
| 23. Stav těsnících zálivek podél krajních profilů | | | |



MZ4 - pohled zprava



MZ4 - detail vysprávek



Protokol měření nerovnosti vozovky

dle ČSN 73 6175 čl. 8 - Měření podélné nerovnosti povrchu vozovky latí

Most: 523-000a

Závěr: nad O4

Správce: KSÚSV Jihlava

Datum: 10. 4. 2024

Teplota: 12 °C

Prohlídku provedl: Tkadleček, Haloun

Směr: Znojmo

Počasí: zataženo

Druh vrstvy: živičná



| Měření: | Levý pruh | | Střední (odbočovací) pruh | | Pravý pruh | |
|--------------------|------------|-------------|---------------------------|-------------|------------|-------------|
| | Levá stopa | Pravá stopa | Levá stopa | Pravá stopa | Levá stopa | Pravá stopa |
| Lamela Znojmo | 2 | 2 | 0 | 2 | 8 | 5 |
| Lamela Jihlava | 2 | 0 | 0 | 0 | 6 | 4 |
| Další nerovnosti: | | | | | | |
| | | | | | | |
| | | | | | | |
| Rozevřenost lamel: | 23 | | 23 | | 24 | |

Foto: 507-516

Vzdálenost NK-ZZ: nepřístupné

Hlučnost: zvýšená hlučnost přejezdu závěru - původcem hluku nejsou ocelové lamely, ale příčné spáry asfaltové vysprávký cca 0,5 m od lamel na obě strany

Poznámky:

Pokud není uvedeno jinak, tak jsou všechny uvedné hodnoty v mm

Měření deformací pod 4 m dlouhou latí dle ČSN 73 6175 čl. 8

Další nerovnosti - měřeno pod latí v okolí MZ v místě největší mezery mezi latí a povrchem vozovky v závorce za naměřenou hodnotou uvedena vzdálenost v m od osy MZ





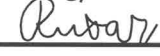
Název mostu: Most přes Koželužský potok ve městě Jihlava

Most ev.č.: 523-000a

Destruktivní sondy k předpětí

| Sonda | Injektáž | Krytí [mm] | Koroze drátů | Chránička | Místo sondy | Karbonátce [mm] |
|-------|----------------------------------|------------|---|---|--|-----------------|
| P1 | není | 70/75 | zhrublý povrch; dráty volné | ocelová; plná vody | N1 - pole 1; stojina cca v L/2, v místě trhliny s výluhy | 0 |
| P2 | ano, v sondě však vypadaná | -/30 | minimálně 5 drátů zcela překorodovaných, zbytek drátů s úbytkem -30 % | původně ocelová, nyní korozi zcela strávená | N1 - pole 1; spodní líc cca v L/2, místo s odseparovaným krytím a inkrustacemi | 20 |
| P3 | ano, v sondě však vypadaná | 30/35 | povrchová, bez úbytku | ocelová, povrchově korodovaná | N1 - pole 1; spodní líc cca v L/2, místo s odseparovaným krytím a inkrustacemi | 20 |
| P4 | ano, plná, injektáž zavlhlý | 40/45 | povrchová | ocelová | 3. příčník v poli 1 mezi N1/N2 v místě výluhů; prefabrikovaná část příčníku | 0-5 |
| P5 | není | 70/70 | hrubý povrch, dráty mokré | ocelová s povrchovou korozi | N1 - pole 1; pravý bok ve druhé pětina délky nosníku; místo s výluhy | 0 |
| P6 | ano, plná, injektáž zavlhlý | 75/75 | povrchová, bez úbytku | ocelová s povrchovou korozi | N1 - pole 1; pravý bok ve druhé pětina délky nosníku; místo s výluhy | 0 |
| P7 | není | 70/80 | zhrublý povrch, dráty mokré a volné | ocelová s povrchovou korozi | N1 - pole 1; pravý bok ve druhé pětina délky nosníku; místo s výluhy | 0 |
| P8 | ano, plná, injektáž zavlhlý | 80/85 | povrchová, bez úbytku | ocelová s povrchovou korozi | N1 - pole 1; levý bok ve druhé pětina délky nosníku; v místě trhliny s výluhy | 0-5 |
| P9 | částečná injektáž; suchá | 85/87 | povrchová, bez úbytku | ocelová s povrchovou korozi | N1 - pole 1; pravý bok v páté pětina; místo s trhlinou a výluhy | 0 |
| P10 | ano, v místě sondy však vypadaná | - | korozi zcela strávené | původně ocelová, nyní korozi zcela strávená | N1 - pole 1; horní povrch levé pásnice N1; v místě samovolně odseparovaného krytí | - |
| P11 | plná, suchá | 30/40 | bez koroze | ocelová s povrchovou korozi | N2 - pole 2; spodní líc ve druhé pětina délky nosníku; místo s trhlinou a výluhy; 3. kabel zleva | 0 |
| P12 | plná, suchá | 35/35 | bez koroze | ocelová s povrchovou korozi | N2 - pole 2; spodní líc pod třetím příčníkem; místo v trhlina s výluhy; 2. kabel zprava | 0 |
| P13 | plná, mokrá | 25/40 | hrubý povrch, oslabení <5 % | ocelová s povrchovou korozi | N2 - pole 2; spodní líc pod třetím příčníkem; místo v trhlina s výluhy; 1. kabel zleva | 0 |
| P14 | částečná injektáž, silně mokré | -/50 | úbytek <10 % | původně ocelová, nyní korozi zcela strávená | spodní líc 2. příčníku mezi N1/N2; pole 2; místo s trhlinou a výluhy | <5 |
| P15 | částečná injektáž; suchá | 50/50 | hrubý povrch | ocelová, bez koroze | spodní líc 2. příčníku mezi N1/N2; pole 2; místo s výluhy | <5 |
| P16 | není | 35/45 | hrubý povrch, dráty volné | ocelová, lokální koroze | N1 - pole 2; spodní líc pod druhým příčníkem; místo s trhlinou a výluhy; odhalen 2. kabel zleva | 0 |

| | | | | | | |
|-----|--------------------------------------|-------|--------------------------------|---|--|----------------------------------|
| P17 | není | -/50 | silná koroze, úbytek <50 % | původně ocelová, nyní koroze zcela strávená | třetí příčník v poli 2 mezi N1/N2; spodní líc; místo s výluhy | mokrý povrch znemožnil stanovení |
| P18 | není | -/50 | silná koroze, úbytek <30 % | původně ocelová, nyní koroze zcela strávená | třetí příčník v poli 2 mezi N1/N2; spodní líc; místo s výluhy | mokrý povrch znemožnil stanovení |
| P19 | zainjektováno, v sondě však rozpadlá | - | koroze zcela strávená | původně ocelová, nyní koroze zcela strávená | N1 - pole 2; levý horní povrch pásnice v druhé pětina délky nosníku | - |
| P20 | částečná injektáž; vlhko | 85/95 | korozní úbytek <5 % | ocelová s povrchovou koroze | N6 - pole 2; levý bok stojiny v L/2; místo s výluhy | 0 |
| P21 | plná; suchá | 90/95 | povrchová koroze; bez oslabení | ocelová s povrchovou koroze | N1 - pole 3; pravý bok v první pětina; místo s trhlinou a výluhy | 0 |
| P22 | plná; suchá | 55/60 | bez koroze | ocelová s povrchovou koroze | N1 - pole 3; pravý bok ve druhé pětina délky nosníku; místo s trhlinou a výluhy | 0 |
| P23 | plná; suchá | 60/70 | lokálně povrchová | ocelová s povrchovou koroze | N1 - pole 3; spodní líc ve druhé pětina délky nosníku; místo s výluhy; 3. kabel zprava | 0 |

| | | | | |
|-----------------------|--|--|--|---------------|
| HIP | Ing. Jaromír RUŠAR |  |  Majdalenky 19, 638 00 Brno Tel., fax: 545 222 037 E-mail: info@rusar.cz | |
| Zodpovědný projektant | Ing. Jaromír RUŠAR |  | | |
| Vypracoval | Ing. Jaromír RUŠAR |  | | |
| Kontroloval | Ing. Květoslav RUŠAR |  | | |
| Kraj: | Vysočina | | Datum | Červen 2024 |
| Investor: | Kraj Vysočina | | Formát | 56 A4 |
| Název akce: | II/523 Jihlava - most ev.č. 523-000a DIAGNOSTICKÝ PRŮZKUM A ZATÍŽITELNOST | | Měřítko | |
| Název objektu: | | | Účel | TP |
| Název výkresu: | STATICKÝ VÝPOČET ZATÍŽITELNOSTI | | Čís.zakáz. | 8-2024 |
| | | | Archivní čís. | 8-2024 |
| | | | Čís.soupravy | Čís. výkresu: |

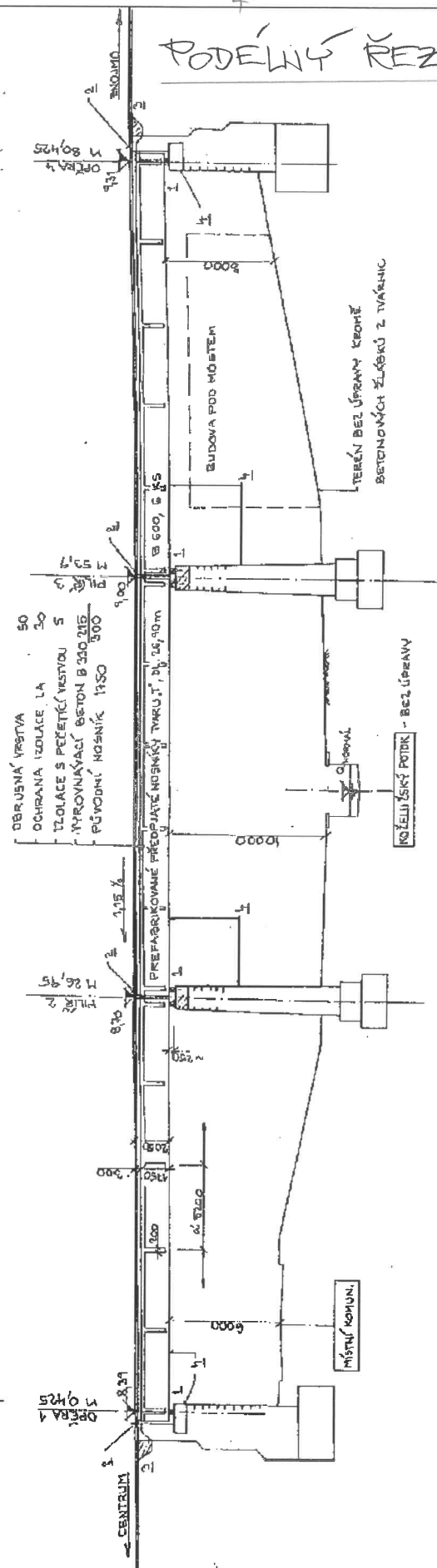
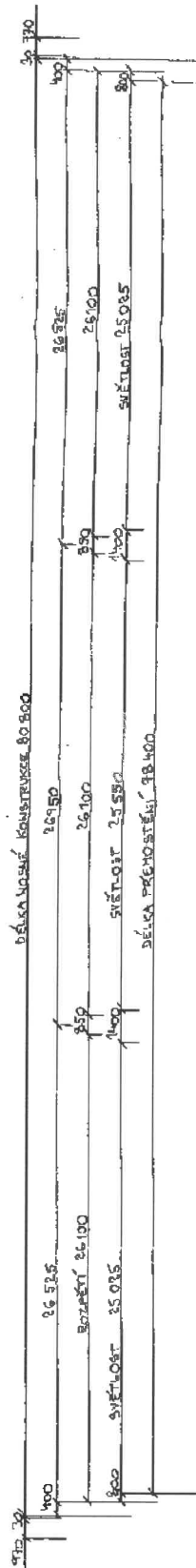
OBSAH

| | |
|---|-----------|
| - předpisy a literatura | 2 |
| - příčný řez | 3 |
| - podélný řez | 4 |
| - půdorys | 5 |
| - mostní list | 6 |
| - foto | 8 |
| - cíl statického výpočtu, mechanický model konstrukce | 11 |
| - průřezové charakteristiky | 12 |
| - výpočet vnitřních sil na nosníkovém modelu | 15 |
| - graf pro dynamický součinitel | 16 |
| - postavení vozidel zatížitelnosti v podélném a příčném směru | 18 |
| - výpočet vnitřních sil modelem rošt | 20 |
| - předpětí | 49 |
| - využitelné napětí, výpočet zatížitelnosti | 55 |
| - přehled výsledných hodnot zatížitelnosti | 56 |

PŘEDPISY A LITERATURA

- ČSN EN 1991-2 Zatížení konstrukcí – Část 2: Zatížení mostů dopravou
ČSN EN 1992-1 Navrhování betonových konstrukcí Část 1-1: Obecná pravidla
ČSN EN 1992-2 Navrhování betonových konstrukcí Část 2: Betonové mosty –
Navrhování a konstrukční zásady
ČSN EN 1993-1-2 Navrhování ocelových konstrukcí Část 2: Ocelové mosty
ČSN EN 1994-2 Navrhování spřažených ocelobetonových konstrukcí Část 2: Obecná
pravidla a pravidla pro mosty
ČSN EN 1995-2 Navrhování dřevěných konstrukcí Část 2: Mosty
ČSN EN 1996-1-1 Navrhování zděných konstrukcí Část 1-1 Obecná pravidla pro vyztužené a
nevyztužené zděné konstrukce
ČSN P 73 6213 Navrhování zděných mostních konstrukcí
ČSN EN 1997-1 Navrhování geotechnických konstrukcí Část 1- Obecná pravidla
- ČSN 73 6200 Mosty-terminologie a třídění
ČSN 73 6201 Projektování mostních objektů
ČSN 73 6220 Evidence mostů pozemních komunikací
ČSN 73 6221 Prohlídky mostů pozemních komunikací
ČSN 73 6222 Zatížitelnost mostů pozemních komunikací (červenec 2013)
ČSN ISO 13822 Zásady navrhování konstrukcí-Hodnocení existujících konstrukcí
(bývalá ČSN 73 0038)
ČSN EN 13 670 Provádění betonových konstrukcí
- Smith, Hendy - Designers' Guide to EN 1992-2, Design of Concrete Structures. Bridges
Murphy, Hendy - Designers' Guide to EN 1993-2, Design of Steel Structures. Bridges
Hendy, Johnson - Designers' Guide to EN 1994-2, Design of Composite Steel and Concrete
Structures. General rules and rules for Bridges
- Směrnice pro navrhování mostů z roku 1951
Novák, Hořejší – Statické tabulky pro stavební praxi
Janda, Kleisner, Zvara – Betonové mosty (celostátní učebnice)
Klimeš, Zůda – Betonové mosty (celostátní učebnice)
Bechyně: – Betonové stavitelství
– Stavitelství mostů kamenných a betonových
– Mosty trámové a rámové
– Mosty obloukové
- Mörsch – Der Eisenbetonbau, Die Brücken aus Eisenbeton
Sečkář – Betonové mosty (skriptum VUT)
Dopravoprojekt Bratislava – Typizační směrnice příslušenství mostů
Majdůch – pomůcka pro určování zatížitelnosti starších mostů
Procházka - skriptum Navrhování betonových konstrukcí – prvky z prostého a železového
betonu
Procházka a kol. – Sborník a Sběrka příkladů – Navrhování betonových konstrukcí podle norem
ČSN EN 1992
Hrdoušek a kol. – Sběrka příkladů a komentářů – Navrhování betonových mostů podle norem
ČSN EN 1992
- VL-4 – Vzorové listy - MOSTY

PODÉLNÝ REZ - NOVÝ STAV 1:250



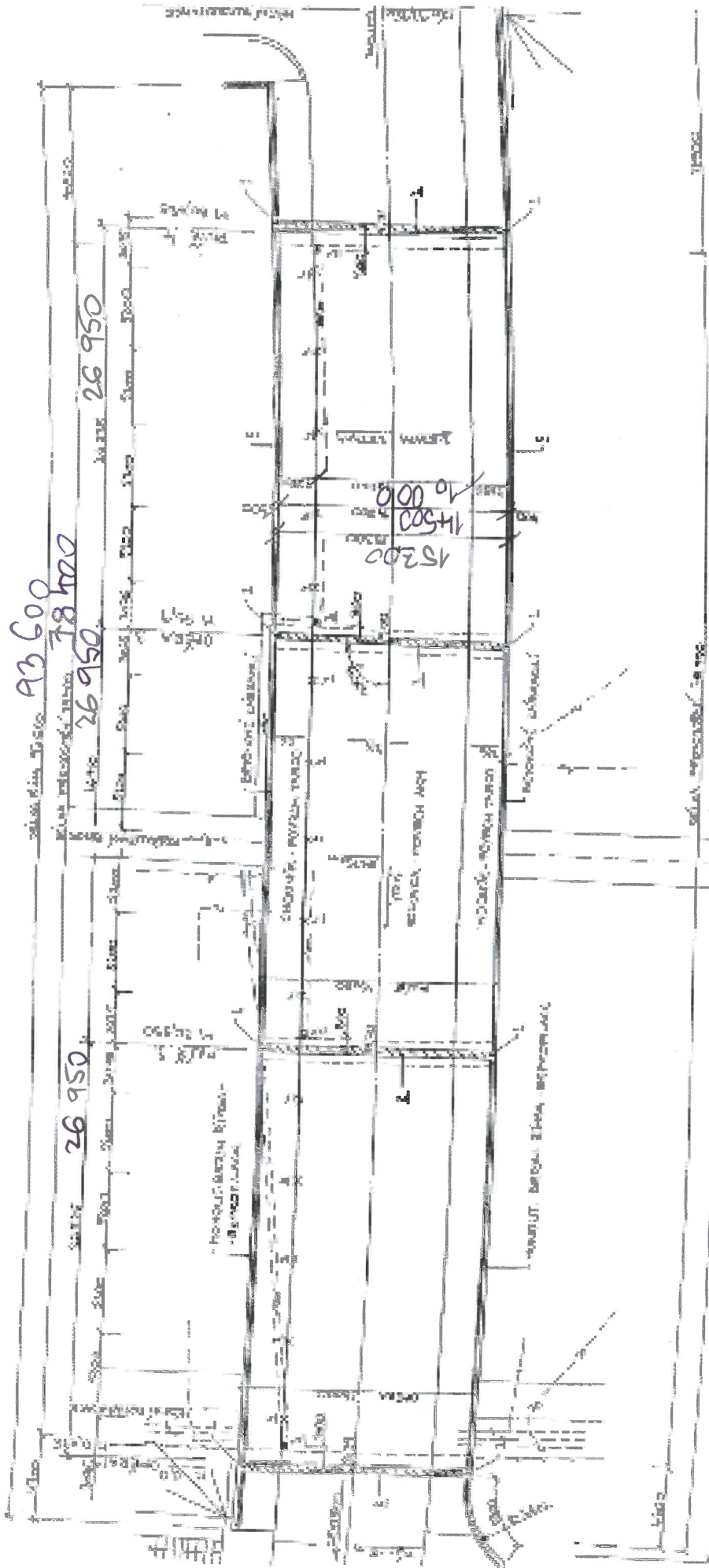
PODÉLNÝ REZ

- 1 - SVAŘOVANÁ LŮŽNICE Z KOLETIL L 1, OČIŠŤEŇA A NAKONLEKOVANÁ VATELUSŮU S GRAPTEM
- 2 - PŮSOVROCHNÉ BUNAT. ZÁVĚRŮ TYPU "FIBRESCED" ŠÍŘE 1400, TL. 85
- 3 - DOBĚTŮOVANÝ ŽÁ. ŽDÍ BETONEM B 350, DOBĚTŮOVANÝ PŘECHODOVÝ KLÍNŮU B 80
- 4 - SANACE BETONOVÝCH K-ČÍ DLE TYPŮ 1-4 ← SLEDOVACÍMÍ NÁTĚR

Schematický náčrt mostu, převzatý z ML, 1.část

PUĐORYS

PUĐORYS - kvart. nr. 1250



- 1 - PUĐORYS KAMARAS, kvart. nr. 1250, PUĐORYS, kvart. nr. 1250
- 2 - PUĐORYS KAMARAS, kvart. nr. 1250, PUĐORYS, kvart. nr. 1250
- 3 - PUĐORYS KAMARAS, kvart. nr. 1250, PUĐORYS, kvart. nr. 1250
- 4 - PUĐORYS KAMARAS, kvart. nr. 1250, PUĐORYS, kvart. nr. 1250
- 5 - PUĐORYS KAMARAS, kvart. nr. 1250, PUĐORYS, kvart. nr. 1250
- 6 - PUĐORYS KAMARAS, kvart. nr. 1250, PUĐORYS, kvart. nr. 1250
- 7 - PUĐORYS KAMARAS, kvart. nr. 1250, PUĐORYS, kvart. nr. 1250
- 8 - PUĐORYS KAMARAS, kvart. nr. 1250, PUĐORYS, kvart. nr. 1250
- 9 - PUĐORYS KAMARAS, kvart. nr. 1250, PUĐORYS, kvart. nr. 1250
- 10 - PUĐORYS KAMARAS, kvart. nr. 1250, PUĐORYS, kvart. nr. 1250
- 11 - PUĐORYS KAMARAS, kvart. nr. 1250, PUĐORYS, kvart. nr. 1250
- 12 - PUĐORYS KAMARAS, kvart. nr. 1250, PUĐORYS, kvart. nr. 1250
- 13 - PUĐORYS KAMARAS, kvart. nr. 1250, PUĐORYS, kvart. nr. 1250
- 14 - PUĐORYS KAMARAS, kvart. nr. 1250, PUĐORYS, kvart. nr. 1250
- 15 - PUĐORYS KAMARAS, kvart. nr. 1250, PUĐORYS, kvart. nr. 1250
- 16 - PUĐORYS KAMARAS, kvart. nr. 1250, PUĐORYS, kvart. nr. 1250
- 17 - PUĐORYS KAMARAS, kvart. nr. 1250, PUĐORYS, kvart. nr. 1250
- 18 - PUĐORYS KAMARAS, kvart. nr. 1250, PUĐORYS, kvart. nr. 1250
- 19 - PUĐORYS KAMARAS, kvart. nr. 1250, PUĐORYS, kvart. nr. 1250
- 20 - PUĐORYS KAMARAS, kvart. nr. 1250, PUĐORYS, kvart. nr. 1250

| Mostní list mostu pozemní komunikace | |
|---|--|
| Ev.č. mostu: | 523-000a |
| Název mostu: | Most přes Koželužský potok ve městě Jihlava |
| Místní název: | Jl |
| Předmět přemostění: | Vodoteč (stálý průtok) |
| Převáděná komunikace: | 2. třída / 523 |
| Název převáděné komunikace: | |
| Staničení liniové: | 2.147 km |
| Staničení na úseku: | 0.216 km |
| Rok postavení: | 1952 |
| Rok poslední rekonstrukce: | |
| Kraj: | Vysočina |
| Okres: | Jihlava |
| Obec (MČ): | Jihlava |
| Katastrální území: | |
| Správce mostu: | Kraj Vysočina, Krajská správa a údržba silnic Vysočiny, KSÚSV Jihlava, cestmistrovství Jihlava |
| Zpracovatel mostního listu: | |
| Zatížitelnost v době uvedení do provozu, způsob a rok stanovení | |
| Způsob stanovení: | |
| $V_n = -$ | $V_r = -$ |
| $V_e = -$ | $V_{aj}(V_a) = -$ |
| Rok: | |
| Zatížitelnost současná, způsob a rok stanovení | |
| Způsob stanovení: | N (Způsob stanovení zatížitelnosti neznámý) |
| $V_n = 25.0$ t | $V_r = 64$ t |
| $V_e = 144$ t | $V_{aj}(V_a) = 19.2$ t |
| Rok: | 2023 |
| Základní údaje | |
| Celkový počet polí: 3 | Délka přemostění: 78.40 m |
| Šikmost: Kolmý 100.00 g | Volná šířka: 14.50 m |
| Plocha mostu: 1236.24 m ² | Délka NK: 80.80 m |
| Souřadnice mostu | Celková šířka mostu: 15.30 m |
| Popis spodní stavby: | S-JTSK X: -669072 Y: -1130591 |
| | WGS: 49.391769°N 15.592094°E |
| Krajní opěry: masivní, plné betonové. Mezilehlé podpěry: betonové. | |
| Popis nosné konstrukce: | |
| NK tvoří 6ks předpjatých betonových nosníků tvaru T se spřaženou ŽB deskou. Výška nosníků 1.75m, šířka 2m, délka 26.9m. Spáry šířky 0.4m. Spřažená deska tl. 0.2115m. Beton nosníků B600, desky B330. Ložiska ocelová, závěry flexibilní. | |
| Poznámka k nosné konstrukci: | |
| Ostatní údaje | |
| Výška mostu nad terénem: 12.05 m | Výška NK nad hladinou vody: 0.00 m |
| $Q_{100} = -$ | Normální hladina vody: 0.20 m |
| Navrhovaná hladina NH: - m n.m. | Kontrolní navrhovaná hladina KNH: - m n.m. |
| Mostní podpěry křídla a čelní zdi | |
| - | Počet: 2 |
| | Typ podpěr: Krajní opěra |
| | Druh: Masivní opěra |
| | Materiál: Prostý beton |
| | Délka: 15.00 až 15.00 m |
| | Šířka: 2.00 až 2.00 m |
| | Výška: 8.00 až 8.00 m |
| - | Počet: 2 |
| | Typ podpěr: Mezilehlá podpěra |
| | Druh: Masivní pilíř |
| | Materiál: Prostý beton |
| | Délka: 15.00 až 15.00 m |
| | Šířka: 1.40 až 1.40 m |
| | Výška: 10.00 až 10.00 m |
| Nosná konstrukce | |
| - | Počet polí: 2 |
| | Šikmá světlost: 25.02 m |
| | Kolmá světlost: 25.02 m |
| | Konstrukční výška: 1.96 m |
| | Rozpětí: 26.10 m |
| | Šířka NK min.: - m |
| | Šířka NK max.: - m |
| | Převažující materiál: Předpjatý beton PREFA |
| | Další materiál: Železobeton |
| | Druh statického působení: Trám deskový prostý |
| | Prefabrikát: Jiný |
| - | Počet polí: 1 |
| | Šikmá světlost: 25.55 m |
| | Kolmá světlost: 25.55 m |
| | Konstrukční výška: 1.96 m |
| | Rozpětí: 26.10 m |
| | Šířka NK min.: - m |
| | Šířka NK max.: - m |
| | Převažující materiál: Předpjatý beton PREFA |
| | Další materiál: Železobeton |
| | Druh statického působení: Trám deskový prostý |
| | Prefabrikát: Jiný |
| Vozovka | |
| - | Povrch komunikace: Živice |
| | Skladba vozovky: |
| | Šířka mezi obrubami: 10.00 m |

| Chodníky | | | |
|--|---|--------------------------------------|---|
| - (Levý chodník) | Povrch chodníku: Beton | Šířka chodníku: 2.25 m | Plocha chodníku: 181.80 m ² |
| - (Pravý chodník) | Povrch chodníku: Beton | Šířka chodníku: 2.25 m | Plocha chodníku: 181.80 m ² |
| Svodidla/Zábradelní svodidla | | | |
| - | Druh svodidla: Betonové zábradlí s externím madlem. | Výrobce: | Délka: - m |
| Cizí zařízení | | | |
| - | Typ zařízení: Správce: Odvodňovače 500x500. Odvodnění izolace. Telefonní kabel-pravá římsa. Kabely semaforů, trolejové vedení. | | |
| Správní údaje | | | |
| Archivace projektu: Správa a údržba silnic | | | |
| Klasifikační stupeň stavu mostu | | | |
| Nosná konstrukce: VII - Havarijní | | Spodní stavba: III - Dobrý | Použitelnost: III - Použitelné s výhradou |
| Datum provedení poslední HPM(1HPM,MPM): 7.11.2023 | | | |
| Reprodukční pořizovací hodnota: 36011480.59 Kč | | Datum posledního stanovení: 3.5.2012 | |
| | | Dne: | Vypracoval - podpis: |
| Datum tisku: 17.1.2024 07:21 Vytisknul z BMS: Matoušek Jan, Ing. | | | |

FOTKA

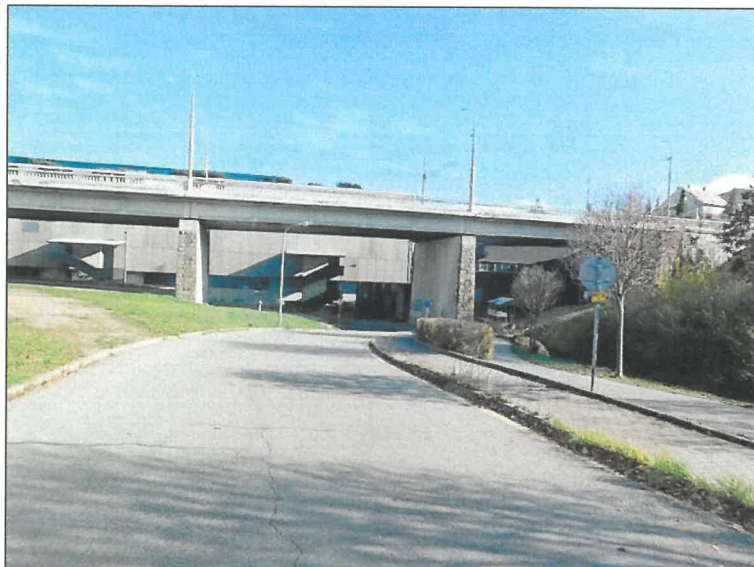
J. OBRAZOVÉ PŘÍLOHY



Šířkové uspořádání ve směru staničení.



Pohled proti směru staničení.



Levý bok mostu.



Spodní líc - pole 1.



Spodní líc - pole 2.



Spodní líc - pole 3.



Pohled na opěru OP4.



Pilíř P2.



Opěra OP1.

Cíl statického výpočtu, mechanický model konstrukce

Cílem statického výpočtu je získat hodnoty zatížitelnosti normální, výhradní a vyjímečné. Přitom se postupuje dle pokynů ČSN 73 6222. Vypočítat zatížitelnost znamená stanovit hmotnost vozidla nebo skupiny vozidel s geometrickým uspořádáním daným normou, jejichž zatížení způsobí, že nejméně v jednom místě konstrukce alespoň některé napětí (či vnitřní síla nebo deformace) dosáhnou normou dovolených hodnot (návrhové pevnosti, omezeného napětí, maximálně přípustné deformace).

Normální zatížitelnost znamená, že vozidlo může být jak do příčné, tak do podélné polohy kdekoliv na mostě bez omezení provozu, u výhradní zatížitelnosti platí předchozí s tím, že pomocí pověřené osoby musí být zajištěna situace, že vozidlo musí jet po mostě jako jediné. U vyjímečné zatížitelnosti se jedná o přepravu podvalníku s 9 nápravami, jež jede nejvhodnější stopou (nejčastěji středem mostu) jako jediné vozidlo na mostě.

V našem případě se jedná o konstrukci, složenou z prefabrikovaných dodatečně předpjatých nosníků, jež jsou v podélném směru prostě uloženy, v příčném směru tvoří ortotropní desku. Jako obecně u posudku předpjatého betonu, budeme vycházet primárně z posudku 2. MS, tedy MSP, a to mezního stavu omezení napětí. Jako limitující je překročení tlakové rezervy, respektive nulového napětí v dolních vláknech ohybaného prvku v polovině rozpětí. Dosažení takového stavu odpovídá tzv. „dimenzační moment“ z typového podkladu daného předpjatého nosníku. Od tohoto odečteme hodnoty ohybového momentu od stálých zatížení. Dostáváme tak tzv. využitelný moment pro pohyblivá zatížení. Dále vypočteme ohybové momenty od jednotkových vozidel zatížitelnosti dle ČSN 73 6222. Tyto je dle ČSN 73 6222 nutno násobit dynamickým součinitelem. Podělením využitelného momentu těmito dostáváme zatížitelnost mostu. Nutno dodat, že jak dimenzační moment nebude redukován součinitelem spolehlivosti materiálu γ , tak nebudou násobeny hodnoty stálých či pohyblivých zatížení součiniteli zatížení γ (jedná se o 2. MS, tedy hodnoty odporu konstrukce i vnitřní síly, vyvolané vnějším zatížením, jsou brány charakteristickými, ne tzv. návrhovými hodnotami jako u MSÚ).

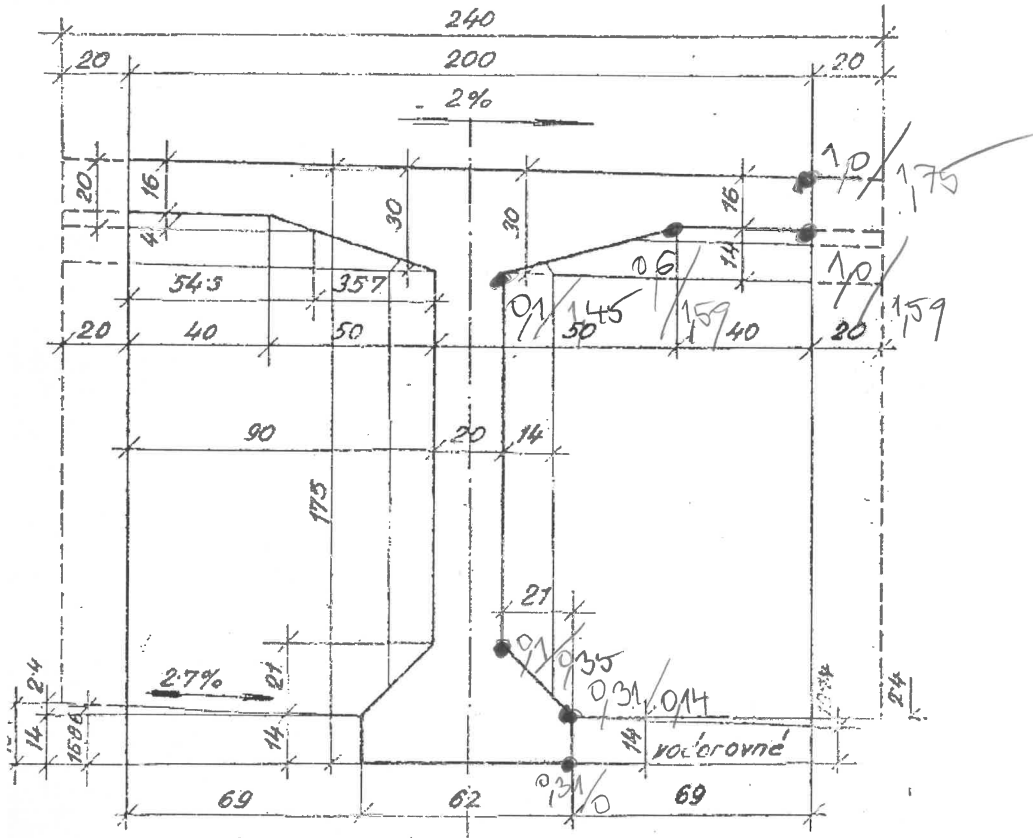
Mechanickým modelem pro výpočet zatížitelnosti je ortotropní deska, řešená metodou konečných prvků.

Předpoklady výpočtu:

- Konstrukce bude řešena metodou rošt programem DEFOR, tedy jako prutová konstrukce
- Roznos vozovkou a vlastní žlb. konstrukcí bude uvažován do $\frac{1}{2}$ tloušťky příčle
- Výpočet vnitřních sil bude proveden charakteristickými (dříve normovými) hodnotami zatížení (tedy bez zvýšení dílčími součiniteli) – II.MS Použitelnosti, posouzení
- Z důvodu poruch podélné předpínací výztuže (koroze až přerezivění, nenapnutí – asi urezivění v nezainjektované části kanálků pod kotvami, absence injektáže, zdegradovaná injektážní malta, voda v kanálcích) budeme uvažovat, že v plné kondici je jen 80 % předpětí
- Výpočet bude proveden s podmínkou, že zatížitelnost je omezena dekompresí, budeme počítat se zachováním tlakové rezervy ve spodních vláknech 1,0 MPa
- Vzhledem ke skutečnosti, že v příčném předpětí byly shledány zcela zkorodované kabely, omezíme příčnou tuhost na spřaženou desku a relativně nevysokou hodnotu výšky příčnicku – $\frac{1}{4}$ výšky
- Hodnoty po šířce mostu stejných stálých zatížení lze počítat na modelu prostý nosník

-12-
PRŮŘEZOVÉ CHARAKTERISTIKY

PRŮŘNÝ REZ 1:20



1, 2 PD

$$A = 0,81 \text{ m}^2$$

$$S_d = 0,9 \text{ m}^3$$

$$t_d = \frac{S_d}{A} = \frac{0,9}{0,31} = 1,08 \text{ m}$$

$$H = 1,75$$

$$t_h = 1,75 - 1,08 = 0,67 \text{ m}$$

$$J = 0,37 \text{ m}^4$$

$$W_d = \frac{J}{t_d} = \frac{0,37}{1,08} = 0,34 \text{ m}^3$$

$$W_h = \frac{J}{t_h} = \frac{0,37}{0,67} = 0,55 \text{ m}^3$$

2, NEZÁVISLÝ VÝPOČET t_d a t_h (str. 7)

$$A = 0,81 \text{ m}^2$$

$$t_d = 1,12 \text{ m}$$

$$t_h = 0,83 \text{ m}$$

$$J = 0,31 \text{ m}^4$$

$$W_d = \frac{0,31}{1,12} = 0,28 \text{ m}^3$$

$$W_h = \frac{0,31}{0,83} = 0,49 \text{ m}^3$$

POSOUZENI ZELEZ.BETONU - DVOJOSE ZATIZENI OBECNEHO PRUREZU

NAZEV PROFILU: JIHLAVA, ZNOJEMSKY OCEL KRUHOVA

TVAR PROFILU (SOURADNICE V M)

| | | | | | |
|----|-----|---------|----|---------|---|
| 1 | X= | .31000 | Z= | .00000 | 1 |
| 2 | X= | .31000 | Z= | .14000 | 1 |
| 3 | X= | .10000 | Z= | .35000 | 1 |
| 4 | X= | .10000 | Z= | 1.45000 | 1 |
| 5 | X= | .60000 | Z= | 1.59000 | 1 |
| 6 | X= | 1.00000 | Z= | 1.59000 | 1 |
| 7 | X= | 1.00000 | Z= | 1.75000 | 1 |
| 8 | X=- | 1.00000 | Z= | 1.75000 | 1 |
| 9 | X=- | 1.00000 | Z= | 1.59000 | 1 |
| 10 | X= | -.60000 | Z= | 1.59000 | 1 |
| 11 | X= | -.10000 | Z= | 1.45000 | 1 |
| 12 | X= | -.10000 | Z= | .35000 | 1 |
| 13 | X= | -.31000 | Z= | .14000 | 1 |
| 14 | X= | -.31000 | Z= | .00000 | 1 |
| 15 | X= | .31000 | Z= | .00000 | 0 |

POLOHA STREDNICE

X= .00000 Z= 1.08000

PRUREZOVE HODNOTY

SOUR. TEZISTE XT = .00000000
SOUR. TEZISTE ZT = 1.1205090
PLOCHA ID. PR. FI = .81090000
MOM. SET. ID. PR. IX, T= .31223740
MOM. SET. ID. PR. IZ, T= .11774630
DEV. MOMENT DXZ, T= .45833330E-08
PLOCHA BETONU FB = .81090000
PLOCHA OCELI FA = .31416000E-11

X, T a Z, T jsou osy // s X a Z, vedene tezistem ID. PR.

$$J_k = \frac{1}{3} (0,2^3 \cdot 1,75 + 0,13^3 \cdot 2,70) = \underline{0,009 \text{ m}^4}$$

PRŮČNÍK

NAZEV PROFILU: JIHLAVA ZNOJEMSKÝ PR OCEL KRUHOVÁ

TVAR PROFILU (SOORADNICE V M)

| | | | | | |
|---|----|----------|----|--------|---|
| 1 | X= | .10000 | Z= | .00000 | 1 |
| 2 | X= | .10000 | Z= | .44000 | 1 |
| 3 | X= | 1.50000 | Z= | .44000 | 1 |
| 4 | X= | 1.50000 | Z= | .81000 | 1 |
| 5 | X= | -1.50000 | Z= | .81000 | 1 |
| 6 | X= | -1.50000 | Z= | .44000 | 1 |
| 7 | X= | -.10000 | Z= | .44000 | 1 |
| 8 | X= | -.10000 | Z= | .00000 | 1 |
| 9 | X= | .10000 | Z= | .00000 | 0 |

POLOHA STREDNICE

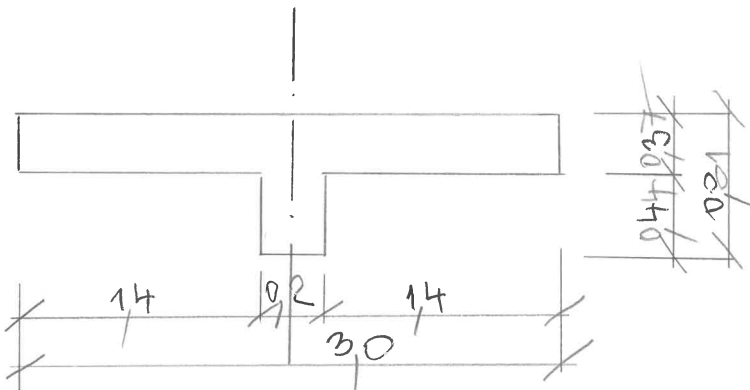
X= .00000 Z= .60000

V

PRUREZOVE HODNOTY

SOUR. TEZISTE XT = .00000000
 SOUR. TEZISTE ZT = .59525040
 PLOCHA ID.PR. FI = 1.1980000
 MOM. SET.ID.PR. IX,T= .27456910E-01
 MOM. SET.ID.PR. IZ,T= .83279340
 DEV.MOMENT DXZ,T= .00000000
 PLOCHA BETONU FB = 1.1980000
 PLOCHA OCELI FA = .31416000E-11

X,T a Z,T jsou osy // s X a Z, vedene tezisem ID.PR.



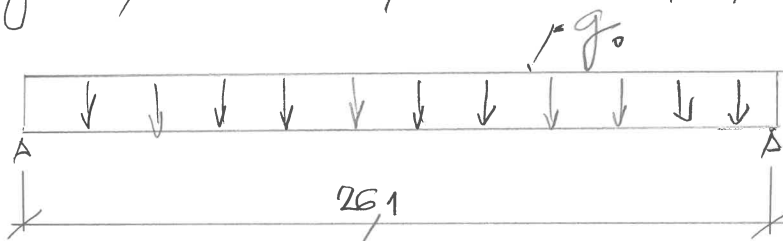
$$J_k = \frac{1}{3} \left(0,3^3 \cdot 3 + 0,44 \cdot 0,2^3 \right) = 0,05 \text{ m}^4$$

VÝPOČET VNITŘNÍCH SIL

$$l = 26,1 \text{ m}$$

ZS1 - VLASTNÍ TÍHA

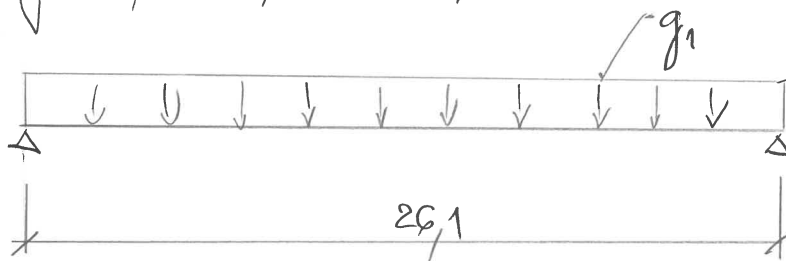
$$g_0 = \overset{\text{A}_{\text{nosník}}}{0,31} \cdot 26 + \overset{\text{A}_{\text{zprůčnicků}}}{0,068} \cdot 26 + \overset{\text{SPÁRY MEZI NOSNÍKY}}{0,4} \cdot 916 \cdot 26 = \underline{245 \text{ KN/m}}$$



$$M_{g_0} = \frac{1}{8} \cdot 245 \cdot 26,1^2 = \underline{2036 \text{ KNm}}$$

ZS2 - SPÁDOVÝ BETON

$$g_1 = 0,215 \cdot 24 \cdot 25 = \underline{12,9 \text{ KN/m}}$$



$$M_{g_1} = \frac{1}{8} \cdot 12,9 \cdot 26,1^2 = \underline{1098 \text{ KNm}}$$

ZS3 - OSTATNÍ STAŁÉ ZATÍŽENÍ

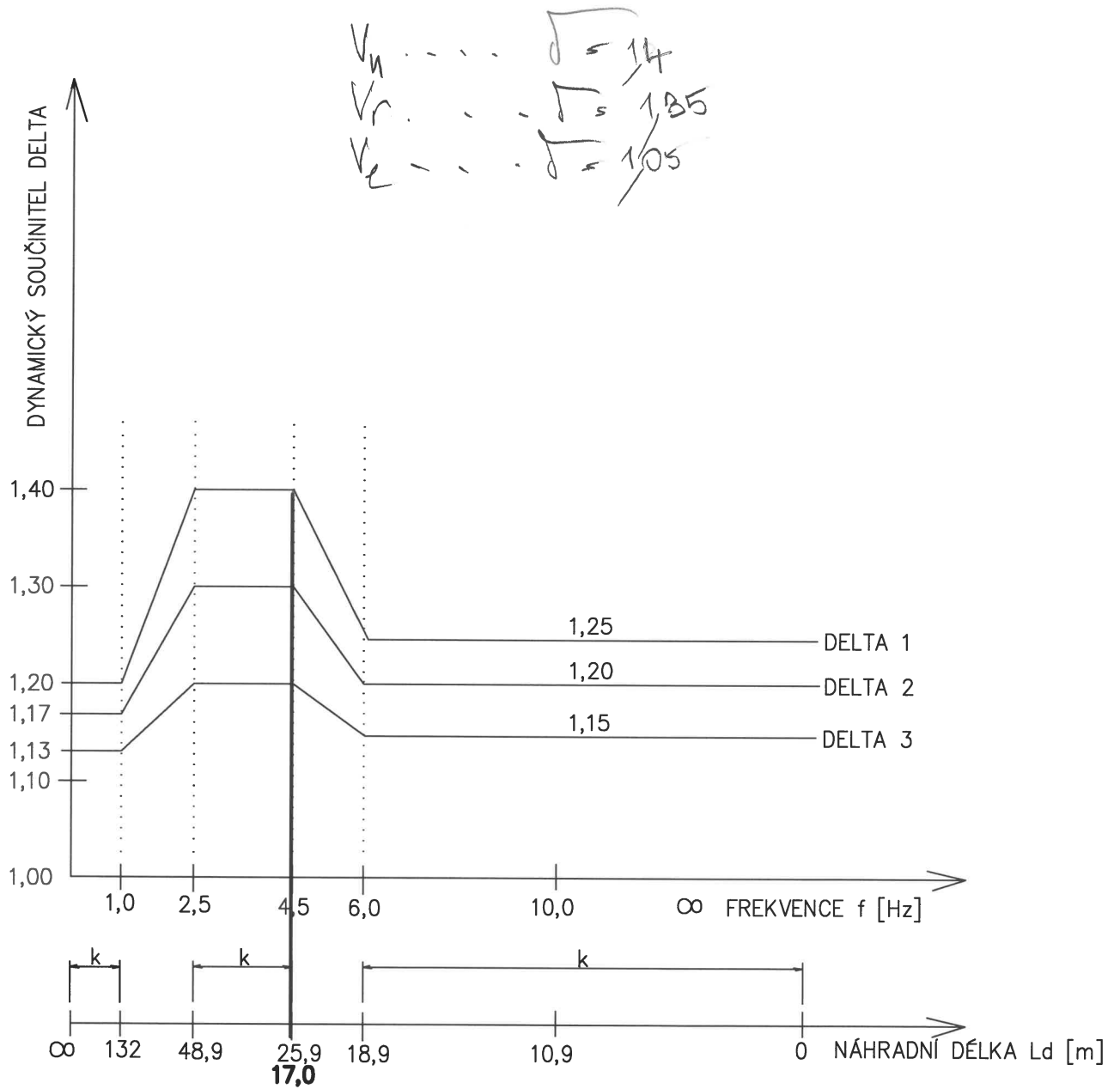
BUDE ŘEŠENO NA ROŠTOVÉM MODELU

g_{21} - KRAJNÍ NOSNÍK S ŘÍMSOU, g_{22} - VNITŘNÍ NOSNÍKY

$$g_{21} = 2,65 \cdot 0,32 \cdot 25 = \underline{21,2 \text{ KN/m}}$$

$$g_{22} = 0,09 \cdot 24 \cdot 23 = \underline{50 \text{ KN/m}}$$

GRAF PRO DYNAMICKÝ SOUČINITEL



PŮDORYSNÉ SCHÉMA ZATÍŽENÍ LM1 (CHARAKTERISTICKÉ HODNOTY)

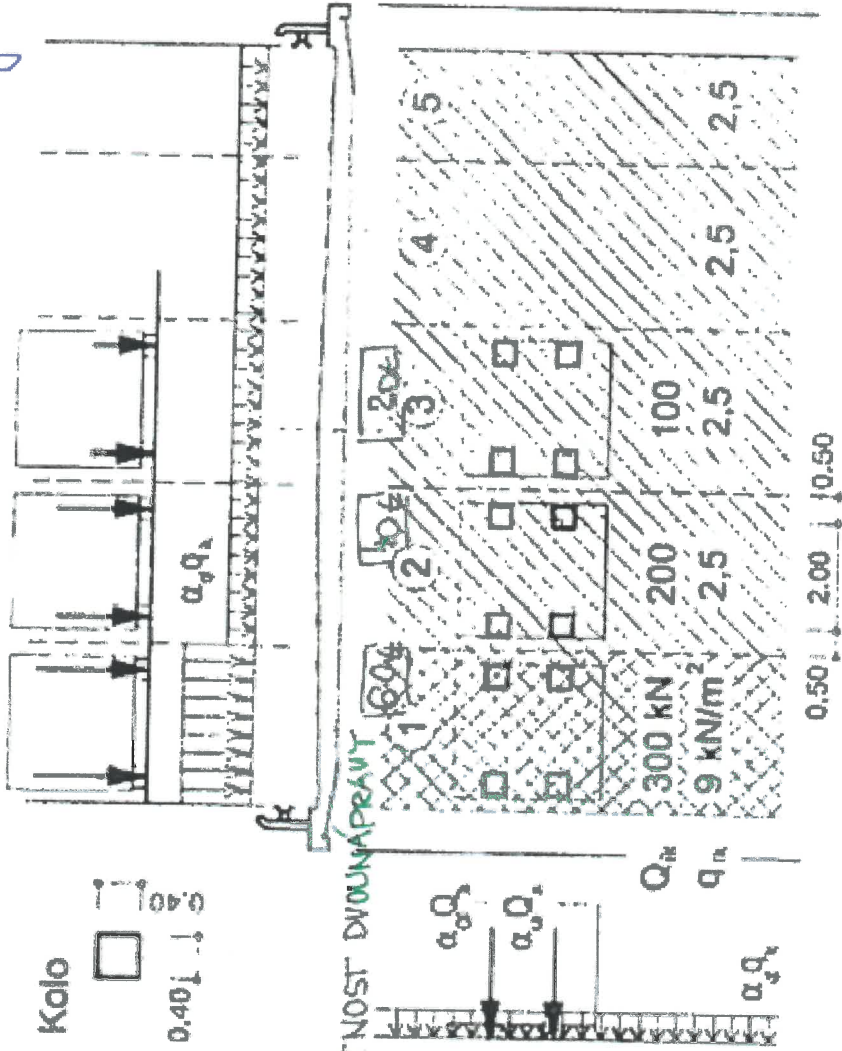
SOUČINITEL ZATÍŽENÍ $\gamma = 1,35$

$\alpha_0 Q_k$; $\alpha_0 Q_k$

Kolo



CELKOVÁ HMOTNOST DVOUNÁPRAVY



REGULAČNÍ SOUČINITELÉ
 α PRO Q

1,0

1,0

1,0

1,2

REGULAČNÍ SOUČINITELÉ
 α PRO q

1,0

2,4

1,2

1,2

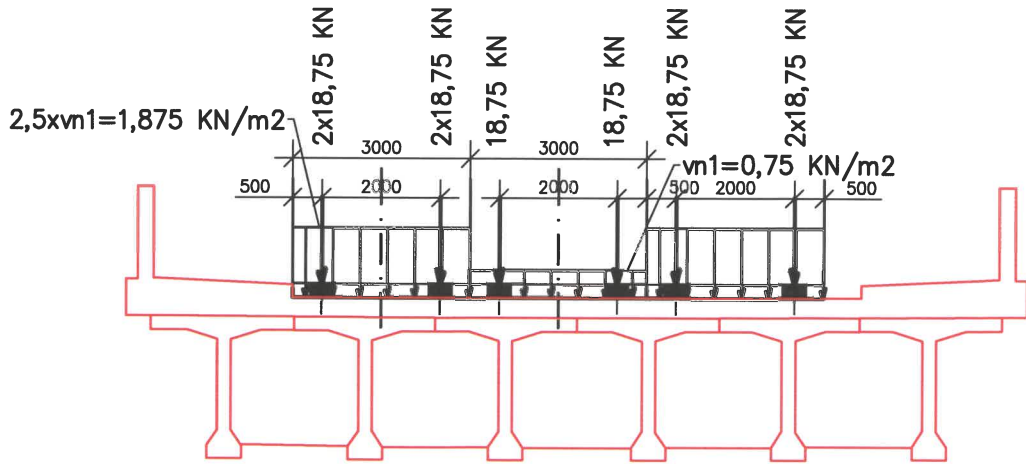
POSTAVENÍ VOZIDEL V PŘÍČNÉM SMĚRU

(CHARAKTERISTICKÉ HODNOTY BEZ DYNAMICKÉHO SOUČiniteLE)

ZS 4

V_n-ZATÍŽITELNOST NORMÁLNÍ (LM1)

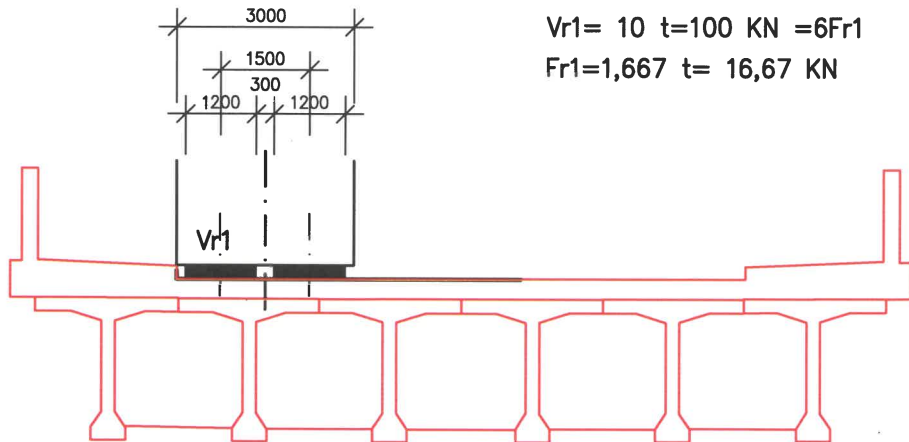
V_{n1}=10 t=100 KN
v_{n1}=0,75 KN/m²



ZS 5

V_r-ZATÍŽITELNOST VÝHRADNÍ (LM3 6NV)

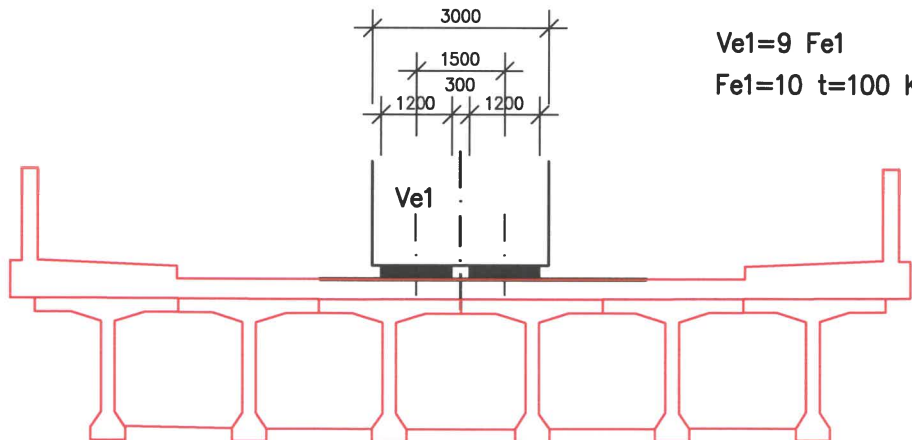
V_{r1}= 10 t=100 KN =6Fr₁
Fr₁=1,667 t= 16,67 KN



ZS 6

V_e-ZATÍŽITELNOST VYJÍMEČNÁ (LM3 9NV)

V_{e1}=9 Fe₁
Fe₁=10 t=100 KN



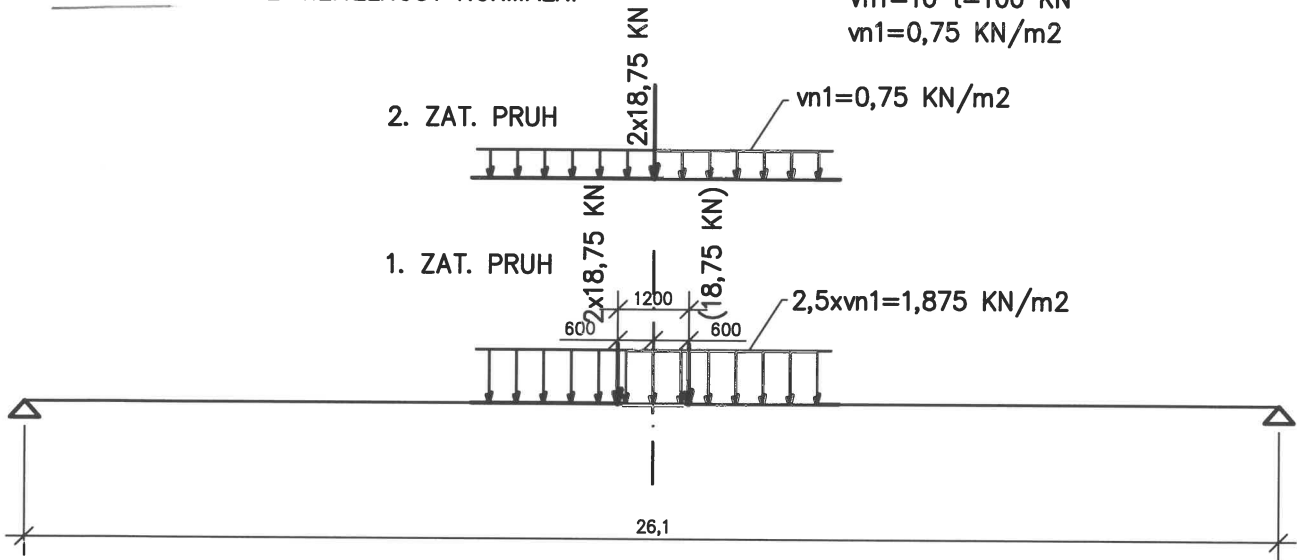
POSTAVENÍ VOZIDEL V PODÉLNÉM SMĚRU

(CHARAKTERISTICKÉ HODNOTY BEZ DYNAMICKÉHO SOUČiniteLE)

ZS 4

Vn-ZATÍŽITELNOST NORMÁLNÍ

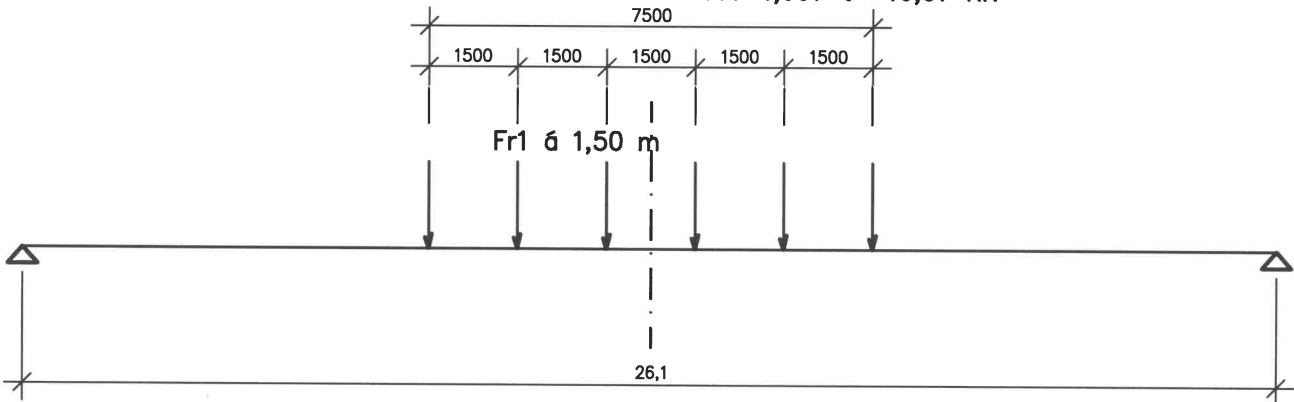
Vn1=10 t=100 KN
vn1=0,75 KN/m²



ZS 5

Vr-ZATÍŽITELNOST VÝHRADNÍ

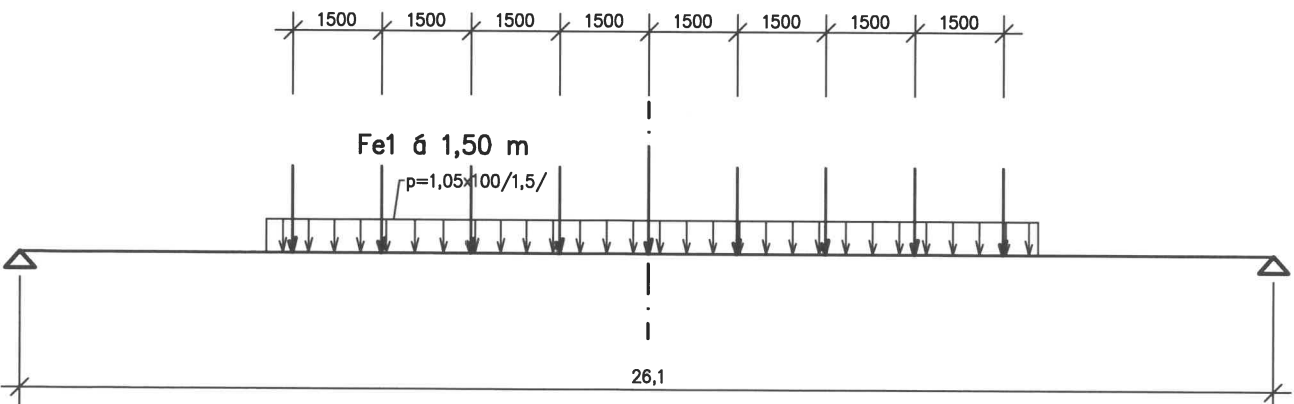
Vr1= 10 t=100 KN =6Fr1
Fr1=1,667 t= 16,67 KN



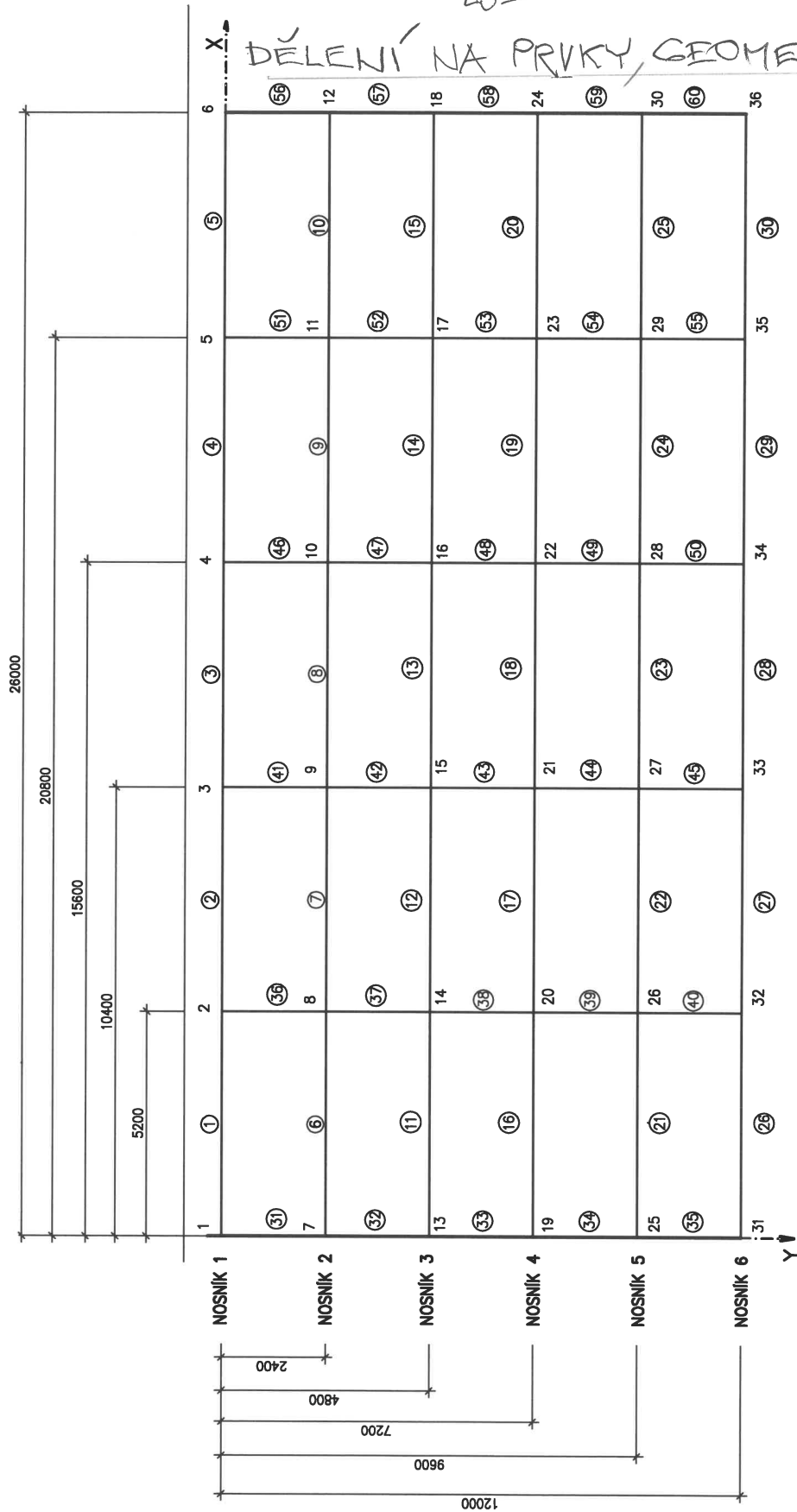
ZS 6

Ve-ZATÍŽITELNOST VYJÍMEČNÁ

Ve1=9 Fe1
Fe1=10 t=100 KN



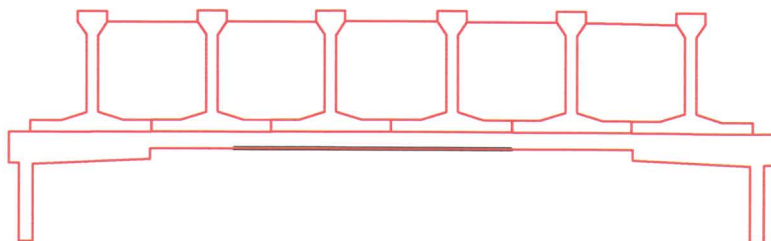
DELENÍ NA PRVKY, GEOMETRIE, TUHOSTI



$E=36 \text{ GPa}$, $G=13 \text{ GPa}$

| PRVEK | A (m ²) | K (m ⁴) | J (m ⁴) |
|-------|---------------------|---------------------|---------------------|
| 1-30 | 0,81 | 0,009 | 0,31 |

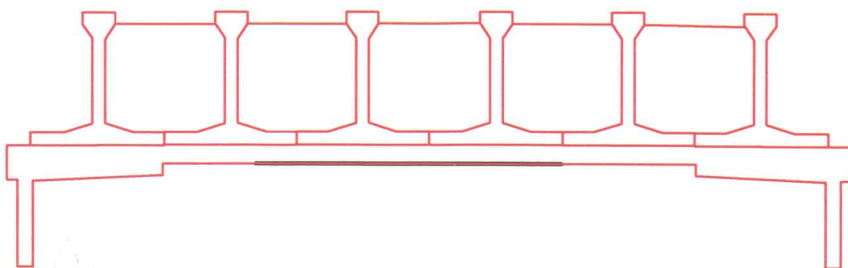
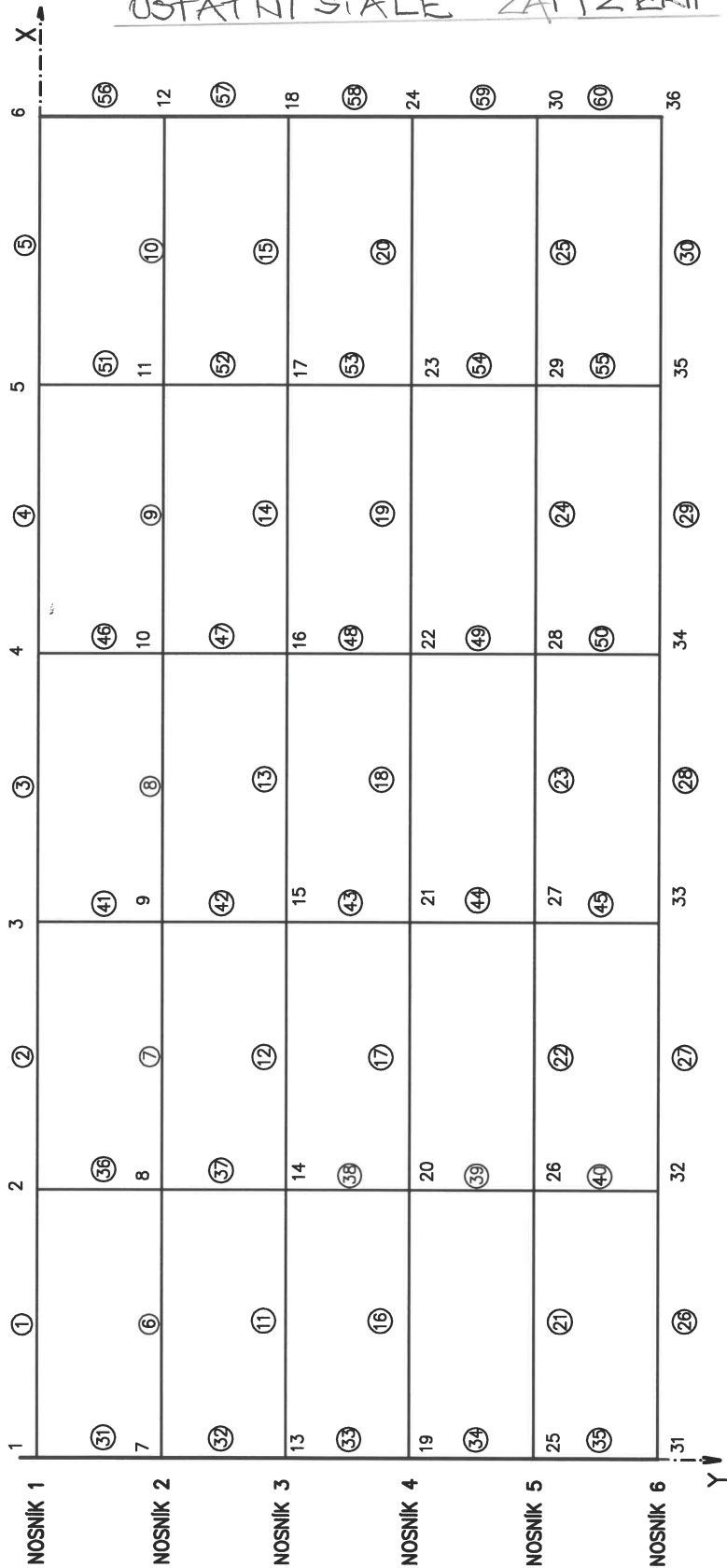
21-60 12 005 0027



OSTATNI STALE ZATIZENI

PRVKY ①-⑤, ②⑥ - ③⑦ - ④⑧ - ⑤⑨ - ⑥⑩ - ⑦⑪ - ⑧⑫ - ⑨⑬ - ⑩⑭ - ⑪⑮ - ⑫⑯ - ⑬⑰ - ⑭⑱ - ⑮⑲ - ⑯⑳ - ⑰㉑ - ⑱㉒ - ⑲㉓ - ㉔㉕ - ㉖㉗ - ㉘㉙ - ㉚㉛ - ㉜㉝ - ㉞㉟ - ㊱㊲ - ㊳㊴ - ㊵㊶ - ㊷㊸ - ㊹㊺ - ㊻㊼ - ㊽㊾ - ㊿

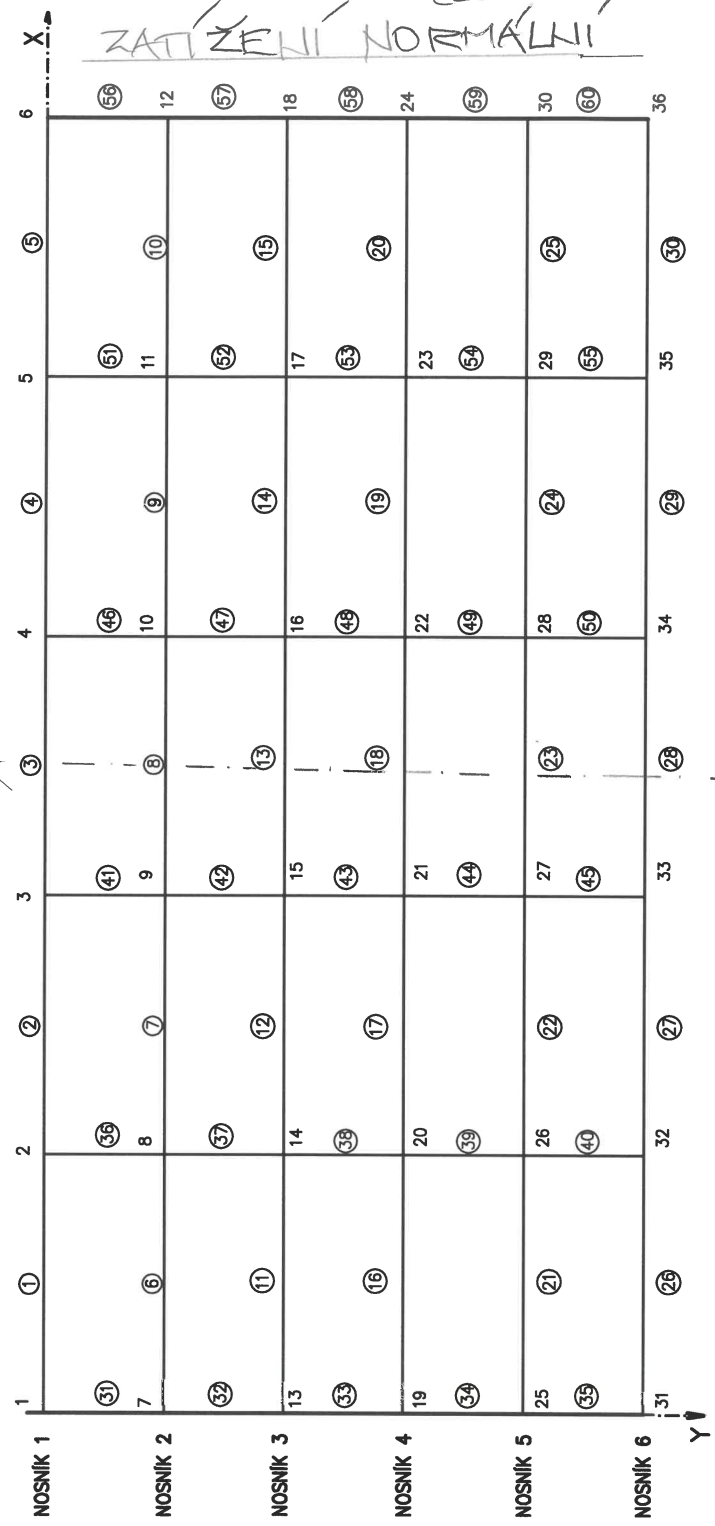
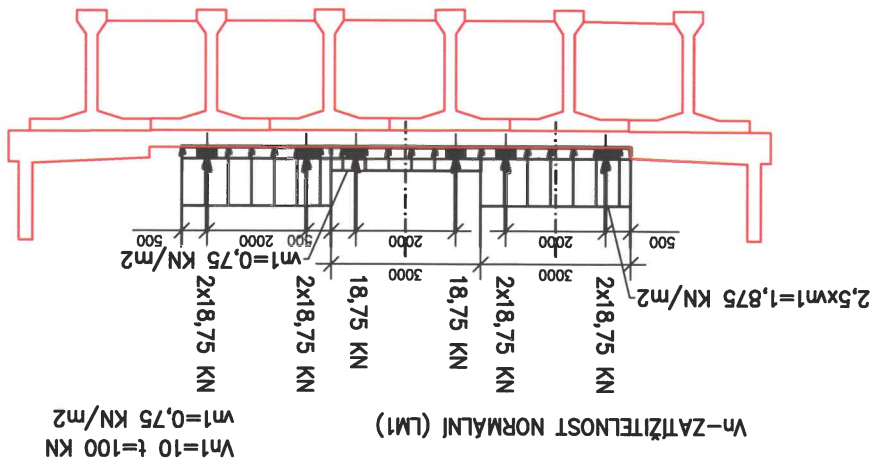
①-⑤ = 21,2 kN/m
 ⑥-⑩ = 50 kN/m



ZATIŽELNI NORMALNI

-22-

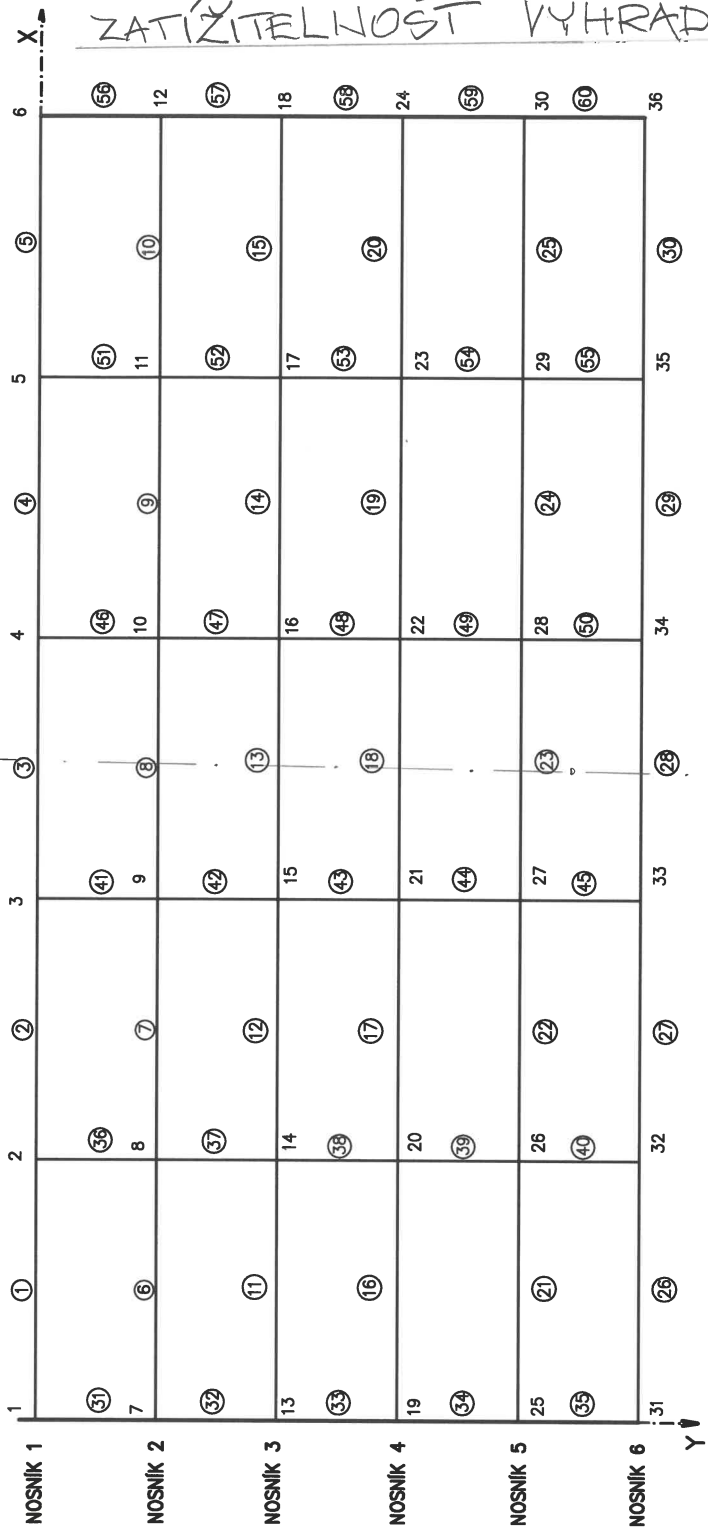
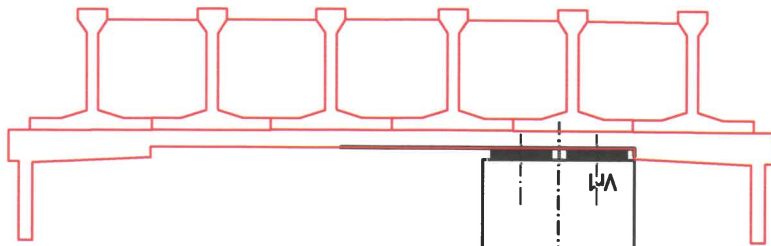
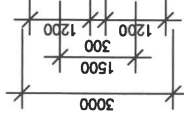
PRVKY 6 - 25 ... $p_1 = 14 \cdot (2 \cdot 1,875 + 9,75) / 3 \cdot 9 = 4,73 \text{ KN/m}$
 PRVKY 8, 13, 18, 23 ... $p_2 = 10 \cdot 1,875 / 4 \cdot 1,5 = 12,6 \text{ KN/m}$



10

V- ZATÍŽITELNOST VÝHRADNI (LM3 6NV)

W1 = 10 t = 100 KN = 6F1
 F1 = 1,667 t = 16,67 KN

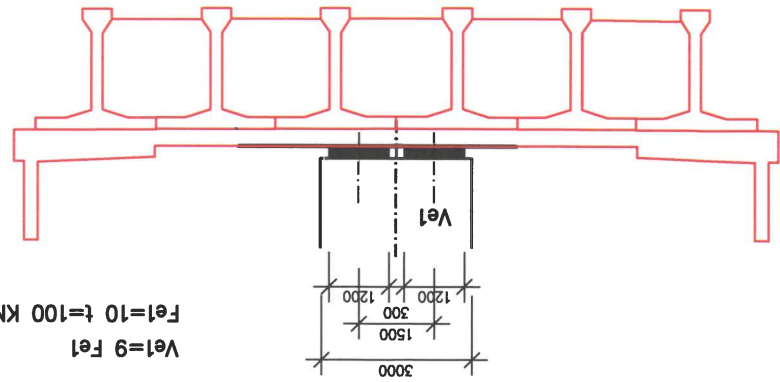


ZATÍŽITELNOST VÝHRADNI

PRŮJEK 23 $p = 105 \cdot 100 / 52 = 26,0 \text{ KN/m}$

VE-ZATÍŽITELNOST VYJÍMEČNÁ (LM3 9NV)

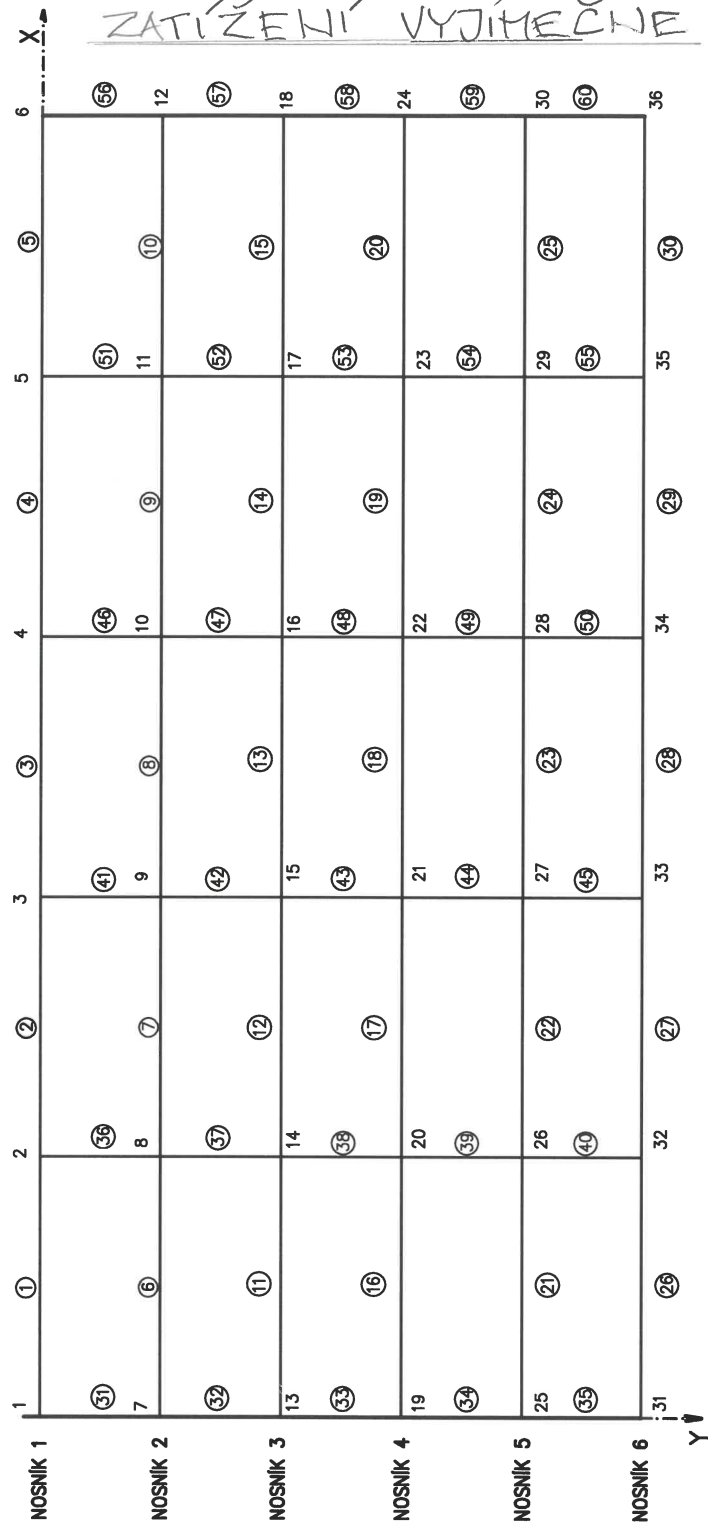
Ve1=9 Fe1
 Fe1=10 t=100 KN



PRVKY (11) (20)

$$p = 10 \cdot 9 \cdot 100 / 2 \cdot \frac{1}{3.52} = 80.3 \text{ KN/m}$$

ZATÍŽENÍ VYJÍMEČNÁ ⁻²⁴⁻



VSTUPY, VYSTUPY

DEFOR.DMP
Ing. Jaromír RUSAR, Ibsenova 11, 63800 BRNO

str.

DEFOR plus v94 (c) FEM consulting Brno 16/12 1994
11. červen 2024 (15:48)
JIHLAVA ZNOJEMSKY MOST

list 1

KOMENTOVANY OTISK VSTUPNICH DAT

NAZEV :
JIHLAVA ZNOJEMSKY MOST

| | |
|-----------------------|---------|
| TYP KONSTRUKCE | 3= rost |
| POCET UZLU | 36 |
| POCET PRUTU | 60 |
| POCET PODPOR | 12 |
| POCET PRUZYNYCH VAZEB | 0 |
| POCET ZAT.STAVU | 4 |

POZADAVKY NA TISK VYSLEDKU:

| | |
|--|---|
| TISKY PO ZAT.STAVECH: KONCOVE VNITRNI SILY | 1 |
| DEFORMACE | 1 |
| REAKCE A UZEL.ZATIZ. | 1 |
| TISK KONCOVYCH VNITRNIH SIL PO PRUTECH | 0 |
| TISK VNITRNIH SIL V N-TINACH PRUTU | 1 |

| | | | | | |
|------------|---|------------|----|-------------|---|
| PRVNI PRUT | 1 | POSL. PRUT | 30 | POCET DILKU | 2 |
|------------|---|------------|----|-------------|---|

END

| POPIS UZLU | SOURADNIC UZLU | SOURADNICE X [m] | SOURADNICE Y [m] |
|------------|----------------|------------------|------------------|
| 1 | 1 | 0. | 0. |
| 2 | 0 | 5.2 | 0. |
| 3 | 0 | 10.4 | 0. |
| 4 | 0 | 15.6 | 0. |
| 5 | 0 | 20.8 | 0. |
| 6 | 1 | 26. | 0. |
| 7 | 1 | 0. | 2.4 |
| 8 | 0 | 5.2 | 2.4 |
| 9 | 0 | 10.4 | 2.4 |
| 10 | 0 | 15.6 | 2.4 |
| 11 | 0 | 20.8 | 2.4 |
| 12 | 1 | 26. | 2.4 |
| 13 | 1 | 0. | 4.8 |
| 14 | 0 | 5.2 | 4.8 |
| 15 | 0 | 10.4 | 4.8 |
| 16 | 0 | 15.6 | 4.8 |
| 17 | 0 | 20.8 | 4.8 |
| 18 | 1 | 26. | 4.8 |
| 19 | 1 | 0. | 7.2 |
| 20 | 0 | 5.2 | 7.2 |
| 21 | 0 | 10.4 | 7.2 |
| 22 | 0 | 15.6 | 7.2 |
| 23 | 0 | 20.8 | 7.2 |
| 24 | 1 | 26. | 7.2 |
| 25 | 1 | 0. | 9.6 |
| 26 | 0 | 5.2 | 9.6 |
| 27 | 0 | 10.4 | 9.6 |
| 28 | 0 | 15.6 | 9.6 |
| 29 | 0 | 20.8 | 9.6 |
| 30 | 1 | 26. | 9.6 |
| 31 | 1 | 0. | 12. |
| 32 | 0 | 5.2 | 12. |
| 33 | 0 | 10.4 | 12. |
| 34 | 0 | 15.6 | 12. |
| 35 | 0 | 20.8 | 12. |

36 1 26. DEFOR.DMP 12.
END

| POPIS CISLO PRUTU | KODOVYCH CISLO POCAT. UZLU | CISEL PRUTU CISLO KONC. UZLU |
|-------------------------|-------------------------------------|--|
| 1 | 1 | 2 |
| 2 | 2 | 3 |
| 3 | 3 | 4 |
| 4 | 4 | 5 |
| 5 | 5 | 6 |
| 6 | 7 | 8 |
| 7 | 8 | 9 |
| 8 | 9 | 10 |
| 9 | 10 | 11 |
| 10 | 11 | 12 |
| 11 | 13 | 14 |
| 12 | 14 | 15 |
| 13 | 15 | 16 |
| 14 | 16 | 17 |
| 15 | 17 | 18 |
| 16 | 19 | 20 |
| 17 | 20 | 21 |
| 18 | 21 | 22 |
| 19 | 22 | 23 |
| 20 | 23 | 24 |
| 21 | 25 | 26 |
| 22 | 26 | 27 |
| 23 | 27 | 28 |
| 24 | 28 | 29 |
| 25 | 29 | 30 |
| 26 | 31 | 32 |
| 27 | 32 | 33 |
| 28 | 33 | 34 |
| 29 | 34 | 35 |
| 30 | 35 | 36 |
| 31 | 1 | 7 |
| 32 | 7 | 13 |
| 33 | 13 | 19 |
| 34 | 19 | 25 |
| 35 | 25 | 31 |
| 36 | 2 | 8 |
| 37 | 8 | 14 |
| 38 | 14 | 20 |
| 39 | 20 | 26 |
| 40 | 26 | 32 |
| 41 | 3 | 9 |
| 42 | 9 | 15 |
| 43 | 15 | 21 |
| 44 | 21 | 27 |
| 45 | 27 | 33 |
| 46 | 4 | 10 |
| 47 | 10 | 16 |
| 48 | 16 | 22 |
| 49 | 22 | 28 |
| 50 | 28 | 34 |
| 51 | 5 | 11 |
| 52 | 11 | 17 |
| 53 | 17 | 23 |
| 54 | 23 | 29 |
| 55 | 29 | 35 |
| 56 | 6 | 12 |
| 57 | 12 | 18 |
| 58 | 18 | 24 |
| 59 | 24 | 30 |
| 60 | 30 | 36 |

END

DEFOR.DMP

POPIS FYZIKALNICH VELICIN PRUTU
 CISLO PRUTU MODUL MODUL PRUZ.
 V SERII PRUZNOSTI VE SMYKU
 PRVNI POSL. E [MPa] G [MPa]
 1 60 36000. 13000.
 END

POPIS PRUREZOVYCH VELICIN PRUTU [mü]
 CISLO PRUTU SMYKOVA TORZNI MOMENT
 V SERII PLOCHA KONSTANTA SETRVACNOSTI
 PRVNI POSL. -----
 A(1,n) A(2,n) A(3,n)
 1 30 0.81 0.009 0.31
 31 60 1.2 0.05 0.027
 END

POPIS UVOLNENI PODPOROVYCH UZLU
 CISLO UVOLNENI VE SMERU
 UZLU Z MX MY
 1 0 1 1
 6 0 1 1
 7 0 1 1
 12 0 1 1
 13 0 1 1
 18 0 1 1
 19 0 1 1
 24 0 1 1
 25 0 1 1
 30 0 1 1
 31 0 1 1
 36 0 1 1
 END

POPIS UVOLNENI KONCU PRUTU
 END

POPIS ZATEZOVACICH STAVU - ZS 1
 NAZEV :
 OSTATNI STALA

ZATIZENI PRUTU [kN,kNm], [mm,mm/m]
 CISLO PRUTU TYPY ZATIZENI POCATECNI KONCOVA POLOHA POLOHA
 V SERII INTENZITA INTENZITA ZACATKU KONCE
 PRVNI POSL. T1 T2 SM T3 T4 T5
 1 5 0 0 3 1 0 1 21.2
 26 30 0 0 3 1 0 1 21.2
 6 25 0 0 3 1 0 1 5.
 END

ZATIZENI UZLU [kN,kNm], [mm, mm/m]
 END

POPIS ZATEZOVACICH STAVU - ZS 2
 NAZEV :
 NORMALNI

ZATIZENI PRUTU [kN,kNm], [mm,mm/m]
 CISLO PRUTU TYPY ZATIZENI POCATECNI KONCOVA POLOHA POLOHA
 V SERII INTENZITA INTENZITA ZACATKU KONCE
 PRVNI POSL. T1 T2 SM T3 T4 T5
 6 25 0 0 3 1 0 1 4.73
 8 8 0 0 3 1 0 1 12.6
 13 13 0 0 3 1 0 1 12.6
 18 18 0 0 3 1 0 1 12.6
 23 23 0 0 3 1 0 1 12.6
 END

DEFOR.DMP

ZATIZENI UZLU [kN,kNm], [mm, mm/m]
END

POPIS ZATEZOVACICH STAVU - ZS 3
NAZEV :
VYHRADNI

ZATIZENI PRUTU [kN,kNm], [mm,mm/m]
CISLO PRUTU TYPY ZATIZENI POCATECNI KONCOVA POLOHA POLOHA
V SERII INTENZITA INTENZITA ZACATKU KONCE
PRVNI POSL. T1 T2 SM T3 T4 T5
23 23 0 0 3 1 0 1 26.
END

ZATIZENI UZLU [kN,kNm], [mm, mm/m]
END

POPIS ZATEZOVACICH STAVU - ZS 4
NAZEV :
VYJIMECNE

ZATIZENI PRUTU [kN,kNm], [mm,mm/m]
CISLO PRUTU TYPY ZATIZENI POCATECNI KONCOVA POLOHA POLOHA
V SERII INTENZITA INTENZITA ZACATKU KONCE
PRVNI POSL. T1 T2 SM T3 T4 T5
11 20 0 0 3 1 0 1 30.3
END

ZATIZENI UZLU [kN,kNm], [mm, mm/m]
END

DEFOR - VSTUPNI DATA 0.K.

SILY V PRVCICH (kN, kNm)

| PRUT | UZEL | Q-y | M-x | M-y |
|------|------|---------|-------|----------|
| 1 | 1 | -199.81 | 8.52 | 46.90 |
| 1 | 2 | 89.57 | -8.52 | 705.50 |
| 2 | 2 | -120.21 | 4.82 | -669.52 |
| 2 | 3 | 9.97 | -4.82 | 1007.98 |
| 3 | 3 | -55.12 | .00 | -995.36 |
| 3 | 4 | -55.12 | .00 | 995.36 |
| 4 | 4 | 9.97 | -4.82 | -1007.98 |
| 4 | 5 | -120.21 | 4.82 | 669.52 |
| 5 | 5 | 89.57 | -8.52 | -705.50 |
| 5 | 6 | -199.81 | 8.52 | -46.90 |
| 6 | 7 | -112.97 | 6.78 | -19.35 |
| 6 | 8 | 86.97 | -6.78 | 539.21 |
| 7 | 8 | -65.69 | 3.92 | -553.22 |
| 7 | 9 | 39.69 | -3.92 | 827.22 |
| 8 | 9 | -13.00 | .00 | -831.77 |
| 8 | 10 | -13.00 | .00 | 831.77 |
| 9 | 10 | 39.69 | -3.92 | -827.22 |
| 9 | 11 | -65.69 | 3.92 | 553.22 |
| 10 | 11 | 86.97 | -6.78 | -539.21 |
| 10 | 12 | -112.97 | 6.78 | 19.35 |
| 11 | 13 | -92.82 | 2.44 | -27.54 |
| 11 | 14 | 66.82 | -2.44 | 442.59 |
| 12 | 14 | -57.46 | 1.50 | -464.55 |
| 12 | 15 | 31.46 | -1.50 | 695.74 |
| 13 | 15 | -13.00 | .00 | -703.81 |
| 13 | 16 | -13.00 | .00 | 703.81 |
| 14 | 16 | 31.46 | -1.50 | -695.74 |

-29-

| DEFOR.DMP | | | | |
|-----------|----|---------|-------|---------|
| 14 | 17 | -57.46 | 1.50 | 464.55 |
| 15 | 17 | 66.82 | -2.44 | -442.59 |
| 15 | 18 | -92.82 | 2.44 | 27.54 |
| 16 | 19 | -92.82 | -2.44 | -27.54 |
| 16 | 20 | 66.82 | 2.44 | 442.59 |
| 17 | 20 | -57.46 | -1.50 | -464.55 |
| 17 | 21 | 31.46 | 1.50 | 695.74 |
| 18 | 21 | -13.00 | .00 | -703.81 |
| 18 | 22 | -13.00 | .00 | 703.81 |
| 19 | 22 | 31.46 | 1.50 | -695.74 |
| 19 | 23 | -57.46 | -1.50 | 464.55 |
| 20 | 23 | 66.82 | 2.44 | -442.59 |
| 20 | 24 | -92.82 | -2.44 | 27.54 |
| 21 | 25 | -112.97 | -6.78 | -19.35 |
| 21 | 26 | 86.97 | 6.78 | 539.21 |
| 22 | 26 | -65.69 | -3.92 | -553.22 |
| 22 | 27 | 39.69 | 3.92 | 827.22 |
| 23 | 27 | -13.00 | .00 | -831.77 |
| 23 | 28 | -13.00 | .00 | 831.77 |
| 24 | 28 | 39.69 | 3.92 | -827.22 |
| 24 | 29 | -65.69 | -3.92 | 553.22 |
| 25 | 29 | 86.97 | 6.78 | -539.21 |
| 25 | 30 | -112.97 | -6.78 | 19.35 |
| 26 | 31 | -199.81 | -8.52 | 46.90 |

SILY V PRVCICH (kN, kNm)

| PRUT | UZEL | Q-y | M-x | M-y |
|------|------|---------|--------|----------|
| 26 | 32 | 89.57 | 8.52 | 705.50 |
| 27 | 32 | -120.21 | -4.82 | -669.52 |
| 27 | 33 | 9.97 | 4.82 | 1007.98 |
| 28 | 33 | -55.12 | .00 | -995.36 |
| 28 | 34 | -55.12 | .00 | 995.36 |
| 29 | 34 | 9.97 | 4.82 | -1007.98 |
| 29 | 35 | -120.21 | -4.82 | 669.52 |
| 30 | 35 | 89.57 | 8.52 | -705.50 |
| 30 | 36 | -199.81 | -8.52 | -46.90 |
| 31 | 1 | -5.60 | -46.90 | 8.52 |
| 31 | 7 | 5.60 | 46.90 | 4.91 |
| 32 | 7 | -1.52 | -27.54 | 1.87 |
| 32 | 13 | 1.52 | 27.54 | 1.79 |
| 33 | 13 | .00 | .00 | .65 |
| 33 | 19 | .00 | .00 | -.65 |
| 34 | 19 | 1.52 | 27.54 | -1.79 |
| 34 | 25 | -1.52 | -27.54 | -1.87 |
| 35 | 25 | 5.60 | 46.90 | -4.91 |
| 35 | 31 | -5.60 | -46.90 | -8.52 |
| 36 | 2 | 30.64 | -35.98 | -3.70 |
| 36 | 8 | -30.64 | 35.98 | -69.83 |
| 37 | 8 | 9.36 | -21.97 | 66.97 |
| 37 | 14 | -9.36 | 21.97 | -89.43 |
| 38 | 14 | .00 | .00 | 88.49 |
| 38 | 20 | .00 | .00 | -88.49 |
| 39 | 20 | -9.36 | 21.97 | 89.43 |
| 39 | 26 | 9.36 | -21.97 | -66.97 |
| 40 | 26 | -30.64 | 35.98 | 69.83 |
| 40 | 32 | 30.64 | -35.98 | 3.70 |
| 41 | 3 | 45.15 | -12.63 | -4.82 |
| 41 | 9 | -45.15 | 12.63 | -103.54 |
| 42 | 9 | 18.46 | -8.07 | 99.62 |
| 42 | 15 | -18.46 | 8.07 | -143.92 |
| 43 | 15 | .00 | .00 | 142.42 |
| 43 | 21 | .00 | .00 | -142.42 |
| 44 | 21 | -18.46 | 8.07 | 143.92 |
| 44 | 27 | 18.46 | -8.07 | -99.62 |

| DEFOR.DMP | | | | |
|-----------|----|--------|--------|---------|
| 45 | 27 | -45.15 | 12.63 | 103.54 |
| 45 | 33 | 45.15 | -12.63 | 4.82 |
| 46 | 4 | 45.15 | 12.63 | -4.82 |
| 46 | 10 | -45.15 | -12.63 | -103.54 |
| 47 | 10 | 18.46 | 8.07 | 99.62 |
| 47 | 16 | -18.46 | -8.07 | -143.92 |
| 48 | 16 | .00 | .00 | 142.42 |
| 48 | 22 | .00 | .00 | -142.42 |
| 49 | 22 | -18.46 | -8.07 | 143.92 |
| 49 | 28 | 18.46 | 8.07 | -99.62 |
| 50 | 28 | -45.15 | -12.63 | 103.54 |
| 50 | 34 | 45.15 | 12.63 | 4.82 |
| 51 | 5 | 30.64 | 35.98 | -3.70 |
| 51 | 11 | -30.64 | -35.98 | -69.83 |

Zatezovací stav : 1
OSTATNI STALA

SILY V PRVCICH (kN, kNm)

| PRUT | UZEL | Q-y | M-x | M-y |
|------|------|--------|--------|--------|
| 52 | 11 | 9.36 | 21.97 | 66.97 |
| 52 | 17 | -9.36 | -21.97 | -89.43 |
| 53 | 17 | .00 | .00 | 88.49 |
| 53 | 23 | .00 | .00 | -88.49 |
| 54 | 23 | -9.36 | -21.97 | 89.43 |
| 54 | 29 | 9.36 | 21.97 | -66.97 |
| 55 | 29 | -30.64 | -35.98 | 69.83 |
| 55 | 35 | 30.64 | 35.98 | 3.70 |
| 56 | 6 | -5.60 | 46.90 | 8.52 |
| 56 | 12 | 5.60 | -46.90 | 4.91 |
| 57 | 12 | -1.52 | 27.54 | 1.87 |
| 57 | 18 | 1.52 | -27.54 | 1.79 |
| 58 | 18 | .00 | .00 | .65 |
| 58 | 24 | .00 | .00 | -.65 |
| 59 | 24 | 1.52 | -27.54 | -1.79 |
| 59 | 30 | -1.52 | 27.54 | -1.87 |
| 60 | 30 | 5.60 | -46.90 | -4.91 |
| 60 | 36 | -5.60 | 46.90 | -8.52 |

UZLOVE ZATIZENI (voľne uzly) (kN, kNm)

| UZEL | P-Z | M-X | M-Y |
|-------------------|-----|-----|-----|
| Nebylo definovano | | | |

REAKCE, (zatizeni v uvoľnenych smerech) (kN, kNm)

| UZEL | P-Z | M-X | M-Y |
|------|---------|-----|-----|
| 1 | -205.41 | .00 | .00 |
| 6 | -205.41 | .00 | .00 |
| 7 | -108.90 | .00 | .00 |
| 12 | -108.90 | .00 | .00 |
| 13 | -91.29 | .00 | .00 |
| 18 | -91.29 | .00 | .00 |
| 19 | -91.29 | .00 | .00 |
| 24 | -91.29 | .00 | .00 |
| 25 | -108.90 | .00 | .00 |
| 30 | -108.90 | .00 | .00 |
| 31 | -205.41 | .00 | .00 |
| 36 | -205.41 | .00 | .00 |

Soucet -1622.40 .00 DEFOR.DMP .00

POSUNUTI VOLNYCH UZLU (mm, mm/m)

| UZEL | V-Z | Fi-X | Fi-Y |
|------|------|------|------|
| 2 | 4.09 | -.38 | -.66 |
| 3 | 6.53 | -.60 | -.24 |
| 4 | 6.53 | -.60 | .24 |
| 5 | 4.09 | -.38 | .66 |
| 8 | 3.23 | -.30 | -.52 |
| 9 | 5.18 | -.48 | -.20 |
| 10 | 5.18 | -.48 | .20 |

Zatezovací stav : 1
OSTATNI STALA

POSUNUTI VOLNYCH UZLU (mm, mm/m)

| UZEL | V-Z | Fi-X | Fi-Y |
|------|------|------|------|
| 11 | 3.23 | -.30 | .52 |
| 14 | 2.72 | -.11 | -.44 |
| 15 | 4.37 | -.18 | -.17 |
| 16 | 4.37 | -.18 | .17 |
| 17 | 2.72 | -.11 | .44 |
| 20 | 2.72 | .11 | -.44 |
| 21 | 4.37 | .18 | -.17 |
| 22 | 4.37 | .18 | .17 |
| 23 | 2.72 | .11 | .44 |
| 26 | 3.23 | .30 | -.52 |
| 27 | 5.18 | .48 | -.20 |
| 28 | 5.18 | .48 | .20 |
| 29 | 3.23 | .30 | .52 |
| 32 | 4.09 | .38 | -.66 |
| 33 | 6.53 | .60 | -.24 |
| 34 | 6.53 | .60 | .24 |
| 35 | 4.09 | .38 | .66 |

POSUNUTI PODPOROVYCH UZLU (mm, mm/m)

| UZEL | V-Z | Fi-X | Fi-Y |
|------|-----|------|------|
| 1 | .00 | -.01 | -.83 |
| 6 | .00 | -.01 | .83 |
| 7 | .00 | .00 | -.66 |
| 12 | .00 | .00 | .66 |
| 13 | .00 | .00 | -.56 |
| 18 | .00 | .00 | .56 |
| 19 | .00 | .00 | -.56 |
| 24 | .00 | .00 | .56 |
| 25 | .00 | .00 | -.66 |
| 30 | .00 | .00 | .66 |
| 31 | .00 | .01 | -.83 |
| 36 | .00 | .01 | .83 |

Zatezovací stav : 2
NORMALNI

SILY V PRVCICH (kN, kNm)

- 22 -

| PRUT | UZEL | Q-y | DEFOR.DMP | |
|------|------|--------|-----------|---------|
| | | | M-x | M-y |
| 1 | 1 | -39.63 | -4.30 | -22.95 |
| 1 | 2 | 39.63 | 4.30 | 229.03 |
| 2 | 2 | -25.42 | -2.98 | -248.72 |
| 2 | 3 | 25.42 | 2.98 | 380.92 |
| 3 | 3 | .00 | .00 | -389.81 |
| 3 | 4 | .00 | .00 | 389.81 |
| 4 | 4 | 25.42 | 2.98 | -380.92 |
| 4 | 5 | -25.42 | -2.98 | 248.72 |
| 5 | 5 | 39.63 | 4.30 | -229.03 |
| 5 | 6 | -39.63 | -4.30 | 22.95 |
| 6 | 7 | -69.99 | -3.47 | 8.82 |
| 6 | 8 | 45.40 | 3.47 | 291.19 |
| 7 | 8 | -53.17 | -2.33 | -283.39 |
| 7 | 9 | 28.57 | 2.33 | 495.90 |
| 8 | 9 | -45.06 | .00 | -491.76 |
| 8 | 10 | -45.06 | .00 | 491.76 |
| 9 | 10 | 28.57 | 2.33 | -495.90 |
| 9 | 11 | -53.17 | -2.33 | 283.39 |
| 10 | 11 | 45.40 | 3.47 | -291.19 |
| 10 | 12 | -69.99 | -3.47 | -8.82 |
| 11 | 13 | -78.88 | -1.29 | 14.13 |
| 11 | 14 | 54.28 | 1.29 | 332.08 |
| 12 | 14 | -60.72 | -.82 | -320.19 |
| 12 | 15 | 36.12 | .82 | 571.99 |
| 13 | 15 | -45.06 | .00 | -567.23 |
| 13 | 16 | -45.06 | .00 | 567.23 |
| 14 | 16 | 36.12 | .82 | -571.99 |
| 14 | 17 | -60.72 | -.82 | 320.19 |
| 15 | 17 | 54.28 | 1.29 | -332.08 |
| 15 | 18 | -78.88 | -1.29 | -14.13 |
| 16 | 19 | -78.88 | 1.29 | 14.13 |
| 16 | 20 | 54.28 | -1.29 | 332.08 |
| 17 | 20 | -60.72 | .82 | -320.19 |
| 17 | 21 | 36.12 | -.82 | 571.99 |
| 18 | 21 | -45.06 | .00 | -567.23 |
| 18 | 22 | -45.06 | .00 | 567.23 |
| 19 | 22 | 36.12 | -.82 | -571.99 |
| 19 | 23 | -60.72 | .82 | 320.19 |
| 20 | 23 | 54.28 | -1.29 | -332.08 |
| 20 | 24 | -78.88 | 1.29 | -14.13 |
| 21 | 25 | -69.99 | 3.47 | 8.82 |
| 21 | 26 | 45.40 | -3.47 | 291.19 |
| 22 | 26 | -53.17 | 2.33 | -283.39 |
| 22 | 27 | 28.57 | -2.33 | 495.90 |
| 23 | 27 | -45.06 | .00 | -491.76 |
| 23 | 28 | -45.06 | .00 | 491.76 |
| 24 | 28 | 28.57 | -2.33 | -495.90 |
| 24 | 29 | -53.17 | 2.33 | 283.39 |
| 25 | 29 | 45.40 | -3.47 | -291.19 |
| 25 | 30 | -69.99 | 3.47 | -8.82 |
| 26 | 31 | -39.63 | 4.30 | -22.95 |

Zatezovací stav : 2
NORMALNI

SILY V PRVCICH (kN, kNm)

| PRUT | UZEL | Q-y | M-x | M-y |
|------|------|--------|-------|---------|
| 26 | 32 | 39.63 | -4.30 | 229.03 |
| 27 | 32 | -25.42 | 2.98 | -248.72 |
| 27 | 33 | 25.42 | -2.98 | 380.92 |
| 28 | 33 | .00 | .00 | -389.81 |
| 28 | 34 | .00 | .00 | 389.81 |

| | | DEFOR. DMP | | |
|----|----|------------|--------|---------|
| 29 | 34 | 25.42 | -2.98 | -380.92 |
| 29 | 35 | -25.42 | 2.98 | 248.72 |
| 30 | 35 | 39.63 | -4.30 | -229.03 |
| 30 | 36 | -39.63 | 4.30 | 22.95 |
| 31 | 1 | 2.83 | 22.95 | -4.30 |
| 31 | 7 | -2.83 | -22.95 | -2.50 |
| 32 | 7 | .80 | 14.13 | -.98 |
| 32 | 13 | -.80 | -14.13 | -.94 |
| 33 | 13 | .00 | .00 | -.34 |
| 33 | 19 | .00 | .00 | .34 |
| 34 | 19 | -.80 | -14.13 | .94 |
| 34 | 25 | .80 | 14.13 | .98 |
| 35 | 25 | -2.83 | -22.95 | 2.50 |
| 35 | 31 | 2.83 | 22.95 | 4.30 |
| 36 | 2 | -14.21 | 19.68 | 1.31 |
| 36 | 8 | 14.21 | -19.68 | 32.79 |
| 37 | 8 | -6.44 | 11.88 | -31.64 |
| 37 | 14 | 6.44 | -11.88 | 47.10 |
| 38 | 14 | .00 | .00 | -46.64 |
| 38 | 20 | .00 | .00 | 46.64 |
| 39 | 20 | 6.44 | -11.88 | -47.10 |
| 39 | 26 | -6.44 | 11.88 | 31.64 |
| 40 | 26 | 14.21 | -19.68 | -32.79 |
| 40 | 32 | -14.21 | 19.68 | -1.31 |
| 41 | 3 | -25.42 | 8.90 | 2.98 |
| 41 | 9 | 25.42 | -8.90 | 58.03 |
| 42 | 9 | -8.93 | 4.76 | -55.70 |
| 42 | 15 | 8.93 | -4.76 | 77.15 |
| 43 | 15 | .00 | .00 | -76.32 |
| 43 | 21 | .00 | .00 | 76.32 |
| 44 | 21 | 8.93 | -4.76 | -77.15 |
| 44 | 27 | -8.93 | 4.76 | 55.70 |
| 45 | 27 | 25.42 | -8.90 | -58.03 |
| 45 | 33 | -25.42 | 8.90 | -2.98 |
| 46 | 4 | -25.42 | -8.90 | 2.98 |
| 46 | 10 | 25.42 | 8.90 | 58.03 |
| 47 | 10 | -8.93 | -4.76 | -55.70 |
| 47 | 16 | 8.93 | 4.76 | 77.15 |
| 48 | 16 | .00 | .00 | -76.32 |
| 48 | 22 | .00 | .00 | 76.32 |
| 49 | 22 | 8.93 | 4.76 | -77.15 |
| 49 | 28 | -8.93 | -4.76 | 55.70 |
| 50 | 28 | 25.42 | 8.90 | -58.03 |
| 50 | 34 | -25.42 | -8.90 | -2.98 |
| 51 | 5 | -14.21 | -19.68 | 1.31 |
| 51 | 11 | 14.21 | 19.68 | 32.79 |

Zatezovací stav : 2
 NORMALNI

SILY V PRVCICH (kN, kNm)

| PRUT | UZEL | Q-y | M-x | M-y |
|------|------|--------|--------|--------|
| 52 | 11 | -6.44 | -11.88 | -31.64 |
| 52 | 17 | 6.44 | 11.88 | 47.10 |
| 53 | 17 | .00 | .00 | -46.64 |
| 53 | 23 | .00 | .00 | 46.64 |
| 54 | 23 | 6.44 | 11.88 | -47.10 |
| 54 | 29 | -6.44 | -11.88 | 31.64 |
| 55 | 29 | 14.21 | 19.68 | -32.79 |
| 55 | 35 | -14.21 | -19.68 | -1.31 |
| 56 | 6 | 2.83 | -22.95 | -4.30 |
| 56 | 12 | -2.83 | 22.95 | -2.50 |
| 57 | 12 | .80 | -14.13 | -.98 |
| 57 | 18 | -.80 | 14.13 | -.94 |

-34-

| DEFOR.DMP | | | | |
|-----------|----|-------|--------|------|
| 58 | 18 | .00 | .00 | -.34 |
| 58 | 24 | .00 | .00 | .34 |
| 59 | 24 | -.80 | 14.13 | .94 |
| 59 | 30 | .80 | -14.13 | .98 |
| 60 | 30 | -2.83 | 22.95 | 2.50 |
| 60 | 36 | 2.83 | -22.95 | 4.30 |

UZLOVE ZATIZENI (volne uzly) (kN, kNm)

| UZEL | P-Z | M-X | M-Y |
|-------------------|-----|-----|-----|
| Nebylo definovano | | | |

REAKCE, (zatizeni v uvolnenych smerech) (kN, kNm)

| UZEL | P-Z | M-X | M-Y |
|--------|---------|-----|-----|
| 1 | -36.80 | .00 | .00 |
| 6 | -36.80 | .00 | .00 |
| 7 | -72.02 | .00 | .00 |
| 12 | -72.02 | .00 | .00 |
| 13 | -79.68 | .00 | .00 |
| 18 | -79.68 | .00 | .00 |
| 19 | -79.68 | .00 | .00 |
| 24 | -79.68 | .00 | .00 |
| 25 | -72.02 | .00 | .00 |
| 30 | -72.02 | .00 | .00 |
| 31 | -36.80 | .00 | .00 |
| 36 | -36.80 | .00 | .00 |
| Soucet | -754.00 | .00 | .00 |

POSUNUTI VOLNYCH UZLU (mm, mm/m)

| UZEL | V-Z | Fi-X | Fi-Y |
|------|------|------|------|
| 2 | 1.45 | .19 | -.24 |
| 3 | 2.34 | .33 | -.09 |
| 4 | 2.34 | .33 | .09 |
| 5 | 1.45 | .19 | .24 |
| 8 | 1.89 | .15 | -.31 |
| 9 | 3.08 | .26 | -.12 |
| 10 | 3.08 | .26 | .12 |

Zatezovaci stav : 2
NORMALNI

POSUNUTI VOLNYCH UZLU (mm, mm/m)

| UZEL | V-Z | Fi-X | Fi-Y |
|------|------|------|------|
| 11 | 1.89 | .15 | .31 |
| 14 | 2.15 | .06 | -.35 |
| 15 | 3.51 | .09 | -.14 |
| 16 | 3.51 | .09 | .14 |
| 17 | 2.15 | .06 | .35 |
| 20 | 2.15 | -.06 | -.35 |
| 21 | 3.51 | -.09 | -.14 |
| 22 | 3.51 | -.09 | .14 |
| 23 | 2.15 | -.06 | .35 |
| 26 | 1.89 | -.15 | -.31 |
| 27 | 3.08 | -.26 | -.12 |
| 28 | 3.08 | -.26 | .12 |
| 29 | 1.89 | -.15 | .31 |

| | | | DEFOR.DMP |
|----|------|------|-----------|
| 32 | 1.45 | -.19 | -.24 |
| 33 | 2.34 | -.33 | -.09 |
| 34 | 2.34 | -.33 | .09 |
| 35 | 1.45 | -.19 | .24 |

POSUNUTI PODPOROVYCH UZLU (mm, mm/m)

| UZEL | V-Z | Fi-X | Fi-Y |
|------|-----|------|------|
| 1 | .00 | .00 | -.30 |
| 6 | .00 | .00 | .30 |
| 7 | .00 | .00 | -.38 |
| 12 | .00 | .00 | .38 |
| 13 | .00 | .00 | -.43 |
| 18 | .00 | .00 | .43 |
| 19 | .00 | .00 | -.43 |
| 24 | .00 | .00 | .43 |
| 25 | .00 | .00 | -.38 |
| 30 | .00 | .00 | .38 |
| 31 | .00 | .00 | -.30 |
| 36 | .00 | .00 | .30 |

Zatezovací stav : 3
VYHRADNI

SILY V PRVCICH (kN, kNm)

| PRUT | UZEL | Q-y | M-x | M-y |
|------|------|--------|-------|---------|
| 1 | 1 | 4.17 | -1.59 | -9.44 |
| 1 | 2 | -4.17 | 1.59 | -12.23 |
| 2 | 2 | 2.52 | -1.00 | 4.43 |
| 2 | 3 | -2.52 | 1.00 | -17.51 |
| 3 | 3 | .00 | .00 | 14.56 |
| 3 | 4 | .00 | .00 | -14.56 |
| 4 | 4 | -2.52 | 1.00 | 17.51 |
| 4 | 5 | 2.52 | -1.00 | -4.43 |
| 5 | 5 | -4.17 | 1.59 | 12.23 |
| 5 | 6 | 4.17 | -1.59 | 9.44 |
| 6 | 7 | -3.87 | -1.75 | -1.56 |
| 6 | 8 | 3.87 | 1.75 | 21.67 |
| 7 | 8 | -1.71 | -1.08 | -22.89 |
| 7 | 9 | 1.71 | 1.08 | 31.80 |
| 8 | 9 | .00 | .00 | -32.33 |
| 8 | 10 | .00 | .00 | 32.33 |
| 9 | 10 | 1.71 | 1.08 | -31.80 |
| 9 | 11 | -1.71 | -1.08 | 22.89 |
| 10 | 11 | 3.87 | 1.75 | -21.67 |
| 10 | 12 | -3.87 | -1.75 | 1.56 |
| 11 | 13 | -10.30 | -2.00 | -.59 |
| 11 | 14 | 10.30 | 2.00 | 54.14 |
| 12 | 14 | -5.97 | -1.33 | -55.54 |
| 12 | 15 | 5.97 | 1.33 | 86.58 |
| 13 | 15 | .00 | .00 | -87.71 |
| 13 | 16 | .00 | .00 | 87.71 |
| 14 | 16 | 5.97 | 1.33 | -86.58 |
| 14 | 17 | -5.97 | -1.33 | 55.54 |
| 15 | 17 | 10.30 | 2.00 | -54.14 |
| 15 | 18 | -10.30 | -2.00 | .59 |
| 16 | 19 | -14.89 | -1.94 | 2.06 |
| 16 | 20 | 14.89 | 1.94 | 75.39 |
| 17 | 20 | -16.44 | -1.68 | -74.15 |
| 17 | 21 | 16.44 | 1.68 | 159.63 |
| 18 | 21 | .00 | .00 | -161.08 |
| 18 | 22 | .00 | .00 | 161.08 |

| | | DEFOR.DMP | | |
|----|----|-----------|-------|---------|
| 19 | 22 | 16.44 | 1.68 | -159.63 |
| 19 | 23 | -16.44 | -1.68 | 74.15 |
| 20 | 23 | 14.89 | 1.94 | -75.39 |
| 20 | 24 | -14.89 | -1.94 | -2.06 |
| 21 | 25 | -16.28 | -1.36 | 2.86 |
| 21 | 26 | 16.28 | 1.36 | 81.80 |
| 22 | 26 | -24.97 | -.86 | -76.44 |
| 22 | 27 | 24.97 | .86 | 206.27 |
| 23 | 27 | -67.60 | .00 | -198.92 |
| 23 | 28 | -67.60 | .00 | 198.92 |
| 24 | 28 | 24.97 | .86 | -206.27 |
| 24 | 29 | -24.97 | -.86 | 76.44 |
| 25 | 29 | 16.28 | 1.36 | -81.80 |
| 25 | 30 | -16.28 | -1.36 | -2.86 |
| 26 | 31 | -26.43 | -.94 | 6.67 |

Zatezovací stav : 3
VYHRADNI

SILY V PRVCICH (kN, kNm)

| PRUT | UZEL | Q-y | M-x | M-y |
|------|------|--------|--------|---------|
| 26 | 32 | 26.43 | .94 | 130.75 |
| 27 | 32 | -21.03 | .12 | -126.94 |
| 27 | 33 | 21.03 | -.12 | 236.28 |
| 28 | 33 | .00 | .00 | -237.54 |
| 28 | 34 | .00 | .00 | 237.54 |
| 29 | 34 | 21.03 | -.12 | -236.28 |
| 29 | 35 | -21.03 | .12 | 126.94 |
| 30 | 35 | 26.43 | .94 | -130.75 |
| 30 | 36 | -26.43 | -.94 | -6.67 |
| 31 | 1 | 1.09 | 9.44 | -1.59 |
| 31 | 7 | -1.09 | -9.44 | -1.03 |
| 32 | 7 | .69 | 11.00 | -.73 |
| 32 | 13 | -.69 | -11.00 | -.93 |
| 33 | 13 | .89 | 11.59 | -1.08 |
| 33 | 19 | -.89 | -11.59 | -1.07 |
| 34 | 19 | .64 | 9.53 | -.88 |
| 34 | 25 | -.64 | -9.53 | -.67 |
| 35 | 25 | .68 | 6.67 | -.69 |
| 35 | 31 | -.68 | -6.67 | -.94 |
| 36 | 2 | 1.65 | 7.79 | .59 |
| 36 | 8 | -1.65 | -7.79 | -4.56 |
| 37 | 8 | -.50 | 9.01 | 5.23 |
| 37 | 14 | .50 | -9.01 | -4.02 |
| 38 | 14 | -4.83 | 10.41 | 4.70 |
| 38 | 20 | 4.83 | -10.41 | 6.90 |
| 39 | 20 | -3.29 | 9.17 | -6.63 |
| 39 | 26 | 3.29 | -9.17 | 14.52 |
| 40 | 26 | 5.40 | 3.82 | -14.01 |
| 40 | 32 | -5.40 | -3.82 | 1.06 |
| 41 | 3 | 2.52 | 2.96 | 1.00 |
| 41 | 9 | -2.52 | -2.96 | -7.04 |
| 42 | 9 | .80 | 3.49 | 8.12 |
| 42 | 15 | -.80 | -3.49 | -10.04 |
| 43 | 15 | -5.17 | 4.63 | 11.37 |
| 43 | 21 | 5.17 | -4.63 | 1.03 |
| 44 | 21 | -21.60 | 6.08 | .64 |
| 44 | 27 | 21.60 | -6.08 | 51.21 |
| 45 | 27 | 21.03 | -1.26 | -50.35 |
| 45 | 33 | -21.03 | 1.26 | -.12 |
| 46 | 4 | 2.52 | -2.96 | 1.00 |
| 46 | 10 | -2.52 | 2.96 | -7.04 |

| DEFOR.DMP | | | | |
|-----------|----|--------|-------|--------|
| 47 | 10 | .80 | -3.49 | 8.12 |
| 47 | 16 | -.80 | 3.49 | -10.04 |
| 48 | 16 | -5.17 | -4.63 | 11.37 |
| 48 | 22 | 5.17 | 4.63 | 1.03 |
| 49 | 22 | -21.60 | -6.08 | .64 |
| 49 | 28 | 21.60 | 6.08 | 51.21 |
| 50 | 28 | 21.03 | 1.26 | -50.35 |
| 50 | 34 | -21.03 | -1.26 | -.12 |
| 51 | 5 | 1.65 | -7.79 | .59 |
| 51 | 11 | -1.65 | 7.79 | -4.56 |

Zatezovací stav : 3
 VYHRADNI

SILY V PRVCICH (kN, kNm)

| PRUT | UZEL | Q-y | M-x | M-y |
|------|------|-------|--------|--------|
| 52 | 11 | -.50 | -9.01 | 5.23 |
| 52 | 17 | .50 | 9.01 | -4.02 |
| 53 | 17 | -4.83 | -10.41 | 4.70 |
| 53 | 23 | 4.83 | 10.41 | 6.90 |
| 54 | 23 | -3.29 | -9.17 | -6.63 |
| 54 | 29 | 3.29 | 9.17 | 14.52 |
| 55 | 29 | 5.40 | -3.82 | -14.01 |
| 55 | 35 | -5.40 | 3.82 | 1.06 |
| 56 | 6 | 1.09 | -9.44 | -1.59 |
| 56 | 12 | -1.09 | 9.44 | -1.03 |
| 57 | 12 | .69 | -11.00 | -.73 |
| 57 | 18 | -.69 | 11.00 | -.93 |
| 58 | 18 | .89 | -11.59 | -1.08 |
| 58 | 24 | -.89 | 11.59 | -1.07 |
| 59 | 24 | .64 | -9.53 | -.88 |
| 59 | 30 | -.64 | 9.53 | -.67 |
| 60 | 30 | .68 | -6.67 | -.69 |
| 60 | 36 | -.68 | 6.67 | -.94 |

UZLOVE ZATIZENI (volne uzly) (kN, kNm)

| UZEL | P-Z | M-X | M-Y |
|-------------------|-----|-----|-----|
| Nebylo definovano | | | |

REAKCE, (zatizeni v uvolnenych smerech) (kN, kNm)

| UZEL | P-Z | M-X | M-Y |
|--------|---------|-----|-----|
| 1 | 5.26 | .00 | .00 |
| 6 | 5.26 | .00 | .00 |
| 7 | -4.27 | .00 | .00 |
| 12 | -4.27 | .00 | .00 |
| 13 | -10.09 | .00 | .00 |
| 18 | -10.09 | .00 | .00 |
| 19 | -15.14 | .00 | .00 |
| 24 | -15.14 | .00 | .00 |
| 25 | -16.24 | .00 | .00 |
| 30 | -16.24 | .00 | .00 |
| 31 | -27.11 | .00 | .00 |
| 36 | -27.11 | .00 | .00 |
| Soucet | -135.20 | .00 | .00 |

POSUNUTI VOLNYCH UZLU (mm, mm/m)

| UZEL | V-Z | Fi-X | DEFOR.DMP |
|------|------|------|-----------|
| | | | Fi-Y |
| 2 | -.05 | .07 | .01 |
| 3 | -.09 | .12 | .00 |
| 4 | -.09 | .12 | .00 |
| 5 | -.05 | .07 | -.01 |
| 8 | .13 | .08 | -.02 |
| 9 | .20 | .13 | -.01 |
| 10 | .20 | .13 | .01 |

Zatezovací stav : 3
VYHRADNI

POSUNUTI VOLNYCH UZLU (mm, mm/m)

| UZEL | V-Z | Fi-X | Fi-Y |
|------|------|------|------|
| 11 | .13 | .08 | .02 |
| 14 | .33 | .09 | -.05 |
| 15 | .53 | .15 | -.02 |
| 16 | .53 | .15 | .02 |
| 17 | .33 | .09 | .05 |
| 20 | .55 | .09 | -.09 |
| 21 | .91 | .16 | -.04 |
| 22 | .91 | .16 | .04 |
| 23 | .55 | .09 | .09 |
| 26 | .73 | .06 | -.13 |
| 27 | 1.25 | .10 | -.06 |
| 28 | 1.25 | .10 | .06 |
| 29 | .73 | .06 | .13 |
| 32 | .84 | .04 | -.14 |
| 33 | 1.38 | .04 | -.06 |
| 34 | 1.38 | .04 | .06 |
| 35 | .84 | .04 | .14 |

POSUNUTI PODPOROVYCH UZLU (mm, mm/m)

| UZEL | V-Z | Fi-X | Fi-Y |
|------|-----|------|------|
| 1 | .00 | .00 | .01 |
| 6 | .00 | .00 | -.01 |
| 7 | .00 | .00 | -.03 |
| 12 | .00 | .00 | .03 |
| 13 | .00 | .00 | -.07 |
| 18 | .00 | .00 | .07 |
| 19 | .00 | .00 | -.11 |
| 24 | .00 | .00 | .11 |
| 25 | .00 | .00 | -.14 |
| 30 | .00 | .00 | .14 |
| 31 | .00 | .00 | -.17 |
| 36 | .00 | .00 | .17 |

Zatezovací stav : 4
VYJIMECNE

SILY V PRVCICH (kN, kNm)

| PRUT | UZEL | Q-y | M-x | M-y |
|------|------|--------|--------|---------|
| 1 | 1 | -47.60 | -11.91 | -66.69 |
| 1 | 2 | 47.60 | 11.91 | 314.23 |
| 2 | 2 | -32.60 | -7.42 | -368.83 |

| | | DEFOR.DMP | | |
|----|----|-----------|--------|----------|
| 2 | 3 | 32.60 | 7.42 | 538.34 |
| 3 | 3 | .00 | .00 | -558.48 |
| 3 | 4 | .00 | .00 | 558.48 |
| 4 | 4 | 32.60 | 7.42 | -538.34 |
| 4 | 5 | -32.60 | -7.42 | 368.83 |
| 5 | 5 | 47.60 | 11.91 | -314.23 |
| 5 | 6 | -47.60 | -11.91 | 66.69 |
| 6 | 7 | -114.40 | -11.28 | 11.12 |
| 6 | 8 | 114.40 | 11.28 | 583.75 |
| 7 | 8 | -60.64 | -6.41 | -569.02 |
| 7 | 9 | 60.64 | 6.41 | 884.32 |
| 8 | 9 | .00 | .00 | -877.60 |
| 8 | 10 | .00 | .00 | 877.60 |
| 9 | 10 | 60.64 | 6.41 | -884.32 |
| 9 | 11 | -60.64 | -6.41 | 569.02 |
| 10 | 11 | 114.40 | 11.28 | -583.75 |
| 10 | 12 | -114.40 | -11.28 | -11.12 |
| 11 | 13 | -231.90 | -5.21 | 55.57 |
| 11 | 14 | 74.34 | 5.21 | 740.64 |
| 12 | 14 | -143.11 | -2.68 | -700.78 |
| 12 | 15 | -14.45 | 2.68 | 1035.27 |
| 13 | 15 | -78.78 | .00 | -1021.86 |
| 13 | 16 | -78.78 | .00 | 1021.86 |
| 14 | 16 | -14.45 | 2.68 | -1035.27 |
| 14 | 17 | -143.11 | -2.68 | 700.78 |
| 15 | 17 | 74.34 | 5.21 | -740.64 |
| 15 | 18 | -231.90 | -5.21 | -55.57 |
| 16 | 19 | -231.90 | 5.21 | 55.57 |
| 16 | 20 | 74.34 | -5.21 | 740.64 |
| 17 | 20 | -143.11 | 2.68 | -700.78 |
| 17 | 21 | -14.45 | -2.68 | 1035.27 |
| 18 | 21 | -78.78 | .00 | -1021.86 |
| 18 | 22 | -78.78 | .00 | 1021.86 |
| 19 | 22 | -14.45 | -2.68 | -1035.27 |
| 19 | 23 | -143.11 | 2.68 | 700.78 |
| 20 | 23 | 74.34 | -5.21 | -740.64 |
| 20 | 24 | -231.90 | 5.21 | -55.57 |
| 21 | 25 | -114.40 | 11.28 | 11.12 |
| 21 | 26 | 114.40 | -11.28 | 583.75 |
| 22 | 26 | -60.64 | 6.41 | -569.02 |
| 22 | 27 | 60.64 | -6.41 | 884.32 |
| 23 | 27 | .00 | .00 | -877.60 |
| 23 | 28 | .00 | .00 | 877.60 |
| 24 | 28 | 60.64 | -6.41 | -884.32 |
| 24 | 29 | -60.64 | 6.41 | 569.02 |
| 25 | 29 | 114.40 | -11.28 | -583.75 |
| 25 | 30 | -114.40 | 11.28 | -11.12 |
| 26 | 31 | -47.60 | 11.91 | -66.69 |

□

Zatezovací stav : 4
VYJIMECNE

SILY V PRVCICH (kN, kNm)

| PRUT | UZEL | Q-y | M-x | M-y |
|------|------|--------|--------|---------|
| 26 | 32 | 47.60 | -11.91 | 314.23 |
| 27 | 32 | -32.60 | 7.42 | -368.83 |
| 27 | 33 | 32.60 | -7.42 | 538.34 |
| 28 | 33 | .00 | .00 | -558.48 |
| 28 | 34 | .00 | .00 | 558.48 |
| 29 | 34 | 32.60 | -7.42 | -538.34 |
| 29 | 35 | -32.60 | 7.42 | 368.83 |
| 30 | 35 | 47.60 | -11.91 | -314.23 |
| 30 | 36 | -47.60 | 11.91 | 66.69 |

| DEFOR.DMP | | | | |
|-----------|----|--------|--------|---------|
| 31 | 1 | 8.08 | 66.69 | -11.91 |
| 31 | 7 | -8.08 | -66.69 | -7.48 |
| 32 | 7 | 3.16 | 55.57 | -3.80 |
| 32 | 13 | -3.16 | -55.57 | -3.79 |
| 33 | 13 | .00 | .00 | -1.42 |
| 33 | 19 | .00 | .00 | 1.42 |
| 34 | 19 | -3.16 | -55.57 | 3.79 |
| 34 | 25 | 3.16 | 55.57 | 3.80 |
| 35 | 25 | -8.08 | -66.69 | 7.48 |
| 35 | 31 | 8.08 | 66.69 | 11.91 |
| 36 | 2 | -15.00 | 54.60 | -4.49 |
| 36 | 8 | 15.00 | -54.60 | 31.52 |
| 37 | 8 | -68.77 | 39.86 | -26.65 |
| 37 | 14 | 68.77 | -39.86 | 191.69 |
| 38 | 14 | .00 | .00 | -189.15 |
| 38 | 20 | .00 | .00 | 189.15 |
| 39 | 20 | 68.77 | -39.86 | -191.69 |
| 39 | 26 | -68.77 | 39.86 | 26.65 |
| 40 | 26 | 15.00 | -54.60 | -31.52 |
| 40 | 32 | -15.00 | 54.60 | -4.49 |
| 41 | 3 | -32.60 | 20.14 | 7.42 |
| 41 | 9 | 32.60 | -20.14 | 70.82 |
| 42 | 9 | -93.23 | 13.41 | -64.42 |
| 42 | 15 | 93.23 | -13.41 | 288.18 |
| 43 | 15 | .00 | .00 | -285.50 |
| 43 | 21 | .00 | .00 | 285.50 |
| 44 | 21 | 93.23 | -13.41 | -288.18 |
| 44 | 27 | -93.23 | 13.41 | 64.42 |
| 45 | 27 | 32.60 | -20.14 | -70.82 |
| 45 | 33 | -32.60 | 20.14 | -7.42 |
| 46 | 4 | -32.60 | -20.14 | 7.42 |
| 46 | 10 | 32.60 | 20.14 | 70.82 |
| 47 | 10 | -93.23 | -13.41 | -64.42 |
| 47 | 16 | 93.23 | 13.41 | 288.18 |
| 48 | 16 | .00 | .00 | -285.50 |
| 48 | 22 | .00 | .00 | 285.50 |
| 49 | 22 | 93.23 | 13.41 | -288.18 |
| 49 | 28 | -93.23 | -13.41 | 64.42 |
| 50 | 28 | 32.60 | 20.14 | -70.82 |
| 50 | 34 | -32.60 | -20.14 | -7.42 |
| 51 | 5 | -15.00 | -54.60 | 4.49 |
| 51 | 11 | 15.00 | 54.60 | 31.52 |

Zatezovací stav : 4
 VYJIMECNE

SILY V PRVCICH (kN, kNm)

| PRUT | UZEL | Q-y | M-x | M-y |
|------|------|--------|--------|---------|
| 52 | 11 | -68.77 | -39.86 | -26.65 |
| 52 | 17 | 68.77 | 39.86 | 191.69 |
| 53 | 17 | .00 | .00 | -189.15 |
| 53 | 23 | .00 | .00 | 189.15 |
| 54 | 23 | 68.77 | 39.86 | -191.69 |
| 54 | 29 | -68.77 | -39.86 | 26.65 |
| 55 | 29 | 15.00 | 54.60 | -31.52 |
| 55 | 35 | -15.00 | -54.60 | -4.49 |
| 56 | 6 | 8.08 | -66.69 | -11.91 |
| 56 | 12 | -8.08 | 66.69 | -7.48 |
| 57 | 12 | 3.16 | -55.57 | -3.80 |
| 57 | 18 | -3.16 | 55.57 | -3.79 |
| 58 | 18 | .00 | .00 | -1.42 |
| 58 | 24 | .00 | .00 | 1.42 |
| 59 | 24 | -3.16 | 55.57 | 3.79 |
| 59 | 30 | 3.16 | -55.57 | 3.80 |

-40-

| | | DEFOR.DMP | | |
|----|----|-----------|--------|-------|
| 60 | 30 | -8.08 | 66.69 | 7.48 |
| 60 | 36 | 8.08 | -66.69 | 11.91 |

UZLOVE ZATIZENI (voľne uzly) (kN, kNm)

| UZEL | P-Z | M-X | M-Y |
|------|-----|-----|-----|
|------|-----|-----|-----|

Nebylo definovano

REAKCE, (zatizeni v uvoľnenych smerech) (kN, kNm)

| UZEL | P-Z | M-X | M-Y |
|--------|----------|-----|-----|
| 1 | -39.53 | .00 | .00 |
| 6 | -39.53 | .00 | .00 |
| 7 | -119.31 | .00 | .00 |
| 12 | -119.31 | .00 | .00 |
| 13 | -235.06 | .00 | .00 |
| 18 | -235.06 | .00 | .00 |
| 19 | -235.06 | .00 | .00 |
| 24 | -235.06 | .00 | .00 |
| 25 | -119.31 | .00 | .00 |
| 30 | -119.31 | .00 | .00 |
| 31 | -39.53 | .00 | .00 |
| 36 | -39.53 | .00 | .00 |
| Soucet | -1575.60 | .00 | .00 |

POSUNUTI VOLNYCH UZLU (mm, mm/m)

| UZEL | V-Z | Fi-X | Fi-Y |
|------|------|------|------|
| 2 | 2.08 | .54 | -.34 |
| 3 | 3.36 | .87 | -.13 |
| 4 | 3.36 | .87 | .13 |
| 5 | 2.08 | .54 | .34 |
| 8 | 3.35 | .50 | -.54 |
| 9 | 5.38 | .79 | -.20 |
| 10 | 5.38 | .79 | .20 |

Zatezovací stav : 4
VYJIMECNE

POSUNUTI VOLNYCH UZLU (mm, mm/m)

| UZEL | V-Z | Fi-X | Fi-Y |
|------|------|------|------|
| 11 | 3.35 | .50 | .54 |
| 14 | 4.32 | .23 | -.69 |
| 15 | 6.88 | .35 | -.25 |
| 16 | 6.88 | .35 | .25 |
| 17 | 4.32 | .23 | .69 |
| 20 | 4.32 | -.23 | -.69 |
| 21 | 6.88 | -.35 | -.25 |
| 22 | 6.88 | -.35 | .25 |
| 23 | 4.32 | -.23 | .69 |
| 26 | 3.35 | -.50 | -.54 |
| 27 | 5.38 | -.79 | -.20 |
| 28 | 5.38 | -.79 | .20 |
| 29 | 3.35 | -.50 | .54 |
| 32 | 2.08 | -.54 | -.34 |
| 33 | 3.36 | -.87 | -.13 |
| 34 | 3.36 | -.87 | .13 |
| 35 | 2.08 | -.54 | .34 |

DEFOR.DMP

POSUNUTI PODPOROVYCH UZLU (mm, mm/m)

| UZEL | V-Z | Fi-X | Fi-Y |
|------|-----|------|------|
| 1 | .00 | .01 | -.43 |
| 6 | .00 | .01 | .43 |
| 7 | .00 | .00 | -.68 |
| 12 | .00 | .00 | .68 |
| 13 | .00 | .00 | -.88 |
| 18 | .00 | .00 | .88 |
| 19 | .00 | .00 | -.88 |
| 24 | .00 | .00 | .88 |
| 25 | .00 | .00 | -.68 |
| 30 | .00 | .00 | .68 |
| 31 | .00 | -.01 | -.43 |
| 36 | .00 | -.01 | .43 |

jIHLAVA ZNOJEMSKY MOST

VNITRNI SILY V PODROBNYCH BODECH PRUTU (kN, kNm)

| PRUT | ZS | x-l0k | Q-z | M-x | M-y |
|------|----|-------|---------|-------|----------|
| 1 | 1 | .000 | -199.81 | -8.52 | 46.90 |
| 1 | 1 | 2.600 | -144.69 | -8.52 | -400.96 |
| 1 | 1 | 5.200 | -89.57 | -8.52 | -705.50 |
| 1 | 2 | .000 | -39.63 | 4.30 | -22.95 |
| 1 | 2 | 2.600 | -39.63 | 4.30 | -125.99 |
| 1 | 2 | 5.200 | -39.63 | 4.30 | -229.03 |
| 1 | 3 | .000 | 4.17 | 1.59 | -9.44 |
| 1 | 3 | 2.600 | 4.17 | 1.59 | 1.40 |
| 1 | 3 | 5.200 | 4.17 | 1.59 | 12.23 |
| 1 | 4 | .000 | -47.60 | 11.91 | -66.69 |
| 1 | 4 | 2.600 | -47.60 | 11.91 | -190.46 |
| 1 | 4 | 5.200 | -47.60 | 11.91 | -314.23 |
| 2 | 1 | .000 | -120.21 | -4.82 | -669.52 |
| 2 | 1 | 2.600 | -65.09 | -4.82 | -910.41 |
| 2 | 1 | 5.200 | -9.97 | -4.82 | -1007.98 |
| 2 | 2 | .000 | -25.42 | 2.98 | -248.72 |
| 2 | 2 | 2.600 | -25.42 | 2.98 | -314.82 |
| 2 | 2 | 5.200 | -25.42 | 2.98 | -380.92 |
| 2 | 3 | .000 | 2.52 | 1.00 | 4.43 |
| 2 | 3 | 2.600 | 2.52 | 1.00 | 10.97 |
| 2 | 3 | 5.200 | 2.52 | 1.00 | 17.51 |
| 2 | 4 | .000 | -32.60 | 7.42 | -368.83 |
| 2 | 4 | 2.600 | -32.60 | 7.42 | -453.59 |
| 2 | 4 | 5.200 | -32.60 | 7.42 | -538.34 |
| 3 | 1 | .000 | -55.12 | .00 | -995.36 |
| 3 | 1 | 2.600 | .00 | .00 | -1067.02 |
| 3 | 1 | 5.200 | 55.12 | .00 | -995.36 |
| 3 | 2 | .000 | .00 | .00 | -389.81 |
| 3 | 2 | 2.600 | .00 | .00 | -389.81 |
| 3 | 2 | 5.200 | .00 | .00 | -389.81 |
| 3 | 3 | .000 | .00 | .00 | 14.56 |
| 3 | 3 | 2.600 | .00 | .00 | 14.56 |
| 3 | 3 | 5.200 | .00 | .00 | 14.56 |
| 3 | 4 | .000 | .00 | .00 | -558.48 |
| 3 | 4 | 2.600 | .00 | .00 | -558.48 |
| 3 | 4 | 5.200 | .00 | .00 | -558.48 |
| 4 | 1 | .000 | 9.97 | 4.82 | -1007.98 |
| 4 | 1 | 2.600 | 65.09 | 4.82 | -910.41 |
| 4 | 1 | 5.200 | 120.21 | 4.82 | -669.52 |

-42-

| | | | | DEFOR.DMP | |
|-------|---|-------|-------|-----------|---------|
| 4 | 2 | .000 | 25.42 | -2.98 | -380.92 |
| 4 | 2 | 2.600 | 25.42 | -2.98 | -314.82 |
| 4 | 2 | 5.200 | 25.42 | -2.98 | -248.72 |
| 4 | 3 | .000 | -2.52 | -1.00 | 17.51 |
| 4 | 3 | 2.600 | -2.52 | -1.00 | 10.97 |
| 4 | 3 | 5.200 | -2.52 | -1.00 | 4.43 |
| 4 | 4 | .000 | 32.60 | -7.42 | -538.34 |
| 4 | 4 | 2.600 | 32.60 | -7.42 | -453.59 |
| 4 | 4 | 5.200 | 32.60 | -7.42 | -368.83 |
| ----- | | | | | |
| 5 | 1 | .000 | 89.57 | 8.52 | -705.50 |

 VNITRNI SILY V PODROBNYCH BODECH PRUTU (kN, kNm)

| PRUT | ZS | x-l0k | Q-z | M-x | M-y |
|-------|----|-------|---------|--------|---------|
| 5 | 1 | 2.600 | 144.69 | 8.52 | -400.96 |
| 5 | 1 | 5.200 | 199.81 | 8.52 | 46.90 |
| 5 | 2 | .000 | 39.63 | -4.30 | -229.03 |
| 5 | 2 | 2.600 | 39.63 | -4.30 | -125.99 |
| 5 | 2 | 5.200 | 39.63 | -4.30 | -22.95 |
| 5 | 3 | .000 | -4.17 | -1.59 | 12.23 |
| 5 | 3 | 2.600 | -4.17 | -1.59 | 1.40 |
| 5 | 3 | 5.200 | -4.17 | -1.59 | -9.44 |
| 5 | 4 | .000 | 47.60 | -11.91 | -314.23 |
| 5 | 4 | 2.600 | 47.60 | -11.91 | -190.46 |
| 5 | 4 | 5.200 | 47.60 | -11.91 | -66.69 |
| ----- | | | | | |
| 6 | 1 | .000 | -112.97 | -6.78 | -19.35 |
| 6 | 1 | 2.600 | -99.97 | -6.78 | -296.18 |
| 6 | 1 | 5.200 | -86.97 | -6.78 | -539.21 |
| 6 | 2 | .000 | -69.99 | 3.47 | 8.82 |
| 6 | 2 | 2.600 | -57.69 | 3.47 | -157.17 |
| 6 | 2 | 5.200 | -45.40 | 3.47 | -291.19 |
| 6 | 3 | .000 | -3.87 | 1.75 | -1.56 |
| 6 | 3 | 2.600 | -3.87 | 1.75 | -11.62 |
| 6 | 3 | 5.200 | -3.87 | 1.75 | -21.67 |
| 6 | 4 | .000 | -114.40 | 11.28 | 11.12 |
| 6 | 4 | 2.600 | -114.40 | 11.28 | -286.32 |
| 6 | 4 | 5.200 | -114.40 | 11.28 | -583.75 |
| ----- | | | | | |
| 7 | 1 | .000 | -65.69 | -3.92 | -553.22 |
| 7 | 1 | 2.600 | -52.69 | -3.92 | -707.12 |
| 7 | 1 | 5.200 | -39.69 | -3.92 | -827.22 |
| 7 | 2 | .000 | -53.17 | 2.33 | -283.39 |
| 7 | 2 | 2.600 | -40.87 | 2.33 | -405.63 |
| 7 | 2 | 5.200 | -28.57 | 2.33 | -495.90 |
| 7 | 3 | .000 | -1.71 | 1.08 | -22.89 |
| 7 | 3 | 2.600 | -1.71 | 1.08 | -27.34 |
| 7 | 3 | 5.200 | -1.71 | 1.08 | -31.80 |
| 7 | 4 | .000 | -60.64 | 6.41 | -569.02 |
| 7 | 4 | 2.600 | -60.64 | 6.41 | -726.67 |
| 7 | 4 | 5.200 | -60.64 | 6.41 | -884.32 |
| ----- | | | | | |
| 8 | 1 | .000 | -13.00 | .00 | -831.77 |
| 8 | 1 | 2.600 | .00 | .00 | -848.67 |
| 8 | 1 | 5.200 | 13.00 | .00 | -831.77 |
| 8 | 2 | .000 | -45.06 | .00 | -491.76 |
| 8 | 2 | 2.600 | .00 | .00 | -550.34 |
| 8 | 2 | 5.200 | 45.06 | .00 | -491.76 |
| 8 | 3 | .000 | .00 | .00 | -32.33 |
| 8 | 3 | 2.600 | .00 | .00 | -32.33 |
| 8 | 3 | 5.200 | .00 | .00 | -32.33 |
| 8 | 4 | .000 | .00 | .00 | -877.60 |
| 8 | 4 | 2.600 | .00 | .00 | -877.60 |
| 8 | 4 | 5.200 | .00 | .00 | -877.60 |

-45

DEFOR.DMP

| | | | | | |
|---|---|-------|-------|------|---------|
| 9 | 1 | .000 | 39.69 | 3.92 | -827.22 |
| 9 | 1 | 2.600 | 52.69 | 3.92 | -707.12 |

VNITRNI SILY V PODROBNYCH BODECH PRUTU (kN, kNm)

| PRUT | ZS | x-lok | Q-z | M-x | M-y |
|------|----|-------|---------|--------|----------|
| 9 | 1 | 5.200 | 65.69 | 3.92 | -553.22 |
| 9 | 2 | .000 | 28.57 | -2.33 | -495.90 |
| 9 | 2 | 2.600 | 40.87 | -2.33 | -405.63 |
| 9 | 2 | 5.200 | 53.17 | -2.33 | -283.39 |
| 9 | 3 | .000 | 1.71 | -1.08 | -31.80 |
| 9 | 3 | 2.600 | 1.71 | -1.08 | -27.34 |
| 9 | 3 | 5.200 | 1.71 | -1.08 | -22.89 |
| 9 | 4 | .000 | 60.64 | -6.41 | -884.32 |
| 9 | 4 | 2.600 | 60.64 | -6.41 | -726.67 |
| 9 | 4 | 5.200 | 60.64 | -6.41 | -569.02 |
| 10 | 1 | .000 | 86.97 | 6.78 | -539.21 |
| 10 | 1 | 2.600 | 99.97 | 6.78 | -296.18 |
| 10 | 1 | 5.200 | 112.97 | 6.78 | -19.35 |
| 10 | 2 | .000 | 45.40 | -3.47 | -291.19 |
| 10 | 2 | 2.600 | 57.69 | -3.47 | -157.17 |
| 10 | 2 | 5.200 | 69.99 | -3.47 | 8.82 |
| 10 | 3 | .000 | 3.87 | -1.75 | -21.67 |
| 10 | 3 | 2.600 | 3.87 | -1.75 | -11.62 |
| 10 | 3 | 5.200 | 3.87 | -1.75 | -1.56 |
| 10 | 4 | .000 | 114.40 | -11.28 | -583.75 |
| 10 | 4 | 2.600 | 114.40 | -11.28 | -286.32 |
| 10 | 4 | 5.200 | 114.40 | -11.28 | 11.12 |
| 11 | 1 | .000 | -92.82 | -2.44 | -27.54 |
| 11 | 1 | 2.600 | -79.82 | -2.44 | -251.97 |
| 11 | 1 | 5.200 | -66.82 | -2.44 | -442.59 |
| 11 | 2 | .000 | -78.88 | 1.29 | 14.13 |
| 11 | 2 | 2.600 | -66.58 | 1.29 | -174.96 |
| 11 | 2 | 5.200 | -54.28 | 1.29 | -332.08 |
| 11 | 3 | .000 | -10.30 | 2.00 | -.59 |
| 11 | 3 | 2.600 | -10.30 | 2.00 | -27.36 |
| 11 | 3 | 5.200 | -10.30 | 2.00 | -54.14 |
| 11 | 4 | .000 | -231.90 | 5.21 | 55.57 |
| 11 | 4 | 2.600 | -153.12 | 5.21 | -444.95 |
| 11 | 4 | 5.200 | -74.34 | 5.21 | -740.64 |
| 12 | 1 | .000 | -57.46 | -1.50 | -464.55 |
| 12 | 1 | 2.600 | -44.46 | -1.50 | -597.04 |
| 12 | 1 | 5.200 | -31.46 | -1.50 | -695.74 |
| 12 | 2 | .000 | -60.72 | .82 | -320.19 |
| 12 | 2 | 2.600 | -48.42 | .82 | -462.08 |
| 12 | 2 | 5.200 | -36.12 | .82 | -571.99 |
| 12 | 3 | .000 | -5.97 | 1.33 | -55.54 |
| 12 | 3 | 2.600 | -5.97 | 1.33 | -71.06 |
| 12 | 3 | 5.200 | -5.97 | 1.33 | -86.58 |
| 12 | 4 | .000 | -143.11 | 2.68 | -700.78 |
| 12 | 4 | 2.600 | -64.33 | 2.68 | -970.44 |
| 12 | 4 | 5.200 | 14.45 | 2.68 | -1035.27 |
| 13 | 1 | .000 | -13.00 | .00 | -703.81 |
| 13 | 1 | 2.600 | .00 | .00 | -720.71 |
| 13 | 1 | 5.200 | 13.00 | .00 | -703.81 |

VNITRNI SILY V PODROBNYCH BODECH PRUTU (kN, kNm)

-111-

| PRUT | ZS | x-lok | Q-z | DEFOR. DMP | |
|-------|----|-------|---------|------------|----------|
| | | | | M-x | M-y |
| 13 | 2 | .000 | -45.06 | .00 | -567.23 |
| 13 | 2 | 2.600 | .00 | .00 | -625.80 |
| 13 | 2 | 5.200 | 45.06 | .00 | -567.23 |
| 13 | 3 | .000 | .00 | .00 | -87.71 |
| 13 | 3 | 2.600 | .00 | .00 | -87.71 |
| 13 | 3 | 5.200 | .00 | .00 | -87.71 |
| 13 | 4 | .000 | -78.78 | .00 | -1021.86 |
| 13 | 4 | 2.600 | .00 | .00 | -1124.27 |
| 13 | 4 | 5.200 | 78.78 | .00 | -1021.86 |
| ----- | | | | | |
| 14 | 1 | .000 | 31.46 | 1.50 | -695.74 |
| 14 | 1 | 2.600 | 44.46 | 1.50 | -597.04 |
| 14 | 1 | 5.200 | 57.46 | 1.50 | -464.55 |
| 14 | 2 | .000 | 36.12 | -.82 | -571.99 |
| 14 | 2 | 2.600 | 48.42 | -.82 | -462.08 |
| 14 | 2 | 5.200 | 60.72 | -.82 | -320.19 |
| 14 | 3 | .000 | 5.97 | -1.33 | -86.58 |
| 14 | 3 | 2.600 | 5.97 | -1.33 | -71.06 |
| 14 | 3 | 5.200 | 5.97 | -1.33 | -55.54 |
| 14 | 4 | .000 | -14.45 | -2.68 | -1035.27 |
| 14 | 4 | 2.600 | 64.33 | -2.68 | -970.44 |
| 14 | 4 | 5.200 | 143.11 | -2.68 | -700.78 |
| ----- | | | | | |
| 15 | 1 | .000 | 66.82 | 2.44 | -442.59 |
| 15 | 1 | 2.600 | 79.82 | 2.44 | -251.97 |
| 15 | 1 | 5.200 | 92.82 | 2.44 | -27.54 |
| 15 | 2 | .000 | 54.28 | -1.29 | -332.08 |
| 15 | 2 | 2.600 | 66.58 | -1.29 | -174.96 |
| 15 | 2 | 5.200 | 78.88 | -1.29 | 14.13 |
| 15 | 3 | .000 | 10.30 | -2.00 | -54.14 |
| 15 | 3 | 2.600 | 10.30 | -2.00 | -27.36 |
| 15 | 3 | 5.200 | 10.30 | -2.00 | -.59 |
| 15 | 4 | .000 | 74.34 | -5.21 | -740.64 |
| 15 | 4 | 2.600 | 153.12 | -5.21 | -444.95 |
| 15 | 4 | 5.200 | 231.90 | -5.21 | 55.57 |
| ----- | | | | | |
| 16 | 1 | .000 | -92.82 | 2.44 | -27.54 |
| 16 | 1 | 2.600 | -79.82 | 2.44 | -251.97 |
| 16 | 1 | 5.200 | -66.82 | 2.44 | -442.59 |
| 16 | 2 | .000 | -78.88 | -1.29 | 14.13 |
| 16 | 2 | 2.600 | -66.58 | -1.29 | -174.96 |
| 16 | 2 | 5.200 | -54.28 | -1.29 | -332.08 |
| 16 | 3 | .000 | -14.89 | 1.94 | 2.06 |
| 16 | 3 | 2.600 | -14.89 | 1.94 | -36.66 |
| 16 | 3 | 5.200 | -14.89 | 1.94 | -75.39 |
| 16 | 4 | .000 | -231.90 | -5.21 | 55.57 |
| 16 | 4 | 2.600 | -153.12 | -5.21 | -444.95 |
| 16 | 4 | 5.200 | -74.34 | -5.21 | -740.64 |
| ----- | | | | | |
| 17 | 1 | .000 | -57.46 | 1.50 | -464.55 |
| 17 | 1 | 2.600 | -44.46 | 1.50 | -597.04 |
| 17 | 1 | 5.200 | -31.46 | 1.50 | -695.74 |
| 17 | 2 | .000 | -60.72 | -.82 | -320.19 |

VNITRNI SILY V PODROBNYCH BODECH PRUTU (kN, kNm)

| PRUT | ZS | x-lok | Q-z | M-x | M-y |
|------|----|-------|---------|-------|---------|
| 17 | 2 | 2.600 | -48.42 | -.82 | -462.08 |
| 17 | 2 | 5.200 | -36.12 | -.82 | -571.99 |
| 17 | 3 | .000 | -16.44 | 1.68 | -74.15 |
| 17 | 3 | 2.600 | -16.44 | 1.68 | -116.89 |
| 17 | 3 | 5.200 | -16.44 | 1.68 | -159.63 |
| 17 | 4 | .000 | -143.11 | -2.68 | -700.78 |
| 17 | 4 | 2.600 | -64.33 | -2.68 | -970.44 |

-45

| | | | | DEFOR.DMP | |
|----|---|-------|---------|-----------|----------|
| 17 | 4 | 5.200 | 14.45 | -2.68 | -1035.27 |
| 18 | 1 | .000 | -13.00 | .00 | -703.81 |
| 18 | 1 | 2.600 | .00 | .00 | -720.71 |
| 18 | 1 | 5.200 | 13.00 | .00 | -703.81 |
| 18 | 2 | .000 | -45.06 | .00 | -567.23 |
| 18 | 2 | 2.600 | .00 | .00 | -625.80 |
| 18 | 2 | 5.200 | 45.06 | .00 | -567.23 |
| 18 | 3 | .000 | .00 | .00 | -161.08 |
| 18 | 3 | 2.600 | .00 | .00 | -161.08 |
| 18 | 3 | 5.200 | .00 | .00 | -161.08 |
| 18 | 4 | .000 | -78.78 | .00 | -1021.86 |
| 18 | 4 | 2.600 | .00 | .00 | -1124.27 |
| 18 | 4 | 5.200 | 78.78 | .00 | -1021.86 |
| 19 | 1 | .000 | 31.46 | -1.50 | -695.74 |
| 19 | 1 | 2.600 | 44.46 | -1.50 | -597.04 |
| 19 | 1 | 5.200 | 57.46 | -1.50 | -464.55 |
| 19 | 2 | .000 | 36.12 | .82 | -571.99 |
| 19 | 2 | 2.600 | 48.42 | .82 | -462.08 |
| 19 | 2 | 5.200 | 60.72 | .82 | -320.19 |
| 19 | 3 | .000 | 16.44 | -1.68 | -159.63 |
| 19 | 3 | 2.600 | 16.44 | -1.68 | -116.89 |
| 19 | 3 | 5.200 | 16.44 | -1.68 | -74.15 |
| 19 | 4 | .000 | -14.45 | 2.68 | -1035.27 |
| 19 | 4 | 2.600 | 64.33 | 2.68 | -970.44 |
| 19 | 4 | 5.200 | 143.11 | 2.68 | -700.78 |
| 20 | 1 | .000 | 66.82 | -2.44 | -442.59 |
| 20 | 1 | 2.600 | 79.82 | -2.44 | -251.97 |
| 20 | 1 | 5.200 | 92.82 | -2.44 | -27.54 |
| 20 | 2 | .000 | 54.28 | 1.29 | -332.08 |
| 20 | 2 | 2.600 | 66.58 | 1.29 | -174.96 |
| 20 | 2 | 5.200 | 78.88 | 1.29 | 14.13 |
| 20 | 3 | .000 | 14.89 | -1.94 | -75.39 |
| 20 | 3 | 2.600 | 14.89 | -1.94 | -36.66 |
| 20 | 3 | 5.200 | 14.89 | -1.94 | 2.06 |
| 20 | 4 | .000 | 74.34 | 5.21 | -740.64 |
| 20 | 4 | 2.600 | 153.12 | 5.21 | -444.95 |
| 20 | 4 | 5.200 | 231.90 | 5.21 | 55.57 |
| 21 | 1 | .000 | -112.97 | 6.78 | -19.35 |
| 21 | 1 | 2.600 | -99.97 | 6.78 | -296.18 |
| 21 | 1 | 5.200 | -86.97 | 6.78 | -539.21 |
| 21 | 2 | .000 | -69.99 | -3.47 | 8.82 |
| 21 | 2 | 2.600 | -57.69 | -3.47 | -157.17 |

VNITRNI SILY V PODROBNYCH BODECH PRUTU (kN, kNm)

| PRUT | ZS | x-łok | Q-z | M-x | M-y |
|------|----|-------|---------|--------|---------|
| 21 | 2 | 5.200 | -45.40 | -3.47 | -291.19 |
| 21 | 3 | .000 | -16.28 | 1.36 | 2.86 |
| 21 | 3 | 2.600 | -16.28 | 1.36 | -39.47 |
| 21 | 3 | 5.200 | -16.28 | 1.36 | -81.80 |
| 21 | 4 | .000 | -114.40 | -11.28 | 11.12 |
| 21 | 4 | 2.600 | -114.40 | -11.28 | -286.32 |
| 21 | 4 | 5.200 | -114.40 | -11.28 | -583.75 |
| 22 | 1 | .000 | -65.69 | 3.92 | -553.22 |
| 22 | 1 | 2.600 | -52.69 | 3.92 | -707.12 |
| 22 | 1 | 5.200 | -39.69 | 3.92 | -827.22 |
| 22 | 2 | .000 | -53.17 | -2.33 | -283.39 |
| 22 | 2 | 2.600 | -40.87 | -2.33 | -405.63 |
| 22 | 2 | 5.200 | -28.57 | -2.33 | -495.90 |
| 22 | 3 | .000 | -24.97 | .86 | -76.44 |

- 70 -

| DEFOR. DMP | | | | | |
|------------|---|-------|--------|-------|---------|
| 22 | 3 | 2.600 | -24.97 | .86 | -141.36 |
| 22 | 3 | 5.200 | -24.97 | .86 | -206.27 |
| 22 | 4 | .000 | -60.64 | -6.41 | -569.02 |
| 22 | 4 | 2.600 | -60.64 | -6.41 | -726.67 |
| 22 | 4 | 5.200 | -60.64 | -6.41 | -884.32 |
| ----- | | | | | |
| 23 | 1 | .000 | -13.00 | .00 | -831.77 |
| 23 | 1 | 2.600 | .00 | .00 | -848.67 |
| 23 | 1 | 5.200 | 13.00 | .00 | -831.77 |
| 23 | 2 | .000 | -45.06 | .00 | -491.76 |
| 23 | 2 | 2.600 | .00 | .00 | -550.34 |
| 23 | 2 | 5.200 | 45.06 | .00 | -491.76 |
| 23 | 3 | .000 | -67.60 | .00 | -198.92 |
| 23 | 3 | 2.600 | .00 | .00 | -286.80 |
| 23 | 3 | 5.200 | 67.60 | .00 | -198.92 |
| 23 | 4 | .000 | .00 | .00 | -877.60 |
| 23 | 4 | 2.600 | .00 | .00 | -877.60 |
| 23 | 4 | 5.200 | .00 | .00 | -877.60 |
| ----- | | | | | |
| 24 | 1 | .000 | 39.69 | -3.92 | -827.22 |
| 24 | 1 | 2.600 | 52.69 | -3.92 | -707.12 |
| 24 | 1 | 5.200 | 65.69 | -3.92 | -553.22 |
| 24 | 2 | .000 | 28.57 | 2.33 | -495.90 |
| 24 | 2 | 2.600 | 40.87 | 2.33 | -405.63 |
| 24 | 2 | 5.200 | 53.17 | 2.33 | -283.39 |
| 24 | 3 | .000 | 24.97 | -.86 | -206.27 |
| 24 | 3 | 2.600 | 24.97 | -.86 | -141.36 |
| 24 | 3 | 5.200 | 24.97 | -.86 | -76.44 |
| 24 | 4 | .000 | 60.64 | 6.41 | -884.32 |
| 24 | 4 | 2.600 | 60.64 | 6.41 | -726.67 |
| 24 | 4 | 5.200 | 60.64 | 6.41 | -569.02 |
| ----- | | | | | |
| 25 | 1 | .000 | 86.97 | -6.78 | -539.21 |
| 25 | 1 | 2.600 | 99.97 | -6.78 | -296.18 |
| 25 | 1 | 5.200 | 112.97 | -6.78 | -19.35 |
| 25 | 2 | .000 | 45.40 | 3.47 | -291.19 |
| 25 | 2 | 2.600 | 57.69 | 3.47 | -157.17 |
| 25 | 2 | 5.200 | 69.99 | 3.47 | 8.82 |

VNITRNI SILY V PODROBNYCH BODECH PRUTU (kN, kNm)

| PRUT | ZS | x-łok | Q-z | M-x | M-y |
|-------|----|-------|---------|--------|----------|
| 25 | 3 | .000 | 16.28 | -1.36 | -81.80 |
| 25 | 3 | 2.600 | 16.28 | -1.36 | -39.47 |
| 25 | 3 | 5.200 | 16.28 | -1.36 | 2.86 |
| 25 | 4 | .000 | 114.40 | 11.28 | -583.75 |
| 25 | 4 | 2.600 | 114.40 | 11.28 | -286.32 |
| 25 | 4 | 5.200 | 114.40 | 11.28 | 11.12 |
| ----- | | | | | |
| 26 | 1 | .000 | -199.81 | 8.52 | 46.90 |
| 26 | 1 | 2.600 | -144.69 | 8.52 | -400.96 |
| 26 | 1 | 5.200 | -89.57 | 8.52 | -705.50 |
| 26 | 2 | .000 | -39.63 | -4.30 | -22.95 |
| 26 | 2 | 2.600 | -39.63 | -4.30 | -125.99 |
| 26 | 2 | 5.200 | -39.63 | -4.30 | -229.03 |
| 26 | 3 | .000 | -26.43 | .94 | 6.67 |
| 26 | 3 | 2.600 | -26.43 | .94 | -62.04 |
| 26 | 3 | 5.200 | -26.43 | .94 | -130.75 |
| 26 | 4 | .000 | -47.60 | -11.91 | -66.69 |
| 26 | 4 | 2.600 | -47.60 | -11.91 | -190.46 |
| 26 | 4 | 5.200 | -47.60 | -11.91 | -314.23 |
| ----- | | | | | |
| 27 | 1 | .000 | -120.21 | 4.82 | -669.52 |
| 27 | 1 | 2.600 | -65.09 | 4.82 | -910.41 |
| 27 | 1 | 5.200 | -9.97 | 4.82 | -1007.98 |
| 27 | 2 | .000 | -25.42 | -2.98 | -248.72 |

-47-

| | | | | DEFOR. DMP | |
|-------|---|-------|--------|------------|----------|
| 27 | 2 | 2.600 | -25.42 | -2.98 | -314.82 |
| 27 | 2 | 5.200 | -25.42 | -2.98 | -380.92 |
| 27 | 3 | .000 | -21.03 | -.12 | -126.94 |
| 27 | 3 | 2.600 | -21.03 | -.12 | -181.61 |
| 27 | 3 | 5.200 | -21.03 | -.12 | -236.28 |
| 27 | 4 | .000 | -32.60 | -7.42 | -368.83 |
| 27 | 4 | 2.600 | -32.60 | -7.42 | -453.59 |
| 27 | 4 | 5.200 | -32.60 | -7.42 | -538.34 |
| ----- | | | | | |
| 28 | 1 | .000 | -55.12 | .00 | -995.36 |
| 28 | 1 | 2.600 | .00 | .00 | -1067.02 |
| 28 | 1 | 5.200 | 55.12 | .00 | -995.36 |
| 28 | 2 | .000 | .00 | .00 | -389.81 |
| 28 | 2 | 2.600 | .00 | .00 | -389.81 |
| 28 | 2 | 5.200 | .00 | .00 | -389.81 |
| 28 | 3 | .000 | .00 | .00 | -237.54 |
| 28 | 3 | 2.600 | .00 | .00 | -237.54 |
| 28 | 3 | 5.200 | .00 | .00 | -237.54 |
| 28 | 4 | .000 | .00 | .00 | -558.48 |
| 28 | 4 | 2.600 | .00 | .00 | -558.48 |
| 28 | 4 | 5.200 | .00 | .00 | -558.48 |
| ----- | | | | | |
| 29 | 1 | .000 | 9.97 | -4.82 | -1007.98 |
| 29 | 1 | 2.600 | 65.09 | -4.82 | -910.41 |
| 29 | 1 | 5.200 | 120.21 | -4.82 | -669.52 |
| 29 | 2 | .000 | 25.42 | 2.98 | -380.92 |
| 29 | 2 | 2.600 | 25.42 | 2.98 | -314.82 |
| 29 | 2 | 5.200 | 25.42 | 2.98 | -248.72 |
| 29 | 3 | .000 | 21.03 | .12 | -236.28 |

VNITRNI SILY V PODROBNYCH BODECH PRUTU (kN, kNm)

| PRUT | ZS | x-lok | Q-z | M-x | M-y |
|-------|----|-------|--------|-------|---------|
| 29 | 3 | 2.600 | 21.03 | .12 | -181.61 |
| 29 | 3 | 5.200 | 21.03 | .12 | -126.94 |
| 29 | 4 | .000 | 32.60 | 7.42 | -538.34 |
| 29 | 4 | 2.600 | 32.60 | 7.42 | -453.59 |
| 29 | 4 | 5.200 | 32.60 | 7.42 | -368.83 |
| ----- | | | | | |
| 30 | 1 | .000 | 89.57 | -8.52 | -705.50 |
| 30 | 1 | 2.600 | 144.69 | -8.52 | -400.96 |
| 30 | 1 | 5.200 | 199.81 | -8.52 | 46.90 |
| 30 | 2 | .000 | 39.63 | 4.30 | -229.03 |
| 30 | 2 | 2.600 | 39.63 | 4.30 | -125.99 |
| 30 | 2 | 5.200 | 39.63 | 4.30 | -22.95 |
| 30 | 3 | .000 | 26.43 | -.94 | -130.75 |
| 30 | 3 | 2.600 | 26.43 | -.94 | -62.04 |
| 30 | 3 | 5.200 | 26.43 | -.94 | 6.67 |
| 30 | 4 | .000 | 47.60 | 11.91 | -314.23 |
| 30 | 4 | 2.600 | 47.60 | 11.91 | -190.46 |
| 30 | 4 | 5.200 | 47.60 | 11.91 | -66.69 |

OHYBOVÉ MOMENTY OD STÁLÝCH ZATÍŽENÍ
KRAJNÍ HOŠŤÍK, $l/2$

$$M_{g0} = \underline{2086 \text{ KNm}}$$

$$M_{g1} = \underline{1098 \text{ KNm}}$$

$$M_{g2} = \underline{1067 \text{ KNm}}$$

$$\sum_{i=1}^3 M_{gi} = 2086 + 1098 + 1067 = \underline{4251 \text{ KNm}}$$

OHYBOVÉ MOMENTY OD JEDNOTKOVÝCH ZAT.

$$M_{vh}^1 = \underline{389 \text{ KNm}}$$

$$M_{vr}^1 = \underline{237 \text{ KNm}}$$

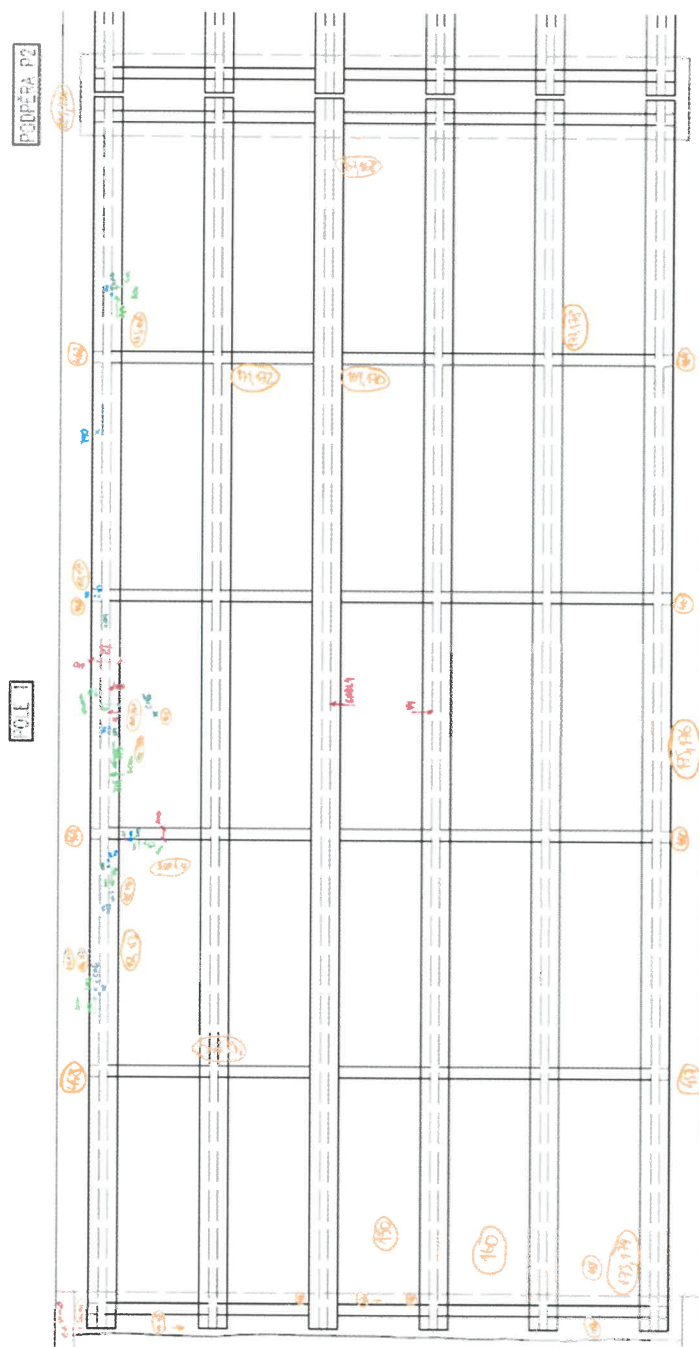
$$M_{ve}^1 = \underline{559 \text{ KNm}}$$

Předpětí

Předpětí je alfou a omegou únosnosti nosníků. Beton je vysoké třídy a o zatížitelnosti nerozhoduje. Dle diagnostické průzkumu fy INSET není předpětí v ideální kondici:

- Některé kabely mají nezainjektované a přezlé patentované dráty
- Mnohde je sice injektáž, ale injektážní malta je plastická, degradovaná, vlhká
- Dráty byly shledány v některých sondách volné bez předpětí. Předpokládáme, že tradičně nezainjektovaný konec zvedaných kabelů za kotvou je přezlý, potom je předpětí nulové

Shrnuto, budeme předpokládat úbytek předpětí (z jakýchkoliv příčin) o 20 %



| Sonda | Injektáž | Krytí [mm] | Koroze drátů | Chránička | Místo sondy | Karbonátace [mm] |
|-------|----------------------------------|------------|---|---|---|------------------|
| P1 | není | 70/75 | zhrublý povrch; dráty volné | ocelová; plná vody | N1 - pole 1; stojina cca v L/2, v místě trhliny s výlupy | 0 |
| P2 | ano, v sondě však vypadaná | -/30 | minimálně 5 drátů zcela překorodovaných, zbytek drátů s úbytkem -30 % | původně ocelová, nyní korozi zcela strávena | N1 - pole 1; spodní líc cca v L/2, místo s odseparovaným krytím a inkrustacemi | 20 |
| P3 | ano, v sondě však vypadaná | 30/35 | povrchová, bez úbytku | ocelová, povrchově korodovaná | N1 - pole 1; spodní líc cca v L/2, místo s odseparovaným krytím a inkrustacemi | 20 |
| P4 | ano, plná, injektáž zavlhlý | 40/45 | povrchová | ocelová | 3. příčník v poli 1 mezi N1/N2 v místě výlupu; prefabrikovaná část příčníku | 0-5 |
| P5 | není | 70/70 | hrubý povrch, dráty mokré | ocelová s povrchovou korozi | N1 - pole 1; pravý bok ve druhé pětinné délky nosníku; místo s výlupy | 0 |
| P6 | ano, plná, injektáž zavlhlý | 75/75 | povrchová, bez úbytku | ocelová s povrchovou korozi | N1 - pole 1; pravý bok ve druhé pětinné délky nosníku; místo s výlupy | 0 |
| P7 | není | 70/80 | zhrublý povrch, dráty mokré a volné | ocelová s povrchovou korozi | N1 - pole 1; pravý bok ve druhé pětinné délky nosníku; místo s výlupy | 0 |
| P8 | ano, plná, injektáž zavlhlý | 80/85 | povrchová, bez úbytku | ocelová s povrchovou korozi | N1 - pole 1; levý bok ve druhé pětinné délky nosníku; v místě trhliny s výlupy | 0-5 |
| P9 | částečná injektáž; suchá | 85/87 | povrchová, bez úbytku | ocelová s povrchovou korozi | N1 - pole 1; pravý bok v páté pětinné místo s trhlinou a výlupy | 0 |
| P10 | ano, v místě sondy však vypadaná | - | korozi zcela strávené | původně ocelová, nyní korozi zcela strávena | N1 - pole 1; horní povrch levé pásnice N1; v místě samovolné odseparovaného krytí | - |
| P11 | plná, suchá | 30/40 | bez koroze | ocelová s povrchovou korozi | N2 - pole 2; spodní líc ve druhé pětinné délky nosníku; místo s trhlinou a výlupy; 3. kabel zleva | 0 |
| P12 | plná, suchá | 35/35 | bez koroze | ocelová s povrchovou korozi | N2 - pole 2; spodní líc pod třetím příčníkem; místo v trhlíně s výlupy; 2. kabel zprava | 0 |
| P13 | plná, mokrá | 25/40 | hrubý povrch, oslabení <5 % | ocelová s povrchovou korozi | N2 - pole 2; spodní líc pod třetím příčníkem; místo v trhlíně s výlupy; 1. kabel zleva | 0 |
| P14 | částečná injektáž, silně mokré | -/50 | úbytek <10 % | původně ocelová, nyní korozi zcela strávena | spodní líc 2. příčníku mezi N1/N2; pole 2; místo s trhlinou a výlupy | <5 |
| P15 | částečná injektáž; suchá | 50/50 | hrubý povrch | ocelová, bez koroze | spodní líc 2. příčníku mezi N1/N2; pole 2; místo s výlupy | <5 |
| P16 | není | 35/45 | hrubý povrch, dráty volné | ocelová, lokální koroze | N1 - pole 2; spodní líc pod druhým příčníkem; místo s trhlinou a výlupy; odhalen 2. kabel zleva | 0 |

destruktivní sonda P2



Obr. 3. 17: Sonda provedena na spodním lici nosníku N1 v poli 1 přibližně v polovině délky v s odseparovaným krytím. Předpínací dráty původně v ocelové chráničce. Ta je nyní zcela strávena korozí.

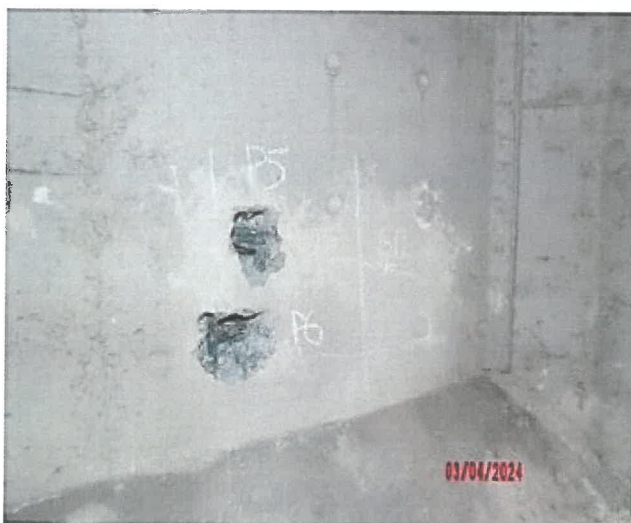


Obr. 3. 18: Detail po otevření kanálku – kabel zainjektovaný, v místě sondy však injektát vypadaný. V sondě minimálně 5 drátů přerušených korozí, zbytek s úbytkem 30 %. Krytí po dráty cca 30 mm.

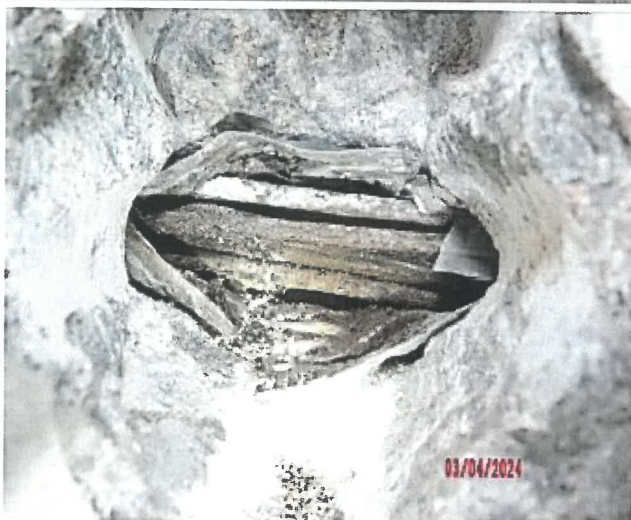


Obr. 3. 19: Detail po zkoušce karbonatace roztokem fenolftaleinu – karbonatace betonu cca 20 mm.

destruktivní sonda P5



Obr. 3. 26: Sonda provedena ve stojně nosníku N1 v poli 1 ve druhé pětíně jeho délky v místě výluhů. Předpínací dráty v ocelové chráničce. Chránička lokálně s povrchovou korozí.



Obr. 3. 27: Detail po otevření kanálku – kabel nezainjektovaný, v chráničce mokro. Dráty s korozí zhrubým povrchem. Krytí po dráty cca 70 mm.



Obr. 3. 28: Detail po zkoušce karbonatace roztokem fenolftaleinu – karbonatace betonu 0 mm.

destruktivní sonda P7



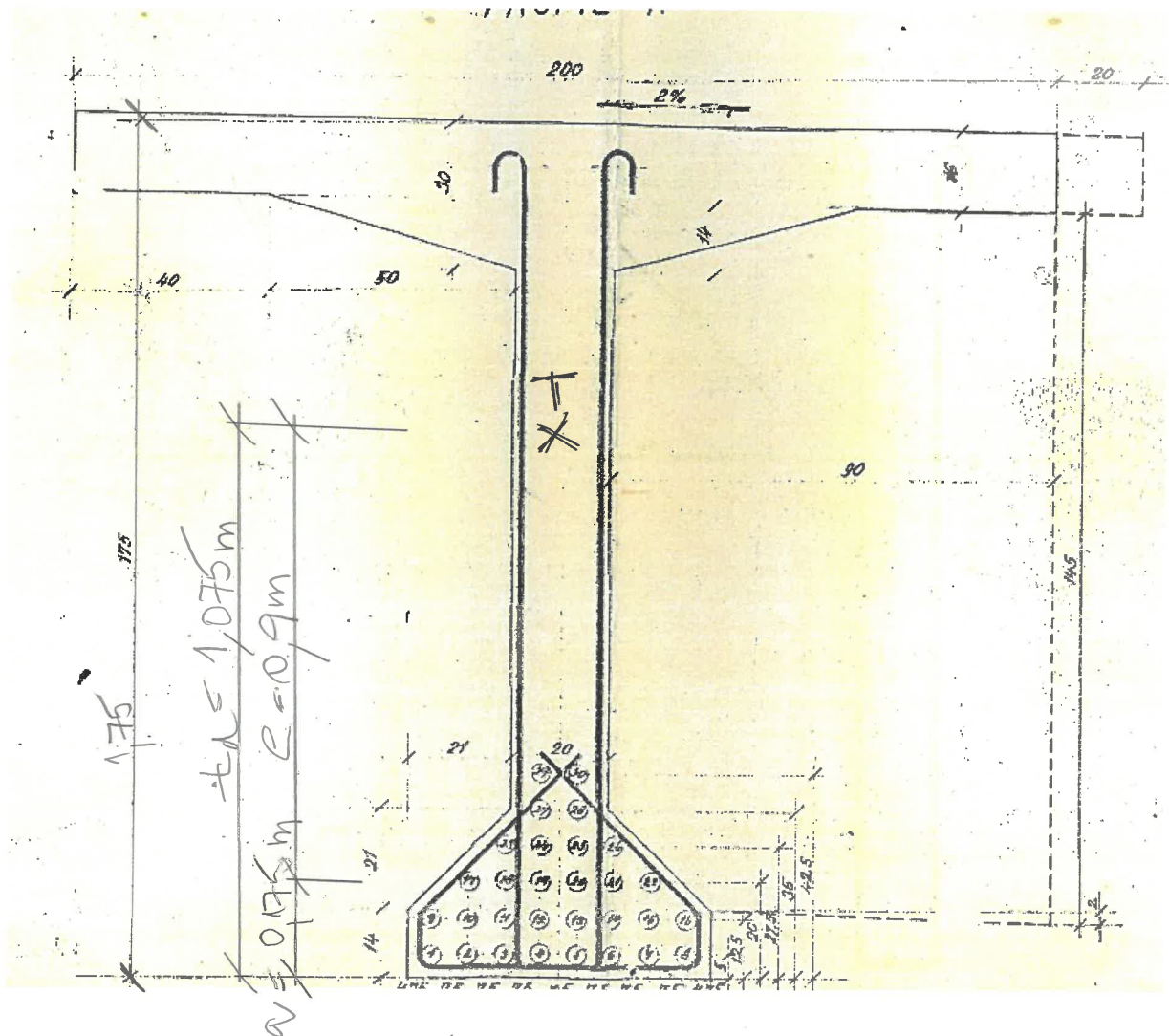
Obr. 3. 32: Sonda provedena ve stojině nosníku N1 v poli 1 ve druhé pětíně jeho délky v místě výluhů. Předpínací dráty v ocelové chráničce. Chránička lokálně s povrchovou korozí.



Obr. 3. 33: Detail po otevření kanálku – kabel nezainjektovaný, dráty mokré a při zkoušce páčením se jevíly volné. Dráty s korozí zhrublým povrchem. Krytí po dráty cca 80 mm.



Obr. 3. 34: Detail po zkoušce karbonatace roztokem fenolftaleinu – karbonatace betonu 0 mm.



30 KABELŮ ϕ 12 ϕ 4,5 (PATEHTOVANÉ DRÁTY)

$$A_{y1} = 12 \cdot 0,1415 = 1,7 \text{ cm}^2$$

$$A_{y30} = 30 \cdot 1,7 = 51,24 \text{ cm}^2$$

$$\sigma_{vk} = 1198 \text{ MPa (FD)}$$

$$\sigma_{va} = 0,78 \cdot 1198 = 934 \text{ MPa}$$

$$N_{va0} = A_{y30} \cdot \sigma_{va0} = 0,00572 \cdot 934000 = 5342 \text{ kN}$$

$$M_{va0} = N_{va0} \cdot e = 5342 \cdot 0,9 = 4808 \text{ kNm}$$

PO SNÍŽENÍ PŘEDPĚTÍ O 20%

$$N_{va} = 5342 \cdot 0,8 = 4273 \text{ kN}$$

$$M_{va} = 4808 \cdot 0,8 = 3846 \text{ kNm}$$

$$\sigma_p = \frac{N_{va}}{A_c} + \frac{M_{va}}{W_n} = \frac{4273}{0,31} + \frac{3846}{0,3} = 13,1 \text{ MPa}$$

$$\sigma_g = \frac{M_g}{W_d} = \frac{4251}{0,3} = \underline{14,2 \text{ MPa}}$$

$$\Delta \sigma_{\text{REZERVA}} = \underline{10 \text{ MPa}}$$

NAPĚTÍ VE SPODNIÍCH VLAČNECH V $e/2$
OD PŮSOBENÍ VOZIDEL ZATÍŽITELNOSTI

$$\sigma_{M1} = \frac{M_{M1}}{W_d} = \frac{0,339}{0,3} = \underline{1,3 \text{ MPa}}$$

$$\sigma_{M2} = \frac{M_{M2}}{W_d} = \frac{0,237}{0,3} = \underline{0,79 \text{ MPa}}$$

$$\sigma_{M3} = \frac{M_{M3}}{W_d} = \frac{0,559}{0,3} = \underline{1,9 \text{ MPa}}$$

VYUŽITELNÉ NAPĚTÍ (PRO VOZIDLA ZATÍŽITELNOSTI)

$$\sigma_{\text{VYUŽ}} = \sigma_p - \sigma_g - \Delta \sigma_{\text{REZERVA}} = 181 - 14,2 - 10 =$$

$$= \underline{\underline{2,9 \text{ MPa}}}$$

VÝPOČET ZATÍŽITELNOSTI

$$V_n = \frac{\sigma_{\text{VYUŽ}}}{\sigma_{M1}} \cdot 10 = \frac{2,9}{1,3} \cdot 10 = \underline{\underline{23 \text{ t}}}$$

$$V_r = \frac{\sigma_{\text{VYUŽ}}}{\sigma_{M2}} \cdot 10 = \frac{2,9}{0,79} \cdot 10 = \underline{\underline{37 \text{ t}}}$$

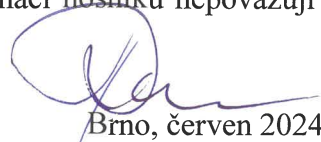
$$V_c = \frac{\sigma_{\text{VYUŽ}}}{\sigma_{M3}} \cdot 10,9 = \frac{2,9}{1,9} \cdot 90 = \underline{\underline{137 \text{ t}}}$$

Přehled výsledných hodnot zatížitelnosti

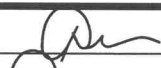

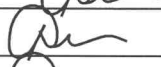
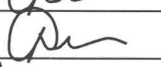
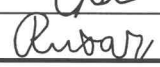
Nosná konstrukce je dle Mimořádné prohlídky z listopadu 2023 klasifikována jako havarijní-VII. Na tomto stavu se podílí zejména ložiska, ale také korozi poškozené nosníky. Zatížitelnost je stanovena z únosnosti nosníků a ve statickém výpočtu již byly zahrnuty poruchy předpětí. Proto nebudeme zatížitelnost, stanovenou z únosnosti nosníků, redukovat ještě dále součinitelem α , lépe řečeno $\alpha = 0,80$.

| | |
|-------------------------|----------------------------|
| Zatížitelnost normální | V_n=23 t |
| Zatížitelnost výhradní | V_r=37 t |
| Zatížitelnost vyjímečná | V_e=137 t |

Protože je normální zatížitelnost menší než 26 t a výhradní zatížitelnost menší než 48 t, je nutno most opatřit dopravní značkou B 13 a dodatkovou tabulkou (E5 či E 13). Jako okamžité opatření vidím podepření nosníků u krajních ložisek dubovými podkladky, zároveň by mělo být pracováno na PD rekonstrukce mostu. Spodní stavbu je možno použít, nosná konstrukce by měla být nová. Sanaci nosníků nepovažuji za účelnou.



Brno, červen 2024
Ing. J. Rušar

| | | | |
|-----------------------|--|--|--|
| HIP | Ing. Jaromír RUŠAR |  |  Majdalenky 19, 638 00 Brno Tel., fax: 545 222 037 E-mail: info@rusar.cz |
| Zodpovědný projektant | Ing. Jaromír RUŠAR |  | |
| Vypracoval | Ing. Jaromír RUŠAR |  | |
| Kontroloval | Ing. Květoslav RUŠAR |  | |
| Kraj: | Vysočina | Datum | Červen 2024 |
| Investor: | Kraj Vysočina | Formát | 7 A4 |
| Název akce: | II/523 Jihlava - most ev.č. 523-000a DIAGNOSTICKÝ PRŮZKUM A ZATÍŽITELNOST | Měřítko | |
| Název objektu: | | Účel | TP |
| Název výkresu: | | Čís.zakáz. | 8-2024 |
| | | Archivní čís. | 8-2024 |
| | VARIANTY REKONSTRUKCE MOSTU | Čís.soupravy | Čís. výkresu: |

Varianty opravy mostu, ceny stavby

Ze statického výpočtu, který se opírá o diagnostiku objektu, je zřejmé, že současná zatížitelnost není taková, aby po mostě probíhal běžný provoz, a že tato situace se bude s oddalováním opravy zhoršovat. Součástí tohoto elaborátu – Diagnostika+Výpočet zatížitelnosti je navrhnout tři varianty opravy s odhadem stavebních nákladů. Ve všech variantách je stejné šířkové uspořádání, které počítá s rozšířením mostu o 3,5 m jízdní pruh. Takže šířka NK je 18,9 m (v nerozšířené podobě 15,4 m). Délka nosné konstrukce je vždy je 81 m, takže plocha NK je 1531 m², respektive 1247 m². V cenovém odhadu povedeme obě možnosti. Dále uvádíme popis jednotlivých variant, který navazuje na výkresovou část této přílohy:

- Varianta A

Varianta pojednává situaci, kde by byly ponechány nosníky i spodní stavba. Bylo by nutné vyměnit ložiska a sanovat NK reprofilačními maltami. Absenci předpětí bychom řešili dopnutím externích předpínacích kabelů, kotvených v čelech nosníků a lomených v ocelových deviátorech. Dále by byl most posílen vybetonováním spřažené železobetonové desky. Mostní svršek by byl u všech variant stejný, to znamená mostní vozovka tl. 85 mm včetně izolace. Římsy betonové, monolitické, tvořící zvýšené obruby. Mostní zábradlí ocelové výšky 1,1 m, v případě pohybu cyklistů 1,30 m. Spodní stavba by byla otryskána tlakovou vodou a vyspárována.

Cena opravy na 1 m² 35 000,- Kč. Celková cena opravy by byla tedy **53 585 500,- Kč**, respektive 43 645 000,- Kč.

- Varianta B

Varianta pojednává situaci, kde by byla ponechána jen spodní stavba. Nosníky by byly sneseny. Na skruži by byla vybetonována nová železobetonová předpjatá konstrukce s náběhy. Jsou možné i ocelové nosníky se spřaženou železobetonovou deskou, ocel by mohla být patinující typu ATMOFIX, která je použita u pohledových prvků přilehlého obchodního centra. Mostní svršek je stejný jako u varianty A.

Cena opravy na 1 m² 50 000,- Kč. Celková cena opravy by byla tedy **76 550 000,- Kč**, respektive 63 350 000,- Kč.

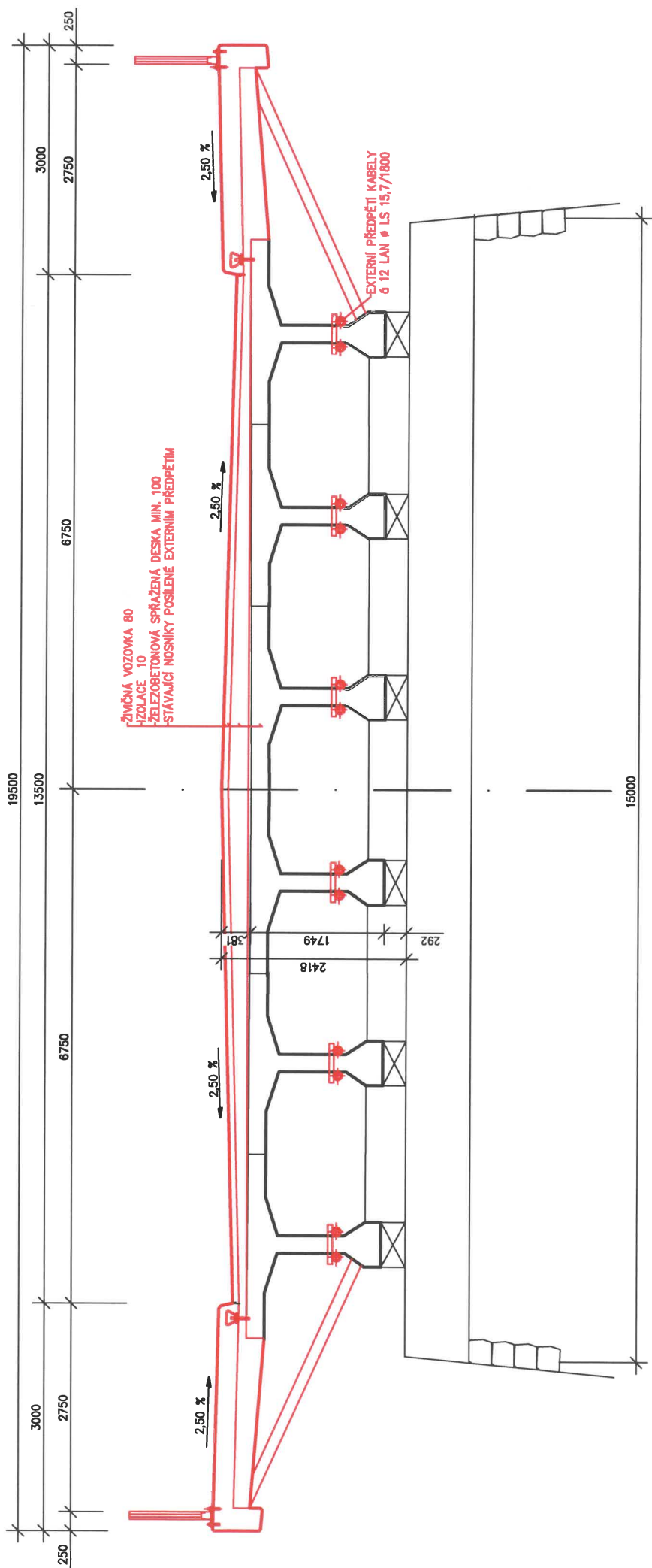
- Varianta C

Varianta pojednává situaci, kde by byla snesena nosná konstrukce i spodní stavba a postavil by se nový most. V tomto momentu se nabízí řešení, které by znamenalo rozšíření volného prostoru pod mostem na vybudování parků, hřišť apod. Navrhujeme integrovaný most nosné konstrukce se spodní stavbou typu vzpěradlový rám. V příčném směru by byl dvoutrám, v náběžích jednostrán. Železobetonová předpjatá konstrukce by se stavěla na pevné skruži. Mostní svršek je stejný jako u předchozích variant A, B. Cena stavby na 1 m² 80 000,- Kč (jen demolice by činila 18 000,- Kč/m²). Celková cena opravy by byla tedy **122 480 000,- Kč**, respektive 101 360 000,- Kč.

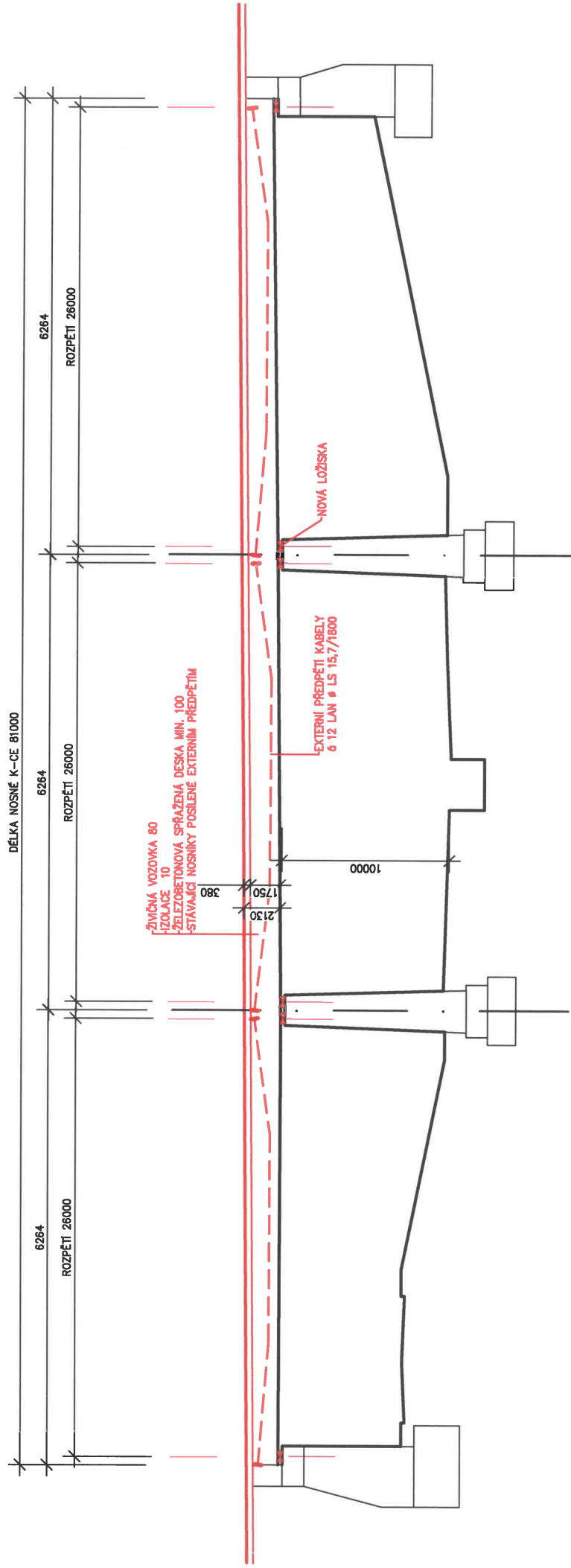
Myslíme si, že by z pohledu životnosti mostu neměla být provedena oprava ve variantě A, byť je nejlevnější, ale dle variant B, C.

Brno, červen 2024
Ing Jaromír Rušar

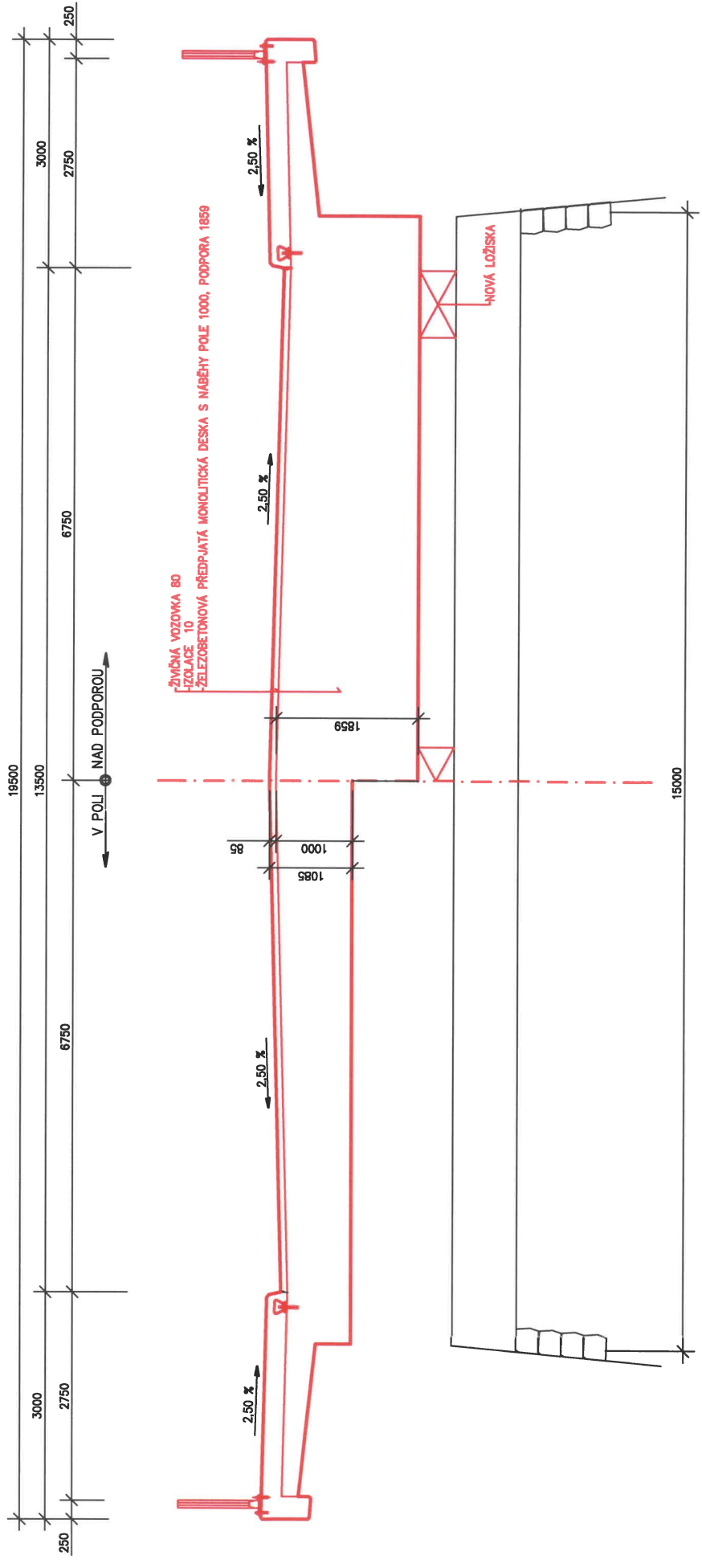
VARIANTA A--POSÍLENÍ STÁVAJÍCÍ NOSNÉ KONSTRUKCE, NOVÝ MOSTNÍ SVRŠEK, PŘÍČNÝ ŘEZ



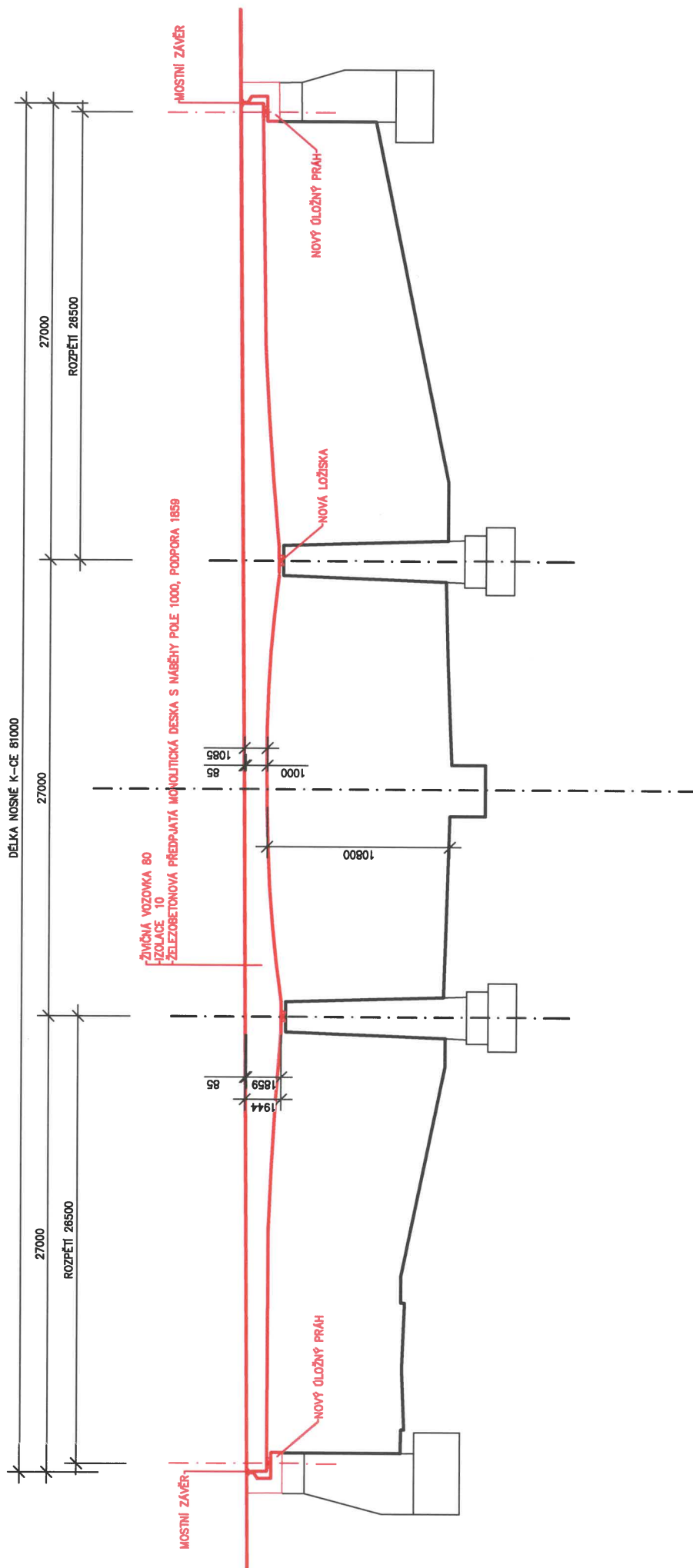
VARIANTA A – POSÍLENÍ STÁVAJÍCÍ NOSNÉ KONSTRUKCE, NOVÝ MOSTNÍ SVRŠEK, PODÉLNÝ ŘEZ



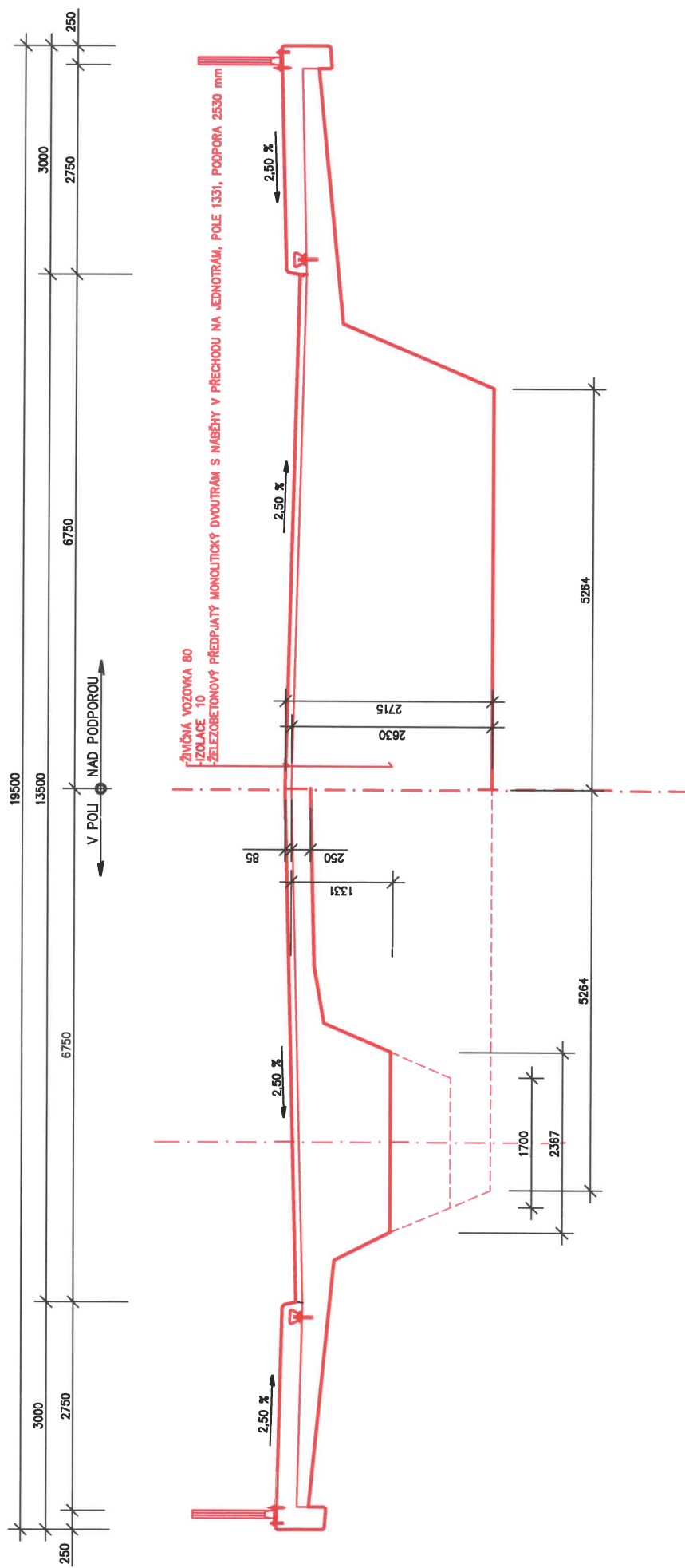
VARIANTA B-NOVÁ NOSNÁ KONSTRUKCE NA STÁVAJÍCÍ SPODNÍ STAVĚ, PŘÍČNÝ ŘEZ



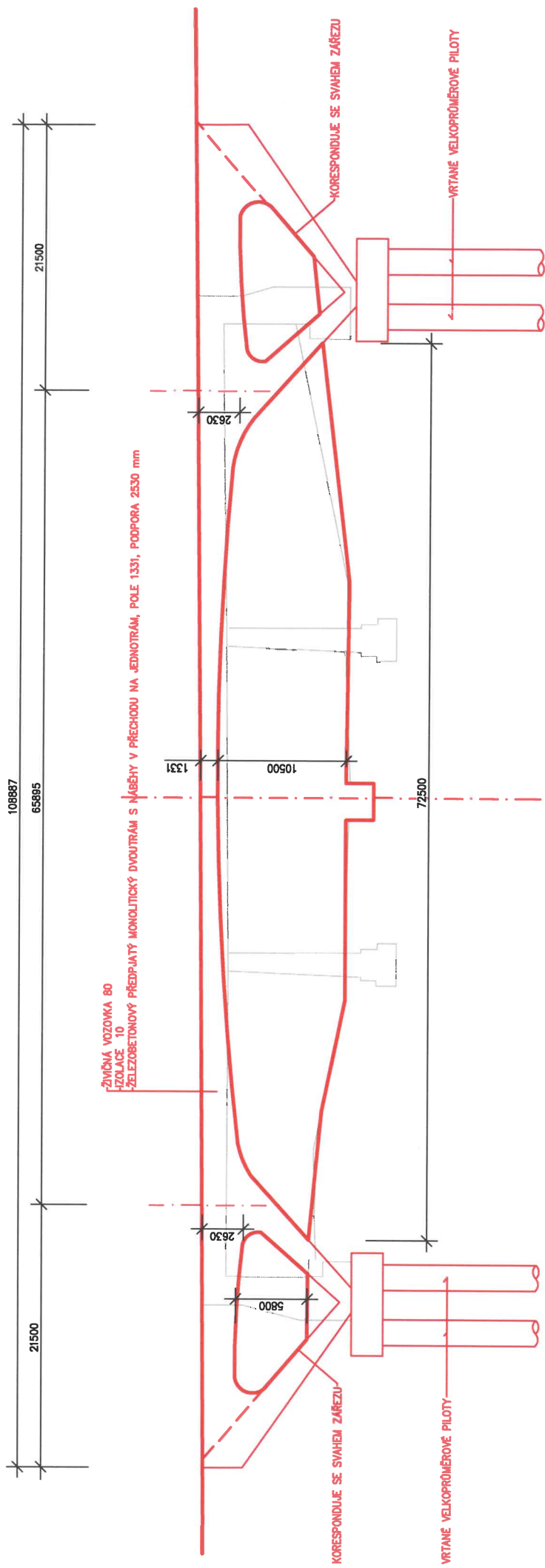
VARIANTA B-NOVÁ NOSNÁ KONSTRUKCE NA STÁVAJÍCÍ SPODNÍ STAVBĚ, PODÉLNÝ ŘEZ



VARIANTA C--DEMOLICE STÁVAJÍCÍHO, NOVÝ MOST SPODNĚ VČETNĚ SPODNÍ STAVBY, PŘÍČNÝ ŘEZ



VARIANTA C-DEMOLICE STÁVAJÍCÍHO, NOVÝ MOST VČETNĚ SPODNÍ STAVBY, PODÉLNÝ ŘEZ



PROTOKOL

č.: 003/24-B

Stanovení pevnosti v tlaku - Zkušební postup č. 17 dle ČSN EN 12390-3

Stanovení objemové hmotnosti - Zkušební postup č. 20 dle ČSN EN 12390-7, mimo čl. 6.4, 6.5 a 6.7

Objednatel: Inset s.r.o., Vinohrady 40, 639 00 Brno
Záznám číslo: 003/24
Objekt, místo vrtání: most ev. č. 523-000a, silnice II/523, Jihlava, NK
Datum dodání: 17.04.2024 **Datum provedení zkoušky:** 22.04.2024
Místo provedení zkoušky: Laboratoř centra dopravního výzkumu, laboratoř dopravní infrastruktury (LDI)
Datum výroby: - **Stáří betonu:** -
Ošetřování, uložení: laboratorní prostředí 21 °C, 40 % R.V.
Vlhkost povrchu při zkoušce: přirozeně vlhký, jak bylo dodáno
Metoda úpravy vývrtů: řezání, broušení
Zkušební zařízení: (lis) Beton System, BS 4000 (0 - 4000) kN

| Označení vývrtu | Označení vzorku LDI | Průměr vývrtu [d _m] [mm] | Délka vývrtu | | Hmotnost vývrtu po úpravě [kg] | Vizuální vyšetření vývrtu, případná výztuž, (průměr, umístění) | Poznámka |
|-----------------|---------------------|--------------------------------------|----------------|----------------|--------------------------------|--|----------------------|
| | | | Po odběru [mm] | Po úpravě [mm] | | | |
| V1 | 40/24 | 94,5 | 180 | 94,9 | 1,607 | bez závad | pole 1 - N1, cca L/2 |
| V2 | 41/24 | 94,5 | 160 | 94,7 | 1,588 | bez závad | pole 2 - N4, cca L/2 |
| V3 | 42/24 | 94,5 | 160 | 94,7 | 1,616 | bez závad | pole 2 - N2, cca L/2 |
| V4 | 43/24 | 94,5 | 170 | 94,6 | 1,611 | bez závad | pole 1 - N4, cca L/2 |

| Označení vývrtu | Označení vzorku | Vizuální vyšetření vzorku, případná výztuž, (průměr, umístění) | Maximální velikost kameniva [mm] | Poměr délky k průměru po úpravě | Objemová hmotnost [kg/m ³] | Zatížení [kN] | Pevnost v tlaku [MPa] |
|-----------------|-----------------|--|----------------------------------|---------------------------------|--|---------------|-----------------------|
| | | | | | | | |
| V1 | 40/24 | bez závad | 16 | 1,00 | 2410 | 786,9 | 112,2 |
| V2 | 41/24 | bez závad | 13 | 1,00 | 2390 | 707,7 | 100,9 |
| V3 | 42/24 | bez závad | 11 | 1,00 | 2430 | 818,5 | 116,7 |
| V4 | 43/24 | bez závad | 12 | 1,00 | 2430 | 756,8 | 107,9 |

Poznámka: Hmotnost zkušebních těles byla stanovena dle ČSN EN 12390-7, čl. 6.2

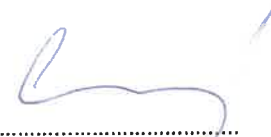
Odběr vývrtu provedl(a): objednatel

Zkoušku provedl(a): Radek Bednář

Protokol zpracoval(a): Radek Bednář



.....
protokol kontroloval:
Ing. Tomáš Zavřel, technický vedoucí LDI



.....
protokol schválil:
Mgr. Roman Ličbinský, Ph.D. vedoucí LCDV
(Podpis, razítko)

Výsledky zkoušek se týkají pouze zkoušených vzorků a protokol neznamená schválení výrobku orgánem udělujícím akreditaci ani žádným jiným orgánem.

Protokol nesmí být bez písemného souhlasu LCDV reprodukován jinak než v celkovém počtu stran.

Změny a doplňky mohou být provedeny pouze laboratoří, která Protokol vystavila.

Pokud informace dodané zákazníkem mohou mít vliv na platnost výsledků, laboratoř odmítá odpovědnost za jejich platnost. Pokud laboratoř není odpovědná za fázi odběru vzorků, pak se výsledky vztahují ke vzorku jak byl přijat.

----- konec protokolu -----

PROTOKOL

č.: CH – 032/24

Stanovení chloridů spektrofotometricky reagenčním testem Spectroquant®

| Zkušební postup č. | Identifikace zkušebního postupu/metody |
|--------------------|--|
| 53 | SOP – CH 19 (ČSN 757422, Manuál spektrofotometru Sptektroquant®Prove) |
| | Použité přístroje |
| | <ul style="list-style-type: none">– Spektrofotometr Spectroquant®Prove 300, e. č. IN 971– Pipeta Eppendorf research plus, e. č. 11024– Pipeta Eppendorf research plus, e. č. J45122I |

| | |
|---|---|
| Objednatel: | INSET s.r.o. Divize Brno, Vínohrady 40, 639 00 Brno |
| Č. objednávky: | SML/2024/55 |
| Specifikace matrice:¹ | beton |
| Lokalizace měření:¹ | II/523 Jihlava - most ev. č. 523-000a, diagnostický průzkum |
| Lokalizace zkoušek: | LCDV – LZP |
| Počet příloh: | 0 |
| Počet obrázků: | 0 |

Tabulka č. 1: Charakteristika vzorku

| Číslo vzorku | Místo odběru vzorku ¹ | Povaha vzorku ¹ | Vzorkoval ¹ | Číslo požadovaného zkušební postupu |
|--------------|----------------------------------|----------------------------|------------------------|-------------------------------------|
| O24-2252 | Most 523-000a | beton | zadavatel | 53 |
| O24-2253 | Most 523-000a | beton | zadavatel | 53 |
| O24-2254 | Most 523-000a | beton | zadavatel | 53 |
| O24-2255 | Most 523-000a | beton | zadavatel | 53 |
| O24-2256 | Most 523-000a | beton | zadavatel | 53 |
| O24-2257 | Most 523-000a | beton | zadavatel | 53 |
| O24-2258 | Most 523-000a | beton | zadavatel | 53 |
| O24-2259 | Most 523-000a | beton | zadavatel | 53 |
| O24-2260 | Most 523-000a | beton | zadavatel | 53 |
| O24-2261 | Most 523-000a | beton | zadavatel | 53 |
| O24-2262 | Most 523-000a | beton | zadavatel | 53 |
| O24-2263 | Most 523-000a | beton | zadavatel | 53 |
| O24-2264 | Most 523-000a | beton | zadavatel | 53 |
| O24-2265 | Most 523-000a | beton | zadavatel | 53 |
| O24-2266 | Most 523-000a | beton | zadavatel | 53 |
| O24-2267 | Most 523-000a | beton | zadavatel | 53 |
| O24-2268 | Most 523-000a | beton | zadavatel | 53 |
| O24-2269 | Most 523-000a | beton | zadavatel | 53 |
| O24-2270 | Most 523-000a | beton | zadavatel | 53 |
| O24-2271 | Most 523-000a | beton | zadavatel | 53 |
| O24-2272 | Most 523-000a | beton | zadavatel | 53 |
| O24-2273 | Most 523-000a | beton | zadavatel | 53 |
| O24-2274 | Most 523-000a | beton | zadavatel | 53 |
| O24-2275 | Most 523-000a | beton | zadavatel | 53 |
| O24-2276 | Most 523-000a | beton | zadavatel | 53 |
| O24-2277 | Most 523-000a | beton | zadavatel | 53 |
| O24-2278 | Most 523-000a | beton | zadavatel | 53 |
| O24-2279 | Most 523-000a | beton | zadavatel | 53 |
| O24-2280 | Most 523-000a | beton | zadavatel | 53 |
| O24-2281 | Most 523-000a | beton | zadavatel | 53 |
| O24-2282 | Most 523-000a | beton | zadavatel | 53 |
| O24-2283 | Most 523-000a | beton | zadavatel | 53 |
| O24-2284 | Most 523-000a | beton | zadavatel | 53 |
| O24-2285 | Most 523-000a | beton | zadavatel | 53 |
| O24-2286 | Most 523-000a | beton | zadavatel | 53 |
| O24-2287 | Most 523-000a | beton | zadavatel | 53 |
| O24-2288 | Most 523-000a | beton | zadavatel | 53 |
| O24-2289 | Most 523-000a | beton | zadavatel | 53 |
| O24-2290 | Most 523-000a | beton | zadavatel | 53 |
| O24-2291 | Most 523-000a | beton | zadavatel | 53 |
| O24-2292 | Most 523-000a | beton | zadavatel | 53 |

| | | | | |
|----------|---------------|-------|-----------|----|
| O24-2293 | Most 523-000a | beton | zadavatel | 53 |
| O24-2294 | Most 523-000a | beton | zadavatel | 53 |
| O24-2295 | Most 523-000a | beton | zadavatel | 53 |
| O24-2296 | Most 523-000a | beton | zadavatel | 53 |
| O24-2297 | Most 523-000a | beton | zadavatel | 53 |
| O24-2298 | Most 523-000a | beton | zadavatel | 53 |
| O24-2299 | Most 523-000a | beton | zadavatel | 53 |
| O24-2300 | Most 523-000a | beton | zadavatel | 53 |
| O24-2301 | Most 523-000a | beton | zadavatel | 53 |
| O24-2302 | Most 523-000a | beton | zadavatel | 53 |
| O24-2303 | Most 523-000a | beton | zadavatel | 53 |
| O24-2304 | Most 523-000a | beton | zadavatel | 53 |
| O24-2305 | Most 523-000a | beton | zadavatel | 53 |
| O24-2306 | Most 523-000a | beton | zadavatel | 53 |
| O24-2307 | Most 523-000a | beton | zadavatel | 53 |
| O24-2308 | Most 523-000a | beton | zadavatel | 53 |
| O24-2309 | Most 523-000a | beton | zadavatel | 53 |
| O24-2310 | Most 523-000a | beton | zadavatel | 53 |
| O24-2311 | Most 523-000a | beton | zadavatel | 53 |
| O24-2312 | Most 523-000a | beton | zadavatel | 53 |
| O24-2313 | Most 523-000a | beton | zadavatel | 53 |
| O24-2314 | Most 523-000a | beton | zadavatel | 53 |
| O24-2315 | Most 523-000a | beton | zadavatel | 53 |
| O24-2316 | Most 523-000a | beton | zadavatel | 53 |
| O24-2317 | Most 523-000a | beton | zadavatel | 53 |

Tabulka č. 2: Koncentrace chloridů

| Číslo vzorku | Označení zadavatele ¹ | Koncentrace [g/kg] | Nejistota stanovení [g/kg] | Číslo záznamu |
|--------------|-------------------------------------|-----------------------|-------------------------------|------------------|
| O24-2252 | CH1 0-20 | 0,0868 | ±0,01 | CI-04/24 |
| O24-2253 | CH1 20-40 | <QL | | CI-04/24 |
| O24-2254 | CH1 40-60 | 0,0611 | ±0,01 | CI-04/24 |
| O24-2255 | CH2 0-20 | 0,828 | ±0,1 | CI-04/24 |
| O24-2256 | CH2 20-40 | 0,389 | ±0,1 | CI-04/24 |
| O24-2257 | CH2 40-60 | 0,245 | ±0,01 | CI-04/24 |
| O24-2258 | CH3 0-20 | 0,0743 | ±0,01 | CI-04/24 |
| O24-2259 | CH3 20-40 | 0,155 | ±0,01 | CI-04/24 |
| O24-2260 | CH3 40-60 | 0,297 | ±0,1 | CI-04/24 |
| O24-2261 | CH4 0-20 | <QL | | CI-04/24 |
| O24-2262 | CH4 20-40 | <QL | | CI-04/24 |
| O24-2263 | CH4 40-60 | 0,0339 | ±0,01 | CI-04/24 |
| O24-2264 | CH5 0-20 | 3,44 | ±0,1 | CI-04/24 |
| O24-2265 | CH5 20-40 | 1,21 | ±0,1 | CI-04/24 |

| Číslo vzorku | Označení zadavatele ¹ | Koncentrace [g/kg] | Nejistota stanovení [g/kg] | Číslo záznamu |
|--------------|----------------------------------|--------------------|----------------------------|---------------|
| O24-2266 | CH5 40-60 | 0,688 | ±0,1 | CI-04/24 |
| O24-2267 | CH6 0-20 | 0,0277 | ±0,01 | CI-04/24 |
| O24-2268 | CH6 20-40 | <QL | | CI-04/24 |
| O24-2269 | CH6 40-60 | <QL | | CI-04/24 |
| O24-2270 | CH7 0-20 | <QL | | CI-04/24 |
| O24-2271 | CH7 20-40 | <QL | | CI-04/24 |
| O24-2272 | CH7 40-60 | <QL | | CI-04/24 |
| O24-2273 | CH8 0-20 | 0,209 | ±0,1 | CI-04/24 |
| O24-2274 | CH8 20-40 | <QL | | CI-04/24 |
| O24-2275 | CH8 40-60 | <QL | | CI-04/24 |
| O24-2276 | CH9 0-20 | 0,140 | ±0,1 | CI-04/24 |
| O24-2277 | CH9 20-40 | 0,143 | ±0,01 | CI-04/24 |
| O24-2278 | CH9 40-60 | 0,0634 | ±0,01 | CI-04/24 |
| O24-2279 | CH10 0-20 | <QL | | CI-04/24 |
| O24-2280 | CH10 20-40 | 0,0876 | ±0,01 | CI-04/24 |
| O24-2281 | CH10 40-60 | 0,0709 | ±0,01 | CI-04/24 |
| O24-2282 | CH11 0-20 | 0,0300 | ±0,01 | CI-04/24 |
| O24-2283 | CH11 20-40 | <QL | | CI-04/24 |
| O24-2284 | CH11 40-60 | <QL | | CI-04/24 |
| O24-2285 | CH12 0-20 | 0,149 | ±0,01 | CI-04/24 |
| O24-2286 | CH12 20-40 | 0,337 | ±0,1 | CI-04/24 |
| O24-2287 | CH12 40-60 | 0,0998 | ±0,1 | CI-04/24 |
| O24-2288 | CH13 0-20 | <QL | ±0,01 | CI-04/24 |
| O24-2289 | CH13 20-40 | <QL | ±0,01 | CI-04/24 |
| O24-2290 | CH13 40-60 | 0,0478 | ±0,01 | CI-04/24 |
| O24-2291 | CH14 0-20 | 0,0380 | ±0,01 | CI-04/24 |
| O24-2292 | CH14 20-40 | <QL | | CI-04/24 |
| O24-2293 | CH14 40-60 | <QL | ±0,01 | CI-04/24 |
| O24-2294 | CH15 0-20 | <QL | | CI-04/24 |
| O24-2295 | CH15 20-40 | <QL | ±0,01 | CI-04/24 |
| O24-2296 | CH15 40-60 | <QL | | CI-04/24 |
| O24-2297 | CH16 0-20 | 0,0559 | ±0,01 | CI-04/24 |
| O24-2298 | CH16 20-40 | <QL | ±0,01 | CI-04/24 |
| O24-2299 | CH16 40-60 | <QL | | CI-04/24 |
| O24-2300 | CH17 0-20 | 0,168 | ±0,01 | CI-04/24 |
| O24-2301 | CH17 20-40 | 0,0538 | ±0,01 | CI-04/24 |
| O24-2302 | CH17 40-60 | <QL | ±0,01 | CI-04/24 |
| O24-2303 | CH18 0-20 | 0,0496 | ±0,01 | CI-04/24 |
| O24-2304 | CH18 20-40 | <QL | | CI-04/24 |
| O24-2305 | CH18 40-60 | 0,0350 | ±0,01 | CI-04/24 |
| O24-2306 | CH19 0-20 | 0,0445 | ±0,01 | CI-04/24 |
| O24-2307 | CH19 20-40 | 0,0369 | ±0,01 | CI-04/24 |

| Číslo vzorku | Označení zadavatele ¹ | Koncentrace [g/kg] | Nejistota stanovení [g/kg] | Číslo záznamu |
|--------------|----------------------------------|--------------------|----------------------------|---------------|
| O24-2308 | CH19 40-60 | <QL | | CI-04/24 |
| O24-2309 | CH20 0-20 | 0,0559 | ±0,01 | CI-04/24 |
| O24-2310 | CH20 20-40 | <QL | ±0,01 | CI-04/24 |
| O24-2311 | CH20 40-60 | <QL | | CI-04/24 |
| O24-2312 | P3 | 0,715 | ±0,1 | CI-04/24 |
| O24-2313 | P4 | 0,760 | ±0,1 | CI-04/24 |
| O24-2314 | P6 | <QL | | CI-04/24 |
| O24-2315 | P12 | <QL | ±0,01 | CI-04/24 |
| O24-2316 | P20 | 1,33 | ±0,1 | CI-04/24 |
| O24-2317 | P21 | 1,84 | ±0,1 | CI-04/24 |

Mez stanovitelnosti (QL): 0,0250 g/kg.

Uvedená rozšířená nejistota měření je uvedena jako kombinovaná standardní nejistota měření vynásobená koeficientem pokrytí $k=2$ tak, že pravděpodobnost pokrytí odpovídá přibližně 95 %.

Standardní nejistota měření byla určena v souladu s dokumentem ILAC-G17:01/2021.


Měřil(a): Mgr. Jitka Hegrová, Ph.D.


Protokol zpracoval(a): Mgr. Romana Michalicová

Protokol kontroloval(a):

Protokol schválil(a):




Ing. Vilma Jandová
Technický vedoucí LZP


Mgr. Roman Ličbínský, Ph.D.
Vedoucí LCDV
(Podpis, razítko)

Dne: 16.05.2024

Prohlášení laboratoře: Výsledky měření se týkají jen uvedeného místa, předmětu a času měření.
Protokol nesmí být bez písemného souhlasu LCDV reprodukován jinak než v celkovém počtu stran.
Změny a doplňky mohou být provedeny pouze laboratoří, která protokol vystavila.
Pokud informace dodané zákazníkem mohou mít vliv na platnost výsledků, laboratoř odmítá odpovědnost za jejich platnost.
Pokud laboratoř není odpovědna za fázi odběru vzorků, pak se výsledky vztahují ke vzorku, jak byl přijat.

¹ Informace dodané objednatelem

----- Konec protokolu -----

PROTOKOL

č.: 005/24-B

**Stanovení odolnosti povrchu cementového betonu proti působení vody a chemických rozmrazovacích látek
Zkušební postup č. 22 dle ČSN 73 1326, metoda C**

Objednatel: Inset s.r.o., Vinohrady 40, 639 00 Brno
Záznam číslo: 005/24
Místo odběru: most ev. č. 523-000a, Jihlava
Druh konstrukce, označení betonu: nosná konstrukce
Místo provedení zkoušky: Laboratoř centra dopravního výzkumu, laboratoř dopravní infrastruktury
Datum zahájení a ukončení zkoušky cyklování: 22.4.2024 - 13.5.2024
Ošetřování, uložení: laboratorní prostředí 21 °C, relativní vlhkost 40 %
Zkušební zařízení: automatické zařízení KD 20.5

Hodnoty měření a výsledky odolnosti:

| Označení vývrtu | | CHRL 1 | CHRL 2 | CHRL 3 | CHRL 4 | |
|---------------------|----------------|------------------------|------------------------|------------------------|------------------------|-----|
| Označení vzorku LDI | | 48/24 | 49/24 | 50/24 | 51/24 | |
| (š) Průměr (vývrt) | mm | 144,9 | 144,9 | 144,9 | 144,9 | |
| Zkušební plocha | m ² | 0,01649 | 0,01649 | 0,01649 | 0,01649 | |
| Stáří vzorku | roky | - | - | - | - | |
| Konstrukce | | pole 1, N1, cca L/2 | pole 2, N3, cca L/2 | pole 2, N1, cca L/2 | pole 1, N3, cca L/2 | |
| Poznámka | | zařízly povrch | | | | |
| Množství odpadu po: | 25 c | g | 3,1 | 0,5 | 0,4 | 0,5 |
| | 50 c | g | 9,7 | 2,0 | 1,3 | 2,4 |
| | 75 c | g | 13,3 | 5,8 | 3,5 | 7,7 |
| Odolnost po: | 25 c | g/m ² | 190 | 30 | 20 | 30 |
| | 50 c | g/m ² | 590 | 120 | 80 | 150 |
| | 75 c | g/m ² | 810 | 350 | 210 | 470 |

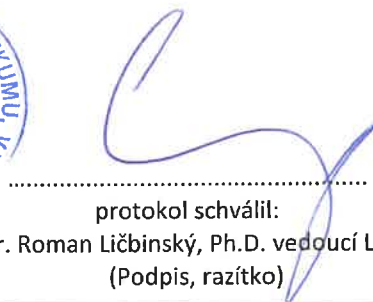
Zkoušku provedl(a): Radek Bednář

Odběr vzorku provedl(a): objednatel

Protokol vystavil(a): Ing. Tomáš Zavřel



protokol kontroloval:
Ing. Tomáš Zavřel, technický vedoucí LDI



protokol schválil:
Mgr. Roman Ličbinský, Ph.D. vedoucí LCDV
(Podpis, razítko)

Výsledky zkoušek se týkají pouze zkoušených vzorků a protokol neznámá schválení výrobku orgánem udělujícím akreditaci ani žádným jiným orgánem. Protokol nesmí být bez písemného souhlasu LCDV reprodukován jinak než v celkovém počtu stran.

Změny a doplňky mohou být provedeny pouze laboratoří, která Protokol vystavila.

Pokud informace dodané zákazníkem mohou mít vliv na platnost výsledků, laboratoř odmítá odpovědnost za jejich platnost. Pokud laboratoř není odpovědná za fázi odběru vzorků, pak se výsledky vztahují ke vzorku jak byl přijat.

PROTOKOL

č.: 004/24-B

Stanovení nasákavosti betonu
Zkušební postup č. 33 dle ČSN 73 1316:1989

Objednatel: Inset s.r.o., Vinohrady 40, 639 00 Brno
Záznam číslo: 004/24
Místo provedení zkoušky: Laboratoř centra dopravního výzkumu, laboratoř dopravní infrastruktury
Popis zkušebního tělesa: odřez vývrtu, Ø 100 mm
Druh zkoušené konstrukce: most ev.č. 523-000a, Jihlava, nosná konstrukce
Datum odběru: - **Podmínky prostředí:** 21 °C, 40 %
Datum zahájení zkoušky: 19.04.2024 **Datum ukončení zkoušky:** 30.04.2024

| Označení vývrtu | Označení vzorku | Hmotnost laboratorní [g] | nasyčený vzorek - m_s [g] | | | | | |
|-----------------|-----------------|--------------------------|-----------------------------|-------|-------|---|---|---|
| | | | 3 dny | 4 dny | 5 dní | - | - | - |
| V1 | 44/24 | 1126 | 1132 | 1133 | 1134 | - | - | - |
| V2 | 45/24 | 941 | 952 | 952 | 953 | - | - | - |
| V3 | 46/24 | 941 | 955 | 956 | 956 | - | - | - |
| V4 | 47/24 | 1029 | 1046 | 1047 | 1047 | - | - | - |

| Označení vývrtu | Označení vzorku | vysušený vzorek - m_d [g] | | | | | Nasákavost - v | |
|-----------------|-----------------|-----------------------------|-------|-------|-------|---|------------------|--------------|
| | | 1 den | 2 dny | 5 dní | 6 dní | - | [%] | průměrná [%] |
| V1 | 44/24 | 1101 | 1095 | 1089 | 1088 | - | 4,2 | 4,1 |
| V2 | 45/24 | 926 | 922 | 917 | 917 | - | 3,9 | |
| V3 | 46/24 | 926 | 923 | 921 | 920 | - | 3,9 | |
| V4 | 47/24 | 1013 | 1008 | 1005 | 1005 | - | 4,2 | |

Poznámka: V1 - pole 1 - nosník N1 cca L/2
 V2 - pole 2 - nosník N4 cca L/2
 V3 - pole 2 - nosník N2 cca L/2
 V4 - pole 1 - nosník N4 cca L/2

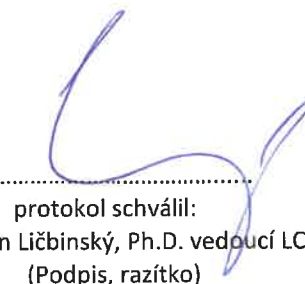
Zkoušku provedl(a): Radek Bednář

Odběr vzorku provedl(a): objednatel

Protokol vypracoval(a): Ing. Tomáš Zavřel



 protokol kontroloval:
 Ing. Tomáš Zavřel, technický vedoucí LDI



 protokol schválil:
 Mgr. Roman Ličbinský, Ph.D. vedoucí LCDV
 (Podpis, razítko)

Výsledky zkoušek se týkají pouze zkoušených vzorků a protokol neznamená schválení výrobku orgánem udělujícím akreditaci ani žádným jiným orgánem.

Protokol nesmí být bez písemného souhlasu LCDV reprodukován jinak než v celkovém počtu stran.

Změny a doplňky mohou být provedeny pouze laboratoři, která Protokol vystavila.

Pokud informace dodané zákazníkem mohou mít vliv na platnost výsledků, laboratoř odmítá odpovědnost za jejich platnost. Pokud laboratoř není odpovědná za fázi odběru vzorků, pak se výsledky vztahují ke vzorku jak byl přijat.

PROTOKOL

č.: 005/24-B

**Stanovení odolnosti povrchu cementového betonu proti působení vody a chemických rozmrazovacích látek
Zkušební postup č. 22 dle ČSN 73 1326, metoda C**

Objednatel: Inset s.r.o., Vinohrady 40, 639 00 Brno
Záznam číslo: 005/24
Místo odběru: most ev. č. 523-000a, Jihlava
Druh konstrukce, označení betonu: nosná konstrukce
Místo provedení zkoušky: Laboratoř centra dopravního výzkumu, laboratoř dopravní infrastruktury
Datum zahájení a ukončení zkoušky cyklování: 22.4.2024 - 13.5.2024
Ošetřování, uložení: laboratorní prostředí 21 °C, relativní vlhkost 40 %
Zkušební zařízení: automatické zařízení KD 20.5

Hodnoty měření a výsledky odolnosti:

| Označení vývrtu | | CHRL 1 | CHRL 2 | CHRL 3 | CHRL 4 | |
|---------------------|----------------|------------------------|------------------------|------------------------|------------------------|-----|
| Označení vzorku LDI | | 48/24 | 49/24 | 50/24 | 51/24 | |
| (š) Průměr (vývrt) | mm | 144,9 | 144,9 | 144,9 | 144,9 | |
| Zkušební plocha | m ² | 0,01649 | 0,01649 | 0,01649 | 0,01649 | |
| Stáří vzorku | roky | - | - | - | - | |
| Konstrukce | | pole 1, N1, cca L/2 | pole 2, N3, cca L/2 | pole 2, N1, cca L/2 | pole 1, N3, cca L/2 | |
| Poznámka | | zařízly povrch | | | | |
| Množství odpadu po: | 25 c | g | 3,1 | 0,5 | 0,4 | 0,5 |
| | 50 c | g | 9,7 | 2,0 | 1,3 | 2,4 |
| | 75 c | g | 13,3 | 5,8 | 3,5 | 7,7 |
| Odolnost po: | 25 c | g/m ² | 190 | 30 | 20 | 30 |
| | 50 c | g/m ² | 590 | 120 | 80 | 150 |
| | 75 c | g/m ² | 810 | 350 | 210 | 470 |

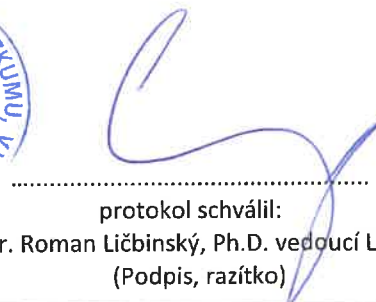
Zkoušku provedl(a): Radek Bednář

Odběr vzorku provedl(a): objednatel

Protokol vystavil(a): Ing. Tomáš Zavřel



.....
protokol kontroloval:
Ing. Tomáš Zavřel, technický vedoucí LDI

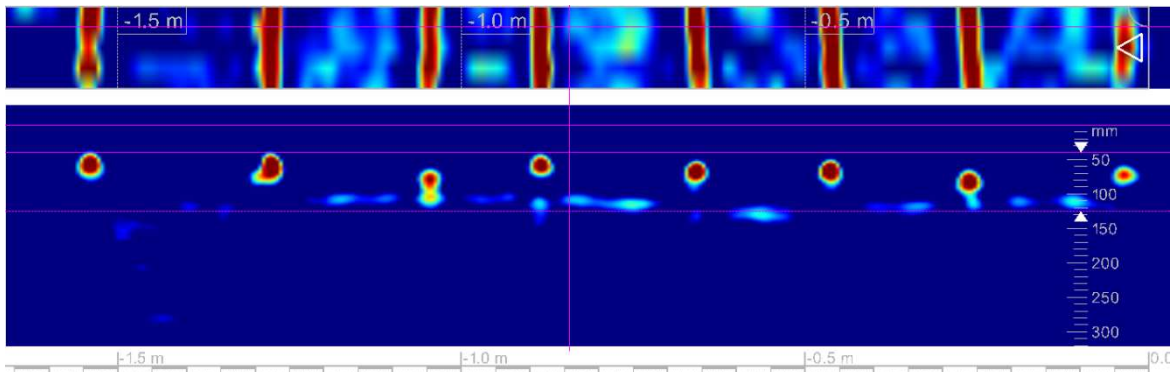
.....
protokol schválil:
Mgr. Roman Ličbinský, Ph.D. vedoucí LCDV
(Podpis, razítko)

Výsledky zkoušek se týkají pouze zkušenných vzorků a protokol neznamená schválení výrobku orgánem udělujícím akreditaci ani žádným jiným orgánem. Protokol nesmí být bez písemného souhlasu LCDV reprodukován jinak než v celkovém počtu stran.

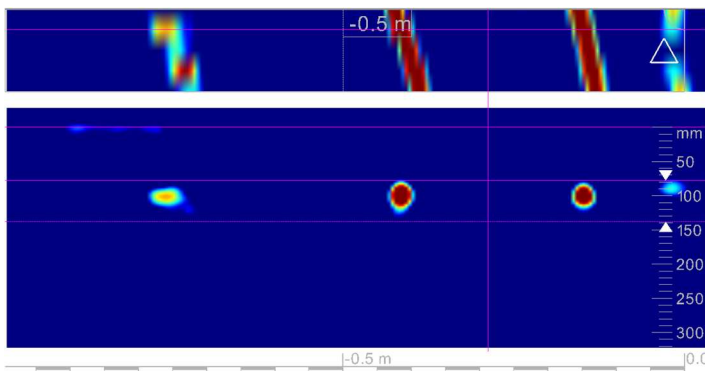
Změny a doplňky mohou být provedeny pouze laboratoři, která Protokol vystavila.

Pokud informace dodané zákazníkem mohou mít vliv na platnost výsledků, laboratoř odmítá odpovědnost za jejich platnost. Pokud laboratoř není odpovědná za fázi odběru vzorků, pak se výsledky vztahují ke vzorku jak byl přijat.

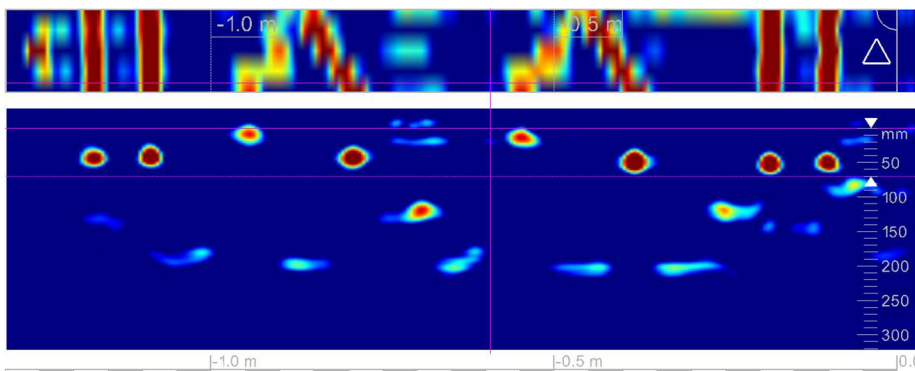
Příloha 9 - radarové skeny



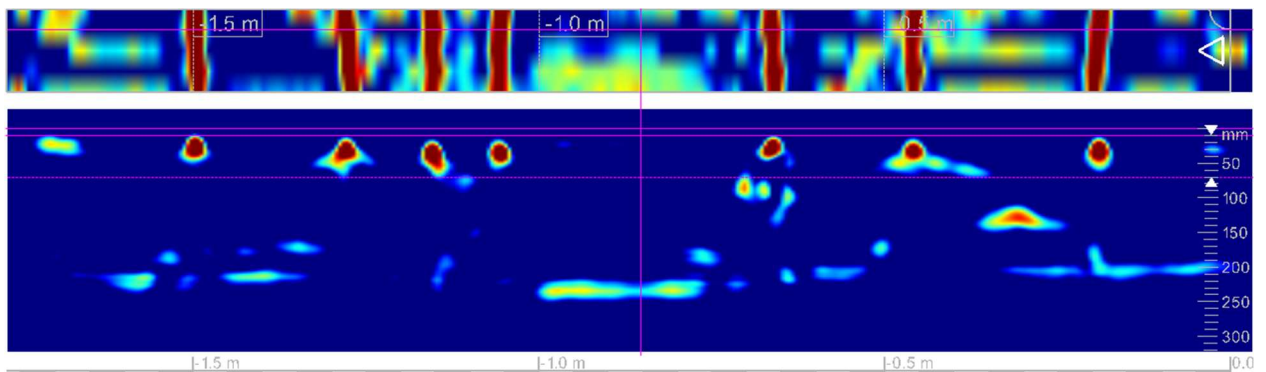
Obr. 3. 1: Radarový sken č. 784 vedený vodorovně na stojně nosníku N1 v poli 1 u podpěry P2. Detekovány svislé pruty betonářské výztuže, rozteče 160-225 mm, krytí cca 40-65 mm.



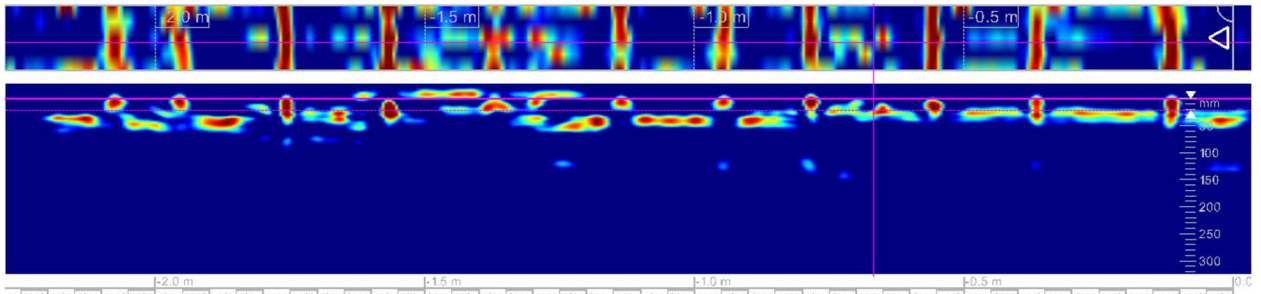
Obr. 3. 2: Radarový sken č. 785 vedený svisle vzhůru na stojně nosníku N1 v poli 1 u podpěry P2. Detekovány 3 zvedané svazky předpínací výztuže, rozteč cca 345 mm, krytí cca 80 mm.



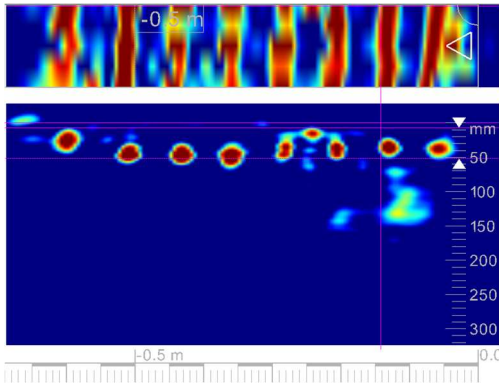
Obr. 3. 3: Radarový sken č. 791 vedený svisle vzhůru na 2. příčnicku mezi nosníky N1 a N2 v poli 2. Ve střední části detekovány šikmé pruty betonářské výztuže, na okrajích dvojice předpínací výztuže. Krytí betonářské výztuže 0-25 mm, krytí předpínací výztuže 25-35 mm.



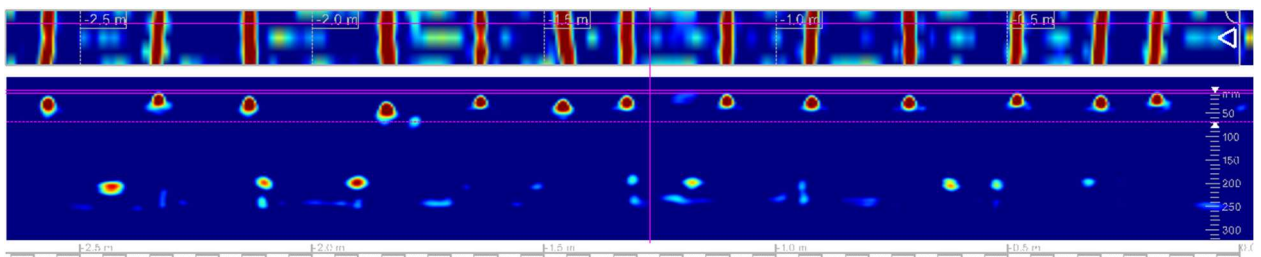
Obr. 3. 4: Radarový sken č. 790 vedený vodorovně na 2. příčnicku mezi nosníky N1 a N2 v poli 2. Detekovány svislé pruty betonářské výztuže. Krytí cca 15 mm.



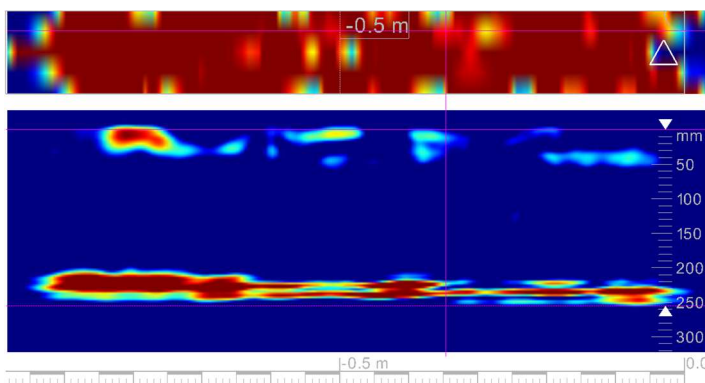
Obr. 3. 5: Radarový sken č. 789 vedený vodorovně na stojně nosníku N2 v poli 2 u 3. příčnicku. Detekována příčná betonářská výztuž s roztečí 120-225 mm, krytí 0-5 mm.



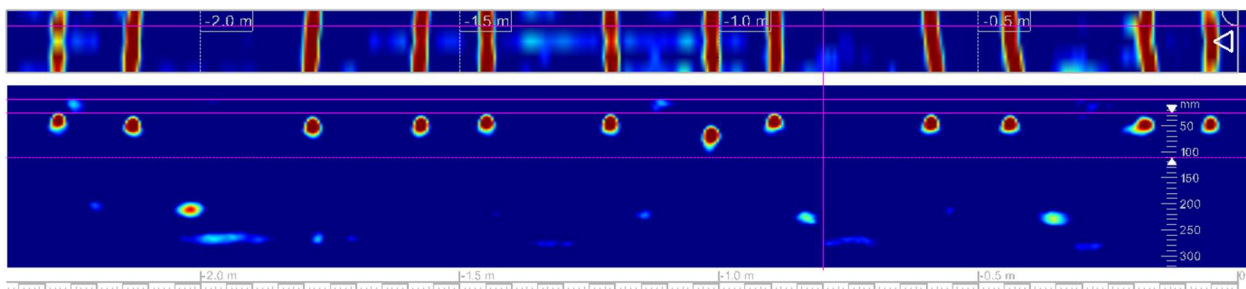
Obr. 3. 6: Radarový sken č. 788 vedený příčně na spodním líci nosníku N2 v poli 2 u 3. příčnicku. Detekováno 8 svazků předpínací výztuže, krytí 10-30 mm.



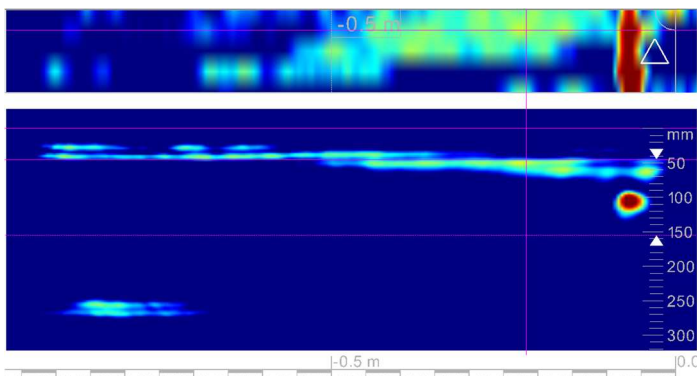
Obr. 3. 7: Radarový sken č. 798 vedený podélně na stojně nosníku N4 v poli 2 v L/2. Detekována svislá betonářská výztuž s roztečí 120-300 mm, krytí 5-25 mm.



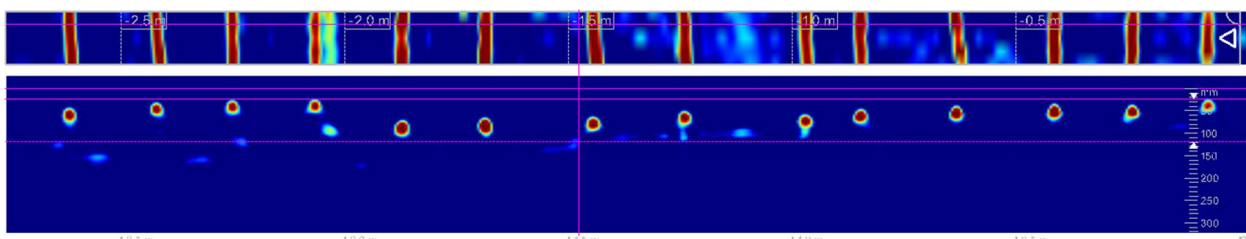
Obr. 3. 8: Radarový sken č. 797 vedený svisle vzhůru na stojně nosníku N4 v poli 2 v L/2. Žádná vodorovná betonářská výztuž nebyla detekována.



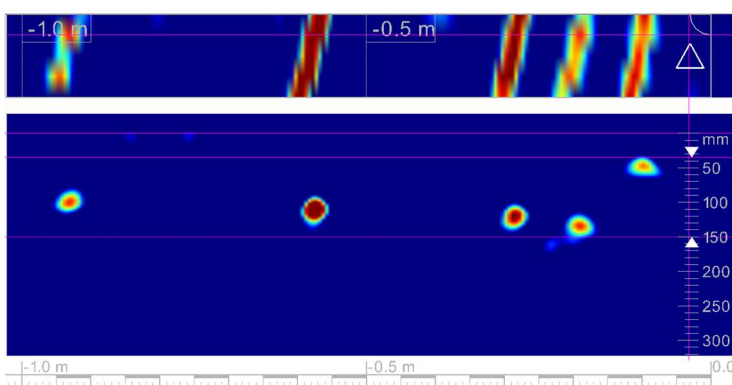
Obr. 3. 9: Radarový sken č. 795 vedený vodorovně na stojně nosníku N6 v poli 2 v L/2. Detekována svislá betonářská výztuž s roztečí 125-350 mm, krytí 30-50 mm.



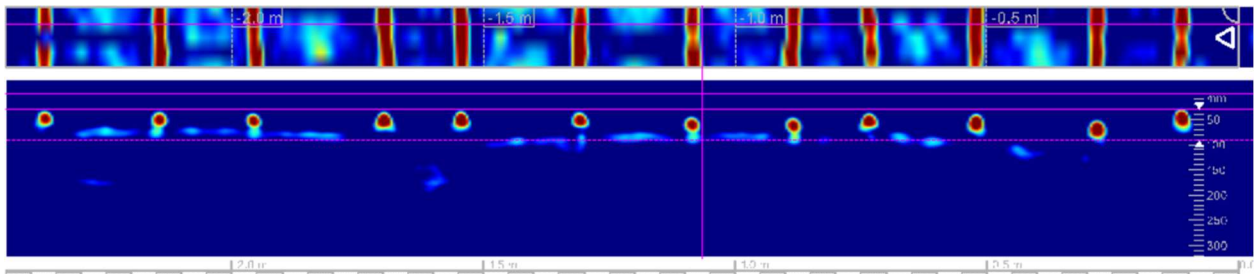
Obr. 3. 10: Radarový sken č. 796 vedený svisle vzhůru na stojně nosníku N6 v poli 2 v L/2. Ve spodní části zachycen jeden svazek předpínací výztuže, krytí cca 90 mm.



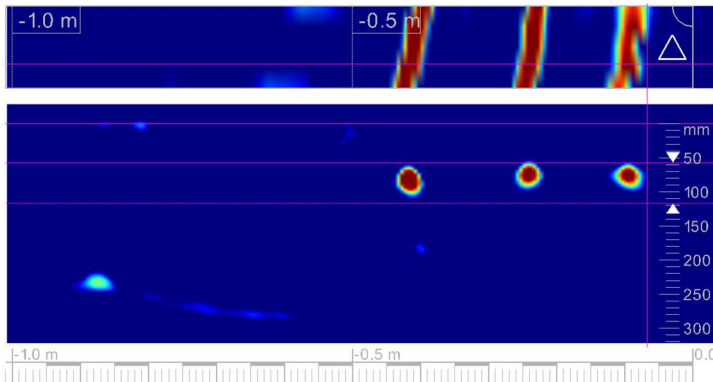
Obr. 3. 11: Radarový sken č. 799 vedený vodorovně na stojně nosníku N1 v poli 3 v první pětině jeho délky. Detekována svislá betonářská výztuž s roztečí 125-270 mm, krytí 25-70 mm.



Obr. 3. 12: Radarový sken č. 800 vedený svisle vzhůru na stojně nosníku N1 v poli 3 v první pětině jeho délky. Zachyceno 5 svazků předpínací výztuže, krytí 35-115 mm.



Obr. 3. 13: Radarový sken č. 778 vedený vodorovně na stojně nosníku N1 v poli 1 ve druhé pětíně jeho délky. Detekována svislá betonářská výztuž s roztečí 150-250 mm, krytí 30-50 mm.



Obr. 3. 14: Radarový sken č. 779 vedený svisle vzhůru na stojně nosníku N1 v poli 1 ve druhé pětíně jeho délky. Zachyceny 3 svazky předpínací výztuže, krytí 55-60 mm.



MINISTERSTVO DOPRAVY

Odbor liniových staveb a silničního správního úřadu
nábř. Ludvíka Svobody 1222/12, 110 15 PRAHA 1



č. j.: MD-16663/2023-930/13

V souladu s Metodickým pokynem Systém jakosti v oboru pozemních komunikací – část II/2 – průzkumné a diagnostické práce č. j. 20840/01 – 120, ve znění pozdějších změn, Ministerstvo dopravy, Odbor liniových staveb a silničního správního úřadu

vydává

OPRÁVNĚNÍ

k provádění průzkumných a diagnostických prací souvisejících s výstavbou,
opravami, údržbou a správou pozemních komunikací

číslo 560/2023

pro

Ing. Petra T K A D L E Č K A

Datum narození: 9. 6. 1990

Bydliště:

Ulice: Okrouhlá 344/12
Obec/město: Brno
PSČ: 625 00
Tel./fax: 721 698 080

Zaměstnavatel/firma: INSET s.r.o.

Ulice: Lucemburská 1170/7
Obec/město: Praha 3 – Vinohrady
PSČ: 130 00
Tel./fax: 721 698 080
E-mail: tkadlecek.petr@inset.com

Oprávnění se vztahuje na provádění diagnostického průzkumu silničních objektů.

Oprávnění platí do 17. 8. 2028.

V Praze dne 17. 8. 2023

Ing. Jiří Šmíd, Ph.D.
předseda komise



Ing. Martin Janeček
ředitel
Odbor liniových staveb
a silničního správního úřadu

Doložka z konverze dokumentu do elektronické podoby – na žádost

Dokument 159882276-264805-230926092323.pdf vznikl převedením listinného dokumentu do elektronického dokumentu pod pořadovým číslem **159882276-264805-230926092323**. Vzniklý dokument obsahem odpovídá vstupnímu dokumentu. Počet stran dokumentu: **1**

Vstup neobsahoval viditelný prvek, který nelze plně přenést na výstup.

Konverzi provedl subjekt: Duben Matěj - notář, IČ: 08239461

Pracoviště: Duben Matěj - notář

Datum vyhotovení: **26.09.2023**

Jméno a příjmení osoby, která konverzi provedla: MARKÉTA FREISSL

Poznámka:

Konverzí dokumentu se nepotvrzuje správnost a pravdivost údajů obsažených v dokumentu a jejich soulad s právními předpisy. Kontrolu doložky lze provést v centrální evidenci doložek na adrese <https://www.czechpoint.cz/overovacidolozky>.



159882276-264805-230926092323



MINISTERSTVO DOPRAVY

Odbor liniových staveb a silničního správního úřadu
nábř. Ludvíka Svobody 1222/12, 110 15 PRAHA 1



č. j.: MD-2449/2021-930/39

V souladu s Metodickým pokynem Oprávnění k výkonu prohlídek mostních objektů pozemních komunikací č. j. 130/2016-120-TN/8 Ministerstvo dopravy, Odbor liniových staveb a silničního správního úřadu

vydává

OPRÁVNĚNÍ

k výkonu hlavních a mimořádných prohlídek mostních objektů pozemních komunikací

Registrační číslo 262/2021

pro fyzickou osobu

Ing. Petr T K A D L E Č E K

Datum narození: 9. 6. 1990
Ulice: Vránova 988/129
Obec/město: Brno
PSČ: 621 00
Tel./fax: 721 698 080
E-mail: petr.tkadlecek@seznam.cz

Zaměstnavatel/firma: INSET s.r.o.
Ulice: Lucemburská 1170/7
Obec/město: Praha 3
PSČ: 130 00
Tel./fax: 721 698 080
E-mail: tkadlecek.petr@inset.cz

Oprávnění se vztahuje na provádění výkonu hlavních a mimořádných prohlídek mostních objektů pozemních komunikací.

Platnost OPRÁVNĚNÍ je do 30. 11. 2026.

V Praze dne 17. 12. 2021

Ing. Jiří Chládek, CSc.
předseda komise



Ing. Martin Janeček
ředitel
Odbor liniových staveb
a silničního správního úřadu